

B
PROCESSING COPY
D567933

CENTRAL INTELLIGENCE AGENCY

INFORMATION REPORT

S-E-C-R-E-T

This material contains information affecting the National Defense of the United States within the meaning of the Espionage Laws, Title 18, U.S.C. Secs. 793 and 794, the transmission or revelation of which in any manner to an unauthorized person is prohibited by law.

25X1

COUNTRY	USSR	REPORT	
SUBJECT	34 Technical Reports Published by the Soviet Academy of Sciences	DATE DISTR.	8 June 1956
DATE OF INFO.		NO. OF PAGES	3
PLACE ACQUIRED		REQUIREMENT NO.	RD
		REFERENCES	25X1

This is UNEVALUATED Information

THE SOURCE EVALUATIONS IN THIS REPORT ARE DEFINITIVE.
 THE APPRAISAL OF CONTENT IS TENTATIVE.
 (FOR KEY SEE REVERSE)

25X1

Description of Attachments:

25X1

1. Drainage of Hydrotechnical Tunnels by G. M. Lomize and V. M. Nasberg.
2. Filtration of a Canal with the Aid of Double Drainage Dams by G. N. Pykhteyev.
3. Inflow into Pores of Stratum with Variable Pressure on Contour of Feeding Pump (parameter of strata and inflow to be determined by use of isobar chart) by I. A. Charnyy.
4. Flow of Subsoil Waters in Dams, Locks, and Canals by N. N. Verigin.
5. About the Selection of the Degree of Computed Speed of Air in Axial Compressors, Conveyances, and Gas Turbine Power Plants by B. M. Likhterov.
6. Vortical (vortex) Energy-divider of the Flow by M. G. Dubinsky.
7. Theory of Stabilization of the Course of a Robot Airplane Assisted by an Automatic Pilot, with the Constant Speed of a Servo-motor by A. A. Andronov and N. N. Bautin.
8. About the Movement of a Material Point within a Rapidly Revolving Crane by E. M. Goldin.
9. Geometrical Presentations of the Theory of Communications (Geometricheskiye Predstavleniya v Teorii Svyazi) by E. L. Blokh and A. A. Karkevich.

25X1

S-E-C-R-E-T

TRANSMISSION(S) _____ NOT

MICROFORMED - POOR COPY

STATE	X	ARMY	X	NAVY	X	AIR	X	FBI		AEC	OST/EV	X		
-------	---	------	---	------	---	-----	---	-----	--	-----	--------	---	--	--

NOTE: Washington distribution indicated by "X"; Field distribution by "#".

S-E-C R-E-T

-2-

25X1

10. On the Question of the Nature and Movement of Unexpected Ejections of Coal and Gases by V. S. Kravchenko.
11. Electric Conductivity and Heat Conductivity of Several Copper-Nickel Sulphide Alloys by D. M. Chizhikov, Z. F. Gulyanitskaya, and N. N. Bogovarova.
12. About the Kinetics of Isothermic Formation of Austenite by A. P. Gulyayev and V. M. Zalkin.
13. Properties of Durability and Plasticity of the Alloy Construction of Steel by M. P. Braun and Ye. Ye. Maystrenko.
14. The Influence of Pressure on the Variability of Soaked Minerals in Oil Collectors by M. A. Geyman, V. B. Shneyerson, and A. G. Mamikonov.
15. Kinetics of Regeneration in Dust-detecting Catalizators by K. P. Lavrovskiy and A. L. Rosental.
16. About the Periodic Downfall of Solid Solutions by V. I. Prosvirin.
17. Study of Wear and Tear during Dry Friction and Increased Temperatures by P. Ye. Dyachenko, O. Ye. Kestner, and L. A. Chatyngyan. Remarks by M. M. Karabeynik.
18. Gamma-Radiation and the Disintegration Process of Lal40 by L. V. Arkhangelskiy B. S. Dzhelepov, N. N. Zhukovskiy, V. P. Prikhodtseva, and Yu. V. Kholnov.
19. Gamma-Radiation of As198 by B.S Dzhelepov, N. N. Zhukovskiy, V. P. Prikhodtseva, and Yu. V. Kholnov.
20. Comparative Study of Light Atoms Through Methods of Magnetic Analysis (Issledovaniye Urovney Legkikh Yader Metodom Magnitnogo Analiza) by L. M. Khromchenko.
21. Gamma-Spectre of Irr92 by M. P. Glazunov, B. S. Dzhelepov, and Yu. V. Kholnov.
22. Gamma-Radiation of Eu152 - 154 by B. S. Dzhelepov, N. N. Zhukovskiy, and V. G. Melovesov.
23. Study of Several Instances of Angular Correlation by A. P. Grinberg and I. Kh. Lemberg.
24. Study of Angular Correlation of the Electrons of Interior Conversion of Br80/35 (Issledovaniye Uglovoj Korrelyatsii Electronov Vnutrenney Konversii Br80/35) by B. A. Shakhbazyan and L. I. Rusinov.
25. Study towards Improving Tbl60 through Methods of Coincidence (alignment), I. P. Stepanenko, L. Ya. Shavtvalov.
26. Study of Nuclear Isomerism of Zn69, Se79, Se81, Nb95, Rh103, and Ba137 by G. M. Drabkin, V. I. Orlov, and L. I. Rusinov.
27. Detection of Short-period Isomers by O.I. Leypunskiy, M. Ya. Gen, A.M. Tikhomirov, and P. A. Yampolskiy.
28. Life Duration of Certain Atom Particles in an Activated State by E. Ye. Berlovich.
29. On the Differentiating Capacities of Scintillating Spectrometers by I. F. Barchuk, Ye. M. Galkin, M.V. Pasechnik, and N. N. Pucherov.
30. On the Question of the Measurement of Deformation of Nuclear Surfaces by L. A. Sliv and L. K. Peker.
31. Structures of the Second Level of Activation of He5 and Li5 (Struktura Vtorogo Vozbuzhdennogo Urovnya He5 i Li5) by A.I. Baz.
32. Outward Appearance during the Intermediate Interval and the Beta Disintegration of He6 (Obrazovaniye Model's Promezhutochnoy Svyazyu i Beta-asp.d He6) by A.I. Baz.
33. The Theory of Secondary Beta-Disintegration by L.A. Maksimov and Ya. A. Smorodinskiy.

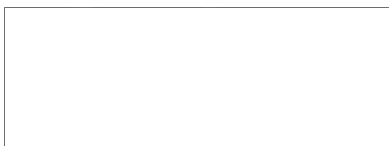
S-E-C-R-E-T

25X1

S-E-C-R-E-T

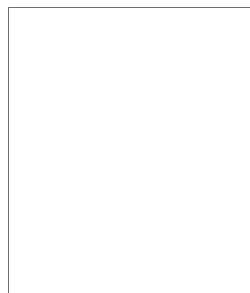
-3-

34. New Data on the Comparison of Binding Energy with Neutral Particles
(Novyye Dannye po Sopostavleniyu Energii Svyazi Srednikh Yader) by
V.A. Kravtsov.



25X1

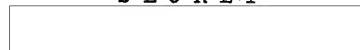
25X1



25X1

25X1

S-E-C-R-E-T



25X1

Approved For Release 2007/11/08 : CIA-RDP83-00418R004600130001-5

Page Denied

Approved For Release 2007/11/08 : CIA-RDP83-00418R004600130001-5

ИЗВЕСТИЯ АКАДЕМИИ НАУК СССР
ОТДЕЛЕНИЕ ТЕХНИЧЕСКИХ НАУК

№ 6

1988

ДРЕНИРОВАНИЕ БЕЗНАПОРНЫХ ГИДРОТЕХНИЧЕСКИХ
ТУННЕЛЕЙ

Е. М. ЛЮМИЗЕ и В. М. НАСБЕРГ

(Москва, Институт)

Вопрос о дренажировании любых туннелей рассматривается в технической литературе неоднократно. Им склонны отнести отдельные осуществленные конструкции, не отвечающие в полной мере современным требованиям туннелестроения. К тому же в ряде случаев говорят о дренажировании и ссылаясь на случаи неудачно осуществленных проектов, допускают неправильные обобщения и оценивают дренажирование как мероприятие неприменимое или сомнительное. Эта оценка мотивируется наследием недавних фактов предного действия дренажирования на горные породы, окружающие туннели, и их существенные гидрогеологические условия (1).

Подобная оценка толкает к отказу от дренажных устройств и тем самым исключает мероприятия, которое в отдельных случаях гидротехнического строительства для извлечения туннелей глубоко под уровень грунтовых вод может дать существенный технический и экономический эффект, способствующий удешевлению и ускорению строительства.

В технических условиях и нормах проектирования гидротехнических туннелей гидроЭСТ (ТУ-41-84) нет прямых указаний по дренажным устройствам. В расчетах их действия (2). В § 76 ТУ-41-84 говорится о необходимости учитывать грунтовые воды при нарушении нормальной работы дренажных устройств. Это действие относится к категории дополнительных сан и нагрузок, на которые предстоит учреждать туннельные обделки.

Приведенное указание ТУ можно рассматривать как косвенное указание о применении дренажирования в гидротехнических туннелях.

Методы расчета дренажных устройств туннельных обделок основены еще на первых рекомендациях по количественному учету дренажирования подземных сооружений и сложены в работе (3).

Между тем опыт научной работы, связанной со строительством ТЭС, приходит к выводу, что дренажирование обделок гидротехнических безнапорных туннелей является рациональным решением во многих случаях строительства. К тому же есть практика проектирования гидротехнических сооружений приложением общих норм к строительству как эффективного мероприятия, без которого не обходится ни одно крупное инженерное сооружение.

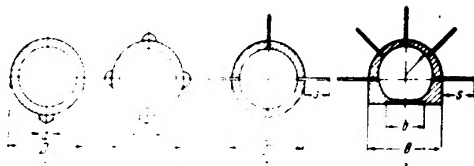
Возможность применения количественно определенных требований к дренажированию туннелей в качестве практического определения уместности дренажного устройства. Были разработаны методы расчета туннельных обделок с применением методов гидравлического расчета, позволяющие определить сооружения, удовлетворяющие требованиям к дренажированию.

§ 1. Рассмотренные случаи дренажирования, исходные положения и представки фильтрационных расчетов. Для разработки методики расчета туннельных обделок с применением гидравлического метода необходимо учесть первые три фактора: строительство туннеля, его эксплуатацию и разрушение. Для первого фактора необходимо определить гидравлические характеристики туннеля, для второго — гидравлические характеристики туннеля, для третьего — гидравлические характеристики туннеля.

период, окруженный туманом, монотонная комбинация обоих приемов драматиз

- Подверглись изучению следующие схемы дренажа:

 - 1) ленточное дренирование поверхностью дренажных лент в нижней части сечения туннеля (фиг. 1, а);
 - 2) дренирование четырьмя лентами поверхности дренажных сечений на четыре квадранта (фиг. 1, б);
 - 3) глубинное дренирование при помощи четырех изогнутых лент в подводу (фиг. 1, в).



Фиг. 1. Гидромеханические схемы прокладывания тоннеля

4) глубинное дренирование при помощи пяти шуров и ленточный поверхностный дренаж в нижней части сечения (фиг. 1, г).

Работа дромажа по первой схеме исследована теоретическим методом конформных отображений и изучена экспериментально методом ЭГДА на частном примере. Для дромирования по второй схеме дано теоретическое решение методом конформных отображений. Третий и четвертый случаи изучены экспериментально методом электрогидродинамических аналогий (ЭГДА) на частном примере применительно к задачам строительства спускной лестницы.

Теоретически решено физически прутковой формы туннеля при однородной бетонной обшивке гиперболической конической. Экспериментальные исследования в третьем сечении туннеля при круговой, а в четвертом при конусообразной обшивке.

Revised Estimate

$$c > D \quad (1)$$

Фиг. 3 — схема расположения оси туннеля под зеркало грунтовых вод, а D — диаметр окружности туннеля.

Как известно из опытов испытаний, в физико-математических доказательствах устройств туннелей с достаточными приближениями можно любую форму сечения заменить круглой, если соблюдаено условие (1). Так, например, подконообразный профиль успешно заменяется с окружностью, имеющей длину, равную периметру подконообразного профиля. Ленточную плоскую дрену лотка подконообразного профиля, имеющую ширину B , с достаточным приближением рассчитают дреной, очерченной по полуокружности радиуса r , имеющего из равенства $B \approx \pi r$.

всех расчетах и опыта исходили из следующих основных предположений.

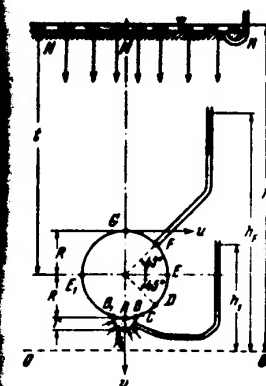
the first time in history that the majority of the world's population is urban.

как бы представляет собой горизонтальных тонков, движущихся по на-
к этой плоскости

1.2. Построение кривого проектирования края обделки туннеля. Каждой узкой полосе методом конформных отображений выполнен в следующих предположениях¹

1. Облицовка имеет форму (фиг. 2) круглого цилиндра $AEGI$ с радиусом R .

2. В нижней части облицовки продольный дренаж, имеющий в поперечном разрезе форму полуокружности, описанной из точки А радиусом r .



Фиг. 2. Схема фильтрующей трубы для очистки воздуха из забоя и выделения потока туннеля:

3. Напор грунта в зоне сопротивления определяется из условия равенства напора в зоне сопротивления 0-0 обозначенной A_1 , он же называется напором в зоне сопротивления A_1 , напор в некоторой точке с координатами

В результате решения уравнений получены следующие зависимости [2]:

Для любой точки с координатами x и y

$$\Psi = \frac{\lg \frac{((x^a + y^a)^2 + (b^a / b_0)^2)^{1/2}}{(x^a + (b - y)^2)^{1/2} |x^a + (b + y)^2|^{1/2}}}{\lg \frac{\{(1 + (b / b_0)^2)^2 + (1 + (b - b_0)^2)^2\}^{1/2}}{1 + (2b / b_0)^2}} \cdot 100\% \quad (2.1)$$

где φ — относительный фильтрационный напор, равный

$$\varphi = \frac{A - A_1}{A_2 - A_1} \cdot 100\% \quad (2.2)$$

¹ Вид фильтра для рассматриваемого дренажирования, а также описание методики с разрешения патчики того же случая дренажирования методом ОГДА приводится в работе [8].

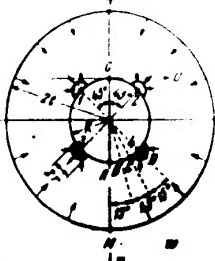
окружности дренажа и симметрически относительно оси x и y должны быть на K_1 и L .

В случае отсутствия уединения расход источника будет выражаться формулой

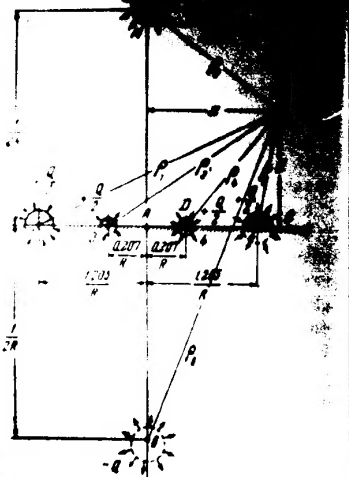
Пусть число симметрично расположенных дренажей много, радиусы которых много меньше радиуса туннеля $r \ll R$.

Задача состоит в определении фильтрационного напора h , как функции координат (u, v) и полого приведенного расхода, которым для всех четырех дренажей будет равен $Q = 5Q_0$.

Для решения задачи предположим



Фиг. 6. Исходные схемы фильтрации с концентрическими (внутренней) контурами питания



Фиг. 7. Отображенная схема фильтрации

задачи применение метода конформного изображения. Отобразим плоскость w на плоскость z . Принимая отображающую функцию в виде

$$z = \frac{1}{w}, \quad w = u + iv, \quad z = \frac{1}{u} + i\frac{v}{u}, \quad (3.1)$$

будем иметь

$$\begin{aligned} u &= \frac{1}{z^2} = \frac{1}{(u+iR)^2} = \frac{u-iR}{u^2+R^2}, \\ v &= \frac{v}{u^2+R^2} = \frac{v}{u^2} - \frac{vR^2}{u^2+R^2}. \end{aligned}$$

Расположение оси u, v на плоскости w показано на фиг. 6, а расположение оси z, u на плоскости z показано на фиг. 7.

Такой выбор осей, при условии (3.1), приводит к тому, что отображение является простым для решения формам граничных условий на плоскости z . Так, контур входа фильтрации

отображается в виде окружности $A42G$ этой окружности — контур $A31G$, а левой половине — контуры $A32G$ и $A33G$. Контуры дренажей отображаются в виде дуг окружностей, опиравшихся на конечную плоскость z . Центры последних расположены на отображаемой в силу условия $r \ll R$ прямой $z = 0$. Поэтому, несмотря на то что контуры в конечные формулы (что подразумевает специальные численные расчеты), приближенные значения которых будут лежать на оси z соответственно в пределах верхней и нижней дуг, отображают собой полуокружности. Указано это и характерных точек.

Таблица I

Зона	Область w		Область z	
	u	v	z	w
M_{11}	∞	0	∞	$\frac{1}{2R} - \frac{1}{2i + R}$
M_{12}	∞	0	∞	$\frac{1}{2R} - \frac{1}{2i - R}$
A	0	0	0	0
B	0	0	0	0
I	$-0.707 R$	$0.707 R$	$-i$	0
2	$0.707 R$	$0.707 R$	i	0
0	$-0.707 R$	$1.707 R$	$\frac{-i}{R}$	0
3	$0.707 R$	$1.707 R$	$\frac{i}{R}$	0
4	$0.386 R$	$1.998 R$	$\frac{0.086}{R}$	0
5	$-0.386 R$	$1.998 R$	$\frac{-0.134}{R}$	0
6	$-0.707 (R + r)$	~ 0.207	$\sim \frac{0.203}{R}$	$\sim \frac{r}{R}$

F. M. Баранов

В этой таблице значения x и y берутся из выражения (3.5), а величины x и y вычислялись по формуле (3.6).

Приближенные значения x_D и y_D получены в результате некоторых преобразований и упрощений; при этом величины x и y выражаются с r^2 , которые благодаря условию $r \ll R$ оказываются малыми по сравнению с другими слагаемыми.

Обратимся к фиг. 7. Переходим от полуплоскости в область $\frac{1}{r} < 0$ в плоскости (x, y) . Для этого дополним контуры дрен $1, 2, 3, 4$ и источника MN их зеркальными изображениями, показанными пунктиром. В результате получаем на плоскости систему, состоящую из двух источников, каждый из которых имеет расход воды $(-Q)$, и четырех стоков — дрен, в каждой из которых притекает расход $(+0.5Q)$. Заметим, что в фактическом дрене, состоящем из пологину от зеркально дополненной, притекает расход, в два раза меньший, т. е. $0.5 \times 0.5Q = 0.25Q$. Таким образом, суммарный приведенный расход воды, притекающей во все четыре фактических дрена, изображенные на фиг. 5, выражается величиной Q , как это уже было отговорено выражением $Q=4Q_1$.

Следуя распространенному в гидромеханике приему, для упрощения расчета будем полагать, что введенные источники и стоки являются точечными. При этом стоки, заменяющие действие дрен, примем находящимися в точках $1, 2, 3, 4$, а источники, заменяющие действие контура MN [и его зеркального изображения], примем находящимися на оси y в точках 5 и 6 с ординатами, соответственно равными $0.5R^{-1}$ и $-0.5R^{-1}$.

Пусть произвольная точка в плоскости x имеет координаты x, y , причем r_1, \dots, r_6 — расстояния от этих точек, соответственно, до точечных стоков $1, 2, 3, 4$ и источников $5, 6$. На фиг. 7 имеем

$$\begin{aligned} r_1^2 &= \left(x + \frac{1.205}{R}\right)^2 + y^2, & r_2^2 &= \left(x - \frac{0.207}{R}\right)^2 + y^2 \\ r_3^2 &= \left(x - \frac{1.205}{R}\right)^2 + y^2, & r_4^2 &= x^2 + \left(\frac{0.5}{R} - y\right)^2 \\ r_5^2 &= \left(x + \frac{0.207}{R}\right)^2 + y^2, & r_6^2 &= x^2 + \left(\frac{0.5}{R} + y\right)^2 \end{aligned} \quad (3.4)$$

Воспользуемся известным из теории потенциала общим выражением напорной функции для точечного стока (источника), имеющим вид, в случае плоской задачи и однородной среды,

$$h_s = \frac{Q_n}{2\pi} \ln r_n - C \quad (3.5)$$

где A_n — напор, обусловленный расходом Q_n стоку с приведенным расходом Q_n , в противоположную направлению притекающей на расстояние r_n от центра стока, C — предельная величина, зависящая от граничных условий.

Обозначим через h напор в точке (x, y) плоскости x . Пользуясь общим положением (следует упрощения), последовательно применим (3.5) к стокам $1, 2, 3, 4$ и источникам $5, 6$ (фиг. 7) и получим следующее правило знаков для расходов (сток выше нуля):

(3.6)

$$\begin{aligned} h &= H_D \frac{\left[\left(x - \frac{1.205}{R}\right)^2 + y^2\right] \left[\left(x + \frac{0.207}{R}\right)^2 + y^2\right]}{\left[x^2 + \left(\frac{0.5}{R} - y\right)^2\right]^2} \\ &\times \frac{\left[\left(x - \frac{0.207}{R}\right)^2 + y^2\right]}{\left[x^2 + \left(\frac{0.5}{R} + y\right)^2\right]^2} + C \end{aligned} \quad (3.7)$$

Для определения Q и постоянной C воспользуемся граничными условиями. Первое условие: в точке D напор известен и равен H_D , т. е.

$$h = H_D \text{ при } x = x_D = -\frac{0.207}{R}, \quad y = y_D = \frac{0.294}{R} \quad (3.8)$$

Тогда, используя (3.7) и (3.8), пренебрегая, без заметного ущерба в точности практических расчетов, величинами y_D^2 и y_D во всех квадратных скобках, содержащих после подстановки дроби, и проигнорировавшие преобразования, получим

$$H_D = \frac{Q}{4\pi} \ln \frac{0.398}{R+r} + C \quad (3.9)$$

Второе условие: в точке M (фиг. 7) контура источника напор известен и равен H_1 , т. е.

$$h = H_1 \text{ при } x = x_M = 0, \quad y = y_M = \frac{1}{2} - \frac{1}{2\sqrt{R}} \quad (3.10)$$

Подставив в (3.7) значения x_M и y_M , получим $h = H_1$. В полученном выражении без замещения величинами y_M^2 и y_M (при практических расчетах пренебрежем величинами y_M^2 и y_M в квадратных скобках, где она оказывается малой по сравнению с единицей), получим, что возможно условие (1). Тогда после преобразований получим

$$H_1 = \frac{Q}{4\pi} \ln \frac{0.4246}{R+r} + C \quad (3.11)$$

Затем, вычитая уравнение (3.9) из (3.11), выводим окончательную зависимость между действующим напором H и приведенным расходом Q :

$$H = H_1 - H_D = \frac{Q}{4\pi} \ln \left[0.0635 \left(1 + \frac{R}{r} \right) \left(\frac{R}{r} \right)^2 \left(1 + \frac{2r}{R} \right)^2 \right] \quad (3.12)$$

Вычитая уравнение (3.9) из (3.7), получаем выражение, определяющее различие притекания напора в точке (x, y) над напором в дренах

$$\begin{aligned} A - H_D &= \frac{Q}{4\pi} \ln \left\{ \frac{\left(R + r^2\right) \left[\left(x + \frac{1.205}{R}\right)^2 + y^2\right] \left[\left(x - \frac{1.205}{R}\right)^2 + y^2\right]}{3.96^2 \left[x^2 + \left(\frac{0.5}{R} - y\right)^2\right]^2} \right. \\ &\times \left. \frac{\left[\left(x + \frac{0.207}{R}\right)^2 + y^2\right] \left[\left(x - \frac{0.207}{R}\right)^2 + y^2\right]}{\left[x^2 + \left(\frac{0.5}{R} + y\right)^2\right]^2} \right\} \end{aligned} \quad (3.13)$$

Чтобы избежать разрывов в
ности контакта обшивки с крыльем

и к A присоединим индекс x для индексации напора в получаемой формуле соответствующими x отображениями на плоскости x . Получим

$$k_x = H_B - \frac{Q}{4\pi} \ln \frac{(R+r)[1.452 - s^2 R^2] \times 10.000}{1.90(s^2 R^2 + 0.250)}$$

Более сложным выражением относительного фильтрационного

$$\frac{H_x}{H_D} \cdot 100\% = \frac{h_x - H_D}{H} \cdot 100\%$$

выражают зависимость коэффициента полного перенада напора прессованием напора в дифференциальном виде в трене. Тогда из (3.12), (3.15) и (3.16) получаем

$$\frac{R_0}{R} = \left(\frac{1 + \frac{2\pi^2 R^2}{L^2}}{1 - \frac{2\pi^2 R^2}{L^2}} \right)^{\frac{1}{2}} \quad 100\% \quad (3.17)$$

Эта формула позволяет построить эпюру относительных напоров, действующих по наружной поверхности обделки туннеля. Для этого следует выбрать несколько характерных точек внешнего контура обделки, определить их координаты u , v , найти по формуле (3.3) соответствующие этим координатам значения абсциссы x и подставить последние в (3.17). В результате получим искомые относительные напоры в этих точках.

Учитывая симметричность фигуры относительно для ее построения выбрать характерные точки в первом квадранте. В качестве таковых для зеркального отображения можно принять B и C (фиг. 6 и 5). Координаты x , y и z для точек B и C приведены в табл. 1. Подставляя соответствующие значения в формулы (1) получим следующие выражения:

$$\Delta = \frac{1}{2} \times 17500 \left(1 + \frac{R}{\gamma}\right) \% \quad (3.18)$$

$$t_0 = \frac{10}{\pi} \ln \left[0.435 \left(1 + \frac{R}{r} \right) \right] \% \quad (3.19)$$

$$\Phi_c = \frac{100}{e} \lg \left[0.250 \left(1 + \frac{R}{r} \right) \right] \%$$

$$e = \lg \left[0.0625 \left(1 + \frac{R}{r} \right)^2 \frac{R^{-3}}{r^{-3}} \left(1 + \frac{2r}{R} \right)^6 \right]$$

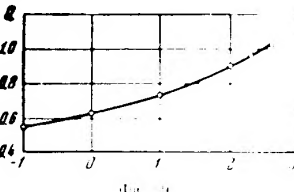
(3.12) и (3.21), имея в виду, что для перехода от производительности Q к действительному расходу Q_0 , поступающему во все тарелки, следует первый помножить на коэффициент фильтрации гравия.

$$\theta_0 = \frac{4\pi K_1 H}{\tau B}$$

таблица (4.2) для тумблеров из различных материалов и в схеме фиг. 5 приведены в табл. 2. По данным табл. 2 рассчитаны эпюры напоров для одноквадратной обделки (фиг. 8).



Фиг. 8. Затир измеров при проектировании туннельной обделки; γ — фильтрационный напор в процентах от действующего; по оси абсцисс — развертка по наружному контуру обделки; диаметр туннеля $D = 6$ м, глубина $t = 100$ м



Фиг. 9. Зависимость фильтрационного расхода Q от диаметра d дрен (мм).

В остальных квадрантах, как вытекает из сказанного выше (но при чине того, что $R \ll l$), эпюры получаются такими же.

Таблица 2

$\frac{d}{m}$	$\frac{\theta^*}{^\circ}$	$\frac{q}{kg/m^2}$	$\frac{q_0}{kg/m^2}$
0.1	57.6		0.0554
1	50.9		0.0635
10	43.4		0.0744
100	30.6		0.0896
200	26.0		0.0952
400	21.1		0.1015
-	0		0.119

На фиг. 9 в полулогарифмических координатах изображен график зависимости расходов от диаметра дюзы. График построен по данным лабораторного стендика табл. 2.

Заметим, что формула (3.22) представляет интерес и для анализа движения в горизонтальном направлении возможных потерь воды из напорных гидротрубопроводов турбинной коры через продольные трещины (или щели в швах очертания турбины бетона) в обделке. В этом случае следует еще учесть потерю давления H^* , вызванную гидравлическим сопротивлением движения воды в щелях трещин, и в формулу (3.22) подставить вместо H величину $H + H^*$. Если трещины рассматривать как полые (некомпактные), то можно определить величину H^* по формулам и графикам, имеющимся в [1].

8.4. Поглощенные газы
поглощены газами, находящимися в порах горных пород, а также в кавитации трещин скважин. Из приведенных в первом разделе способов извлечения газа из горных пород извлечение газа из породы с помощью гидравлического давления в настоящее время не применяется, так как оно существенно затруднено и входит в противоречие с технологией извлечения газа из горных пород, так как более с пылевиной различных растворов в горную породу, проходящую туннель.

Рамки этой статьи не позволяют остановиться за избранными как засводной, так и глубинной; отметим лишь, что такие меры существенно улучшаются статические условия работы оболочки, приобретая возможность успешной борьбы с агрессивными факторами грунтовых вод. Но здесь достигается за счет уменьшения доступа воды к специальным по избранию иллюстрируемых растворов,нейтрализующих отрицательность фильтрующихся вод.

В связи с этим несомненный интерес представляет шпуровой дренаж в свое время предложенный нами для одного из строительства ГЭС в специально исследованных экспериментально методом ЗГДА. Его основное преимущество: 1) возможность устройства после инъекции раствора из ствол или в породу, 2) легкая приспособляемость к местным изменяющимся геотехническим условиям путем изменения расположения, направления, длины и количества шпуров. Шпуровой дренаж легко комбинируется с дренажными водоизборными устройствами.

Подробный материал, характеризующий работу шпурового дрелика, дан в работе №.

Помимо этого, проведенные исследования показывают прежде всего высокую эффективность применения тканевых ободков и возможность расчета производительности труда определения их работы моделированием методами СУДА, а также, так и второй способа оценки времени выполнения других производственных операций.

Рассмотренные способы лишь частично разработаны возможных приемов динамирования. Последние могут получать во многих случаях конструктивные решения, не приводящие значительных затруднений при их осуществлении.

Простейшее дренажирование лотка туннеля уже обеспечивает снижение действующего напора грунтовых вод на 50-100%.

Как показывают расчет четырех дренажирующих лент и некоторые дополнительные теоретические исследования, не приводимые в этой статье, узлы дрен, расположенные параллельно одна другой на поверхности континентальной склонов с грунтом параллельно или же перпендикулярно к продольной оси туннеля в та же комбинации таких продольных и поперечных дрен, образующих замкнутую дренажную сеть, не должны снизить давление в 1-2 раза.

Составление данных о работе дренажных устройств, расположенных на поверхности почвы в соединении с породой, со штурумом, лежащим горячую породу в глубину покрывает, что поверхность почвы имеет по своим возможностям дренажу глубинному. Важно, что это особенно расширяет возможности дренажирования земель при использовании обоих методов воронья для понижения уровня грунтовых вод.

группами того или иного гидротехнического туннеля с учетом способа его конструкции и условий эксплуатации.

Однако, приведенные в табл. 2 и показанные на фиг. 8 и 9, позволяют сделать еще некоторые выводы, представляющие практический и теоретический интерес. Как показывает расчет для дрен различного диаметра d , даже при весьма малых величинах d давление грунтовых вод падает значительно. Так, при наличии четырех продольных дрен диаметром каждая всего лишь 0,1 мм давление грунтовых вод снижается в среднем приблизительно вдвое по сравнению со случаем отсутствия дрен. Но добные узкие дrenы могут образоваться естественным образом. Так, например, одна из схем, приведенных на фиг. 9, показывает, что трещина от грунтовых вод при проектировании и сооружении туннеля может быть не, трещинообразование ободной винтовой линии, а в результате действия по отношению к дренажу грунтовых вод.

Среднее значение величины Ψ_F в $K = II$ (см. листы 4 и 7 и строки табл. 2 (0,055 и 0,119), показывает, что физикационный расчет Ψ_F изменяется значительно слабее, чем измеренный параметр α .

Эти выводы и данные построены на основании результатами теоретических и экспериментальных исследований влияния тонких пленок на противодиффузционную эффективность водонепроницаемых шпунтовых заслон (§ 6). Еще ранее (1939 г.) к таким же выводам (о малой эффективности противодиффузционных влагод) при наличии в них даже весьма тонких пленок (щелей) мы пришли при выполнении научно-исследовательских работ для Мингечаурского гидроузла.

Таким образом можно заключить, что фильтрационные сопротивления дренажных труб неизменны и неизменяются при значительном увеличении стеканы перфорации их поверхности. Следовательно, всякого рода подземные трубы, служащие для извлечения из грунта нефти и подземных вод (с целью осушения, для водоснабжения и т. д.), можно приступить к эксплуатации без опаски перфорации их поверхности, снижая стеканы перфорации до предела, но превосходящих допустимые по графической устойчивости данного грунта или возможных по условиям исполнения перфорации.

HISTORICAL AND LITERARY

- ЛИТЕРАТУРА**

 - Маковский В. Л. Тунис. Изд. Академия архитектуры СССР, 1952.
 - Технические условия и нормы проектирования гидротехнических сооружений. Гидротехнические гидравлические гидроэнергетические сооружения. Изд. ГидроНИИ строительства, 1952.
 - Ломако Г. М. и Насбери Ф. М. Транспортные гидротехнические сооружения. Изд. ГидроНИИ строительства, 1952.
 - Ломако Г. М. Фильтрация в гидротехнических сооружениях. Изд. ГидроНИИ строительства, 1952.
 - Чугаева Е. А. Роль шунтирующих устройств в гидротехническом проектировании. Изв. ВИНИИ г. 32, 1952.
 - Федрага В. П. и Халиловская Г. И. Основные задачи гидротехнического проектирования сооружений за рубежом. Изв. ВИНИИ г. 32, 1952.
 - Вопросы фильтрационных расчетов гидротехнических сооружений под ред. проф. К. А. Михайлова. Изд. ГИИС, 1952.

$$x = \frac{Q\sqrt{1+\beta}}{2K(x)\pi} \int_0^1 \frac{F(\arcsin \sqrt{(1-\alpha)/\beta}; \zeta)}{\sqrt{1-t(1+\beta)}} dt$$

$$y = \frac{Q}{2K(x)} F\left(\arcsin \frac{\sqrt{\beta}}{\sqrt{1-\beta+\alpha^2}}, \zeta\right) \quad 0 < \alpha < \beta$$

аналогично для координаты x в пределах области фильтрации как функции параметров d и θ

$$x = \frac{Q}{2K(\sin \theta)} \int_0^1 \frac{t \sin \sqrt{\frac{t-d^2}{1-t}} \cdot \zeta}{\sqrt{1-t(1+\beta)}} dt + \frac{Q}{2k}$$

$$x = \frac{Q}{2K(\sin \theta)} \int_0^1 \frac{t \sin \sqrt{\frac{t-d^2}{1-t}} \cdot \zeta}{\sqrt{1-t(1+\beta)}} dt$$

(2.10)

Но из (2.10)

$$x = x(d, \theta)$$

тогда из (2.8), (2.9) получим для координаты y в виде:

$$y = \frac{Q}{2K(\sin \theta)} \int_0^1 \frac{t \sin \sqrt{\frac{t-d^2}{1-t}} \cdot \zeta}{\sqrt{1-t(1+\beta)}} dt + \frac{Q}{2k}$$

$$y = \frac{Q}{2K(\sin \theta)} F\left(\arcsin \frac{\sin \theta}{\sqrt{1-\sin^2 \theta}}, \zeta\right), \quad 0 < \theta < \beta \quad (2.11)$$

$$L = \frac{I}{H} = \frac{2 \sin \alpha}{\pi K(\sin \beta)} \int_0^1 \frac{F(\arcsin \sin \alpha \sin \varphi; \sin \beta \sin \varphi)}{\sqrt{1-\sin^2 \alpha \sin^2 \varphi}} d\varphi - \frac{K \cos \beta}{\pi K(\sin \beta)}$$

$$B' = \frac{B}{H} = \frac{2 \sin \alpha \cos \beta \sqrt{1-\sin^2 \alpha \sin^2 \varphi}}{\pi K(\sin \beta)}$$

$$B' = \frac{1}{\pi} \int_0^{\pi} \frac{F(\arcsin \sin \alpha \sin \varphi; \sin \beta \sin \varphi)}{(1-\sin^2 \alpha \sin^2 \varphi)^{1/2}} d\varphi - \frac{K \cos \beta}{\pi K(\sin \beta)}$$

где

$$\cos \beta = \sqrt{1 - \sin^2 \beta}, \quad \sin \beta = \sqrt{1 - \cos^2 \beta} \quad (2.12)$$

Если нам известна длина водопроявления L и высота H , то, после того как определены координаты x и y в уравнении (2.12), координаты точек свободной поверхности легко находятся по формулам (2.11), так как координата y в правой части выражения по формуле (2.11) вправе части уравнения (2.11) можно вычислить методом численного интегрирования.

§ 3. Фильтрация бесконечности к водоупору с двумя дренажами. Рассмотрим задачу о фильтрации избыточной симметричной фильтрации потока грунтовых вод из области подпора в горизонтальный водоупор, на уровне которого расположена система дренажа. Нетрудно видеть, что рассматриваемой задаче подходит тем частным случаем предыдущей задачи, когда канал находится в бесконечно удаленной (от водоупора) точке.

Чтобы получить решение поставленной задачи, нужно (2.6), (2.7), (2.11) и (2.12) положить $H = \infty$. Тогда из (2.6) получим, что

$$\lim_{H \rightarrow \infty} \frac{Q}{H} (\cos \beta) = \frac{1}{2} \pi \text{ при } \beta = \frac{1}{2} \pi, \quad \lim_{H \rightarrow \infty} \frac{H}{K(\sin \beta)} = \frac{Q}{K \pi} \text{ при } H \rightarrow \infty \text{ и } \beta = \frac{1}{2} \pi,$$

затем:

$$W(\zeta) = -\frac{Q}{\pi} \ln \left(\frac{\sqrt{1+d^2} + \sqrt{1-\zeta^2}}{d} \right) - \frac{C}{2} \quad (3.1)$$

$$Z(\zeta) = \frac{Q\sqrt{1+\zeta^2}}{4\pi^2} \int_0^1 \frac{\ln \left(\sqrt{d^2+t} + \sqrt{1-\zeta^2} \right) dt}{\sqrt{1-t(t+\zeta)}} + \frac{Q}{2k} + \frac{C}{\pi} \ln \left(\frac{1+\zeta^2}{1-\zeta^2} \right) \quad (3.2)$$

$$x = \frac{Q \sin \alpha \cos \beta \sqrt{1-\sin^2 \alpha \sin^2 \beta}}{4\pi^2} \int_0^{\pi} \frac{\ln \frac{1+\sin \alpha \sin \varphi}{1-\sin \alpha \sin \varphi} dt}{(1-\sin^2 \alpha \sin^2 \beta \sin^2 \varphi)^{1/2}} - \frac{C}{k} \quad (3.3)$$

$$y = \frac{Q}{2\pi k} \ln \left(\frac{1+\sin \theta}{1-\sin \theta} \right) \quad (0 < \theta < \pi) \quad (3.4)$$

$$L^* = \frac{L}{B_\infty} = \frac{2 \sin \alpha}{\pi^2} \int_0^{\pi} \frac{1 - \sin \alpha \sin \varphi}{1 - \sin \alpha \sin \varphi - \frac{1}{2} \frac{\sin \alpha \sin \varphi}{(1 - \sin^2 \alpha \sin^2 \varphi)^{1/2}}} d\varphi \quad (3.5)$$

где $2B_\infty = Q/k$ ширина потока грунтовых вод на бесконечности. Если известна длина водоупора $2L$, то после определения параметра x из уравнения (3.4), координаты точек свободной поверхности легко находятся по формулам (3.3), так как координата y выражается через элементарные функции, а интеграл, стоящий в правой части выражения (3.4), для x , можно вычислить методом численного интегрирования. Таким образом, основная трудность при решении данной задачи заключается в определении параметра x по заданной величине L^* из уравнения (3.5), которое можно представить в виде:

$$L^* = 1 + \frac{4}{\pi^2} I(x) \quad (3.6)$$

$$I(x) = \frac{1}{\sin \alpha} \int_0^{\pi} \frac{1}{2} \ln \frac{1+\sin \alpha \sin \varphi}{1-\sin \alpha \sin \varphi} \frac{\sin \varphi d\varphi}{\sqrt{1-\sin^2 \alpha \sin^2 \varphi}} \quad (3.7)$$

Так как интеграл $I(x)$ не выражается через элементарные или даже либо известные функции, то мы не можем найти зависимость $x(I^*)$ поисследованию из уравнения (3.6). Следовательно, нам необходимо использовать эффективный метод вычисления $I(x)$ для того, чтобы составить таблицу или построить график искомой зависимости.

§ 4. Метод вычисления интеграла (3.6). Приближенная формула для определения формы свободной поверхности. Для этого предложено способы следующего рода:

$$\frac{(1-u)^2}{2} \ln \frac{1+u}{1-u} = u - \frac{4}{3} u^3 + \frac{16}{15} u^5 - \frac{128}{315} u^7 + \dots \quad (3.8)$$

Положив здесь $u = \sin \alpha \sin \varphi$, получим

$$\frac{19}{2} \ln \frac{1+\sin \alpha \sin \varphi}{1-\sin \alpha \sin \varphi} = \frac{\sin \alpha \sin \varphi}{(1-\sin^2 \alpha \sin^2 \varphi)^{1/2}} - \frac{1}{3} \frac{(\sin \alpha \sin \varphi)^3}{(1-\sin^2 \alpha \sin^2 \varphi)^{5/2}} + \frac{11}{8} (\sin \alpha \sin \varphi)^5 - 48 \sum_{n=2}^{\infty} \frac{(-1)^n \sin^{2n} \alpha \sin^{2n} \varphi}{(2n-1)(2n+1)} \quad (3.9)$$

Если теперь подставим (4.2) в (3.6), то получим

$$I(x) = \frac{1}{\cos^4 \alpha} \left[a_4 - \frac{1}{3} a_6 + \frac{11}{5} a_8 - 48 \sum_{n=2}^{\infty} \frac{a_{2n}}{(4n^2-1)(4n^2-9)} \right] + a_{2n} + \cos^4 x \sin^{2n} x \int_0^{1/\sqrt{x}} \frac{\sin^2 \varphi d\varphi}{(1-\sin^2 \alpha \sin^2 \varphi)^{1/2}} \quad (4.6)$$

$$I(x) = a_4 - \frac{1}{3} a_6 + \frac{11}{5} a_8 - 48 \sum_{n=2}^{\infty} \frac{a_{2n}(n+2)}{(4n^2-1)(4n^2-9)} \quad (4.6)$$

и, как видно, получили выражение, и поэтому при вычислении коэффициентов можно использовать любым числом членов. Можно использовать и бесконечное выражение:

$$a_{2n} + (2n+5)a_{2(n+2)} = 0 \quad (4.5)$$

и, значит, и a_2 и a_4 , последние же, как

$$\begin{aligned} & a_4 = \frac{1}{2} \int_0^{\pi/2} x^2 \cos^2 x K(\sin x) \\ & a_6 = \frac{1}{2} \int_0^{\pi/2} x^2 \cos^2 x K(\sin x) \end{aligned} \quad (4.6)$$

и т. д., можно определить для любого α . Для $\alpha = \pi/4$ получим для поверхности, как уже

видели, формулу (3.6). Для $\alpha = 0$ получим формулу (3.3). Но этот же интеграл можно представить в виде бесконечного выражения, если к сплюснутому (см. фиг. 4.2). Действительно, подставив (4.2) в (3.3), получим:

$$\frac{r}{r-1} = \frac{4V(1-\cos^2 x \sin^2 \theta)}{(\sin x \cos \theta)^2 \cos^4 \theta} \left[b_2 - \frac{1}{3} b_4 + \frac{11}{5} b_6 - 48 \sum_{n=2}^{\infty} \frac{b_{2(n+2)}}{(4n^2-1)(4n^2-9)} \right] + b_{2n} - \frac{v}{B_{2n}} = \frac{1}{\pi} \ln \left(\frac{1+\sin \theta}{1-\sin \theta} \right) \quad (4.7)$$

$$b_{2n} = (\cos x \cos \theta)^4 \sin^{2n+2} \alpha \int_0^{1/\sqrt{\cos x \cos \theta}} \frac{\sin^2 \varphi d\varphi}{(1-\sin^2 \theta \sin^2 \varphi)^{1/2}} = \frac{1}{1-\sin^2 \theta \sin^2 \theta} \quad (4.8)$$

Все коэффициенты b_{2n} легко определяются из выраженного соотношения

$$b_{2n} = \sin^2 \theta b_{2(n+2)} + (2n+5)a_{2n} \quad (4.8)$$

ПОСЛЕ ТОГО КАК НАЙДЕНЫ коэффициенты, можно

$$\begin{aligned} b_0 &= \frac{(\cos x \sin \theta \cos \theta)^2}{3} \\ &+ I(x) \sin x = \frac{(\cos x \sin \theta \cos \theta)^2}{3} K(\sin x) + \\ &+ \sin^2 x \cos^2 \theta \left[K - \frac{1}{3} + \frac{11}{5} - \frac{12 \theta}{1-\sin^2 \theta \sin^2 \theta} \right] \quad (4.9) \end{aligned}$$

$$I(x) = I(\theta, \sin x)$$

3. Рассмотрим вопрос о поиске свободной поверхности в окрестности точки L^* , т. е. вблизи дренажа. Для этого в формуле (3.3)

если $\sin \theta = \operatorname{sh}^{-1}/p$, $\sin \theta = \operatorname{th}^{-1}/p$, тогда получим:

$$\begin{aligned} p &= \frac{1}{2} \sin \alpha \int_0^{1/\sqrt{1-\sin^2 \alpha}} \frac{y^2}{(1+(1-\sin^2 \alpha \sin^2 \theta) \sin^2 \varphi)^{1/2}} \frac{dy}{\sqrt{1-\sin^2 \alpha \sin^2 \varphi}} \\ y^2 &= \frac{p}{\pi} \end{aligned}$$

Для $\sin \frac{\theta}{2} < 1$ имеет место разложение:

$$\frac{V(1+\cos^2 \theta \sin^2 \theta)^{1/2}}{1+(1-\sin^2 \alpha \sin^2 \theta) \sin^2 \theta} = 1 + \frac{2 \sin^2 \alpha \sin^2 \theta}{\pi} + (1+\sin^2 \alpha)$$

где $O(\nu^2)$ — члены, имеющие порядок малости по мере уменьшения ν .

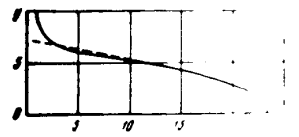
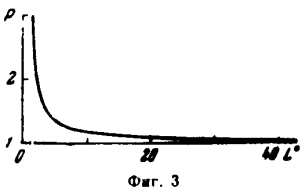
$$L^* = L^0 - \frac{1}{2p} y^2 + O(y^4)$$

$$\begin{aligned} p &= \frac{\cos^2 \alpha}{c_2} - \frac{1}{3} c_4 + \frac{11}{5} c_6 - 48 \sum_{n=2}^{\infty} \dots \\ a_{2n} &= (1+\sin^2 \alpha) a_{2n} = 2a_n \end{aligned} \quad (4.10)$$

Таким образом, с точностью до членов четвертого порядка малости относительно ординаты y^2 свободной поверхности вблизи дренажа совпадает с параболой

$$y^2 = 2p(L^0 - x^2) \quad (4.11)$$

График зависимости p от L^* изображен на фиг. 3. Из графика видно, что при больших L^* параметр p мало отличается от единицы, и на



Фиг. 3

также показать, что $\lim p = 1$, если $L^* \rightarrow \infty$. Следовательно, для достаточно больших L^* можно положить $p = 1$. Вычисления, произведенные для различных L^* , показали, что свободная поверхность, построенная на основе формулы (4.6), на сравнительно большом расстоянии от дренажа практически совпадает, а дальше — очень мало отличается от кривой (4.11). На фиг. 4 сплошная линия — кривая (4.11), пунктирная линия — кривая (4.6).

В заключение авторы благодарят профессора А. П. Кочин и профессора П. И. Полубаринова-Кочина за интерес к работе и помощь в выполнении настоящей работы.

ЛИТЕРАТУРА

1. Полубаринова-Кочина П. И. Уравнение гравитации. М., 1962.
2. Смирнов Ю. С. Элементы теории функций комплексной переменной. М., 1964.

**ХВОСТИК АВИАЦИИ
СОВЕТСКОГО СОЮЗА**

№ 6

**ПРИЛОЖЕНИЕ В К НАЧАЛЕ С ПЕРЕМЕННЫМ ДАВЛЕНИЕМ
НА КОНЦУ РИГИЛАНДИИ (ОПРЕДЕЛЕНИЮ ПАРАМЕТРОВ ПЛАСТИ
И СКВАЖИН ПРИ ПОМОЩИ КАРТЫ ИЗОВАР)**

И. А. ЧАРИМЯН

М. А.

Сущность метода определения параметров скважин производится в том, что скважина имеет форму, отличную от сферической формы — так называемую форму изометрии.

Метод определения параметров скважин при помощи карты изовар с целью определения давления на концах скважин требует необходимости расширения уравнений для определения давления при произвольном расположении концов скважин.

Насть в кольце ограниченном скважиной и окружностями с радиусами R_1 и R_2 ($R_1 < R_2$) распределение давления с обитом Q . Полярные координаты центра скважины r , θ . Центр считается плоским макроскопом h . На окружностях $r = R_1$, $r = R_2$ заданы контурные давления $p_1(b)$ и $p_2(b)$. Требуется найти распределение давления $p(r, \theta)$ в кольце.

Введем в рассмотрение фильтрационный потенциал $\Phi = kp/r$, где k — проницаемость, p — вязкость. Как принято в электростатике, будем искать решение уравнения $\nabla^2\Phi = 0$ в виде суммы

$$\Phi(r, \theta) = \varphi(r, \theta) + \psi(r, \theta) \quad (1)$$

Здесь

$$\varphi(r, \theta) = \frac{q}{4\pi} \ln [r^2 + b^2 - 2rb \cos(\theta - \alpha)] \quad (q = \frac{Q}{h})$$

потенциал единичной скважины, расположенной в неограниченной плоскости, $\psi(r, \theta)$ — новая функция, ограничивающая особенности внутри кольца, должна удовлетворять условию $\lim_{r \rightarrow \infty} \psi(r, \theta) = 0$.

Общее решение уравнения (1) в явном виде имеет вид

$$\psi(r, \theta) = \sum_{m=0}^{\infty} \left[d_m \sin(m\theta) + d_m \cos(m\theta) + d_m \sin(m\theta) \right] r^{-m} \quad (2)$$

Для определения коэффициентов $d_0, d_1, d_m, b_m, c_m, d_m$ подлежат решению следующие уравнения

$$\begin{aligned} R_1 \psi'(R_1, \theta) - \Phi_1(b) &= \frac{q}{4\pi} \ln [R_1^2 + b^2 - 2R_1 b \cos(\theta - \alpha)] \\ R_2 \psi'(R_2, \theta) - \Phi_2(b) &= \frac{q}{4\pi} \ln [R_2^2 + b^2 - 2R_2 b \cos(\theta - \alpha)] \end{aligned} \quad (3)$$

или

$$d_0 + \sum_{m=1}^{\infty} (d_m \cos(m\theta) + d_m \sin(m\theta)) + \Phi_1 \sin(\theta) + \Phi_2 \cos(\theta) = 0 \quad (4)$$

коэффициенты определяются по формулам

$$\Phi_1' = \frac{1}{2\pi} \int_0^{2\pi} \Phi_1(\theta) d\theta, \quad \Phi_m = \frac{1}{\pi} \int_0^{2\pi} \Phi_1(\theta) \cos(m\theta) d\theta, \quad \Phi_{1m} = \frac{1}{\pi} \int_0^{2\pi} \Phi_1(\theta) \sin(m\theta) d\theta$$

Тогда, пользуясь разложением

$$\ln(1 + a^2 - 2a \cos \theta) = -2 \sum_{n=1}^{\infty} \frac{(-1)^n}{n} \cos(n\theta) \quad (5)$$

после вычислений получаем распределение давления в кольце

$$\Phi(r, \theta) = F(r, \theta) + \frac{q}{4\pi} \left[f(r, \theta) - \frac{1}{2} (1 - \cos \theta) \right] \quad (6)$$

где

$$F(r, \theta) = \frac{\Phi_1 \ln(R_2/R_1) - \Phi_1 \ln(R_1) - \Phi_2 \ln(R_2) + \Phi_2 \ln(R_1)}{\ln(R_2/R_1)}$$

$$+ \sum_{n=1}^{\infty} \left[\frac{\Phi_{1n} \left(\frac{r}{R_1} \right)^n - \Phi_{2n} \left(\frac{r}{R_2} \right)^n + \Phi_{2n} \left(\frac{R_1}{r} \right)^n - \Phi_{1n} \left(\frac{R_2}{r} \right)^n}{\left(\frac{R_1}{r} \right)^n - \left(\frac{R_2}{r} \right)^n} \right]$$

$$+ \frac{\left[\Phi_{1n} \left(\frac{r}{R_2} \right)^n - \Phi_{2n} \left(\frac{r}{R_1} \right)^n + \Phi_{2n} \left(\frac{R_1}{r} \right)^n - \Phi_{1n} \left(\frac{R_2}{r} \right)^n \right]}{\left(\frac{R_2}{r} \right)^n - \left(\frac{R_1}{r} \right)^n} \ln \theta \quad (7)$$

$$\begin{aligned} f(r, \theta) &= \frac{\ln R_2 \ln(R_2/R_1) + \ln r \ln(R_2/R_1)}{\ln(R_2/R_1)} \\ &+ \sum_{n=1}^{\infty} \frac{\cos(n(\theta - \alpha))}{n} \left[\frac{\left(\frac{R_1}{r} \right)^n - \left(\frac{R_2}{r} \right)^n + \left(\frac{R_1}{r} \right)^n - \left(\frac{R_2}{r} \right)^n}{\left(\frac{R_2}{r} \right)^n - \left(\frac{R_1}{r} \right)^n} \right. \\ &\quad \left. - \frac{\left(\frac{R_1}{r} \right)^n \left(\frac{R_2}{r} \right)^n}{\left(\frac{R_2}{r} \right)^n - \left(\frac{R_1}{r} \right)^n} \right] \end{aligned} \quad (8)$$

Прямой проверкой, учитывая (6), можно убедиться, что формула (6) удовлетворяет уравнению Лапласа и граничным условиям (4).

Потенциал Φ_1 на контуре скважины малого радиуса r_0 определяется согласно (7), формулой

$$\Phi_1 = F(r_0, \theta) + \frac{q}{2\pi} \left[1 - \ln \left(\frac{R_2}{R_1} \right) \right] \quad (9)$$

Ось же можно найти из формулы

При этом суперпозиции формулы (8) для скважин обобщаются на случай промысловых скважин.

Для частного случая $R_1 = 0$ (смешение в (2) $c_1 = 0, c_0 = d_n = 0$) распределение давления в (2) водится к виду

$$p(r, \theta) = p_2 - \sum_{n=1}^{\infty} (p_{2n} \cos n\theta + p_{2n}' \sin n\theta) \left(\frac{r}{R_2}\right)^n + \sum_{m=1}^{\infty} Q_m \ln \frac{r^2 + R_2^2 - 2rR_2 \cos(n-\alpha_m)}{r^2 + R_2^2 + 2rR_2 \cos(n-\alpha_m)} \quad (11)$$

где $\alpha_m = \alpha_0 + m\pi$, r — радиус, θ — полярные координаты центра R_2 относительно центра R_1 , r — радиус-вектор точки p на контуре, z — параметр проводимости, n — порядковый номер отсчета на окружности $r = R_2$.

$$\alpha_m = \alpha_0 + m\pi \quad (12)$$

Для же

суммируя членами по p_2 уравнениям

$$p_2 = \sum_{m=1}^{\infty} Q_m \ln \frac{r^2 + R_2^2 - 2rR_2 \cos(n-\alpha_m)}{r^2 + R_2^2 + 2rR_2 \cos(n-\alpha_m)} + \sum_{m=1}^{\infty} Q_m \ln \frac{r^2 + R_2^2 - 2rR_2 \cos(n-\alpha_m)}{r^2 + R_2^2 + 2rR_2 \cos(n-\alpha_m)} \quad (13)$$

В случае несовершенных скважин под r_c следует подразумевать так называемый приведенный радиус $r_c \exp(-C)$, где C — фильтрационное сопротивление, обусловленное несовершенством скважины по величине и характеру зкрытия пластика.

Интерференция скважин в пласте, имеющем в плане форму односвязной или двухсвязной области, может быть исследована при помощи конформного отображения области на круг и на круговое кольцо с последующим использованием формул (7) и (1).

Формулы (11) и (13) по виду аналогичны, если приведенные радиусы скважин при помощи карты изображены в виде изобар давления, следующим образом:

Пусть на карте изобар радиуса $R = R_2$ с центром в точке O . Давление на изобаре R в точке O является непосредственно по карте изобар и методом гармонического анализа может быть разложено в ряд Фурье. Для давления p_0 в точке O — центре круга, за формулу (11) при $r = 0$, находим параметр c

$$p_0 = p_2 - \sum_{m=1}^{\infty} Q_m \ln \frac{R_2}{R_2 - R_m} = \frac{1}{2\pi(p_2 - p_0)} - \sum_{m=1}^{\infty} Q_m \ln \frac{R_2}{R_m} \quad (14)$$

Зная c , Q_m , p_0 из (13) можно найти приведенные радиусы скважин, расположенных внутри круга.

Поступило 19 IV-60

ДИСПЕРСИЯ ГРУНТОВЫХ ВОД В РАЙОНАХ ПЛОТИН, ШЛЮЗОВ И КАНАЛОВ

Б. Н. ВЕРИГИН
(Москва)

При устройстве плотин и других водонапорных сооружений путь к естественным грунтовым водам изменяется. Эти изменения состоят в том, что близкое водонапорного сооружения образуется зона фильтрации на верхнем бьефе в нижний (фиг. 1, зона A). Фильтрационное течение в этой зоне отнимает естественный грунтовый поток в сторону нижнего бьефа.

При этом естественный грунтовый поток вблизи плотины претерпевает изгиб и разделяется на две отдельные зоны.

В наиболее типичном случае, когда естественные подземные воды питают реку, в одной из этих зон (фиг. 1, зона C) естественный поток движется из город, стоящих берегов и русла реки, но дну верхнего бьефа, а в другой зоне (фиг. 1, зона B) этот поток течет из город, стоящих берегов и русла реки, но дну нижнего бьефа.

Такая кинематическая картина имеет место под дном водохранилища и в основании плотины (в вертикальном разрезе), а также в берегах рек и в зоне береговых примыканий каналов (в горизонтальной плоскости).

Для расчета фильтрационных явлений в береговой зоне близких рек, где получась главным образом установившийся режим фильтрации вод [1, 2, 4, 9]. В частном случае задачи задачи Н. Н. Павловским исследовалась неуставновившаяся фильтрация под плотиной [1].

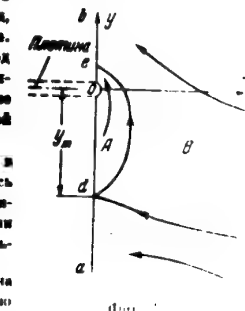
В одном случае фильтрация в обход плотины на канале Н. И. Полубариновой-Кочиной впервые было рассмотрено неуставновившееся движение фильтрационных вод в береговой зоне [6, 7].

Изучение этого движения представляет практический интерес, так как наблюдения за режимом грунтовых вод в районах плотин показывают, что фильтрационное течение и естественный грунтовый поток не успевают установиться в течение первого периода после постройки сооружения и может продолжаться.

Фильтрационный и естественный грунтовые потоки не успевают установиться в зоне основания плотины после постройки сооружения, зоны береговых потоков, однако, здесь наблюдается сменение вод в зонах изобар грунтовых вод по сравнению с их режимом в береговой зоне.

Неуставновившийся характер течения грунтовых вод в зоне основания плотин вызывает также периодический режим работы мелиоративных сооружений. Ниже исследуется переменный режим грунтовых фильтрационных и естественных вод в зонах основания плотин и береговых сооружений (главным образом в береговой зоне).

1. Основное уравнение. Течение, вызываемое движением изобарами в зоне основания плотин, движение грунтовых вод по свободной поверхности, называемое *сплангонной задачей* в зоне основания



Фиг. 1

результате (1) получается уравнение для определения температуры в единицах измерения теплопроводности, в частности, для определения напора (3.4), т. е.

$$t = \frac{h^2}{2} \quad (1.1)$$

с координатами x, y в момент времени t (см. фиг. 1).

Чтобы вблизи плотинам расстояниям x и y (фиг. 1, точка 0) определить интенсивности M и N , нам для дальнейшего

$$M = N = 0 \quad (1.2)$$

с помощью метода, указанный в [1], можно более обоснованно определить также

$$M = N = 0 \quad (1.3)$$

$$B(v, w) = \int_{-\infty}^{\infty} \frac{e^{ivy}}{y} dy, \quad B(v, u) = \int_{-\infty}^{\infty} \frac{e^{iuw}}{w} dw \quad (1.4)$$

где v и w частными решениями этого уравнения, соответствующими подстановки (1.4) в (1.1). В соответствии с (1.3) будем

$$B(v, w) = \int_{-\infty}^{\infty} \frac{e^{ivy}}{y} dy = \frac{M}{2\pi} \exp \left(-\frac{v^2}{4M} \right) \quad (1.5)$$

Это выражение для B получено в результате непрерывного преобразования выражения Абеля для линейных дифференциальных уравнений (см. [2]).

Если $t \rightarrow \infty$, то в соответствии с (1.1) и (1.5) получим

Выразим M из (1.5) и подставим в (1.2). Тогда получим

Из (1.2) и (1.3) получим

При этом получим

Границочное условие для того же угла, но при мгновенном изменении температуры на $\frac{h^2}{M}$ вдоль стороны ox .

Решение рассматриваемой задачи можно найти также посредством разложения вдоль оси y (или x) постоянных линийных таблетов с осями, параллельными оси x (или соответственно y).

Обозначая в (1.6)

$$v = \frac{x}{2\sqrt{at}}, \quad k = \frac{y}{2\sqrt{at}}, \quad b = \operatorname{arctg} \frac{y}{x} + \pi/2, \quad (1.6)$$

и вводя в (1.6) подстановку $\xi = \operatorname{arctg}(v, b)$, получим

$$u = \frac{M}{4} B(v, b), \quad B(v, b) = \frac{1}{2} e^{-\frac{v^2}{4M}} \sum_{n=0}^{\infty} \frac{(2n+2)^2}{(2n+1)!} \quad (1.7)$$

Интеграл (1.8) можно представить в виде суммы степенных функций $B(v, w)$, выражющейся следующим образом:

$$B(v, w) = \frac{1}{2} \left\{ \operatorname{arctg} w + e^{-\frac{v^2}{4M}} \sum_{n=0}^{\infty} \frac{(2n+2)^2}{(2n+1)!} \sum_{k=1}^{2n+2} (-1)^k \right\} \quad (1.8)$$

$$\frac{2}{\pi} \left\{ \operatorname{arctg} w + \frac{1}{1-w^2} \left[\frac{v^2}{4M} w + \frac{v^4}{4M^2} \frac{w^3}{3} - \frac{v^6}{4M^3} \frac{w^5}{5} + \dots \right] \right\} \quad (1.9)$$

$$\text{или} \quad B(v, w) = \frac{1}{2} e^{-\frac{v^2}{4M}} \left\{ \operatorname{arctg} w + \sum_{n=1}^{\infty} \frac{(-1)^n}{(2n-1)!} \sum_{k=1}^{2n-2} \frac{w^{2k-1}}{2k-1} \right\} \quad (1.10)$$

$$\frac{2}{\pi} e^{-\frac{v^2}{4M}} \left\{ \operatorname{arctg} w + \frac{v^2}{4M} w + \frac{v^4}{4M^2} \frac{w^3}{3} - \frac{v^6}{4M^3} \frac{w^5}{5} + \dots \right\} \quad (1.11)$$

Это выражение для B получается посредством разложения линейной функции (1.8) в степенной ряд и последующего интегрирования.

При $w \rightarrow \infty$, $v \rightarrow \infty$ из (1.6) будет

$$B(v, \infty) = \frac{1}{2} \exp \left(-\frac{v^2}{4M} \right) \sum_{n=0}^{\infty} \exp \left(-\frac{v^2}{4M} \right) \cdot \left[1 - \Phi \left(\frac{v}{2\sqrt{M}} \right) \right] \quad (1.12)$$

где $\Phi(x) = \frac{1}{2} \operatorname{erf}(x/\sqrt{2})$. При $t = 0$, $v \rightarrow \infty$ из (1.6) получим

$$B(\infty, v) = \frac{1}{2} \exp \left(-\frac{v^2}{4M} \right) \quad (1.13)$$

При $v \rightarrow 0$, $w \rightarrow \infty$ из (1.6) получим

$$B(v, \infty) = \frac{1}{2} \exp \left(-\frac{v^2}{4M} \right) \left[1 - \Phi \left(\frac{v}{2\sqrt{M}} \right) \right] \quad (1.14)$$

При $v \rightarrow 0$, $w \rightarrow 0$ из (1.6) получим

$$B(v, 0) = \frac{1}{2} \exp \left(-\frac{v^2}{4M} \right) \left[1 - \Phi \left(\frac{v}{2\sqrt{M}} \right) \right] \quad (1.15)$$

Изменение температуры вдоль линии, щелев и канала

вихревые поля решаются методом конечных разностей, вихревые волны вблизи плотин решаются методом конечных разностей.

2. Плотина на реке или бьефе. Примем, что в начальный момент времени $t = 0$ в соответствии с принципиальной схемой движения грунтовых вод в зоне do поток, параллельный оси x , определяемый уравнением (1.1) при $\partial h / \partial t = 0$. Допустим, что до устройства плотины существующий поток, параллельный оси x , определяемый уравнением (1.1) при $\partial h / \partial t = 0$. Пусть далее, после устройства плотины, при времени $t = 0$ горизонт воды вдоль уреза верхнего бьефа da мгновенно повышается от высоты над дном канала h_1 до высоты h_2 и в дальнейшем поддерживается постоянной. Тогда начальное и граничные условия задачи будут:

$$\left. \begin{array}{l} h = h_1 + h_e(t) \\ \text{при } y = 0 \end{array} \right\} \quad (2.1)$$

$$\left. \begin{array}{l} h = h_2 \\ \text{при } y = 0 \end{array} \right\} \quad (2.2)$$

$$\left. \begin{array}{l} h = h_2 \\ \text{при } y = 0 \end{array} \right\} \quad (2.3)$$

При $y > 0$ и $h < h_2$ в зоне da вдоль реки в естественных условиях поток грунтовых вод в реке $q_0 < 0$ и $k > k_{\text{крит}}$.

Решение уравнения (1.1) при данных граничных условиях находится в виде (2.1)–(2.3). В начальном сложении течения, соответствующем движению линии верхнего бьефа da вдоль реки в естественных условиях при мгновенном подъеме уровня воды вдоль уреза реки da , т. е.

$$\begin{aligned} \frac{1}{2} h^2 - \frac{1}{4} MB(x, w) + \\ + N[1 - \Phi(w)] + \frac{1}{2} h_2^2 \end{aligned} \quad (2.4)$$

Определив постоянные M и N из условий (2.2) и (2.3), получим:

$$h = \sqrt{h_2^2 + \frac{1}{2}(h_2^2 - h_1^2)[1 - \Phi(t)] - B(x, w)]} \quad (2.5)$$

где $x = y/2\sqrt{at}$ и $w = y/x$, а функция $B(x, w) = B(x, y)$, вычисленная нами по (1.9), находится из графика (фиг. 2).

При подстановки этого выражения в (2.5) имеем виду, что $B(y, -w) = -B(y, w)$, и потому для $w < 0$ в первых четырех $B > 0$, а в четвертой $B < 0$. При $y > 0$ имеем для $w > 0$ следующие

$$h = \sqrt{h_2^2 + h_1^2 + h_e(t)[1 - \Phi(t)]} \quad (2.6)$$

где при $y > 0$ имеем $x > 0$ и $w > 0$, т. е. $w < 1$.

Из (2.6) при $w < 1$ и $w > 0$ и $h = h_2$, в при $t = \infty$ имеем

$$\left. \begin{array}{l} h_2^2 - h_1^2 - \frac{\pi}{\pi - 1} (\frac{\pi}{2} - 6) \end{array} \right\} \quad (2.7)$$

Расчетное значение $h_2^2 - h_1^2$ характеризуется весьма интересной кинематической особенностью. Иными словами, при $q_0 < 0$ после подъема уровня водохранилища в зоне da в первый период времени (длительностью t_1 , на всем протяжении реки) верхнего бьефа da происходит фильтрация из водохранилища в грунтовый поток (фиг. 2, а). При этом на зоне da в

График сечения зоны da с раздельными линиями, шлюзов и каналов

зонах da образуется фильтрационная депрессия (ложбина), вытянутая вдоль уреза водохранилища (фиг. 2 а, пунктир). Наиболее точки этой ложбины вначале перемещаются от уреза водохранилища в глубь берега, достигают некоторого максимального удаления от этого уреза и затем снова приближаются к нему.

В этот период времени на оси ложбины в бесконечности существует критическая точка (точка разветвления потока) d , имеющей координаты $y = -\infty$ и $x = x_m$. В этой точке скорость фильтрации равна нулю, а глубина потока имеет минимум. К точке d прибывает мгновенная раздельная линия тока de , разграничитывающая весь поток грунтовых вод на две зоны (фиг. 2 а, зоны A и B).

В последующий период времени, т. е. при $t > t_1$ (фиг. 1, б), на части уреза верхнего бьефа da , удаленной от плотины, восстанавливается естественное грунтовое питание водохранилища, и депрессия в уровне грунтовых вод исчезает. На части верхнего бьефа da , примыкающей к плотине, вновь же в зоне da происходит фильтрация из водохранилища в грунтовый поток и существует фильтрационная депрессия. В этот период критическая точка d находится на урезе верхнего бьефа. К ней примыкает мгновенная раздельная линия тока bde , разграничитывающая весь поток на три зоны (фиг. 2, б, зоны A , B и C).

В обоих случаях раздельные линии тока не совпадают с осью фильтрационной депрессии.

При $q_0 > 0$ кинематическая структура потока будет иной (в этом случае точка разветвления d при $t = t_1$ появляется на урезе верхнего бьефа и затем перемещается вдоль этого уреза, удаляясь от плотины).

Первый период времени t_1 определяется из условия $h_2^2 - h_1^2 = 0$ при $x = 0$, где h находится из (2.6) при $t > 1$ и будет

$$t_1 = \frac{k^2(h_2^2 - h_1^2)^2}{4\pi q_0^2 a}$$

Фильтрационный расход на единицу длины уреза da в зоне da определяется из (2.5) и (1.8)

$$Q_0|_{t=0} = -k \frac{\partial (h^2)}{\partial x} = q_0 - k \frac{h_2^2 - h_1^2 - B_0}{4} \Big|_{x=0, t=0}$$

Начальное условие при $t < t_1$ выражается

$$h(x, y, 0) = \sqrt{h_0^2 - 2 \frac{q_0}{g} x + h_0},$$

где q_0 — удельный бытовой расход потока и k — коэффициент сопротивления грунта.

При $t > t_1$ начальное условие будет иным: оно состоит в том, что при $t < t_1$ выражение $h(x, y, t)$ для $t < t_1$ и для $t > t_1$ должны совпадать друг с другом. Иначе говоря, при $t > t_1$ начальное условие определяется



Фиг. 4

непрерывностью грунтовых вод, сформировавшейся в процессе неустойчивого движения за предшествующий период времени для точки $t=t_1$.

При $t > t_1$ решение данной задачи найдено выше и выражается равенством

$$\begin{aligned} h^2 - h_1^2 + \frac{1}{2} (h_2^2 - h_0^2) B_1, \quad B_1 = [1 - \Phi(v) - B(v, w)] \\ v = \frac{x}{2 \sqrt{g t}}, \quad w = \frac{y}{x} (t - t_1) \end{aligned} \quad (3.3)$$

При $t > t_1$ решение задачи находится из условия сохранения потока, определяемого равенством (3.3), текущим вдоль линейным вихрем, непрерывно действующим на промежутке времени момента времени $t=t_1$ и одномерного движения, образуемого в тот же момент времени изменения уровня воды в нижнем бьефе в момент времени $t=t_1$ (при $t=t_1$ имеем h_1).

Выполним такое сложение с равенством (3.3)

$$h^2 - h_1^2 + \frac{1}{2} (h_2^2 - h_0^2) B_1 = [1 - \Phi(v_1) - B(v_1, w)] + M \Phi(v_1) + P \quad (3.4)$$

$$v_1 = \frac{x}{2 \sqrt{g t}}, \quad w_1 = \frac{y}{x} (t - t_1) \quad (3.5)$$

Введем в (3.4) начальное условие, выражаяющееся по (3.3) при $t=t_1$, с граничными условиями (3.2). Тогда, принимая во внимание, что $\Phi(\infty, w) = 0$ и $B(\infty, w) = 1$, найдем постоянные M , N и P . После упрощения их значения из (3.4) получим

$$h = \sqrt{h_1^2 + \frac{1}{2} [(h_2^2 - h_0^2) B_1(v_1, w) + (h_1^2 - h_0^2) [1 - \Phi(v_1) + B(v_1, w)]]}, \quad (3.6)$$

где B_1 выражается по (3.3).

При $t > t_1$ и $v = 0$ вместо (3.6) получим

$$h = \sqrt{h_1^2 + \frac{1}{2} (h_2^2 - h_0^2) [1 - \Phi(v)] - (h_1^2 - h_0^2) B(v, w)}, \quad (3.7)$$

если $q_0 = 0$ и $A_0 = A_1$ то (3.7) получается случай, рассмотренный в работе [6] этим методом.

Решение (3.6) можно распространить на случай написания его для произвольному, например заданному графику зависимости $v(t)$ в бьефах от времени. Для этого воспользоваемся приведенным в 1950 г. аппроксимацией колебаний уровня воды на промежутке времени изменения уровня воды в верхнем и нижнем бьефах при помощи линейных функций: в моменты времени t_1, \dots, t_n в точках x_1, \dots, x_n в верхнем бьефе повышаются до H_1, \dots, H_n и в нижнем бьефе — соответственно до h_1, \dots, h_n . Тогда, в соответствии с (3.7) получим

a) первый период ($0 < t < t_1$)

$$h_1^2 = h_0^2 + \frac{1}{2} \{[(H_1^2 + h_0^2) - (H_1^2 + h_1^2)] \operatorname{erfc} \frac{v_0}{2 \sqrt{g t}} + [(H_1^2 + h_0^2) - (H_1^2 + h_1^2)] B(v_0, w)\} \quad (3.8)$$

b) второй период ($t_1 < t < t_2$)

$$\begin{aligned} h_2^2 = h_1^2 + \frac{1}{2} \{[(H_2^2 + h_1^2) - (H_2^2 + h_2^2)] \operatorname{erfc} \frac{v_1}{2 \sqrt{g (t-t_1)}} \\ + [(H_2^2 + h_1^2) - (H_2^2 + h_2^2)] B(v_1, w)\} \\ v_1 = \frac{y}{2 \sqrt{g (t-t_1)}} \end{aligned}$$

c) период номер n ($t_{n-1} < t < t_n$)

$$\begin{aligned} h_n^2 = h_{n-1}^2 + \frac{1}{2} \{[(H_n^2 + h_{n-1}^2) - (H_n^2 + h_n^2)] \operatorname{erfc} \frac{v_n}{2 \sqrt{g (t-t_{n-1})}} \\ + [(H_n^2 + h_{n-1}^2) - (H_n^2 + h_n^2)] B(v_{n-1}, w)\} \\ v_n = \frac{y}{2 \sqrt{g (t-t_{n-1})}} \end{aligned}$$

где $\operatorname{erfc}(v) = 1 - \Phi(v)$, а h_n находится из (3.2).

Кинематическая структура решения определяемого уравнением в общем случае характеризуется следующим трехкратным циклом (фиг. 4 a, точки d_1, d_2 и d_3). Каждый цикл содержит три периода (фиг. 3.7, точки d_1 и d_2) первого и второго порядка, соответствующими при $w \rightarrow \infty$ (II и III), и один цикл, в который точки переходят на кривые, соответствующие движению вдоль плоскости $w=0$ (I). Точка d_3 первоначально движется вдоль кривой, соответствующей движению вдоль

направлению течения, а затем — вдоль кривой, соответствующей перемещению точек d_1, d_2 и d_3 .

При $t \rightarrow \infty$ точки d_2 и d_3 движутся вдоль кривой, соответствующей уравнению (3.7), переходя в параллельное движение вдоль кривой, соответствующей уравнению (3.6).

Если в (3.7) $q_0 > 0$, то существует

¹ В работе [6] этот способ обобщен на случай криволинейной линии, а также кусочно-линейной кривой.

4. Плотина, головное водозаборное сооружение и канава. Рассмотрим движение грунтовых вод вблизи плотины Фокса, находящейся в расстоянии L от нее водозабора s и магнитрального щита, нормально к краю верхнего бьефа (фиг. 4, б). Примем, что в момент времени $t = 0$ начальная глубина постоянна глубина воды h_0 , стоящая вдоль берега до h_0 , и канале — до h_0 ($h_0 < h_1$) и в канале — до h_1 ($h_1 > h_0$). В дальнейшем эти глубины подвергаются изменениям. Если течение грунтовых вод в зоне между каналом и плотиной не является однородным, то оно отличается от другого, и их можно разделить на две зоны: зону, где оно имеет другой поток, где имеется место барьерного течения, и зону, где оно имеет место прямого течения. Поместим в точке (x, y) координатную систему, в которой x — направление, вдоль которого расположены друг на друга бьефы, а y — направление, перпендикулярное к нему. Тогда в зоне прямого течения поток v_x направлен вправо, а поток v_y — влево относительно канала. В зоне барьерного течения поток v_x направлен вправо относительно канала M , а поток v_y — вправо относительно канала M_1 .

Чтобы определить это движение, воспользуемся методом интегрирования уравнений движения грунтовых вод вблизи границы M и в канале M_1 . Для этого воспользуемся уравнением (3.1) для глубины h в зоне M :

$$\begin{aligned} \frac{\partial^2 h}{\partial x^2} + \frac{\partial^2 h}{\partial y^2} - k(h_0^2 - h^2) = E(x, y) \\ - h_0^2 \left[B' \frac{\partial v_y}{\partial x} + B'' \frac{\partial v_x}{\partial y} \right] + B' \frac{\partial v_y}{\partial x} - B'' \frac{\partial v_x}{\partial y} = 0, \quad (4.1) \\ \frac{\partial h}{\partial x} = \frac{x}{2V_{at}} + F = \frac{y}{2V_{at}} - (x, y), \end{aligned}$$

где $E(x, y)$ — характеристика водохранилища, глубина воды в бьефе не имеет места, то есть $E(x, y) = 0$. Если глубина h в канале и водохранилище изменяется одинаково, то движение грунтовых вод в канале, описанное уравнением (4.1), получает упрощение. Для этого воспользуемся уравнением (3.1) для канала и водохранилища, и имеем:

$$h^2 - h_0^2 = h_1^2 - h_0^2 = F. \quad (4.2)$$

Следовательно, движение грунтовых вод в канале и водохранилище определяется уравнением (4.1).

Если же движение грунтовых вод в канале и водохранилище неодинаково, то движение грунтовых вод в канале определяется уравнением (4.1), а движение грунтовых вод в водохранилище — уравнением (3.1).

Поместим в точке (x, y) координатную систему, в которой x — направление, параллельное движению грунтовых вод в канале, а y — направление, перпендикулярное к нему. Тогда в канале движение грунтовых вод определяется уравнением (4.1), а в водохранилище — уравнением (3.1).

$$\begin{aligned} \frac{\partial^2 h}{\partial x^2} + \frac{\partial^2 h}{\partial y^2} - k(h_0^2 - h^2) = E(x, y) \\ - h_0^2 \left[B' \frac{\partial v_y}{\partial x} + B'' \frac{\partial v_x}{\partial y} \right] + B' \frac{\partial v_y}{\partial x} - B'' \frac{\partial v_x}{\partial y} = 0, \quad (4.3) \\ \frac{\partial h}{\partial x} = \frac{x}{2V_{at}} + F_1(x, y) = \frac{y}{2V_{at}} - (x, y), \quad (4.4) \end{aligned}$$

Считаем здесь, что при $y = 0$ $h = h_0$, при $x = 0$ и $y \rightarrow L$ $h = h_1$, а при $x = 0$ и $y < L$ $h = h_0$.

Таким образом при $t = 0$ глубина грунтового потока выражается по (4.2) и в правой части решения (4.1) нужно добавить слагаемое

$$F(x, y, t) = -2 \frac{q_0}{k} x \Phi(t).$$

Функция F характеризует собой некоторое дополнительное движение, возникающее в области прямого угла ay при сдвиге y вправо. Так как $F(0, y, t) = 0$, $F(x, 0, t) = 0$ и начальном условии

$$F(x, y, 0) = -2 \frac{q_0}{k} x,$$

кинематическая структура течения определяется уравнением (4.1) изображена на фиг. 4, б. В общем случае движение грунтовых вод имеет две точки раз渲еления (фиг. 4, б) — d_1 и d_2 . Если в начальный момент времени d_1 и d_2 находятся вблизи $x = 0$ и $y = 0$, то они расходятся вправо, и в дальнейшем сдвигаются вправо. При этом одна из точек d_1 и d_2 становится критической точкой d_1 .

5. Канал с несколькими изгибами. Исследуем движение грунтовых вод в районе прямодействующего канала при наличии на нем нескольких изгибов, находящихся на расстояниях $L_1 \dots L_k$ друг от друга и имеющих разные напоры.

Рассматриваемая задача решается посредством размещения непрерывного действующих линейных изгибов в местах расположения изгибов и сужения изгибами зона течения с некоторым дополнительным движением потоком, определяемым уравнением типа (4.5). Интенсивность и направление этих изгибов, вообще говоря, различны; если глубина вблизи разделяющих изгибы соседних бьефов всюду возрастает вдоль канала, то направление этих изгибов будет одинаковым.

Примем, что естественная глубина грунтового потока в районе изгиба определяется уравнением

$$h_0 = \sqrt{h_0^2 - 2 \frac{q_0}{k} x - 2 \frac{q_1}{k} y}, \quad (4.5)$$

где h_0 — глубина грунтового потока в месте расположения единичного изгиба, x — расстояние от изгиба, y — расстояние грунтового потока от изгиба вдоль канала, q_0 и q_1 — характеристики расположенных вблизи изгиба изгибов.

Пусть изгибы канала расположены вблизи $x = 0$ и $x = L_1$ и $x = L_2$ (фиг. 4, в). Тогда движение грунтовых вод вблизи изгиба $x = 0$ определяется уравнением (4.5), а движение грунтовых вод вблизи изгиба $x = L_1$ — уравнением (4.4).

При таких условиях решением уравнения (4.1) является

$$\begin{aligned} h^2 - h_0^2 = \frac{1}{2} \left(x - L_1 \right)^2 + F_1(x, y) \\ - h_0^2 \left[B' \frac{\partial v_y}{\partial x} + B'' \frac{\partial v_x}{\partial y} \right] + B' \frac{\partial v_y}{\partial x} - B'' \frac{\partial v_x}{\partial y} = 0, \quad (4.6) \end{aligned}$$

$$\begin{aligned} \frac{\partial h}{\partial x} = \frac{x}{2V_{at}} + F_1(x, y) = \frac{y}{2V_{at}} - (x, y), \\ F_1(x, y, 0) = -2 \frac{q_0}{k} x, \quad (4.7) \end{aligned}$$

Имея в виду, что $B(0, \pm \infty) = \pm \frac{1}{2}$, из (5.2) получается: глубина $h = h_1$ (для $y < 0$) и $h = h_2$ (для $y > l$), а при $t=0$ глубина h определяется из (5.2), принимая во внимание, что $B(0, 0)$ для $t \rightarrow \infty$ из (5.2), примем во внимание, что $B(0, 0) = 0$.

$$h^2 = -2\frac{q_0}{k}x + \frac{1}{4}(h_1^2 + h_2^2) - \frac{(h_1^2 - h_2^2)}{\pi} \operatorname{arctg} \frac{x}{h_1} + \frac{(h_1^2 + h_2^2)}{\pi} \operatorname{arctg} \frac{y-l}{h_2} \quad (5.4)$$

При $x = 0$ уравнение (5.4) удовлетворяет тем же граничным условиям, что и (5.2).

В рассмотренном течении в общем случае существуют **четыре критические точки** d_1 и d_2 , расположенные на уровнях бьефов (фиг. 4, e).

При $t \rightarrow \infty$ точки d_1 и d_2 сливются одна с другой, и поэтому в потоке сохраняются также две критические точки (d_1 и d_2).

Решение двух первичных задач при помощи рекуррентных формул типа (3.10) можно распространить на случаи одновременных или разновременных колебаний уровня воды в бьефах по закону ступенчатой линии. Во всех рассмотренных выше и других подобных задачах при $t \rightarrow \infty$ число критических точек равно $n = 2$, где n — число границ резкого напора во внешней контуре течения.

Во всех рассмотренных задачах можно более подробно исследовать кинематическую структуру потока. Если известна функция $\eta = 1/k t^{1/2}$, то уравнение мгновенных линий тока будет

$$\frac{dy}{dx} = \frac{q_y}{q_x} \quad (\text{при } t = \text{const}) \quad (5.5)$$

где

$$q_y = -k \frac{\partial \eta}{\partial y}, \quad q_x = -k \frac{\partial \eta}{\partial x} \quad (5.6)$$

Уравнение траекторий движения будет:

$$\frac{dx}{q_x[x, y, t(x, y)]} = \frac{dy}{q_y[x, y, t(x, y)]} \quad (5.7)$$

где время t выражено через x , y из уравнения мгновенных линий тока.

Если в районах шлюзов, шлюзов и каналов задают напорные подустановившиеся движения их будет соответствовать уравнением упругого ящичка mH , где H — напор шлюза или водоупорной кровли плотины, а m — мощность (толщина) ящичка. Используя силу, что уравнения движений напорных и ненапорных ящичков принципиально одинаковы, получим следующую формулу для $t(x, y)$:

$$t(x, y) = \sqrt{2H/m} \quad (5.8)$$

Несмотря на то что ящик решает вместо глубин потока h , h_1 , h_2 и т. д., то его можно решать через напоры H , H_1 , H_2 и т. д. во (5.8), получим аналогичные решения для упругого режима фильтрации. При этом и мгновенном и тоже значение коэффициента пропускности

может быть использованы не только при движении грунтовых вод в берегах реки вблизи гидросооружений, но и при исследовании фильтрации в основании земляного (грунтовой) дренажной задачи.

Уравнения (4.5) и (5.3) могут быть использованы для расчета движений грунтовых вод между дренами, пересекающимися под прямым углом при естественном уровне грунтовых вод, определенном уравнением (5.1).

Часть 2

ЛИТЕРАТУРА

- Павловский Н. И. Теория движения грунтовых вод. Литограф. изд., 1922.
- Аравин В. И. и Нумеров С. И. Теория движения грунтовых вод в водоформируемой пористой среде. 1953.
- Веригин И. Н. О неуставновившемся движении грунтовых вод в гидроизолированном хранилище. ДАН, т. 66, вып. 6, 1959.
- Веригин И. Н. Фильтрация в обход гидроизолированного хранилища. Гидротехническое строительство, № 6, 1960.
- Веригин И. Н. Движение грунтовых вод вблизи водохранилища. Гидротехническое строительство, № 6, 1952. Режим грунтовых вод при погашении и сработке водохранилища. Гидротехническое строительство, № 11, 1952.
- Полубаринова-Кочина П. Я. О неуставновившемся движении грунтовых вод при фильтрации из водохранилища. ПММ, т. 13, вып. 2, 1949.
- Полубаринова-Кочина П. Я. Теория движения грунтовых вод. ГИГИ, 1952.
- Полубаринова-Кочина П. Я. Некоторые задачи теории фильтрации газа в угольном пласте. ПММ, т. 18, вып. 1, 1954.
- Недрига В. Н. Расчет фильтрации в обход гидротехнических сооружений. Гидротехническое строительство, № 5, 1947.
- Веригин И. Н. и Шестаков В. М. Методы расчета движения грунтовых вод в двухслойной среде. Изд. ВОДГЕО, 1954.
- Рыжик И. М. и Градштейн И. С. Таблицы интегралов рядов и произведений. ГИГИ, 1951.
- Вочевер Ф. М. Гидротехническая оценка береговой фильтрации избыточных. Гидротехническое строительство, № 6, 1954.

ИЗВЕСТИЯ АН СССР

№ 6

**О ВЫБОРЕ ВЕЛИЧИНЫ РАСЧЕТНОЙ СКОРОСТИ
ВОЗДУХА В ОСЕВЫХ КОМПРЕССОРАХ ТРАНСПОРТНЫХ
И ГАЗОТУРБИННЫХ УСТАНОВОК**

Б. М. ЛИХТЕРОВ

(Ленгидрот)

Сделаны попытки определить величины, позволяющие оценить влияние изменения расчетной скорости первичного потока в компрессоре на его адиабатический к. п. д., габариты проточной части, вес и габариты в соответствии с критическим числу оборотов ротора.

Так как мощность, расходуемая на сжатие воздуха в газотурбинной установке при температурах газа, не превышающих 1000°, примерно в 2–3 раза больше полезной мощности, то к. п. д. компрессора оказывает большое влияние на общий к. п. д. цикла, а вес его составляет весьма заметную долю веса всей установки. К. п. д. осевого компрессора, его габариты и вес существенным образом зависят от величины абсолютной скорости потока воздуха в проточной части.

Увеличение расчетной скорости воздушного потока C при постоянном коэффициенте расхода воздуха φ позволяет увеличить напор ступени за счет увеличения окружной скорости и уменьшить габариты и вес компрессора при заданной степени повышения давления ε и весовом расходе воздуха G . Однако следует иметь в виду, что увеличение расчетной скорости течения воздуха приводит к увеличению относительных величин потерь во входном и выходном устройствах, а следовательно, к снижению адиабатического к. п. д. η_a всего компрессора¹. Если, кроме того, увеличено значение соответствует такому увеличению числа M на входе в лопаточный венец, при котором значение его будет превышать критическое число M_c , то адиабатический к. п. д. компрессора будет уменьшаться также и вследствие уменьшения к. п. д. отдельной ступени.

При проектировании стационарных установок вопрос о весе и габаритах осевых машин является главным; главным для этих установок является вопрос экономии газа. Поэтому величина скорости воздуха в первом компрессоре и приборах установки выбирается обычно достаточно малой, чт. первичном и выходном устройствах становятся неизначными падение числа M на входе в лопаточный венец меньше критического.

Под в. синим упр. этим понимается совокупность входного патрубка и первичного аппарата (расположенного перед рабочими колесами первой ступени) и выходным устройством — совокупность сопротивляющего аппарата (расположенного за направляющим венцом последней ступени), выходного диффузора и соплового патрубка.

— 30 —

Важнейший требование исходит из требования обеспечения высокой экономичности. Поэтому ограничение расчетного потока в авиационных компрессорах выполняется либо по допустимой по условиям прочности или по числу оборотов. В транспортных газотурбинных установок обычное требование обеспечения высокой экономичности приходит в конфликт с габаритами. Поэтому вопрос о правильном выборе величины скорости воздушного потока при проектировании осевых компрессоров транспортных установок приобретает важное значение².

Задача сводится к получению зависимостей, позволяющих оценить влияние величины скорости воздушного потока в компрессоре на его адиабатический к. п. д., габариты, число оборотов и на некоторые характеристики прочности.

Из рассмотрения процесса изменения состояния воздуха в компрессоре (фиг. 1) можно установить, что адиабатический к. п. д. компрессора выражается функцией

$$\eta_a = f(\eta_{ax}, \eta_{ct}, \eta_{vax}, C_1, C_2, C_3, \varepsilon, T_0) \quad (1)$$

где η_{ax} , η_{ct} , η_{vax} — к. п. д. соответственно входного устройства, ступени компрессора и выходного устройства; C_1, C_2, C_3 — абсолютная скорость потока соответственно перед первым ступенем, за последней ступенью и на выходе из компрессора; $\varepsilon = p_2/p_0$ — степень повышения давления в компрессоре; T_0 — температура воздуха перед приемным патрубком компрессора. Функция (1) может быть представлена в виде

$$\eta_a = f(\eta_{ax}, \eta_{ct}, \eta_{vax}, C_1, C_2, C_3, \varepsilon, \beta) \quad (2)$$

где

$$M_1^* = \frac{C_1}{V_1 g R T_0} \quad \beta = \frac{C_2}{C_1} \quad (3)$$

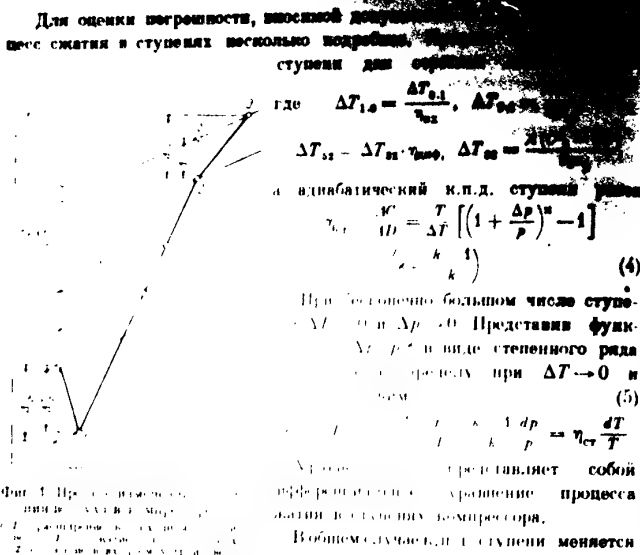
Ниже, при нахождении вида зависимости (2), приняты следующие допущения: а) число ступеней бесконечно большое; б) входная скорость воздуха C_0 равна нулю, а скорость на выходе из выходного устройства компрессора C_3 полностью теряется; в) к. п. д. всех ступеней одинаков.

Допущение (а) обосновывается сравнением адиабатических к. п. д. для процесса сжатия с бесконечно большим и конечным числом ступеней. Расчеты, проведенные по формулам (9.9) и (9.10) книги И. И. Кириллова³, а также по формулам (4.3), (4.4), (5.5) отчета⁴, показывают², что при степени повышения давления в к. п. д. не превышающем 0.8 расхождение между этими к. п. д. не превышает 1%.

Допущение (б) практически не вносит никакого влияния на результат, так как ввиду малости работы сжатия от входной C_0 до выходной C_3 в ступенях работы⁵.

¹ Следует также иметь в виду, что меня величину расхода воздуха можно влиять не только на к. п. д., габариты и число оборотов, но и на ряд характеристик прочности (например, на критическую скорость).

² В книге (1) формулы выведены для случая одноколесных компрессоров с одинаковыми по всем ступеням; для случая одноколесных компрессоров с различными по всем ступеням скоростями C_0 и малых степенях изменения давления коэффициент использования выходной кинетической энергии



(II). В случае сжатия в ступени с повышением температуры

$$\eta_{\text{ад}} = f(T) = \eta_{\text{ад},1} + a(T_2 - T_1)$$

(здесь $\eta_{\text{ад},1}$ — к.п.д. первой ступени; T_1 — температура перед первой

¹ Выше формулы (4), (6) и (7) заимствованы из книги В. С. Степанова [4], где рассматриваются процессы в ступенях компрессора при $\eta_{\text{от}} = \text{const}$.

ступени; a — постоянный коэффициент) уравнение (4) в общем виде будет иметь следующий вид:

$$\left(\frac{T_2}{T_1} \right)^{\frac{1}{k}} = \exp[a(T_2 - T_1)] \left(\frac{p_1}{T_1} \right)^{\eta_{\text{ад},1} + aT_1} \quad (x = \frac{k-1}{k}) \quad (8)$$

Адиабатический к.п.д. равен

$$\left(\frac{p_2}{p_1} \right)_H = \frac{1}{T_2/T_1 - 1} \left(\exp[a(T_2 - T_1)] \left(\frac{p_1}{T_1} \right)^{\eta_{\text{ад},1} + aT_1} - 1 \right)$$

Сравним адиабатический к.п.д. двух рассматриваемых в предыдущих примерах, принимая к.п.д. ступени в процессе 1-2 равным $\eta_{\text{ад},1} = \eta_{\text{ад},2}$, а среднюю к.п.д. ступени в процессе 1-2 равной $\eta_{\text{ад},H} = \eta_{\text{ад},1} - a(T_2 - T_1)$, т. е. получим

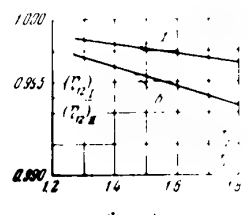
$$\eta_{\text{ад},H} = \frac{1}{k} [\eta_{\text{ад},1} + \eta_{\text{ад},2}]$$

Результаты такого сравнения представлены на фиг. 2 в виде зависимостей

$$\left(\frac{p_2}{p_1} \right)_H = f \left(\frac{T_2}{T_1} \right)$$

где $(\eta_{\text{ад},1})_I$ и $(\eta_{\text{ад},2})_{II}$ — соответственно адиабатические к.п.д. I и II процессов $T_1 = 300$ К.

- a) $\eta_{\text{ад},1} = 0.9, \quad \eta_{\text{ад},2} = 0.86, \quad \eta_{\text{ад},H} = 0.88$
- b) $\eta_{\text{ад},1} = 0.88, \quad \eta_{\text{ад},2} = 0.80, \quad \eta_{\text{ад},H} = 0.84$



Фиг. 2

Из сравнения можно сделать вывод, что отклонение истинного к.п.д. от к.п.д. в окрестности ступени от адиабатического к.п.д. в пределах изменения величин, которые могут иметь место в расчетном режиме работы компрессора, пренебрежимо мало и влияет на адиабатический к.п.д. процесса сжатия в ступенях компрессора. Поэтому использование документации (II) не может внести заметной погрешности в результат исследования.

Определить зависимость (2) в явном виде невозможно. В цепном виде, в частности, в виде

$$\eta_{\text{ад}} = f(\eta_{\text{ад},1}, \eta_{\text{ад},2}, \eta_{\text{ад},3}, \dots, M_1^*, \alpha, \beta) \quad (9)$$

получить искомую зависимость нетрудно. Для этого нужно логарифмировать уравнение (6) и подставить отношения T_2/T_1 и p_2/p_1 , выраженные на основании рассмотрения отдельных процессов изменения состояния воздуха (0, 1, 2, 2-3) через величины $\eta_{\text{ад},1}, \eta_{\text{ад},2}, \eta_{\text{ад},3}, \alpha, M_1^*$ и β .

Температура воздуха за входным устройством (перед первой ступенчатой)

$$T_1 = T_0 - \frac{\alpha C_p^2}{M_1^*} \cdot \left[1 + \frac{k-1}{k} \cdot (M_1^*)^2 \right] = T_0(1-d) \quad (10)$$

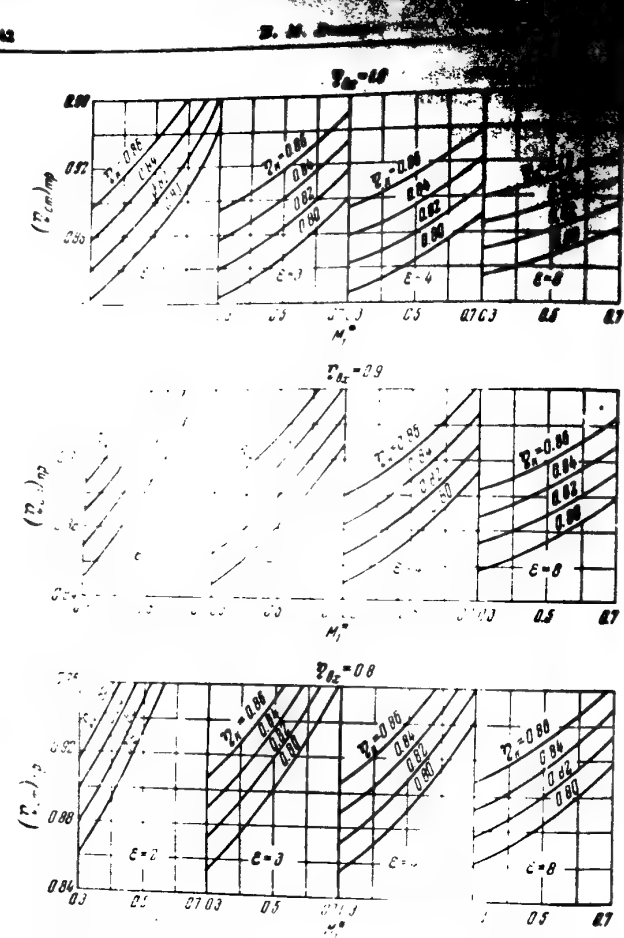
где

$$d = \frac{k-1}{k} \cdot M_1^* + \frac{10}{T_0} \quad (11)$$

Температура воздуха за ступенчатым устройством

$$T_2 = T_1 + \Delta T_1 = \frac{10 C_p^2}{M_1^*} \cdot \frac{1-\alpha}{\alpha} \quad (12)$$

Здесь ΔT_1 — температурный эквивалент отражения искажений в



Фиг. 3. Зависимость трехмерного коэффициента сжатия $\frac{P_2}{P_1}$ от числа Маха M_1 для адиабатического компрессора при различных значениях коэффициентов сжатия ϵ и повышения температуры T_2 .

работы, на основе которых получены формулы (14) и (15).

$$\frac{P_2}{P_1} = \left(\frac{T_2}{T_1} \right)^{\frac{1}{\gamma - 1}} \cdot \left(\frac{1 + \frac{k}{\epsilon} - \frac{1}{M_1^2}}{1 + \frac{k}{\epsilon} - \frac{1}{M_1^2} - \frac{1}{\gamma - 1}} \right)^{\frac{1}{\epsilon - 1}} \quad (14)$$

Для единичного коэффициента сжатия (фиг. 1):

$$\frac{P_2}{P_1} = \left(\frac{T_2}{T_1} \right)^{\frac{1}{\gamma - 1}} \cdot \left(\frac{1 + \frac{k}{\epsilon} - \frac{1}{M_1^2}}{1 + \frac{k}{\epsilon} - \frac{1}{M_1^2} - \frac{1}{\gamma - 1}} \right)^{\frac{1}{\epsilon - 1}} \quad (15)$$

Для единичных коэффициентов сжатия (фиг. 1):

$$P_2 = P_1 \cdot \left(\frac{T_2}{T_1} \right)^{\frac{1}{\gamma - 1}} \quad (16)$$

$$P_2 = P_1 + \frac{1 + \frac{k}{\epsilon} - \frac{1}{M_1^2}}{1 + \frac{k}{\epsilon} - \frac{1}{M_1^2} - \frac{1}{\gamma - 1}} \cdot P_{1\text{max}} \quad (17)$$

$$P_2 = P_1 \cdot \left(1 + \frac{f_1}{f_2} \right)^{\frac{1}{\epsilon - 1}} \quad (18)$$

Из уравнений (6), (11), (13), (14), (15), (17) и (18) имеем

$$\eta_{\text{cr}} = \frac{\frac{k-1}{k} \lg \epsilon - \lg \left[\left(1 + \frac{f_1}{f_2} \right)^{\frac{1}{\epsilon-1}} \cdot \frac{d}{P_{1\text{max}}} \right]}{\lg \frac{1}{1-d}} \quad (19)$$

Уравнение (19) может применяться для выбора величины скорости потока на входе в первую ступень, для оценки однократичного к.д.м. компрессора, при исследовании влияния различных параметров (η_{cr} , $\eta_{\text{вых}}$, $T_{\text{вых}}$ и т. д.) на адиабатический к.п.д. компрессора.

Зависимость (19) представлена на фиг. 3.

Следует указать, что в пределах практического изменения величин, входящих в уравнение (19), зависимость $\eta_{\text{cr}} = f(\eta_{\text{вых}})$ (при постоянстве остальных величин) является линейной (фиг. 4). Это положение позволяет при пользовании графиками на фиг. 3 производить линейную интерполяцию по $\eta_{\text{вых}}$.

Перейдем ко второй части задачи — определению влияния величины расчетной скорости потока воздуха в основном компрессоре на его габариты, число оборотов и некоторые характеристики прочности.

Рассмотрим два варианта проточной части компрессора, обеспечивающих расчетную степень повышения давления ϵ и расчетный весовой расход воздуха G при неравных значениях расчетной скорости воздуха C . Параметры воздуха на всасывании и статические изгибающие напряжения в коренных сечениях соответствующих лопаток принимаются при этом одинаковыми для обоих вариантов! Кроме того, предполагается, что в указанных вариантах проточная часть имеет такое же геометрическое подобие воперечных размеров (ширина b , высота h) и продольных размеров (длина l , радиусы r_1 и r_2) как и в базовом варианте (базовый к.п.д. $\eta_{\text{вых}} = 0.9$, $\eta_{\text{вых}} = 0.7$, $\eta_{\text{вых}} = 0.5$, $\eta_{\text{вых}} = 0.3$).

Фиг. 4. Зависимость трубного диаметра от ступени $D_{\text{ст}}/D_1$ от адиабатического к.п.д. компрессора $\eta_{\text{вых}}$ при $\epsilon = 2$, $\frac{P_2}{P_1} = 10$, $T_2 = 16$, $M_1 = 1$.

В статье рассматривается компрессор, у которого коэффициент сжатия определяется соотношением допустимых статических напряжений в коренных сечениях лопаток. Проведение аналогичного исследования для компрессора с базовым к.п.д., в которых величина хорды определяется, вообще говоря, неодинакова для каждого члена Рейнольдса, не представляет трудности.

Будем обозначать величинами, относящими к проточной части, штрихом (величины без штриха относят к стационарной части). Из условия $s' = s$, $p' = p_0$ и $T'_0 = T_0$ получим

$$H_{\text{ст}}' = H_{\text{ст}}$$

Из условия геометрического подобия

$$\frac{D}{D} = \frac{r}{r'}, \quad \frac{s'}{s} = \frac{z}{z}, \quad k_w' = k_w \quad (21)$$

$$\frac{T_0}{T_0} = \frac{r}{r'}, \quad \frac{F_{\text{д}}'}{F_{\text{д}}} = \frac{b'}{b}, \quad B' = B \quad (22)$$

Из условия кинематического подобия

$$z' = z + \frac{r'}{r} - 1, \quad u' = q, \quad \psi' = \psi \quad (23)$$

Из условия $G' = G$, а также из условий кинематического и геометрического подобия

$$\frac{F'}{F} = \frac{C}{C} \quad (24)$$

В формулах (20–24) принятые следующие обозначения:

$H_{\text{ст}}$ — адиабатический напор компрессора;

D — диаметр облопатывания;

l — высота лопатки; b — хорда лопатки;

z — относительный шаг облопатывания на среднем диаметре;

k_w — относительный момент сопротивления корневого сечения;

$F_{\text{д}}$, $I_{\text{д}}$ — площадь и момент инерции поперечного сечения лопатки;

B — коэффициент, учитывающий влияние центробежных сил на частоту колебаний лопаток¹;

u — окружная скорость вращения рабочих лопаток;

σ — степень реакции ступени;

F — площадь поперечного сечения проточной части;

ψ — коэффициент теоретического напора ступени;

$$z = \frac{l}{b}, \quad k_w = \frac{W_c}{B^2}, \quad \psi = \frac{\Delta H_{\text{теор}}}{u^2/2g}$$

Первое равенство (21) и равенство (24) позволяют установить следующую зависимость поперечных размеров проточной части от величины расчетной скорости потока:

$$\frac{D}{D} = \frac{l}{z} = \sqrt{\frac{C}{z}} \quad (25)$$

Отношение осевых размеров проточной части

$$\frac{l}{l_0} = \frac{z_0}{z} \quad (26)$$

где z_0 — численное значение z , что это равно

$$\frac{H_{\text{ст}}}{H_{\text{ст}} - \sigma u} = \frac{z_0}{z_0 - z_s} \quad (27)$$

Из формулы (21) и равенства (26) получим

$$\frac{z}{z_0} = \frac{C^2 / I_{\text{д}}}{C^2 / I_{\text{д}} - \sigma u} \approx \left(\frac{C}{C} \right)^2 \quad (28)$$

¹ См. формулы (123) и (125) в книге А. В. Лемана [5].

При этом профиль может быть определена из формулы

$$c_{\text{шип}} = \frac{P_1}{2k_w b^2} \quad (29)$$

где $c_{\text{шип}}$ — допустимые напряжения изгиба в корневом сечении лопатки; P_1 — разрушающая сила, изгибающая лопатку. Величина этой силы

$$P_1 = \sqrt{P_0^2 + P_1^2} = \left[\left(\frac{G \Delta u}{B \cdot m} \right)^2 + \left(\frac{F \Delta p_{\text{ш}}}{m} \right)^2 \right]^{1/2} + b \pi l_1 \frac{c^2}{22} \cdot \varphi \cdot \gamma \cdot \rho \cdot g$$

где Δu — изменение окружной составляющей скорости в сечении лопатки; m — число рабочих лопаток в рассматриваемом сечении; G — расход; $\Delta p_{\text{ш}}$ — изменение статического давления в рабочем колесе; φ — коэффициент, учитывающий влияние вихревого переда перед рассматриваемой ступенью.

Из выражений (29) и (30) величина хорды рабочей лопатки

$$b = u l \sqrt{\frac{\gamma \rho}{4 g k_w c_{\text{шип}}}} \sqrt{z^2 + z_s^2} \quad (31)$$

С учетом равенств (21), (23) и условий $z_{\text{шип}} = z_{\text{раб}}$, $z' = z_0$ из выражений (25) и (31) получим

$$\frac{b'}{b} = \frac{C}{C} \sqrt{\frac{C}{C}} = \sqrt{\frac{C}{C}} \quad (32)$$

Совместное решение уравнений (26), (28) и (32) позволяет определить зависимость осевых размеров проточной части от величины расчетной скорости воздуха:

$$\frac{l'}{l} = \frac{z_0 / C}{z_0 / C} \left(\frac{C}{C} \right)^2 \approx \left(\frac{C}{C} \right)^2 \quad (33)$$

Отношение чисел оборотов определяется следующим образом. Очевидно, что

$$\frac{n'}{n} = \frac{u'}{u} \frac{D}{D'}$$

С учетом равенств (23) и (25) получим

$$\frac{n'}{n} = \left(\frac{C}{C} \right)^2$$

Из рассмотрения формул для критического числа оборотов ротора (см., например, формулу 16а в книге М. И. Ильинского) следует, что

$$\frac{n_{\text{кр}}}{n} \approx \sqrt{\frac{I_{\text{акв}}}{I_{\text{акв}} + Q}}$$

где $I_{\text{акв}}$ — акваториальный момент инерции сопла при числе $Q = 1$.

Так как

$$\frac{I_{\text{акв}}}{I_{\text{акв}} + Q} = \frac{I_{\text{акв}}}{I_{\text{акв}} + I_{\text{д}} + I_{\text{д}}}$$

то из (36), (25) и (33) получим

$$\frac{n'}{n} = z \frac{l}{l_0}$$

Определение статических частот собственных

$$\frac{l'}{l_0} = \left(\frac{l}{l_0} \right)^2 \left[\frac{l_{\text{д}} / l_{\text{д}}}{l_{\text{д}} / l_{\text{д}}} \right]$$

а отходящие динамических членов

$$\frac{f_2'}{f_1} = \sqrt{\frac{U_0^2 + D_0^2}{I_0^2 + B_0^2}}$$

Из уравнений (39), (38), (22), (25) и (32)

$$\frac{f_0'}{f_0} = \left(\frac{C'}{C}\right)^{\frac{3}{2}} = \frac{n'}{n}$$

Продолжительность возмущающей силы, соответствующей разности

h *t_g*

Из приведенных в табл. 42 данных видно, что для каждого из трех типов сопел сопоставлены различные значения коэффициентов μ , соответствующие различным значениям m_2 . Следовательно, для каждого из трех типов сопел можно определить зависимость μ от m_2 . Для этого из табл. 42 берутся соответствующие значения μ и m_2 и строят график зависимости $\mu = f(m_2)$. На рис. 42 приведены три кривые, соответствующие различным типам сопел. Кривые эти, как видно из табл. 42, отличаются не только формой, но и абсолютными величинами коэффициента μ . Кривые, соответствующие сопелам типа I, называются кривыми **формулой** сопел, а кривые, соответствующие сопелам типа II, называются **формулой** сопел. Кривые, соответствующие сопелам типа III, называются **формулой** сопел. Кривые, соответствующие сопелам типа I, называются **формулой** сопел, а кривые, соответствующие сопелам типа II, называются **формулой** сопел. Кривые, соответствующие сопелам типа III, называются **формулой** сопел.

а) Равномерные прямолинейные движения с обратно пропорциональной скоростью называются **вспомогательными**;

б) Равномерные прямолинейные движения с прямолинейной пропорциональной скоростью называются **вспомогательными**;

в) Равномерные прямолинейные движения с квадратичной зависимостью скорости называются **вспомогательными**.

Число приведенное к единице числа оборотов вала, при котором движение проточной части осевого компрессора обратно пропорционально, а число оборотов его прямо пропорционально полутора кратному рабочей скорости воздуха;

Гармонические частоты лопаток пропорциональны и менению числа оборотов компрессора, а порядок гармоник взаимунарашены и сильы, соответствующие различным колебаниям.

Полученный вывод в сочетании с уравнением (1), определяющим зависимость аддитивического и д. компрессора от величины расчетной скорости воздуха и других параметров, позволяет принципиально подойти к выбору величины расчетной скорости истечения потока в осевых компрессорах транспортных газов.

http://www.zetanet

- Поступило 31.11.1955

 1. Кирпичные
печи
 2. Drilling tools
MSP. Diese
 3. Степени
НГ
 4. Низкотемп.
турбины
 5. Ленты
[Гм]

Rock impressors, Schiffbaubüro
Год (1955)

Справочник по расчету на прочность деталей паровых
турбин Госэнергопроекта, 1955.

ДВИЖЕНИЕ ЭНЕРГОРАЗДЕЛИТЕЛЬ ПОТОКА

М. Г. ДУБИНСКИЙ
(Москва)

В работе [8] было показано, что при движении закрученного винтом газа в прямой трубе без учета трения газа о стенки профиль скорости и напорного напряжения изменяется так, что:

1) газ стремится вращаться по закону твердого тела, т. е. не изменять своего положения, когда действие вязкости не проявляется;

2) температура заторможенного потока газа при отрыве от стены вблизи центра трубы.

Если принять во внимание трение газа о стены, то за достаточно большой промежуток времени поток станет чисто осевым и с постоянной энергией по радиусу.

Потому действительное распределение параметров газа при его движении в трубе будет отличаться от описанной выше картины потока без учета трения газа о стены.

Но принципиально можно в некотором сечении трубы отвести центральную зону, обладающую меньшей энергией, и тем самым получить два потока с различной

Этой теме в последнее время уделялось большое внимание (некоторые работы упомянуты в статье Г. Л. Гроздовского и Ю. Е. Кузнецова [2]).

Следует вспомнить, что еще в 70-х гг. прошлого столетия Максвелл, исходя из установленного им закона распределения молекул в газе, высказал идею о возможности при получении потоков горячего и холодного газов из одного источника.

Одним из практических способов, позволяющих получить холдовый и горячий газ из одного источника, является создание запруженного потока газа. Разделение потока при этом непосредственно основано на силах вязкости газа и вторичной термодинамики.

Настоящая работа и посвящена теоретическому и экспериментальному исследованию

1. Описание установки и схемы замеров. Представленный на фиг. 3 общий вид установки вихревого энергоразделителя состоит из следующих основных элементов: цилиндрической камеры запирания 1 диаметром 54 мм, входного цилиндрического сопла 2 диаметром 12 мм, тангенциального расположенного по отношению к камере запирания двух трубок 3 и 4 для отвода горячего и холодного воздуха в резиновых напрягаемых пакетах 5 и 6 горячего и холодного воздуха, на выходе из которых установлены дроссельные заслонки.

Сжатый воздух от 2 до 5 ата поступает тангенциальными
камеру 1, откуда и отводится в противоположных направлениях
кам 3 и 4.

Исследование работы энергогоразделителя производилось при различных диаметрах трубок 3 и 4, равных 25 мм, в затем 32 мм, а также при различных диаметрах трубок, равных 32 и 25 мм, причем трубы диаметром

ром 25 мм далее также соединялась с трубкой диаметром 25 мм, непосредственно примыкающей к баку. Длина трубы от места соединения до места измерения температуры равнялась 92 мм. При испытании трубы были изогнуты.

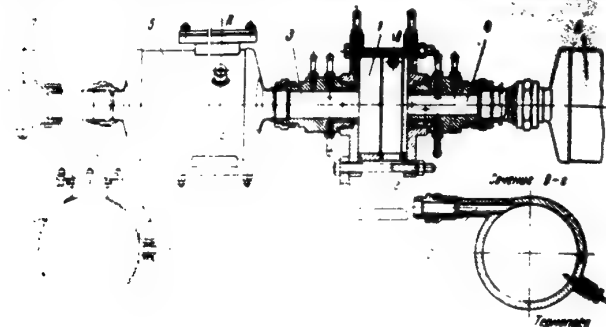
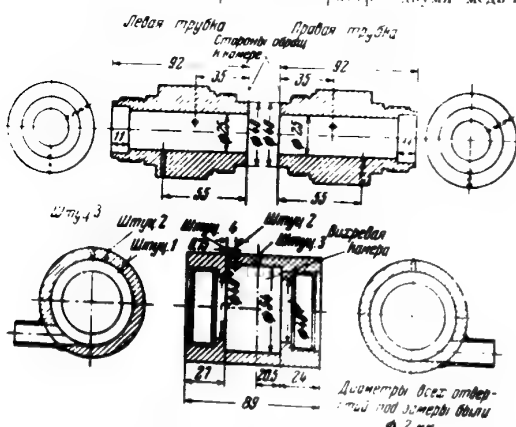


Схема агрегата с термопарой и термометрами

Измерение температуры производилось специальной трубкой диаметром 25 мм, а измерение температур воздуха — медью константина.



Фиг. 2. Схема измерения температур в камере и трубках энергогенератора

Термопары: неизированной и изированной с наружным диаметром окрана $d = 1$ мм.

Температура измерялась в трех сечениях камеры (см. на фиг. 2 штуцеры 1, 2 и 3) и в двух сечениях ядра каждой трубы. При проведении опыта достоверно поддерживалось постоянство давления в камере воздуха на входе в камеру.

Во многих работах, посвященных изучению ядерных реакторов, указывается, что к камере энергогенератора подводится трубки разного диаметра и вследствие этого появляется возможность вывести из центра камеры отводящий воздух по трубке большого диаметра — горячий воздух.

Первые опыты с энергогенератором, представленным на фиг. 1, показали, что такое разделение может быть осуществлено при различиях диаметрах трубок путем изменения положения дроссельных заслонок.

Далее были взяты трубы различных диаметров и при помощи изменения положения дроссельных заслонок холодный (горячий) воздух постепенно поступал как в трубку меньшего (25 мм) так и большего (32 мм) диаметра. Однако охлаждение воздуха в первом случае было большим.

Затем были исследованы подача воздуха, температура и давление и температура в трех сечениях камеры завихрения. Наблюдалось плавное падение давления и температура при движении в центр и наибольшее резкое их уменьшение вблизи оси камеры.

Отличие подачи давления и температуры в разных сечениях камеры завихрения очень не значительно. Наиболее интересными оказались различия температур в различных сечениях трубок горячего и холодного воздуха (фиг. 3). В каждом сечении обеих трубок температура по радиусу плавно уменьшалась к центру.

Существенное отличие наблюдалось в том, что средняя температура горячего воздуха повышалась при течении вдоль трубы, в то время как средняя температура холодного воздуха при его течении вдоль трубы практически оставалась постоянной.

На основании проведенного теоретического и экспериментального исследования можно построить следующую физическую модель явления, происходящего в вихревом энергогенераторе, представленном на фиг. 1. Воздух, поступающий тангенциально в камеру завихрения L , когда падение вязкости не подчиняется закону постоянства момента количества движения, и скорость воздуха при движении в центр возрастает медленно по сравнению с идеальным развертыванием вихря — то, когда вязкость практически падает.

В этой второй зоне, где профиль скорости не является линейным, стремится к вращению по закону твердого тела, т. е. вращается с собою сила вязкости, что и осуществляется вблизи оси трубы.



Фиг. 6. Характеристика тангенциальных скоростей и температур в трубке горячего воздуха при его движении впереди меняется как вследствие уменьшения количества движения из-за трения о стекки, так и вследствие отсасывания центральной части воздуха. Конечно, этот отсос воздуха повышает температуру холодного воздуха, но одновременно увеличивает и его количество.

Для визуального наблюдения течения был выполнен вихревой энергоразделитель из пlexiglasa.

Применив специальную фотографию, можно было наглядно видеть, они снимы выше осевые токи воздуха, направление и интенсивность которых изменялись при помощи дроссельных заслонок.

В заключение экспериментальных работ были сняты характеристики вихревого энергоразделителя, представляемая на фиг. 4.

Изменение относительной температуры воздуха в рабочей магнитографии при температуре воздуха в рабочей магнитографии $T_0 = 20^\circ\text{C}$ и давлении от 2 до 5 ата.

На графике фиг. 6 приведены изображены температуры горячего воздуха в рабочей магнитографии и давление соответствующее относительное количества горячего воздуха.

$$R_s = \frac{G_s}{G_s + G_h}$$

(где G_s и G_h — количество горячего и холодного воздуха).

Изменение давления было выполнено и исследование вихревого энергоразделителя, где в рабочем вихревом цилиндрической камере ширина $d = 250$ мм. Эта первая ступень большого вихревого энергоразделителя.

Последовательные эксперименты с энергоразделителем были обнаружены интересное явление, заслуживающее внимания.

Несмотря на то что происходит течение воздуха вдоль поверхности стекла, вдоль которой имеется углубление с острыми бортами, в углублении происходит сжатие, а поток вдоль омыает углубление, в котором происходит сжатие и имеет давление и температуру, близкие к давлениям в проходящем потоке.

Совершенно иное явление происходит при прохождении воздуха в цилиндрической камере вихревого энергоразделителя, в которой на поверхности второго имеется углубление. При испытании вихревого энергоразделителя в камере случайно был установлен режим вихревого потока, поэтому внутренней стороны стекни образовалась некоторая статическая. Вследствие вязкости непрерывно в воздухе в углубление передавалась некоторая масса движения и происходило аккумулирование энергии. При этом штуцер весьма сильно разогревался, в то время как оставшаяся часть поверхности корпуса оставалась холодной.

При создании неизначительного потока воздуха из отверстия в атмосфере, как и следовало ожидать, разогрев штуцера прекратился.

На основании проведенного исследования вихревого энергоразделителя можно сделать заключение, что трение воздуха о стекни сильно уменьшает эффективность энергоразделителя и целесообразно далее исследовать более сложные конструкции вихревых энергоразделителей со свободно врачающимися стенками.

3. Диффузия прямолинейной вихревой нити. При движении воздуха в вихревом энергоразделителе происходит диссипация энергии аналогично падению, происходящему при диффузии вихревой нити.

Пусть в начальный момент времени $t = 0$ имеется поле тангенциальных скоростей, соответствующее прямолинейной вихревой нити, имеющей интенсивность Γ при постоянной энергии и интенсивности для всех частей воздуха. Тогда относительные параметры воздуха будут

$$\rho = \frac{\rho}{\rho_{\infty}} = \left[1 - \frac{r_{min}^2}{r^2} \right]^{\frac{1}{2}} \quad (1)$$

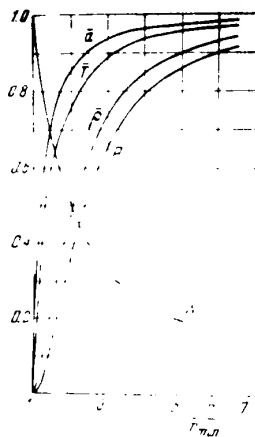
$$\theta = \frac{\theta}{\theta_{\infty}} = \left[1 - \frac{r_{min}^2}{r^2} \right] \quad (2)$$

$$T = \frac{T}{T_{\infty}} = \left[1 - \frac{r_{min}^2}{r^2} \right] \quad (3)$$

$$a = \frac{a}{a_{\infty}} = \left[1 - \frac{r_{min}^2}{r^2} \right]^{\frac{1}{2}} \quad (4)$$

$$\bar{\theta} = \frac{\theta}{\theta_{max}} = \frac{r_{min}}{r} = \frac{1}{r} \quad (\theta_{max} = \sqrt{2} k_{\infty}^{-1} R I) \quad (5)$$

Здесь p_∞ , ρ_∞ , T_∞ , a_∞ , w_∞ — параметры на бесконечности; r — радиус, t — время; \bar{r} — радиус, при котором имеет место минимальный расход.



Фиг. 5. Изменение параметров потока в сопле в зависимости от времени t и радиуса r

в начальный момент времени ($t = 0$) плотность воздуха определялась как функция радиуса по формуле (2).

Однако из фиг. 5 следует, что уже при $r/r_{\min} > 6$ поток можно рассматривать как несжимаемый; далее рассматривается лишь эта область. Уравнения движения будут:

$$\rho_0 \frac{\partial w}{\partial t} = p \left(\frac{\partial^2 w}{\partial r^2} + \frac{1}{r} \frac{\partial w}{\partial r} - \frac{w}{r^2} \right) \quad (6)$$

$$\rho_0 \frac{w^2}{r} = \frac{\partial p}{\partial r} \quad (7)$$

Известное решение уравнения (6) имеет вид

$$w = \frac{r}{t} \left[1 - \exp \left(- \frac{r^2}{4w} \right) \right] \quad (8) \quad \left(w = \frac{\mu}{\rho_0} \right)$$

Найдем изменение полного давления

$$p_0 = p + \rho_0 \frac{w^2}{2} \quad (9)$$

Дифференцируя уравнение (9) по r , получим

$$\frac{\partial p_0}{\partial r} = \frac{1}{r} \left[1 - \exp \left(- \frac{r^2}{4w} \right) \right] \frac{1}{2w} \exp \left(- \frac{r^2}{4w} \right) \quad (10)$$

Отсюда следует, что

$$\frac{\partial p_0}{\partial r} = 0 \quad \text{при } t = 0, \quad \frac{\partial p_0}{\partial r} \rightarrow 0 \quad \text{при } t \rightarrow \infty \quad (11)$$

Следовательно, будет существовать максимум градиента давления (10)

$$\frac{\partial^2 p_0}{\partial r^2} \left(- \frac{r^2}{4w} \right) = \frac{1}{r^2} \left[\exp \left(- \frac{r^2}{4w} \right) - \exp \left(- \frac{r^2}{4w} \right) \right] = 0 \quad (12)$$

Решив уравнение (12), получим

$$r^2 = \frac{2w - 1}{w - 1} \quad (13)$$

Решим уравнение (14) графически, найдем

$$x_1 \approx 1.44, \quad t_1 = \frac{r^2}{4w x_1} = 0.173 \cdot t^2$$

Отсюда можно сделать следующие выводы:

1. Полный напор (при $t = \text{const}$) возрастает с увеличением радиуса или $\partial p_0 / \partial r > 0$.

2. Градиент полного напора на некотором радиусе

при $t = 0$ и достигает максимума

$$\frac{\partial p_0}{\partial r} = 0.053 \frac{r^2}{t^2} \quad \text{при } t_1 = \sqrt{\frac{r^2 - 1}{2w}}$$

При дальнейшем увеличении t градиент убывает до нуля.

3. Момент времени $t = t_1$, при котором градиент давления пропорционален квадрату радиуса и обратно пропорционален квазивязкости воздуха; т. е. если в некотором месте $r = r_1$ при $t = t_1$ достигается максимум градиента $\partial p_0 / \partial r$, то в точках $r < r_1$ момент времени градиента уже убывает, так как максимальное значение градиента здесь было достигнуто при $t < t_1$.

Найдем распределение давления p_0 по радиусу. Используя (11) имеем

$$\frac{p}{p_\infty} = \int \frac{w^2}{r} dr + f(t) \quad (14)$$

где $f(t)$ — произвольная функция.

Подставляя сюда значение w из уравнения (8) и интегрируя, получим

$$\frac{p}{p_\infty} = \Gamma^2 \left\{ - \frac{1}{2w} \left[1 - \exp \left(- \frac{r^2}{4w} \right) \right]^2 + \frac{1}{4w} \sum_{k=1}^{\infty} (-1)^{k+1} \frac{(2k-1)!}{k \cdot k!} \left(\frac{r^2}{4w} \right)^k \right\} + f(t) \quad (15)$$

$$p_0 = \frac{p_\infty \Gamma^2}{4w} \sum_{k=1}^{\infty} (-1)^{k+1} \frac{(2k-1)!}{k \cdot k!} \left(\frac{r^2}{4w} \right)^k + f(t) \quad (16)$$

При одном и том же значении t разность полных давлений на различных радиусах r_1 и $r_2 > r_1$ будет:

$$(p_0)_{r=r_2} - (p_0)_{r=r_1} = \frac{p_\infty \Gamma^2}{4w} \sum_{k=1}^{\infty} (-1)^{k+1} \frac{(2k-1)!}{k \cdot k!} \left(\frac{r_2^2}{4w} - \frac{r_1^2}{4w} \right)^k = F_2 \left(\frac{r_2^2}{4w} \right) - F_1 \left(\frac{r_1^2}{4w} \right) \quad (17)$$

На фиг. 6 дано изменение функции F в зависимости от параметра $r^2 / 4w$; пользуясь этим графиком, можно читать производную полного напора при увеличении радиуса.

ЛИТЕРАТУРА

- Кочин Н. Е., Кильбель И. А. и Родз Н. В. Теория жидкости и газа. Т. 1. М.: ГИИ, 1950.
- Гридинский Г. Л. и Кузнецов Ю. Е. Квазивязкость воздуха и ее влияние на движение газового потока. Изв. АН СССР. ОГИГ. № 3, 1952.
- Дубилев М. Г. О прращающихся потоках газа. Изв. АН СССР. ОГИГ. № 3, 1952.

ИЗВЕСТИЯ АКАДЕМИИ

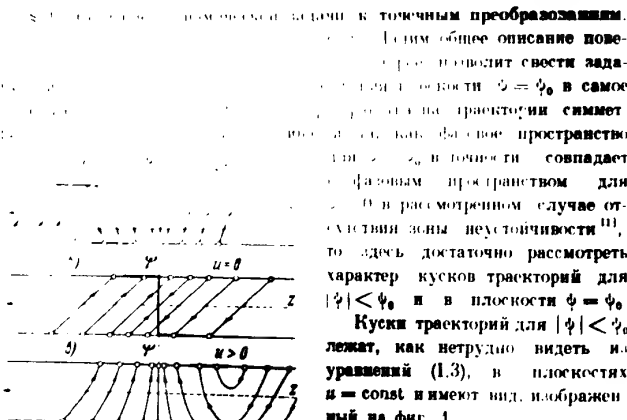
№ 6

ТЕОРИЯ СТАБИЛИЗАЦИИ КУРСА НЕЙТРАЛЬНОГО СОСТОЯНИЯ ПРИ ПОМОЩИ АВТОНЭЛОТА С ПОСТОЯННОЙ СКОРОСТЬЮ СЕРВОМОТОРА

СВЕДЕНИЯ О НАЛИЧИИ ЗОНЫ НЕУСТОЙЧИВОСТИ

[А. А. АЛЕКСОНОВ] и Н. Н. БАУТИН

С. С. А.



Фиг. 1

Отрезок $u = z = 0$, $|\psi| < \psi_0$ является пределом. Плоскость $\psi = \psi_0$ вне полосы

$$0 < u + (A - 1)z < B$$

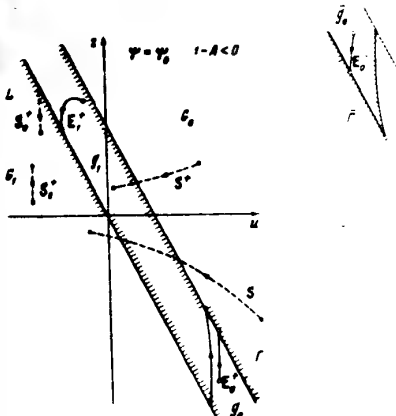
служит местом, где вектор $\dot{\psi}$ перпендикулярен к траектории. Траектории в зоне $|\psi| < \psi_0$.

¹ Использование уравнения (1.3) для определения зоны неустойчивости в задаче о стабилизации курса нейтрального состояния с помощью автонэлона с постоянной скоростью работы сервомотора было предложено авторами в работе [1]. Стандартные формулы из первой части

этой же зоны, направленные навстречу движению точки траекторий служат

$$-B < u + (A - 1)z < 0$$

следует из уравнения в силу (1.4) за траектории, и это разделяет зону неустойчивости от зоны устойчивости. Второе условие разбивания пластинки $-B < u + (A - 1)z < 0$ определяет зону неустойчивости. Третье условие разбивания пластинки $u + (A - 1)z > B$ определяет зону устойчивости.



Обозначим также через C_0, C_1, \dots и G_0, G_1, \dots соответственно симметричные C, G , т. е. $C_0 = C$, $G_0 = G$, а $C_1 = L$ — полупрямые, симметричные L .

Назовем преобразованием B^* переход в точку u_1z_1 , принадлежащую g_1 или G_1 , из точки в полупространство $\varphi > \varphi_1$.

Назовем преобразованием S_0^+ переход по трансформации S_0^+ , принадлежащей G_1 , в точку $\omega_1 z_1$, принадлежащую S_0^+ .

Для точек изображения ψ_0 следующим образом определим преобразование E' (фиг. 2 и 3):

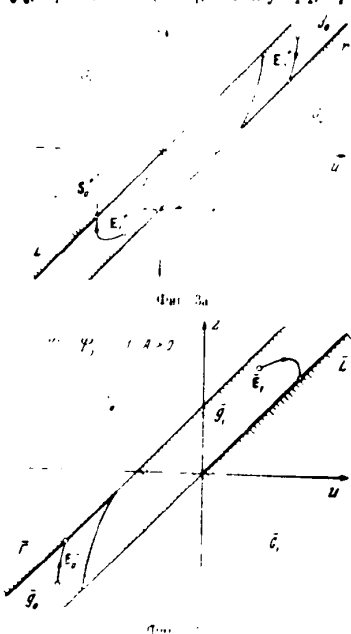
на куске $g_0(E^+ = X_0^+)$ — как переход по траекториям пластиинки точки $x_{0,t}$, принадлежащей g_0 , в точку $x_{1,t}$, принадлежащую G (переход Γ).

на куске $g_1(E^* \equiv B_1)$ —
так как переход по траекториям
плоскости точки u_{φ_0} ,
принадлежащей g_1 , в точку
 u_{φ_1} , принадлежащую G_0 (и
ребро L).

на кусок ℓ_0 или $G_1(E^*)$
 $= E_0^*$) как тождественное
 преобразование.

В силу симметрии фазного пространства отождествим симметрические состояния. Всего в единичном ми-

и будем говорить, что вдоль ребра L движение тела G определяется вдоль ребра L , а вдоль ребра T — вдоль ребра T . При движении T определяется для точек кузова G такая же последовательность точек, как и для точек ребра L , т. е. $S \rightarrow E \rightarrow S' \rightarrow E'$.



таким преобразованиям $E^*E'S_0^*E$ и $S_0^*E'E^*$, что $S_0^*S_0 = E^*E$. В точке $z = z = 0$ ($\psi = \phi_0$) преобразование $E^*E'S_0^*E$ называется преобразованием $(u = z = 0, \psi = \phi_0)$, а преобразование $S_0^*E'E^*$ — преобразованием T (при $u = z = 0, \psi = \phi_0$). Для того чтобы изображение во пластинкам, или неправильное

$$E_0 = E_1 \quad \quad H_0 = (A - 1)(1 + \epsilon)$$

$$k = (1 + \epsilon) \epsilon^{-\tau} = 1 - \mu_1 - (1 - \mu_1) \epsilon^{1-\tau}$$

Преобразование S^+ определено тем, что

5. Аналитически преобразование S

$$u_0 := \theta^{-1}((A+1)(e^{(A+1)/\theta}-1)) = \frac{1}{\theta}(e^{\theta}-1)$$

Преобразование S_0 определено на куске γ , принадлежащем G_0 , вовпадающем с G_1 . Легко, однако, проверить, что S_1 не является определено для всех тех точек G_0 , где $u < 0$ и $\varepsilon = 0$. Поэтому эта часть G_1 будет подвергаться преобразованиям, так как эти точки могут переходить точки куска G_0 по преобразованию $S(E)$.

Совокупность кусков траекторий на пластинках порождает превращения E' и E'' . Аналитически преобразования E'_0 и E''_0 , т.е. в случае $AB \rightarrow (A+B)'$ + 0 напряжениями

$$z_1 = \left[z_0 \cos \theta + \frac{1}{V} \frac{B z_0 - 2 u_{\text{ex}} \sin \theta}{(1+B)^2} \right] \exp \left[- \frac{(A+L) \theta}{V^2 B} \right] \pm B$$

где b — меньший из двух чисел в ряду уравнения.

$$\begin{aligned} & [(A - \mathbf{i}B)z_0 - u_n] \cos \theta_n = \frac{E_n - 1}{\sqrt{1 - R^2}} + \frac{1 + R}{\sqrt{1 - R^2}} \mathbf{i} \sin \theta_n \\ & \quad + B(\sqrt{\frac{1 - R^2}{1 + R}})^n \frac{1 - e^{-2\pi i \theta_n}}{e^{2\pi i \theta_n} - e^{-2\pi i \theta_n}} \quad (4) \end{aligned}$$

а для случая $4B = (A + B)^2$ выражение (1.1) для коэффициентов E_{\pm} получены из (1.3) и (1.4) заменой величин $(A - B)$ на $(A + B)$ и заменой соответственно величинами $(A - B)^2$ и (AB) величины B . Для каждого из двойных знаков следует брать знак плюс для преобразования E_+ и знак минус для преобразования E_- .

Преобразования E_1^+ и E_1^- даются для случая отрицательных выражений:

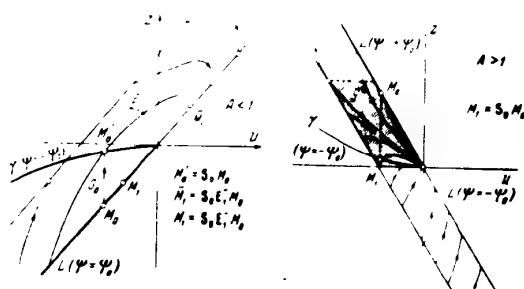
$$z_1 = \left[z_0 \cos \theta + \frac{(A-B)z_0 - 2z_0}{\sqrt{4B - (A+B)^2}} \sin \theta \right] \exp \left[- \frac{(A-B)z_0 - 2z_0}{\sqrt{4B - (A+B)^2}} \sin \theta \right], \\ u_1 = (1-A)z_1 \quad (3)$$

где $\theta = \arctan \frac{\sqrt{4B - (A+B)^2}}{A-B}$ — положительный корень уравнения,

$$\cos \theta = \frac{(B-1)u_0 + (A+B)(1-A)z_0}{\sqrt{4B - (A+B)^2}}, \quad \sin \theta = 0 \quad (3.0)$$

а для E_1^- — для отрицательных выражениями, получаемыми из (3) заменой $(A-B)z_0 - 2z_0$ на $(B-A+1)z_0$, $\sin \theta$ на $-\cos \theta$ и т. д.

§ 2. Преобразование прямой в прямую и диаграмма Ламеря. *Ламеря* — это кривая, соединяющая *автоколебания*, находящиеся в различных областях устойчивости. Была ли устойчивость отрезка покоя, то она определяется формами, заполняющими фазов-



Фиг. 4

Фиг. 5

пространство, достаточно, чтобы утверждать, что каждая точка, взятая в достаточно малой окрестности отрезка покоя, переходит к отрезку покоя по траекториям разбиения пространства (фиг. 4) или одной из пластинок (в случае $4B - (A+B)^2 < 0$) и, следовательно, попадает на отрезок ребра L (или \bar{L}), примыкающий к отрезку покоя.

Назовем L_1 моделью, если L_1 — форма по преобразованию S_0^+ концу отрезка покоя, а \bar{L}_1 — моделью, если L_1 — форма по преобразованию S_0^- концу отрезка покоя. Тогда при применении $L_L = S_0^+ E_1^+$ либо $\bar{L}_L = S_0^- E_1^-$ модель L_1 либо \bar{L}_1 либо опять переходит в точку $z_1 = f(z_0)$. Итак, условие устойчивости отрезка покоя, если $L_L = S_0^+ E_1^+$, либо $\bar{L}_L = S_0^- E_1^-$, то L_1 либо \bar{L}_1 либо L_1 включают в себя.

Все эти модели S_0^+ и S_0^- для ребра L и кривую z_1 , расположенную между z_0 и $f(z_0)$ (фиг. 5).

$$z_1 = \frac{2z_0}{(1-A)(1+\theta e^{2\theta}-\theta^2)} \quad (0 < \theta < \infty) \quad (4)$$

если $4B - (A+B)^2 > 0$. Из уравнения (2.1) находим

$$\frac{dz}{du} = \frac{(1-\theta^2 + \theta e^{2\theta})^2 e^{-2\theta}}{(1-A)(e^2 - 1)^2} \quad (2.2)$$

знакообразующий коэффициент, в знаменателе которого противоположен знаку $(1-A)$, т. е. $\frac{dz}{du} < 0$.

$$z(\infty) = u(\infty) = 0, \quad \left(\frac{dz}{du} \right)_{u=0} = 0$$

Преобразование E_1^+ переводят каждую точку кривой L в прямую \bar{L} , или на конец отрезка покоя, или в точку, принадлежащую L . Первый случай всегда имеет место при $A < 1$. В этом случае точка z_1 , расположенная на плоскости $\psi = \psi_0$ для значения $z = 0$, либо принадлежащая L , либо точка γ , принадлежащая куску пластины.

$$-B < u + (A-1)z < 0, \quad 0 < z < \frac{1}{A-1}$$

переходит на конец отрезка покоя. В последнем случае, очевидно, что каждая точка границы области $u < 0$ (т. е. $z = 0$) переходит по траекториям на бесконечность (фиг. 5). Отрезок покоя, таким образом, в общем случае не является кривой. Рассмотрим случай $A < 1$. Кривая L разделяет плоскость $\psi = \psi_0$ на две части. Для $\psi = \psi_0$ для значений $z < 0$, на каждой точке z_1 кривая \bar{L} , переходящая на ребро L . Преобразование симметрии ψ превращает \bar{L} в ребро L . Пусть $M_0(-u_0, z_0)$ — точка, принадлежащая L , $M_0'(-u_0', -z_0')$ — ее последующая по преобразованию S_0^+ точка, $M_1(u_1, z)$ — последующая M_0' по преобразованию E_1^- и $M_1(-u_1, -z)$ — точка, симметричная M_1 . Преобразование $S_0^+ E_1^-$ переводит точку M_1 на отрезок L_1 в точку M_1 , также принадлежащую L . Таким образом, преобразование $z_1 = f(z_0)$ определена функцией $f(z_0)$.

Рассматриван $z_1 = f(z_0)$ как кривую в плоскости $z_0 z_1$, получаем следующую диаграмму Ламеря. Из определения преобразования $S_0^+ E_1^-$ следует, что свойства кривой $z_1 = f(z_0)$

$$f(0) = 0, \quad \frac{df}{dz_0} > 0$$

Покажем, что на диаграмме Ламеря либо нет точек пересечения $z_1 = f(z_0)$ с полупрямой $z_1 = z_0 > 0$, либо есть одна такая точка. Для этого перейдем от одного случая к другому, дадут условия, имеющие смысл устойчивости отрезка покоя и покоя из отрезка покоя периодического движения.

Найдем на куске z_1 или линии $B = u + (A-1)z < 0$ геометрическое место точек, обладающих тем свойством, что преобразование E_1^- не изменяет абсолютную величину расстояния до прямой $z = 0$. Легко показать, что касательная к кривой $z_1 = f(z_0)$ в точке $z_0 = 0$ определяется уравнением

если $4B - (A+B)^2 > 0$

$$\text{Бол} \left\{ \frac{2(A+B)}{\sqrt{4B-(A+B)^2}} \arctg \frac{(1-\theta^2 + \theta e^{2\theta})^2 e^{-2\theta}}{(1-A)(e^2-1)^2} \right\} - (A-1)[(A-1)k^2 + (2-A-B)k - 1] = 0$$

A. A. Андронов и др.

61

если $4B - (A + B)^2 < 0$

$$B \exp \left\{ \frac{-2(A+B)}{1+(A+B)^2-4B} \operatorname{arctg} \frac{(A-1)k+1}{(A-1)k^2+(2-A-B)k-1} \right\}$$

$$= (A-1)[(A-1)k^2 + (2-A-B)k - 1]$$

Точки \tilde{g}_1 на бифуркационном луче $z = ka$ на три класса:
 1) точки притягивающие лучу, преобразование E_1^- не изменяет расстояние до оси отрицательных $a > 0$.

2) точки для которых $z = ka$, преобразование E_1^- приближает их к плоскости $a = 0$.

3) точки для которых $z = ka$, преобразование E_1^- удаляет их от плоскости $a = 0$.

Если $k > 0$, то вдоль $z = ka$ пересекает кривую γ и преобразование E_1^- приближает точку u к кривой γ в плоскости $a = 0$. Преобразование E_1^- приближает отрезок L_1 к концу отрезка L_1 концу отрезка покоя. В этом случае преобразование E_1^- выполняется неравенством

$$z_1 < z_0$$

Кривая $z_1 = f(z_0)$ на диаграмме Ламеря не имеет с полуправой $z_1 > z_0$ общих точек. При $z_1 < z_0$ преобразование $S_0^- E_1^-$ последовательно сдвигает точку z_1 вдоль отрезка L_1 вправо. Отрезок покоя в этом случае имеет конец L_1 . Если $k < 0$, то луч $z = ka$ пересекает кривую γ и преобразование E_1^- сдвигает только одна точка пересечения, отличная от P . Точка пересечения P' принадлежит g_1 (ак всегда буде в случае отрицательного k или β_0) и пусть P — точка на ребре L , полученная из P' с помощью преобразования обратного S_0^+ . Из определения S_0^+ ясно, что точка P будет неподвижной относительно преобразования $S_0^+ E_1^+$. Каждую точку отрезка L_1 ребра L преобразование $S_0^+ E_1^+$ переводит в точку, также принадлежащую L_1 и расположенную ближе к P .

Кривая $z_1 = f(z_0)$ на диаграмме Ламеря имеет, таким образом, в полуправой $z_1 > z_0$ единственную точку пересечения для значений $z_0 < a$, соответствующего точке P . Для значений $0 < z_0 < a$ и $z_0 > a$ отрезок L_1 имеет место соответственно $z_1 = f(z_0) > z_0$ и $z_1 = f(z_0) < z_0$. При повторении преобразования $S_0^- E_1^-$ последовательность точек на L сходится в точке P . Таким образом, неподвижная точка устойчива, и отрезок покоя неустойчив. Соответствующее уточнение периодической движения составляется из кусков фазовых траекторий, принадлежащих пластиинам

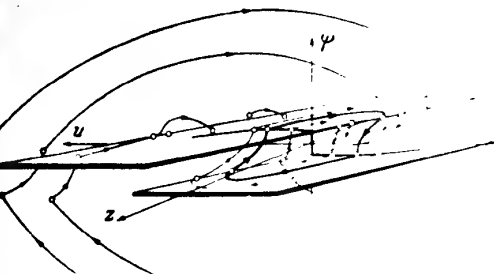
$$B = u - 1 - \frac{1}{1 - \frac{1}{1 - \dots}}$$

$$u = k + \frac{1}{1 - \frac{1}{1 - \dots}} = L_1 - \frac{1}{1 - \frac{1}{1 - \dots}}$$

и кусков отрезка L_1 , соответствующего $z_1 > z_0$ и $z_1 = f(z_0)$ (фиг. 6).

Если же $4B - (A + B)^2 > 0$, то кривая γ и соответствующим касающимся прямым на диаграмме Ламеря касается кривой $z_1 = f(z_0)$ на диаграмме Ламеря. В силу условия (2.4) $k < 0$, находим значения A и B , при которых прямая линия имеет устойчивость, и из отрезка покоя можно получить устойчивое периодическое движение (кривая D на фиг. 7 или гиперболическую поверхность D на фиг. 8).

На рисунке 6 изображены диаграммы Ламеря в неподвижные точки неправильного движения. Условия сохранения амплитуды колебаний, выходящих за зону устойчивости, и условия исчезновения периодических решений в результате пересечения луча $z = ka$ (где k определяется из (2.3) или (2.4)) и соответствующей γ (точка P') принадлежат устойчивому периодическому движению.

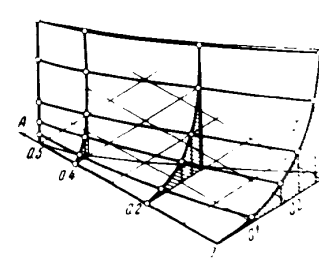


Фиг. 6

Но лишь до тех пор, пока P' лежит на кривой γ , можно говорить о применении преобразования $T_L = S_0^- E_1^-$, о порождении этим преобразованием неподвижной точки функции последовательности $z_1 = f(z_0)$ на соответствующей диаграмме Ламеря.



Фиг. 7



Фиг. 8

Каждая точка ребра L_1 , принадлежащая полуправой $z_1 > z_0$, определяется применением преобразования $T_L = S_0^- E_1^-$ к точке z_0 на ребре L . Для применения преобразования T_L необходимо, чтобы z_0 не лежала в множестве тех точек, которые принадлежат касающимся отрезкам T_0 .

Для точек куска G_0 , близких к краю L , движение может быть неправильным, так как любое движение вдоль G_0 под действием преобразования $S_0^+ E_1^+$ могут переводить в отдаленные от L точки. Но трудно выделить точку z_0 на G_0 , на краину g или g' .

которого преобразование T_0 будет преобразованием T_0 переводить множество L_1 с частью в линейное множество, составленное из кусков ребра Γ и кривой f^* .

Линейное множество f может при этом попасть лежать в F , и, таким образом, изучение последовательного повторения неправильного преобразования T_0 (или T_0 (если о таком повторении может идти речь) может быть неправильным преобразованием в себе при применении T_0 линейного множества.

Если преобразование f может быть удобно представить в виде диаграмм Ламерей, являющихся продолжением диаграмм Паде, то для этого при обращении T_0 . Последнее становится возможным, если заменить в множестве f по преобразованию S^*E^* (или E^*S^*) можно, либо в неправильном преобразовании, если S^* переводит изображаемое множество в кусок ребра G_1), переходит также в линейное множество, либо в том месте с куском L_1 одну изображающую кривую Γ_1 (если преобразование L или отрезок ребра L , дополненный куском кривой, является G_1). Неправильное¹ преобразование T_0 переводит точку M_{0+} из u_0 в принадлежащую кривой $L_1 + f^*$, в точке $M = u_0 + z_1$ также принадлежащую $L_1 + f^*$. Таким образом, вдоль $L_1 + f^*$ определена функция последования $z_1 = f(z_0)$, в ви-де $z_1 = z_0$ соответствующая диаграмма Ламерей, включающая (если рассматривать ранее диаграмму Ламерей, а также содержит вложение (подлинная диаграмма Ламерей).

Возьмем через z^* значение z_0 , соответствующее концу отрезка L_1 , упомянуто выше, для $0 < z_0 < z^*$ может существовать не более одного пересечения и число их может изменяться только либо в результате изменения периода решения на отрезке покоя (или в случае периодического решения к отрезку покоя), либо при переходе точки пересечения через значение $z = z^*$ на другую часть диаграммы. Появление периодического решения на отрезке покоя происходит, как выяснило выше, при изменении параметров A и B соответствующих пересечению цилиндрической поверхности D образующими параллельными осями ϕ (фиг. 8) в направлении убывающих A и B . Переход точки пересечения через значение $z_0 = z^*$ порождает появление устойчивого периодического движения, включающего куски траектории вне зоны нечувствительности (для $\phi > \phi_0$ и $\phi < -\phi_0$), т. е. возникновение автокохорд, находящихся в зону нечувствительности. Поверхность D' (фиг. 8), также лежит из условия, что для точки пересечения имеет место равенство $z = z^*$ (или, другими словами, в условиях, что точка P лежит на границе куска g_0), дает в пространстве параметров A, B — границу, переходение которой при изменении параметров в направлении убывающих A или B приводит к возникновению автокохорд, выходящих за зону нечувствительности.

¹ Такими будут преобразование $T_0 \equiv T_{f+} = S^*E_0^-S^*E_1^-$ из множества f , преобразование $L_0 \in L_{L_1} \setminus \overline{N_0 \cap L_1}$ на отрезке L_1 и преобразование T_{f+} из множества отрезка L_1 , так как $E_0^-S^*E_1^-$ выражается здесь в E_1^- .

пересекают на прямой τ , если

$$\left[(-V\phi - 1) \right] \quad (2.5)$$

то пересекают τ соответственно при

относе τ требованиям, что точка P' должна либо на прямой $u + (A-1)z + B = 0$ пересекать τ , либо на траектории, касающейся прямой τ пересекает τ , приходит в то же положение

$$\phi_0 = \frac{B(1-k(1-\lambda))}{2(A-1)} \quad (2.6)$$

где k определяется уравнениями (2.3) и (6), или

$$\phi_0 = \frac{u_0}{2}[1-k(1-\lambda)] \quad (2.7)$$

$$u_0 = -[(A+B)\cos \tau + \frac{(2-\lambda-B-1)(1-\lambda)}{2(A-1)}(B-1-\lambda)] \quad (2.8)$$

где k определяется уравнением (2.3) и τ — значение подобоя, соответствующее уравнения

$$(B\cos \tau - k(1-\lambda)[2B - (A+B)^2] + A(A+B) - 2B) = 0 \quad (2.9)$$

(если $B > \mu(A+B)^2$). Множество f^* при применении к нему неправильного преобразования T_0 может либо целиком перейти в саму себя, тогда на множестве f^* неправильное преобразование T_0 может быть ограниченно повторено, либо преобразование T_0 не для всех точек множества f^* будет неправильным. Обозначим через z^{**} значение z , делящее на множестве $L_1 + f^*$ точки, для которых преобразование T_0 будет неправильным, от точек, для которых оно становится правильным. Очевидно, $0 \leq z_0 < z^{**}$ будет тот интервал значений z_0 , для которых определены функции последования $z_1 = f(z_0)$ и соответствующая диаграмма Ламерей. Аналитические выражения функции последования $z_1 = f(z_0)$ в интервале $z^* \leq z_0 < z^{**}$ неудобна для исследования их в общем виде. Фактическое построение диаграмм Ламерей при фиксированных значениях параметров A, B и ϕ_0 может быть, конечно, легко протестировано. При этом обнаруживается, что в интервале $z^* \leq z_0 < z^{**}$ отображение f может иметь две точки пересечения с прямой $z = z^*$ (если $z^* < z_0 < z^{**}$), одна из которых соответствует устойчивому, а другая неустойчивому движению. Множество f^* характер устойчивости ясно из фиг. 8, где $z^* < z^{**}$.

Качественный характер диаграмм Ламерей, соответствующий $z^* < z^{**}$ (число точек пересечения кривой $z_1 = f(z_0)$ прямой $z = z^*$ может меняться либо при переходе устойчивого периодического движения в неустойчивое, либо при изменении $z = z^*$ (поверхность D' на фиг. 8), либо при переходе $z = z^{**}$ в неустойчивое периодическое движение через значение $z = z^{**}$ в зависимости от

такое периодическое движение, либо при пересечении кривой $z_1 = f(z_0)$ с прямой $z_1 = z_0$, либо при пересечении кривой $z_1 = f(z_0)$ с прямой $z_1 = z_0 + (A-1)z_0$. В первом случае, если кривая $z_1 = f(z_0)$ неустойчива, то это происходит, если кривая $z_1 = f(z_0)$ имеет

Нетрудно написать условия того, что кривая $z_1 = f(z_0)$ проходит через край пластинки, т. е. края, принадлежащих пластинке. Это условие, очевидно, выполняется либо на ребре $u_0 + (A-1)u_0 = 0$ (т. е. при $A=1$ и $B=0$) или является неподвижной точкой для отображения $T_{G,M}(-u_0, -z_0) = z_0$ (т. е. при $A=1$ и $B \neq 0$ случай 2).

Следовательно, в соответствии с требованиями $z_1 = f(z_0) = z_0 + (A-1)z_0 = B$ приводят к геометрическим соотношениям параметров A, B, ψ_0 :

$$\begin{aligned} u_0 &= \frac{B - u_0}{1 - 2B - 1} \\ u_0 &= \frac{B - u_0}{(1 - 2B) - B} \\ u_0 &= \frac{B}{1 - B} \end{aligned} \quad (2.9)$$

Из уравнений (2.8) и (2.9) получаем сопряжение $T_{G,M}(-u_0, -z_0) = z_0$ и для нормы $u_0 = A-1$ $z_0 = 0$ приводят к таким же уравнениям поверхности D_1'' в пространстве A, B, ψ_0 :

$$\begin{aligned} A + B &= \frac{1 - A + u_0 - (1 - A - u_0) e^{2u_0}}{2u_0} \\ u_0 &= \frac{u_0}{2} [2(A+B) + \ln(1 - 2A - 2B)] \\ \frac{B}{1 - B} &\leq u_0 < u_0^*, \quad 1 - A - u_0^* = (1 - A) e^{-2u_0^*} \end{aligned} \quad (2.10)$$

Поверхности D_1'' и D_2'' переходят одна в другую на кривой

$$\begin{aligned} [(A-1)(A+B)-B] \left[\exp \frac{A}{A+B} - 1 \right] &= 2B(1-A-B) \\ u_0 &= -\frac{B}{2} - \frac{B}{4(1-B)} \ln(1 - 2A - 2B) \end{aligned} \quad (2.11)$$

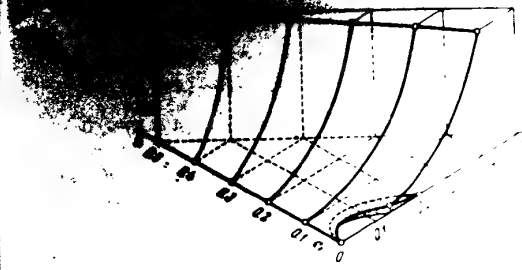
соответствующему значению параметра $u_0 = -\frac{1}{2}B(A+B)^{-1}$ в уравнениях (2.9) и (2.10). Для точек кривой (2.11) периодическое решение симметрии D_1'' и D_2'' (из кусков траектории проходящих как через ребро $u + (A-1)u = B$, так и через ребро $u + (A-1)u = 0$ пластинки).

Поверхность D_1'' , состоящая из кусков D_1'' и D_2'' , определена для $A \geq 0, B \geq 0, 1 - A - 2B \geq 0$. Она пересекает плоскость $2A+2B-1=0$ при $B=6$ (т. е. вдоль D_1'') и по кривой

$$[(A-B)(A+B-1)-B] = [(A+B)(A-B-1)+B]$$

(куском D_1''). Плоскость $2A+2B-1=0$ является граничной поверхностью для D_1'' .

На фиг. 9 изображены параметры, соответствующие пересечению от эпимитотической кривой $z_1 = f(z_0)$ с краем пластинок g_0 и g_1 неустойчивой

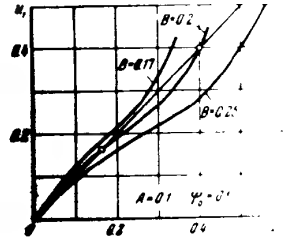


Фиг. 9

Условия касания кривой $z_1 = f(z_0)$ с прямой $z_1 = z_0$ выделяют в пространстве параметров A, B, ψ_0 поверхность D''' . Изменение параметра ψ_0 соответствующее пересечению поверхности D''' в направлении края пластинок ψ_0 при фиксированных A и B (убывающих A и B при фиксированном ψ_0), приводит к исчезновению периодических решений.

На фиг. 10 изображены ряд диаграмм Ламера, построенных для фиксированных значений A, B и ψ_0 .

3. Количественные характеристики периодического движения. Несимметричные точки пересечения кривой $z_1 = f(z_0)$ с прямой $z_1 = z_0$ на диаграмме Ламера полностью определяют периодическое решение, которое легко может быть построено последовательным приближением кусков траекторий. Возможны периодические решения, испытывающие из-за смены кусков смену направления. Устойчивое периодическое решение, не выходящее из границ зоны нечувствительности и соответствующее неподвижной точке преобразования $B_0^+ B_1^-$, из шести или из восьми кусков (периодическое решение, находящееся за зону нечувствительности). Шести- или восьмикратное устойчивое периодическое решение появляется, например, при изменении



Фиг. 10

¹ Условия $z_1 = f(z_0)$, $z_1 = z_0$, $dz_1/dz_0 = 1$ приводят к условиям, соответствующим пересечению. Ограничение вычисления точек поверхности D'' убывает при удалении от края пластинки. На фиг. 9 изображены диаграммы Ламера, выделены при заданных A и B для $\psi_0 = 0$. Красная линия на фиг. 9 показывает место касания. Нетрудно показать, что при изменении ψ_0 в пределах от 0 до 180° на фиг. 9 изображены диаграммы Ламера в интервале $0 \leq z_1 \leq z_0^{**}$ с одинаковыми кривыми, но с различными направлениями, т. е. образуют в зависимости от ψ_0 замкнутые кривые.

параметров, соответствующем выражению (3.1), вправо от оси времени, соотвественно на кусок, где $B < 0$.

Время движения по отдельным кускам можно выразить в виде следующих формул для S^* , S_0^+ , E^* и E' . Параметры τ и θ заменим на τ_0 и θ_0 , а значение соответствующего времени перехода (безразмерное) определим из уравнений (I, 4), а параметр θ в выражениях для E и E' заменим на безразмерное временем t соотношениями

$$\begin{aligned} 2B\tau + [4B - (A+B)^2]^{1/2}t &\quad \text{при } 4B - (A+B)^2 > 0 \\ 2B\tau + [(A+B)^2 - 4B]^{1/2}t &\quad \text{при } 4B - (A+B)^2 < 0 \end{aligned}$$

Для характеристики периодического движения, не выходящего за зону неустойчивости, выражение для периода имеет простой вид.

Из условия отсутствия в S^* и E_1 лагажа соотношение $z_0 = k u_0$, можно выразить z_0 в виде, соотвественно времени движения между точками S^* и E^* и S_0^+ и E' и по пластинкам g_0 и g_1 , представлены в табл. 1.

$$z_0 = \frac{2B}{A-B} \tau_0 + \frac{(1 - (A-1)k^2 + (2-A-B)k - 1)}{B(k(A+B))(A+B)/B}$$

Следует поделиться из (2.5) или (2.6).

Начиная с $t=0$ неограниченно возрастает, когда периодическое движение приступает к отрыву покоя ($k \rightarrow 0$).

§ 3. Преобразование области в область T . Симметричный гармонический периодического движения. Пусть $M_0(u_0, z_0)$ — точка, занятая на куске S^* . Установим, что допускает применение правильного преобразования $S \rightarrow S^*$. Напишем в развернутом виде преобразования, соответствующее последовательным переходам по кускам траекторий в пространстве

$$\begin{aligned} z_0 &= z_1, \quad u_0 = (A-1)(1+\zeta_1) \frac{e^{-\tau_1}-1}{\tau_1} + \frac{\tau_1}{2} + A + B - 1 \Big\} S^* \\ z_1 &= (1+\zeta_1)e^{-\tau_1}-1, \quad u_1 = u_0 - \tau_1 \\ z_2 &= z_1, \quad u_1 = \theta_1^{-1}[(A-1)(e^{-\theta_1}-1)\xi_1 - 2\varphi_0] \Big\} S_0^+ \\ z_2 &= \xi_1 e^{-\theta_1}, \quad u_2 = u_1 \\ z_3 &= \xi_2, \quad u_2 = (1-\zeta_2)(1-\zeta_2) \frac{e^{-\tau_2}-1}{\tau_2} + \frac{\tau_2}{2} + A + B - 1 \Big\} S^- \\ z_3 &= (\zeta_2-1)e^{-\tau_2}-1, \quad u_3 = u_2 + \tau_2 \\ z_4 &= \xi_1, \quad u_3 = \theta_1^{-1}(A-1)(e^{-\theta_1}-1)\xi_1 + 2\varphi_0 \Big\} S^- \\ z_4 &= \xi_1 e^{-\theta_1}, \quad u_4 = u_3 \end{aligned}$$

Пускай первое периодическое движение проходит через точку M_0 и, следовательно, выполняется условие: $z_4 = z_0$, $u_4 = u_0$. Но уравнения $z_4 = z_0$, $u_4 = u_0$, $z_4 = u_4 - \tau_4$, $u_3 = u_2 + \tau_2$, $u_2 = u_1$, $u_4 = u_3$ в условиях $z_4 = z_0$, задают, что

$$\tau_1 = \tau_3 = \tau_0. \quad (3.1)$$

После преобразования, величины (3.1), получаем для первого

$$\begin{aligned} z_0 &= (A-1)(z_0-1) \frac{e^{-\tau_0}-1}{\tau_0} + \frac{\tau_0}{2} + A + B - 1 \quad (L_0) \\ z_0 &= (A-1)(z_0 e^{\theta_0} + 1) \frac{1-e^{\theta_0}}{\tau_0} + \frac{\tau_0}{2} + A + B - 1 \quad (L_0') \\ z_0 &= (A-1)(1-e^{\theta_0}) z_0 + 2\varphi_0 \\ u_0 &= u_2 + \tau_2 \end{aligned}$$

Сюда нужно еще добавить условие:

$$u_0 + (A-1)z_0 > B, \quad u_0 - (A-1)z_0 < 0$$

Нетрудно показать, что группа уравнений (L_0, L_0') при фиксированных A, B, θ_0 и фиксированном τ_0 может удовлетворять не более чем одной системой значений величин u_0, z_0, θ_2 , так как

$$\frac{dz_0}{du_0} > \frac{1}{1-A} \text{ для } L_0, \quad \frac{dz_0}{du_0} < \frac{1}{1-A} \text{ для } L_0'$$

и, следовательно, L_0 и L_0' , рассматриваемые как кривые в плоскости $u_0 z_0$, не могут иметь более одной точки пересечения¹.

Уравнения (L_0, L_0') переходят в уравнения (L_0, L_0') при замене соответственно через $-u_0$, $-z_0$, поэтому при тех же фиксированных A, B, θ_0 и τ_0 уравнения (L_2, L_2') могут иметь в качестве решения единственную систему значений

$$u_2 = -u_0, \quad z_2 = -z_0, \quad \theta_1 = \theta_2$$

и, следовательно, одностороннее периодическое движение (если оно существует) симметрично относительно начала координат.

2°. Область существования симметричного периодического движения. В силу соотношений (3.5) группа уравнений (L_2, L_2') системы

¹ Первое из неравенств (3.1) очевидно. Вправо от нуля времени z_0 вдоль S^* и вдоль S^- и вдоль S_0^+ довольно громоздки выражения для z_0 , du_0/dz_0 и уравнения L_0 можно рассматривать как симметричные относительно прямой $z_0 = 0$ уравнения L_0' , а в совокупности уравнения L_0 определяют кривую L_0 , симметричную относительно прямой $z_0 = 0$ (прямая L_0). Для прямых L_0

$$\frac{dz_0}{du_0} = \frac{u_2}{(1-A)(e^{\theta_0}+1)-1}$$

В силу однозначности функций $u_0(\theta_0)$ и $z_0(\theta_2)$ кривые L_0 и L_0' пересекаются в точке $z_0 = 0$. Нетрудно проверить, что движение в выпуклой вправо части L_0' соответствует пересечению симметрии прямых L_0 и L_0' симметричными относительно $z_0 = 0$, т. е. убывающими du_0/dz_0 для прямых L_0 и L_0' (т. е. в силу того что кривые L_0 и L_0' пересекаются) (3.6).

вадает с уравнением (L_0, θ_0)

и является уравнением $2z_0 = \tau_0$, т.е. $\tau_0 = z_0$. Тогда в (3.6) имеем $z_0 = z_0$, входящие линейно, приходится к координатам x_0, y_0 .

$$\begin{aligned}\theta_0 &= -\ln \frac{\mu \tau_0 e^{\tau_0} - e^{\tau_0} + 1}{e^{\tau_0} - \mu \tau_0 - 1} \\ \theta_1 &= \frac{k}{\tau_0} - \frac{k(e^{\tau_0} + 1)}{e^{\tau_0} - 1}\end{aligned}$$

где $\mu = \frac{1-B}{1-A}$, $k = 2(1-A-B)$, $k = 4(\theta_0 - A + 1)$.

Дополнительные условия (3.3) после исключения из них параметров u_0 и z_0 (при помощи условий (3.5) и формул для преобразований B' и S'_0) можно записать в таком виде

$$(A-1)(e^{\tau_0} - 1)(1 - \theta_2 e^{\tau_0} - e^{\tau_0}) \leqslant 2\theta_0(e^{\tau_0} + e^{-\tau_0}) \quad (3.8)$$

Отыскание периодических решений и области существования их свойств и исследование кривых (3.6) на куске плоскости τ_0, θ_0 , задаваемом условиями $\tau_0 > 0, \theta_2 > 0$ и неравенствами (3.8), и определению точек пересечения и области существования в пространстве параметров точек пересечения этих кривых. Область существования θ_0 , определяемого уравнением (3.6), дается неравенством

$$0 < \frac{\mu \tau_0 e^{\tau_0} - e^{\tau_0} + 1}{e^{\tau_0} - \mu \tau_0 - 1} \leqslant 1$$

или эквивалентным неравенством

$$\frac{e^{\tau_0} - 1}{\tau_0 e^{\tau_0}} < \mu < \frac{2(e^{\tau_0} - 1)}{\tau_0(e^{\tau_0} + 1)} \quad (3.9)$$

Если $\mu < 1$ и, следовательно,

$$1 - \mu > 0, \quad B > 0, \quad 1 - A - B > 0 \quad (3.10)$$

то краю фиксированному в отвечает интервал значений $\tau_0, \tau_0' < \tau_0 < \tau_0''$, в котором кривая (3.6) существует и существует точка пересечения кривых (3.6) и (3.7). При $\mu > 1$ кривая (3.6) не существует и, следовательно, не могут существовать и периодические движения рассматриваемого типа. Условия (3.10) совместно с условиями (3.8), которые также можно рассматривать, принимая во внимание уравнения (3.6) и (3.7) как соотношения между параметрами A, B и θ_0 , выделяют в пространстве параметров область, для точек которой в G_0 существует не подвижная точка правильного преобразования. Неподвижная точка подходит на край пластики («внешний» или «внутренний»), если выполняется какое-либо из равенств (3.8), и в этом случае мы опять приходим к поверхности D' , изображенной на фиг. 9. Неподвижная точка уходит в бесконечность, если $1 - A - B > 0$.

3. Устойчивость периодического движения. Для подтверждения устойчивости неподвижной точки в соответствующем первоначальном движении обратимся к правильному преобразованию $T_0 = \tau_0 \theta_0$. Вспомним формулы для S'_0 , величинам z_0 и u_0 соответствуют

координаты промежуточных точек τ_0, θ_0 , приходящих к уравнениям:

$$+ \frac{\tau_1}{2} + A + B - 1 \quad (11)$$

и $\tau_0 + \tau_1 + 2\psi$.

Устойчивость полагаем

$$\begin{aligned}\tau_0 &= a + x, & \bar{\tau}_2 &= a + \bar{x}, \\ \theta_0 &= b + y, & \bar{\theta}_2 &= b + \bar{y},\end{aligned}$$

где a, b, \bar{x}, \bar{y} — соответственно значения координат в движении τ_0 и θ_0 , относящихся к неподвижной точке M в движении T_0 и движению T_0 ($M_0 = T_0 M_0$). Подставляя (3.12) в (3.11), разделив на $\tau_0 + \tau_1 + 2\psi$ и сделав замену малых величин $x, y, \bar{x}, \bar{y}, h$ и k и оставив в (11) только членами первого порядка, получаем

$$\begin{aligned}x = ay + \left(\frac{1}{2} + \beta\right)h, & \quad h = \tau_0 + \tau_1 + 2\psi \\ y = -\gamma y + \delta h - kh, & \quad h = \tau_0 + \tau_1 + 2\psi\end{aligned}$$

где

$$\alpha = (A-1)\frac{e^{-\theta_0}-1}{\theta_0}, \quad \beta = (A-1)(1+b)\frac{1-\theta_0}{\theta_0}, \quad \gamma = e^{-(A-1)}, \quad \delta = (1+b)\gamma, \quad \lambda = \frac{(A-1)(1-\epsilon)}{(A-1)\theta_0 + \alpha}, \quad \mu = \frac{1-\epsilon}{(1+\lambda b)(1+\beta)}$$

исключая h и k , находим¹

$$\begin{aligned}\xi &= \frac{1/\tau_0 - \beta}{1/\tau_0 + \beta} x - \frac{\alpha}{1/\tau_0 + \beta} y \\ \eta &= \frac{\beta + (\mu b(1/\tau_0 - \beta))}{(1 + \lambda b)(1/\tau_0 + \beta)} x - \frac{\gamma(1/\tau_0 + \beta) + \alpha(\delta + \lambda b)}{(1 + \lambda b)(1/\tau_0 + \beta)} y\end{aligned}$$

Устойчивость неподвижной точки и ее характер могут быть определены из уравнений первого приближения (3.14). Необходимое и достаточное условие асимптотической устойчивости заключается в том, чтобы корни характеристического уравнения

$$\begin{vmatrix} 0.5 + \beta & \alpha \\ 0.5 + \beta & -0.5 + \beta \\ 8 + \mu b(0.5 + \beta) & -0.5 + \beta + \alpha(8 + \mu b) \\ 0.5 + \beta & \alpha + \beta(0.5 + \beta) \end{vmatrix} = -\rho \quad (12)$$

были по модулю меньше единицы. Обозначим

$$\begin{aligned}p &= \frac{1 - 0.5 - \beta}{1 + 0.5 + \beta} = \frac{1 - \alpha}{1 + \beta} \\ q &= \frac{\alpha(8 + \mu b(0.5 + \beta))}{1 + \beta(0.5 + \beta)} = \frac{\alpha(8 + \mu b(1 + \beta))}{1 + \beta(1 + \beta)}\end{aligned}$$

¹ В области $A > 0, B > 0, 1 - A - B > 0$.

² Характер неподвижной точки сохраняется и для движений T_0 и T_0' , если соответствующие им характеристики движений T_0 и T_0' удовлетворяют условиям (3.15).

тогда упомянутые условия уменьшаются:

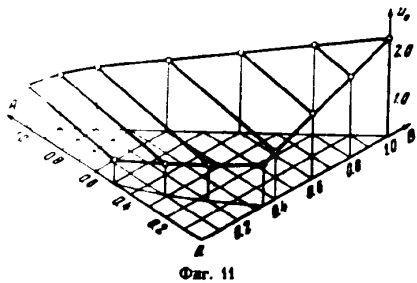
$$-p+q+1 > 0, \quad p+q < 0.$$

Воспользовавшись (3.16), получаем

$$\begin{aligned} -p+q+1 &= \frac{1-y+\lambda\beta-\lambda\alpha}{(0.5+\beta)(1+\lambda\beta)} > 0, \\ p+q+1 &= \frac{2(\alpha\beta+\beta y+\beta)+2\lambda\alpha+\lambda\beta}{(0.5+\beta)(1+\lambda\beta)} < 0. \end{aligned}$$

Нетрудно проверить, что условия (3.17) не выполняются, если вспомогательные уравнения (3.18) имеют разные знаки. В соответствии с этим, для первой уравнения (3.14) по модулю меньше, а другой больше нуля. Неподвижная точка при соответствующем периодическом движении будет неустойчива и будет типа седло.

§ 4. Оценка области сходимости процесса регулирования. Дадим оценку области сходимости процесса регулирования для тех значений параметров A и B , при которых отрезок линии устойчив, но существует неустойчивое



Фиг. 11

периодическое движение. Пусть $u_0 z_0$ — точка, взятая на ребре Γ .

$$u + (A-1)z \in B \subset 0$$

Помимо условия, при которых траектория, проходящая через точку $u_0 z_0$ ребра Γ , оканчивается на ребре. Для этого достаточно, чтобы преобразование $S^* E S_0^{-1}$ (I может быть также тождественным преобразованием) перевело изображенную точку $u_0 z_0$ на плоскость в плоскости $z_1 = z_0$. Требуемое, например, следом выполнено, если $z_0 < z_0^*$, а точка $M_1(u_0 z_0)$ лежит на ребре Γ , такова, что

$$S M_1(u_0 z_0) = M_1(u_0) - (1-A)\bar{z}_1, \bar{z}_1 \quad (4.1)$$

$$S M_1(u_0 z_0) - (1-A)\bar{z}_1, z_1 = M_2(u_0, z_1) \in g \quad (4.2)$$

Ходим из (4.1) получим

$$B = 2z_0 + z_0^2 + \frac{z_0^3}{e^{-z_0} + e^{z_0} - 1} \quad (4.3)$$

в условие (4.2) приводит к неравенству

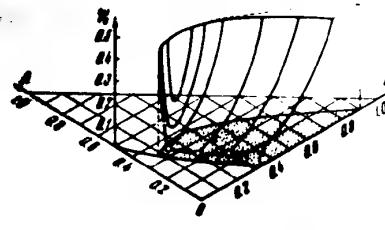
$$2z_0 + z_0(1 - b - e^{-z_0}) < 0 \quad (4.4)$$

$$A = \frac{1 - z_0^2 - 2B}{2z_0} \quad (4.5)$$

точка z_0^* будет характеризовать границу сходимости регулирования, если начальные условия $\phi = \phi_0$. Фиг. 11 позволяет определить значение z_0^* от параметров A и B . Значения z_0^* определяются из уравнения гранич, определяемых поверхностью

$$(1 - b - e^{-z_0}) = F(A, B) \quad (4.6)$$

и соответствующими им значениями z_0^* . Поверхность (4.6) изображена на фиг. 12.



Фиг. 12

для заданных A и B значения ϕ_0 , заданные по уравнениям (4.3) и (4.6). Цилиндрическая область сходимости.

$$A = 1 - \frac{z_0^2 + z_0^3}{2z_0 + z_0^2 + e^{-z_0} + e^{z_0} - 1} \quad (4.7)$$

$$B = \frac{z_0^2 + z_0^3}{2z_0 + z_0^2 + e^{-z_0} + e^{z_0} - 1} \quad (4.8)$$

является для (4.6) асимптотической поверхностью. Вне области сходимости (4.6), ограниченной прямой (4.7) и кривой D смены устойчивости отрезка линии, величина z_0^* дает оценку области сходимости процесса регулирования независимо от величины параметра ϕ_0 .

Поступило 15.IV.97

ЛИТЕРАТУРА

- Андреев А.А. и Баутин И.И. Теория стабилизации курса полета самолета при помощи автопилота с постоянной скоростью сканирования. Изв. АН СССР, ОТИ, вып. 3, 1955.

№ 6

О ДВИЖЕНИИ МАТЕРИАЛЬНОЙ ТОЧКИ ВНУТРИ БЫСТРО ВРАЩАЮЩЕСЯ КОНУСА

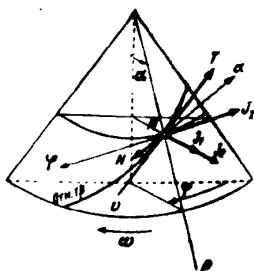
Е. М. ГОЛЬДИН
(Ленинград)

Несколько лет назад мы изучали различные технологические вращающиеся химические и пищевые промышленности, которые осуществляются при помощи конических инерционных центрифуг. Так, для обогащения разработанного угля после его обогащения применяется вращение (фиг. 1), состоящая из конического сит чистого ротора 1, тарелки 2, быстро вращающейся вокруг своей оси. Взятая угольная масса подается на тарелку, отбрасывается на внутреннюю поверхность ротора и движется по ней к выходному сечению, теряя в пути влагу, которая удаляется через отверстия в сите. Несмотря на широкое применение инерционных центрифуг, теория движения для них почти не разработана. В настоящей статье даны некоторые весьма эпизодичные результаты этой работы. Кроме того, задача о движении внутри конуса представляет интерес в связи с общением классической задачи о движении материальной точки в конической плоскости. Темой данной статьи является в сотрудничестве с Всесоюзным научно-исследовательским институтом «Углебогодчицем».

1. Дифференциальные уравнения движения. Для вывода уравнений движения материальной точки во внутренней поверхности врачающегося конуса выберем сферическую систему координат r, φ, α , четко связанную с конусом и с центром его верхней (фиг. 2).

Относительное движение точки M происходит под действием инерционных сил J_1 , силы трения T и нормальной реакции N . Но, сравнив с ними силы тяжести, пренебрежем

Центробежная сила $J_1 = m\omega^2 r$ расположена в осевой плоскости, проходящей через данную точку M , и перпендикулярна к оси конуса. Такое же направление имеет составляющая корiolисовой силы, связанной с компонентой относительной скорости $v_\varphi = rv\sin\alpha$. Величина этой составляющей $J_2 = 2m\omega v\sin\alpha$, где ω — угловая скорость конуса. Вторая составляющая корiolисовой силы связана со скоростью v_α , что делает величину $J_3 = 2m\omega v\cos\alpha$. Ее направление прямо противоположно направлению



Фиг. 2

составляющей скорости v . Наконец, параллельно оси α , имеющей радиус r , φ, α и сопоставляя соответствующие массы на проекции относительных преобразований получим диф-

$$\begin{aligned} \frac{dv}{dt} &= 0 \\ \frac{d\varphi}{dt} &= 0 \end{aligned} \quad (1.1)$$

1.1. Уравнение нормальной реакции

$$N = mv(\omega + \dot{\varphi}) \sin \alpha \cos \alpha \quad (1.2)$$

Для вычисления величинной системы (1.1) необходимо знать значение коэффициента T . В данной статье рассмотрен случай, когда сопротивление пропорционально относительной скорости v , а также случай сухого трения, когда $T = \gamma N$.

2. Сопротивление, пропорциональное скорости. Подставим в (1.1) $T = \gamma v$, где γ — коэффициент пропорциональности, и введем безразмеренные переменные: абсолютную угловую скорость x материальной точки и логарифмическую скорость y в направлении образующей конуса;

$$x = \frac{\omega + \dot{\varphi}}{\omega}, \quad y = \frac{\dot{v}}{r\omega \sin \alpha}$$

Другими словами, x характеризует степень вовлечения материальной частицы во вращательное движение конуса, а y дает отношение скорости частицы в направлении образующей к логарифмической скорости конуса.

Введем также t — безразмерное время движения и безразмерный коэффициент сопротивления, k — максимальный в пределах от нуля до ∞

$$t := \frac{v}{\omega r \sin \alpha}, \quad k = \frac{\gamma}{2\omega \sin \alpha}$$

В новых переменных вместо (1.1) получим величинную систему

$$z' - 2k(1-x) + 2ty = 0, \quad y' + 2ky + y^2 - x^2 = 0 \quad (1.3)$$

где, как и в дальнейшем, приведены производные по t .

Эта система эквивалентна одному уравнению с разделенными переменными на комплексной плоскости $z = x + iy$. В самом деле, умножая второе из уравнений (1.3) на i и складывая с первым, находим

$$z' - iz^2 + 2kz - 2k = 0$$

Комплексная плоскость $z = x + iy$ предполагает собой пространство,iegantно характеризующую различные компоненты скорости материальной точки, движущейся внутри конуса. При $z = x + iy$ и $y = 0$ материальная точка находится в абсолютном покое, а при $z = x + iy$ и $y = 0$ — в относительном покое. Верхняя полуплоскость $z = x + iy$ соответствует движению точки к выходному сечению конуса, а нижняя — движению в обратном направлении к его вершине. При $x = 1$ материальная точка движется вдоль оси конуса в вращательное движение конуса, при $x = 0$ — движется вдоль его образующей.

Перенесем (2.2) в виде

$$x' = i(z - z_1)$$

где z_1 и z_2 — корни квадратного уравнения

$$z^2 + 2kiz - 2ki = 0$$

Нетрудно вычислить, что

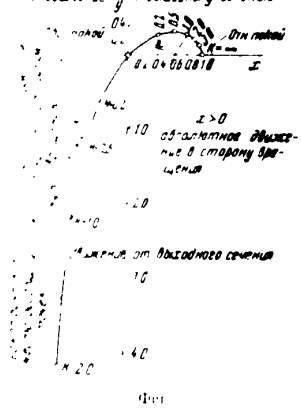
$$\begin{aligned} z_1 + z_2 &= -2ki, \quad z_1 \cdot z_2 = -2k^2, \\ z_1 &= -z_2 + i\sqrt{\frac{1-z_2}{1+z_2}} = -z_2 + ik\frac{1-z_2}{z_2}, \\ z_2 &= -z_1 + i\sqrt{\frac{1-z_1}{1+z_1}} = -z_1 - ik\frac{1-z_1}{z_1} \end{aligned} \quad (2.5)$$

причем

$$z_1 - z_2 = \sqrt{1 + k^2 + \frac{1}{4}k^4 - \frac{1}{4}k^2}$$

Интегрирование (2.5) с учетом начальных данных $t = 0, z = z_0$ дает

движение z в ¹ фазовом ² сечении



$$\frac{z - z_1}{z - z_2} = \frac{z_0 - z_1}{z_0 - z_2} e^{(z_1 - z_2)t} \quad (2.6)$$

откуда сразу видно совпадение изображающей точки на фазовой плоскости. Действительно, поскольку

$$i(z_1 - z_2) = -2\left(\frac{k}{z_1} - iz_1\right)$$

экспоненциальный множитель в (2.6) убывает с течением времени $z \rightarrow z_1$. Это стремление тем быстрее тем больше k , так как согласно табл. 1, значения $2k/z_1$ возрастают вместе с k . Аналогично получим что $z \rightarrow z_2$ при $t \rightarrow -\infty$. Таким образом, фазовые траектории представляют собой спирали, разматывающиеся от точки z_1 и наматывающиеся на точку z_2 .

Такие спирали являются особами для фазовой плоскости соответствия типа полинома и устойчивого фокуса. Согласно (2.5) геометрическое место z_1 и z_2 при различных коэффициентах трения k представляется общей кривой

$$y = x\sqrt{\frac{1-x^2}{1+x^2}}$$

Которая изображена на фиг. 4. Эта кривая определяется в промежутке $-1 < x < 1$, причем $z_1(k)$ соответствует значениям $x > 0$, а $z_2(k)$ — значениям $x < 0$.

На фиг. 4 показана фазовая траектория при $k = 0.5$. Изменение k в принципе не нарушает показанной картины. При увеличении k изображение z стремится к $z = 1$ (табл. 1), полюс z_1 удалается от единицы, фазовые траектории соответственно вытягиваются. При уменьшении k обе полюса приближаются к $z = 0$, что также приводит к вытягиванию траекторий.

Таблица 1

$\frac{2k}{z_1}$	$b(z_1)$	$b(z_2)$
0	2.00	2.00
0.042	1.40	1.40
0.088	1.306	1.27
0.166	1.296	1.26
0.337	1.247	1.15
0.671	2.27	2.54
1.345	4.20	4.50
2.0	6.14	6.28
3.0	8.23	8.23
4.0	10.2	10.2
5.0	10.0	10.0
10.0	20.0	20.0
∞	0	∞

формации траекторий. Во всех случаях изображающая точка стремится к своему предельному значению $z_1(k)$. Скорость изображающей точки определяется формулой (2.3), откуда модуль скорости равен $|z - z_1(k)| |z - z_2(k)|$ и при фиксированном z и возрастании k , вообще говоря, увеличивается из-за увеличения модуля $z_1(k)$.

Из изложенного выше следует, что при движении материальной точки по внутренней поверхности быстро вращающегося конуса ее плоская скорость $-x$ и логарифмическая скорость в направлении, близящемуся к $-y$ асимптотически стремятся к некоторым предельным значениям x_1, y_1 тем быстрее, вообще говоря, чем больше коэффициент сопротивления.

Для дальнейшего представим (2.6) в виде

$$z = z_1 + \frac{(z_1 - z_2) Z_0 e^{(z_1 - z_2)t}}{1 - Z_0 e^{(z_1 - z_2)t}}, \quad Z_0 = \frac{z_0 - z_1}{z_0 - z_2}$$

Левую часть (2.7) можно преобразовать так

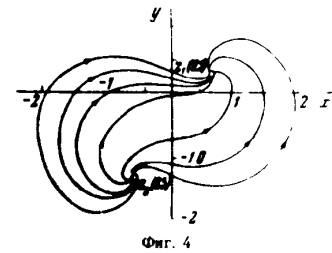
$$z = x + iy = \frac{\omega + \dot{\phi}}{\omega} + i \frac{\dot{\phi}}{\omega \cos \alpha} = 1 + i \frac{\dot{\phi}}{\omega} \sin \alpha + i \frac{\dot{\phi}}{\omega} \cos \alpha$$

Отсюда, интегрируя (2.7) и пользуясь начальными данными $t = 0, z = z_0$, получим

$$t + \dot{\phi} \sin \alpha + i \ln \frac{p_0}{p} = z_1 + i \ln \frac{1 - Z_0 e^{(z_1 - z_2)t}}{1 - z_0 e^{(z_1 - z_2)t}} \quad (2.8)$$

Остается здесь вещественную часть от минимум и плюс единица, чтобы избежать излишних движений материальной точки и при

$$t + \dot{\phi} \sin \alpha + i \ln \frac{p_0}{p} = z_1 + i \arg \frac{1 - Z_0 e^{(z_1 - z_2)t}}{1 - z_0 e^{(z_1 - z_2)t}} \quad (2.9)$$



Фиг. 4

ν_0	k	0.3	1.0	3.0
0.714	0.864	0.864	0.864	0.864
0.845	0.873	0.873	0.873	0.873
1.025	0.966	0.971	0.971	0.971
0.799	0.962	1.007	1.000	0.999
1.048	1.022	1.033	1.030	1.027
1.042	1.067	1.062	1.062	1.062

Табл. 1.0. Таблица для вычисления всех параметров определения скорости k и ω в исходных скоростях.

$$\begin{aligned} \frac{\partial \nu}{\partial k} &= \frac{1}{x_0} \left(\frac{x_0 - x_1}{x_0 - x_2} \right)^2 \frac{\partial \nu_0}{\partial k}, \\ \frac{\partial \nu}{\partial \omega} &= \frac{1}{x_0} \left(\frac{x_0 - x_1}{x_0 - x_2} \right)^2 \frac{\partial \nu_0}{\partial \omega} \sin \alpha, \end{aligned}$$

где x_0 — радиус-вектор начальной точки; x_1 и x_2 — радиус-векторы концов вектора скорости ω ; α — угол между вектором скорости ω и радиусом-вектором x_0 .
 Для определения поставленной задачи для случая I необходимо решить уравнение (3.1) при условии $k = 1$.
 Частичное решение неисключено гравитацией и вращением Земли. Но оно отнимет возможные параллельные укорочения радиуса r и времени t , т. е. неизвестный член из (2.9), который входит в выражение для ω .
 Поэтому для решения задачи I необходимо решить уравнение (3.1) при $k = 1$ и $\omega = 0$.

$$\frac{d\nu}{dt} = \frac{1}{x_0} \exp \left[-2 \left(\frac{k}{x_0} - i x_1 \right) t \right] \quad (3)$$

и это уравнение решается при условии $k = 1$ с учетом условия (3.1).
 Для этого в уравнении (3.1) при $k = 1$ и $\omega = 0$ введем $t = (t_1 - 1) \tau$, где t_1 — время, при котором движение было начато, а τ — время, прошедшее с момента начала движения.

$$\frac{d\nu}{dt} = \frac{1}{x_0} \exp \left[-2 \left(\frac{k}{x_0} - i x_1 \right) (t_1 - 1) \tau \right] \quad (3.1)$$

и это уравнение решается при условии $k = 1$ с учетом условия (3.1).

$$\nu = \frac{1}{x_0} \exp \left[-2 \left(\frac{k}{x_0} - i x_1 \right) (t_1 - 1) \tau \right] \quad (3.2)$$

и это уравнение решается при условии $k = 1$ с учетом условия (3.1).

$$\nu = \frac{1}{x_0} \exp \left[-2 \left(\frac{k}{x_0} - i x_1 \right) (t_1 - 1) \tau \right] \quad (3.3)$$

и это уравнение решается при условии $k = 1$ с учетом условия (3.1).

Учитывая, что $\omega = t \omega \sin \alpha$, получим из (3.3) для ω :

$$\omega = \nu_0 \operatorname{exp} \left(\frac{\omega \sin \alpha}{2k} t \right), \quad (3.4)$$

Формула (3.2) и (3.4) относятся к случаю одинаковых соотношений ω и k в исходных скоростях.

Интегрирование (2.2) в случае $k = 0$ дает

$$z = \frac{z_0}{1 - iz_0 t}, \quad (3.5)$$

Отсюда видно, что при любых z_0 и $t \rightarrow \infty$ будем иметь $z \rightarrow 0$, т. е. в случае пренебрежимого сопротивления воздуха предельным состоянием является точка внутри конуса будущего абсолютного покоя.

Решение в (3.5) вспомогательно и имеет место, наряду

$$\begin{aligned} x &= \frac{x_0 + y_0 t}{x_0^2 t^2 + (1 + y_0^2 t^2)}, \\ y &= \frac{y_0 + (x_0^2 + y_0^2) t}{x_0^2 t^2 + (1 + y_0^2 t^2)}, \end{aligned}$$

показанное на фиг. 5. Согласно (2.2) скорость движения изображаема в виде вектора по этим ортам, причем ортальная квадратура расстояния от начала координат.

Уравнения движения материальной точки внутри конуса при $k = 0$ можно записать, выражаясь (3.5) в виде

$$1 + \varphi' \sin \alpha + i \varphi' \cos \alpha =$$

$$e^{i \omega t} \exp \left(\frac{i \omega}{2k} \tau \right) \quad (3.6)$$

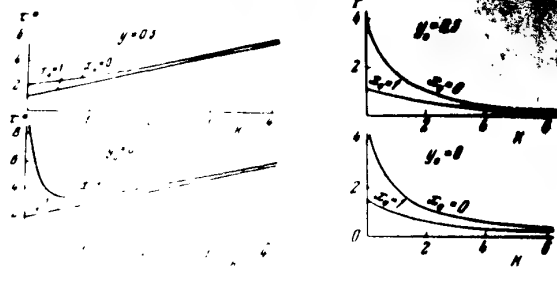
и аналогично это равество с учетом начальных данных

$$e^{i \omega t} \exp \left(\frac{i \omega}{2k} \tau \right) = \exp \left(i \ln \left(\frac{z_0}{x_0} \right) \right)$$

Отсюда находим исходное уравнение

$$r = r_0 \sqrt{x_0^{2k^2} + (1+y_0)^2}, \quad \text{где } k = \frac{b}{R}$$

Для иллюстрации полученных формул (3.2), (3.4) и (3.5) были проведены расчеты времени фугования t^* в углах ϕ^*



Фиг. 7

и времени фугования t^* в зависимости от начальных скоростей x_0 , y_0 и различных коэффициентов k . При расчетах, в соответствии с реальным экспериментом на пневмографе, принималось $R^* = 2\rho_0$ и $\alpha = 3^\circ$. Результаты расчетов приведены на фиг. 6 и 7.

На фиг. 7 видно, что начальная окружная скорость x_0 заметно отражается на результативных характеристиках по сравнению с начальной скоростью y_0 . Влияние коэффициента сопротивления b на время фугования влияние начальных скоростей слабее. Кроме того, при возрастании k угол ϕ^* при достижении времени фугования синхронизируется с образующими конусом углом ϕ , т. е. происходит увеличение времени фугования, если это определено либо при малых сопротивлениях, либо при больших начальных абсолютных покоя, вследствие чего введение коэффициента сопротивления независимо от начальных условий не влияет на время фугования.

4. Расчетные формы уравнений при сухом трении. Переидем к сухому трению, для которого коэффициент трения по врачающемуся конусу определяется формулой $T = fN$, где f — коэффициент трения, а коэффициент трения определяется формулой (1.1). Путем подстановки в уравнение (3.1) размерных величин x , y , z и t получим уравнение фазовой плоскости, получим систему:

$$\begin{aligned} x' &= \frac{R^* \sin \theta}{1 - R^* \cos \theta} x + \frac{R^* y}{1 - R^* \cos \theta}, \\ y' &= \frac{R^* \sin \theta}{1 - R^* \cos \theta} y - \frac{R^* b x^2}{1 - R^* \cos \theta} + y^2 - x^2 = 0 \end{aligned} \quad (4.1)$$

где $b = kR^*$ — коэффициент сухого трения.

Эта система может быть переписана в виде дифференциальной формы удобной для геометрических интерпретаций

$$d\frac{x^2 + y^2}{x} = b \left(1 - x^2 + y^2 \operatorname{arctg} \frac{y}{x}\right) dt \quad (4.2)$$

математические координаты

$$y = R \sin \theta \quad (4.3)$$

в полярных координатах приобретают вид

$$y^2 - x^2 = (1 + R^2) \cos \theta - 2R \quad (4.4)$$

в декартовых координатах получим

$$\frac{1 - R^2}{1 - R \cos \theta} + b R d\theta = 0 \quad (4.5)$$

5. Особые точки фазовой плоскости. Точки фазовой плоскости x' и y' или соответствующие R' и R'' обращаются для промежуточных или теряют смысл, называются особыми.

При помощи (4.1) можно сразу отметить две особенности: не зависящие от коэффициента сопротивления b — начало декартовых координат ($x = y = 0$), что соответствует абсолютному покоя и начало полярных координат ($x = 1$, $y = 0$), которое соответствует однородному полюсу материальной точки в конусе. Для первой из них обращаются в нуль x' и y' , а для второй эти производные получаются неопределенными.

Чтобы найти остальные особые точки, приравняем нуль производные уравнений (4.4); при этом из последнего имеем

$$\cos \theta = \frac{2R}{1 + R^2}, \quad \sin \theta = \pm \frac{1 - R^2}{1 + R^2}$$

относительно первому из уравнений (4.4) получим для R

$$\frac{(1 - R^2)}{1 + R^2} \left(\pm 1 - \frac{b}{1 + R^2} \right) = 0$$

Случай $R = 1$ соответствует $\theta = 0$, т. е. $x = y = 0$, и уже известен. Кроме того, $b > 0$, и поэтому нужно сохранить только положительный корень. Особые точки фазовой плоскости в полярных координатах даются уравнением

$$R = \sqrt{b - 1}, \quad \sin \theta = \frac{2 - b}{b}, \quad \cos \theta = \frac{2b - 1}{b} \quad (4.6)$$

Из (4.6) видно, что каждому значению коэффициента сопротивления, большему единицы, соответствует определенная, вообще говоря, неоднозначная, особая точка фазовой плоскости. Единичные же значения b возможны только при $b = 1$ и $b = 2$, особые точки для которых соответствуют точкам $x = 1$, $y = 0$ и $x = y = 0$. Последние, как указывалось, являются особыми при любых b .

В декартовых координатах особые точки определяются формулами

$$x = 1 - R \cos \theta = \frac{2 - b}{b}, \quad y = R \sin \theta = \frac{2b - 1}{b} \quad (4.7)$$

Исключая отсюда b , получим уравнение геометрического места всех этих точек в виде

$$y = x \sqrt{\frac{1 - x}{1 + x}}$$

что полностью совпадает с аналогичным геометрическим местом в случае сопротивления, пропорционального скорости (фиг. 3).

6. Особая точка в начале координат. Давайте предположим, что $b \neq 0$. Тогда из уравнения (4.1) получим, что для малых величин x и y имеем

$$x' = bx^2 - 2xy, \quad y' = x^2 - y^2 \quad (6.1)$$

Округлая для фазовых траекторий получим уравнение

$$\frac{dy}{dx} = \frac{x^2 - y^2}{bx^2 - 2xy}$$

Из которого получим следующий вид

$$x^2 - bxy + y^2 - cx = 0 \quad (6.2)$$

оно же дифференциальное уравнение

и оно же траектории в зависимости от коэффициента b могут быть либо гиперболы ($b < 2$), либо параболы ($b = 2$).



Фиг. 9



Фиг. 10

Все траектории проходят через начало координат и не проходят через ось y , если $c \neq 0$. Направление движения в окрестности особой точки видно из второго уравнения (6.1). При $c > 0$ траектории внутри области, заключенной между прямыми $x = \pm \sqrt{c}$, движение происходит в сторону увеличения y и винтообразно в обратном направлении.

На фиг. 9 изображены траектории (6.2) для различных b на фиг. 8, 9. На фиг. 10 изображена положительная и отрицательная ветви оси y предполагая при этом также фазовые траектории. В случае $b < 2$ особую точку $x = 0$ можно считать устойчивой в смысле Ляпунова, если исключить отрицательное направление оси y . В случае $b = 2$, как видно из фиг. 9, область $y < x$ соответствует асимптотическому приближению к изображающей точке к положительному покоя, а область $y < x$ — удалению от покоя. В случае $b > 2$ (фиг. 10) вырожденная гипербола, образованная

$$y = (\sqrt{b} \pm \sqrt{b^2 - 1})x,$$

делит окрестность особой точки на четыре характерные области. Изображающая точка, перемещаясь внутри тупых углов, образованных этими прямыми, асимптотически приближается или удаляется относительно начала координат, а при перемещении внутри острых углов вовсе не проходит через точку $x = y = 0$.

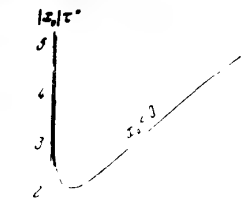
Чтобы получить уравнения движения изображающей точки, выделим из (6.2) y как функцию x и подставим в первое из уравнений (6.1).

После этого получим уравнение для x в виде

$$x' = \frac{(ct + \delta_0)^2 + 1 - 1/b^2}{\delta_0^2 + 1 - 1/b^2} e^{bP}, \quad (6.3)$$

где

$$c = \frac{\alpha^2 - b\alpha\beta + \beta^2}{\delta_0}, \quad \delta_0 = \frac{y_0}{x_0} + \frac{b}{2}$$



Из этих уравнений снова видно, что особая точка $x = y = 0$ является особой, которая достигается изображающей точкой при $t = \pm \infty$. При $b = 2$ и $x_0 = y_0$ уравнения (6.3) дают неопределённость типа $0/0$. Одна из этих областей в этом случае непосредственно из (6.1) следует из $x' = y'$ и является прямой линией, биссектрисой $x = y$ при $b = 2$ вблизи начала координат, называемой геометрическим местом особых точек, имеющих, как это видно из фиг. 9, неустойчивый характер.

При помощи (6.3) нетрудно получить уравнения движения изображающей точки в быстро вращающемся конусе вблизи положения, близкого к начальному абсолютному покоя. Подставляя в левые части (6.1)

$$x = 1 + \varphi' \sin \alpha, \quad y = \frac{\rho'}{\rho} \sin \alpha$$

и интегрируя, найдем при различных значениях b

$$\rho^2 = \rho_0^2 \frac{(ct + \delta_0)^2 + 1 - 1/b^2}{\delta_0^2 + 1 - 1/b^2} e^{bP}, \quad \varphi' \sin \alpha = -ct + F$$

т. е.

$$F = \frac{1}{V(1 - 1/b^2)} \operatorname{arctg} \frac{c\sqrt{1 - 1/b^2}}{\delta_0(ct + \delta_0) + 1 - 1/b^2}$$

$$F = \frac{\varphi'}{\delta_0(ct + \delta_0)}$$

$$F = \frac{1}{V(1/b^2 - 1)} \ln \frac{ct + \delta_0 + 1 - 1/b^2}{ct + \delta_0 + 1 + 1/b^2} \frac{\delta_0 + V(1/b^2 - 1)}{\delta_0 - V(1/b^2 - 1)}$$

По этим формулам можно подсчитать время пребывания частицы в конусе, траектория частицы, а также углы отклонения на выходе из конуса. Иллюстрации приведены подсчеты времени ската, которое (см. фиг. 4), обратно пропорционально арифметическому значению b (см. фиг. 11). При различном значение ρ на выходе принималось различное значение α , выбиралась на оси x , т. е. $x_0 = c$, $y_0 = 0$. При различном времени ската изображалась фиг. 11. Полученный график показывает, что при различном времени ската изображающей центрифуги вблизи $x = y = 0$ и выбранной с определенным

ных данных, второй квадрант.

Углы отклонения на выходе можно определить из соотношения $\varphi \sin \chi = -\varepsilon^*$. Траектории состоят из симметричных относительно оси абсцисс кривых, изображенных на фиг. 13, 14.

7. Особая точка $x = 1, y = 0$. Для изучения движений частицы при скольжении вблизи положения, соответствующем $x = 1$, обратимся к кинематической теории движения материальной частицы внутри ограниченного пространства, изложенную в книге А. Смирнова [1].

При движении вдоль кривой $\rho = \text{const}$ вдоль кривой малости $R = \text{const}$ (4.5) получаем

$$\frac{1 - R}{R \cos \theta} \approx 1 + R \cos \theta$$

Из уравнения (4.5) получаем

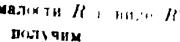
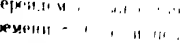
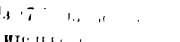
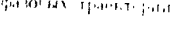
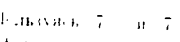
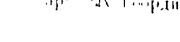
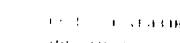
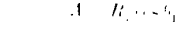
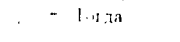
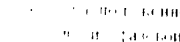
$$\frac{R - \sin \theta}{R \cos \theta} \approx b \quad (7.1)$$



Фиг. 13



Фиг. 14



ходит в особое положение.

В технологической практике употребляется выражение: «внутри вращающегося конуса называется зона, в которой материал Формула (7.8) показывает прямую зависимость времени кинематики при рассмотренных начальных данных». При этом вращение может и не иметь места, если конус не вращается из конуса. Для выяснения этого вопроса нужно решить уравнение (7.8), которое, в свою очередь, определяет зависимость $u = u(r)$ от радиуса включая χ из (7.5) и (7.7).

$$\begin{aligned} \frac{d}{dr} \left(\frac{r}{1-x_1} \right) &= \lambda = \frac{\eta}{(1-x_1)} \\ r d\lambda - \lambda dr &= 0 \quad \Phi = 0 \end{aligned} \quad (7.9)$$

Задаваясь различными b показателями времени фугования, получим из (7.9) с помощью интегрирования между r_1 и r по формуле

$$\frac{r^2}{r_1^2} = 1 - x_1^2 \int_{r_1}^r \frac{\eta(\xi) d\xi}{\lambda(\xi)} \quad (\lambda = \frac{\eta}{(1-x_1)}) \quad (7.10)$$

Следует, установившим границы для времени фугования, гарантированного при выбранных начальных данных внутри конуса.

Если величина η согласно (7.5) заключена между нулем и единицей из (7.9) имеем в этом случае

$$\frac{1}{4} \ln(1-2x_1) < \lambda < -\frac{1}{4} \ln(1-2x_1) + \frac{1}{4}$$

то есть

$$1 - e^{-4\lambda} < 2\eta(r) < 1 - e^{-4\lambda}$$

Далее при помощи (7.10) находим

$$\lambda = \frac{1}{4} \ln \frac{1 - e^{-4\lambda}}{1 - x_1} = \frac{1}{4} \ln \frac{2}{1 - x_1} \ln \frac{p}{p_0} \quad r = \frac{1}{4} (1 - e^{-4\lambda})$$

или, усиливая, неравенства

$$\frac{r}{1 - x_1} \ln \frac{p}{p_0} = \frac{2}{1 - x_1} \ln \frac{p}{p_0} < \lambda$$

Полагая теперь $\tau = \tau'$ время в переменной τ . Тогда получим неравенства для каждого текущего времени фугования τ'

$$1 - x_1 \ln \frac{p}{p_0} < \tau' < \frac{2}{1 - x_1} \ln \frac{p}{p_0} + \frac{(1-x_1)}{4} \quad (7.11)$$

Формула (7.11) дает весьма узкие пределы для τ' , при $b = 1$ ввиду малости $|1 - x_1|$ близки реальности.

Аналогичные неравенства можно вывести и

для τ и τ' .

(7.12)

Из условия (7.8) получается из условия, что время фугования не может быть меньше, чем время, необходимое (7.8).

$$\frac{b}{b-1} |1 - x_1| \quad (7.13)$$

откуда получаем условие для коэффициента b для рассмотренных начальных данных, от за-

$$\frac{b}{b-1} > \frac{2}{1 - x_1} \ln \frac{p}{p_0}$$

Решив это неравенство относительно b и учитывая малость коэффициента x_1 , получим окончательно

$$b < 1 + \frac{(1-x_1)^2}{4 \ln(p/p_0)} \quad (7.14)$$

Условие (7.14) является некоторым, хотя и неизвестным, расширением общепринятого условия фугования.

и указывает на возможность существования для коэффициента b определенного диапазона значений. Использование (7.14) предполагает, что в упомянутом диапазоне времени фугования начальной угловой скорости частицы в конусе нет, то есть диапазон допустимых значений b уменьшается.

8. Случай особой точки в конусе. Кроно особых точек в координатах $(0, 0)$, $(1, 0)$, $(0, 1)$ и $(1, 1)$ коэффициент времени $b > 1$, имеется еще одна. В условии 5, имеется еще одна особая точка, координаты которой определяются формулами (5.1) или (6.2). Рассмотрим окрестность такой особой точки.

Пусть полярные координаты этой точки R и θ . Введем малые величины r и ϕ так, чтобы $R = R + r$, $\theta = \theta + \phi$.

Используя (5.1), а также малость r , ϕ , имеем

$$R = \sqrt{b-1} + r, \quad \sin \theta = \frac{2-b}{b} + \frac{2\sqrt{b-1}}{b} \phi, \quad \cos \theta = \frac{2\sqrt{b-1}}{b} r \quad (8.1)$$

Подставив (8.1) в уравнения (4.4) и сохранив слагаемые не выше первого порядка малости. Тогда после вычислений найдем

$$r = \sqrt{b-1} (p + (b-1)\phi), \quad \psi = -\frac{2-b}{b\sqrt{b-1}} (2p + r) \quad (8.2)$$

Последнее характеристическое уравнение имеет вид

$$r^2 + \frac{b-4}{b\sqrt{b-1}} r - 2 \frac{(2-b)^2}{b^2} = 0 \quad (8.3)$$

Обратим уравнение (8.4) к виду

$$P_{1,2} = -\frac{1}{2} \frac{b^2}{b \pm \sqrt{b^2 - 1}}$$

Подкоренное выражение в (8.4) положительно при $b > 1$, отрицательно при $b < -1$. Отсюда заключаем, что в изучаемом случае квадратичное уравнение (8.3) имеет положительные и отрицательные корни, соответствующие особые точки неустойчивы. Для каждого корня в зависимости с вещественной отрицательной частью, соответствие особые точки имеют характеристику фокуса.

Любопытно, что если особые точки в изучаемом случае находятся в симметрическом положении относительно оси сопротивления, то для материальной частицы в обоих случаях движение материальной частицы в окрестности этих точек представляет одну и ту же кривую (5.3). Две особые точки в окрестности при различных значениях сопротивления дают различные кривые их абсцисс, т. е. согласно (8.3) и (8.4) коэффициенты пропорциональности удовлетворяют соотношению

$$1/k^2 + 1/k'^2 = 1/b^2 \quad (8.5)$$

Если изображающая точка находится в окрестности особой точки и движется вперед, то в обоих вариантах сопротивления движение материальной частицы внутри конуса будет идентичным, а именно, что она будет перемещаться с постоянной долготаференциальной скоростью du/dt с постоянной угловой скоростью $\omega = d\theta/dt$. При этом значение коэффициентов b и b' (см. таблицу 1) для каждого k соответствует для значений θ в окрестности данной точки.

Следует отметить, что при различном сопротивлении имеются различные особые точки. Если при сопротивлении, пропорциональном косинусу угла, устойчивые особые точки заполняют ту ветвь кривой (5.3), которая находится в первом квадранте фазовой плоскости, а неустойчивые образуют ветви этой кривой в третьем квадранте, то при сухом трении наблюдаем обратную картину. В частности, при сухом трении возможно устойчивое движение материальной частицы в направлении к вершине конуса, что на первый взгляд кажется парадоксальным.

9. Построение фазовой плоскости в целом для случая сухого трения. Для построения «пирогата» фазовой плоскости в целом перенесем уравнения (4.2) и (4.5) в виде

$$d\theta^2 + d^2 = bRd\theta \quad (4.4)$$

который допускает простую геометрическую интерпретацию. Справо ее выражения заметим (фиг. 16), что

$$\frac{x^2 + y^2}{z} = \frac{Vx^2 + y^2}{z/V^2 + y^2} = \frac{OM}{\cos \varphi} = ON = r(M)$$

Для построения «пирогата» фазовой плоскости в целом необходимо отложить на горизонтальной оси Ox отрезок AD , соответствующий проходящему через точку M_1 радиусу $r(M)$ симметрическим приращением du .

На фиг. 16 изображены две возможные прямые AD и AM_1 , соответствующие различным значениям du . Одна из них, AD , соответствует отрицательному значению du , другая, AM_1 , соответствует положительному значению du . (При $du = 0$ получим для общего вида кривой (5.3) $x = 0$.) Таким образом, M_1 определяет для них пересечение симметрических прямых с прямой AD . Очевидно из двух возможных точек пересечения следует выбрать ближайшую к M . На фиг. 16 по радиусу $r(M_1)$ из точки M_1 соответствующая отрицательному значению du проекции точки M_{11} , соответствующая отрицательному значению du .

При упомянутом построении возможны особый случай, когда новая радиус $r(M_1)(+du)$ не дает пересечения с прямой AD . В таком случае при графическом построении следует фиксировать du . В пределе особый случай соответствует изображенному на фиг. 16 радиусу OM перпендикулярному AM . Расширение в позитивном направлении du приводит к тому, что значение $AM^2 + CM^2 = CA^2$, значение же ON^2 уменьшается, место точек M_1 это нарушается возможность графического построения.

$$(1 + R^2) \cos \theta - R^2 \sin \theta = 0 \quad (4.5)$$

Сопоставляя (9.2) с (4.4), видим, что для изучаемых точек M (т. е. (9.2) представляет собой одну из изоклий фазовой плоскости) в том случае, когда симметричная точка M_1 расположается вместе с исходной точкой M на одном и том же полярном радиусе, отметим попутно и другие изоклии. Помимо $R' = 0$, найдем из (4.4) геометрическое место точек M , в которых изоклина и фазовой траектории направлена перпендикулярно полярному радиусу

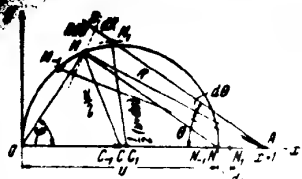
$$R = \frac{b + \lg b V^2 - \lg \sin \theta}{\lg \theta + b \cos \theta}$$

Найдем $d\theta/dx = 0$, $dy/dx = \infty$ найдем из (4.1) для приближенного решения $d\theta/dx = 0$, $dy/dx = 0$ соответствующую кривую, которая в полярных координатах имеет вид

$$R = (\cos \theta + \frac{2}{b} \lg b)^{-1}$$

Из (4.4) при $d\theta/dx = 0$, $dy/dx = 0$ имеет уравнение

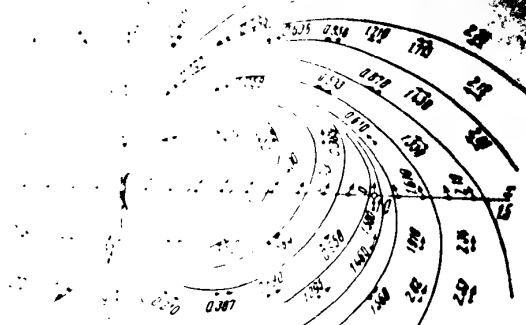
$$\tan \theta = \frac{\cos \theta \pm \sqrt{1 - b \sin \theta}}{b}$$



Фиг. 16

Изоклины (9.2) — (9.5) ~~пересечения~~
свойств. Зная эти изоклины, можно уточнить
район близи особых точек, полученный при ука-
занных на рисунках 6, 7, 8. Пользуясь изоклинами, можно также уто-
чнить траектории по элементам для точек, которые
от особых

При помощи указанного графического приема, можно также с легким успехом определить особые точек были



Фиг. 17

в фиг. 17, 18, 19) при различных значениях коэффициентов наглядности, на «портретах» указаны скорости, пропорционально к разностоточкам ее изменениям, а время определяется формулой

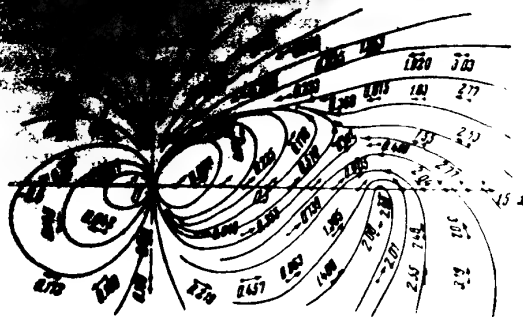
$$(x^2 + y^2)^2 + b^2 x^4 + 2bx^2y \frac{(1-s)^2 + y^2 - s}{\sqrt{(1-s)^2 + y^2}} \quad (9)$$

ПРИМЕНЕНИЕ ПОЛУВРЕМЕННЫХ АЛГОРИТМОВ

При $\beta = 0$ движение полученных «портретов».

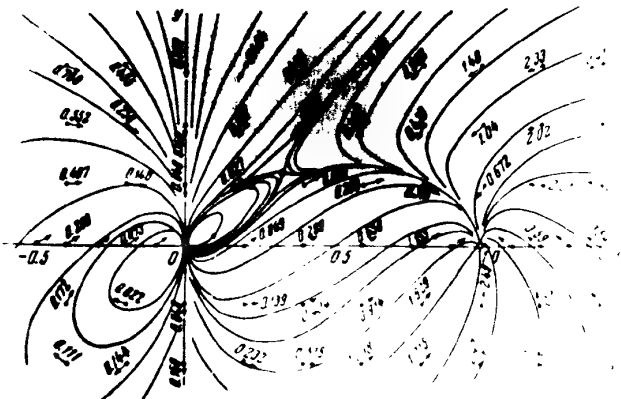
(рис. 17) изображающая точка может находиться в покое в начале координат. В случае любого другого ее исходного положения она будет перемещаться по линейным траекториям, стремясь к приведенной точке $(0,0)$. При этом движение происходит в направлении приведенного вращающейся орбиты, если $x_0 > 0$, и в обратном направлении, если $x_0 < 0$. Скорость движения меняется, вообще говоря, не прерывно увеличиваясь по мере удаления изначальной координат. Непрерывность нарушается только в том случае, если траектория проходящей через точку $(1,0)$. Здесь при $\beta = 0$ фазовая скорость получает скачок от $V = 1.5$ до $V = 0.5$. Последнее обстоятельство объясняется тем, что изображаемая точка проходит положение $(1,0)$, соответствующее относительному вокруг китеральной точки в конусе π в вертикальном направлении. При этом китеральная точка движется строго по образующей конуса, и движение ее в расположении изменяет направления силы тяжести на противоположное без изменения ее величины. Скачкообразное изменение силы дос-

Следует отметить, что в последние годы в СССР наблюдается тенденция к уменьшению количества и улучшению качества производимой промышленной продукции.



Dur 18

Вспомнив физический смысл фазовых координат x, y , можно утверждать, что при коэффициенте сухого трения $b < 1$ предельным состоянием материальной частицы в быстро вращающемся конусе, исходя из начальных данных, будет состояние абсолютного покоя.



4131

При $b = 1$ (фиг. 18) картина фазовых траекторий целико не изменяется. Заметное отличие наблюдается в то-
гой особой точке (1,0). Как и в случае $b = 1$, через нее про-
ходит одна из траекторий, соединяющая ее с начальным и кон-
ечным состояниями. Траектория изображающая точку (1,0),

положению снизу вверх со ~~спиралью~~
изогнутой вправо винта, т. е. соответствует
заклиниванию. На этом траектории обработка
на фазовой плоскости огибают рассмотренное нами
справа (фиг. 18). Скорость изображающей точки при этом
это соответствует медленному движению в конусе по
заклиниванию и изображающей последнего. Изображающая
линейка входит в свое положение, а медленно поворачива-
ется вправо. Продолжая движением таких точек при этом

отобразить ее кривую, соединяющую в вершинах симметрии две различные, с которой сливаются все трансверсальные кривые, одна из которых асимптотически приближается к оси x .

и что кривая из фигуры 11 проходит вдоль конуса при $b = 1$ может отре-
актировать либо при соответствующих на-
личии включения), либо, если началь-
ная и изображающей точки и (1,0), мо-
жет отреагировать с максимальной
скоростью по траектории
из фигуры 11. В последнем случае, однако,
частица приближается к конусу.

точка. Так, при $b = 1$ точка покоя с координатами (x_0, y_0) называется точечным седлом. В не-
которых случаях в окрестности четвере траектории, выде-
ленные на рисунке, определяют области пребывания двух групп точек, очевидные из рисунка.

если при точке перемещается в области притяжения на частица внутри конуса имеет своим предельным состоянием покой, который достигается при $t = \infty$. При выходе из этой области соответствующая частица за конечный промежуток времени приходит к относительному покоя, т. е. и заканчивает свое движение.

Во-вторых, с уменьшением возрастания b фазовый «портрет» будет соответствовать сдвигу и меняться за счет движения промежуточной особой точки по кругу (см. рис. 3). Когда эта точка попадет в третий квадрант фазовой плоскости ($b < -2$), она примет характер устойчивого фокуса и с ней будет связана некоторая область притяжения, обеспечивающая движение материала в конусе по направлению к его вершине. Эта область (также и область, связанная с заклиниванием материала в конусе) будет увеличиваться по мере возрастания коэффициента b , соответственно будет уменьшаться область фазовой плоскости, обеспечивающая предельное состояние абсолютного покоя для центрифугируемого материала.

Рассмотренная картина представляет собой результат качественной интеграции величинной системы (41) и дает наглядное представление о поведении материальной точки внутри быстро вращающегося цилиндра при различных коэффициентах сухого трения.

ПРЕДСТАВЛЕНИЯ В ТЕОРИИ СВЯЗИ

© Л. БЛОХ и А. А. ХАРКЕВИЧ
(Москва)

Представление закономерностей теории связи в геометрических выражениях было применено в работах В. А. Котельникова (1948), К. Шанюна¹⁰ (1952) и настоящему времени довольно широкое распространение.

Геометрические представления могут применяться в науках о природе, получившиеся, добываться аналитическим путем. Но они могут изучаться и в теории: вся теория может развиваться как теория геометрическая. Важно помнить, что такое направление в теории плодотворно, если имеется в виду, что в научном смысле геометрическое направление в теории плодотворно, если имеется в виду, что геометрическая теория будет полезна.

Цель настоящей статьи — дать краткий, но всесторонний обзор математических при геологических представлений современной теории связи. Какие либо вопросы технические проблемы в этом очерке не рассматриваются.

1. Случайный вектор. Геометрические представления, используемые теории связей, рождаются на грани двух математических дисциплин: метрики (геометрии n -мерного пространства) и теории вероятностей. Результатом возникает одно из основных вероятностно-геометрических понятий — понятие о **случайном векторе**.

Мы определяем случайный вектор как вектор, составляющие которого выражаются членами некоторой случайной последовательности. Если случайная величина, и τ — отдающее ее значение, то, рассматривая значениями τ_k , можно представить случайную величину τ вектором пространстве L измерений.

$$t = \sum b_m$$

W i_k — opt k-ohm occ.

Важной для дальнейшего особенностью случайного вектора является то, что положение его конца в пространстве не является определенным. Нам может быть известно лишь распределение вероятностей для составляющих вектора. Следовательно, конец вектора может находиться в той или иной области пространства с той или иной вероятностью. Применив понятие о геометрическом месте конца вектора к случайному вектору, мы должны принять, что такое место может описываться лишь как облако, т. е. расплывчатое образование, переменная плотность которого отображает многомерную плотность вероятности. Однако всегда возможны нацидеть отчетливо ограниченные области, внутри которых с заданной вероятностью будет находиться конец случайного вектора.

Длина случайного вектора выражается равенством

$$\|\mathbf{q}\|^2 = q_1^2 + \dots + q_n^2$$

Условимся сразу ввести вероятности, соответствующие вектора значений $\eta_1, \eta_2, \dots, \eta_n$, имеющие ненулевыми составляющими имеем

$$\eta^2 = \frac{1}{n} \|\eta\|^2 = \frac{1}{n} (\eta_1^2 + \dots + \eta_n^2) \quad (2)$$

Будем с дальнейшим полагать, что среднее значение η равно нулю и что все η_k имеют одно и то же значение

$$\eta = \lim_{n \rightarrow \infty} \frac{1}{n} (\eta_1^2 + \dots + \eta_n^2) = D(\eta) = \sigma_\eta^2$$

Согласно (2) имеем к среднеквадратичному зна-

чению

согласно (1) выражает меру неоднородности.

2. Тогда

и

и

и

$$\begin{aligned} \eta^2 &= \eta_x^2 + \eta_y^2 = \sum (\eta_x + \eta_y)^2 = \\ &= \sum \sum \eta_x \eta_y = \eta_x^2 + \eta_y^2 + \frac{2}{n} \sum \xi_k \eta_k \end{aligned}$$

или в координатном виде

$$\eta^2 = \eta_x^2 + \eta_y^2 = 2 \|\mathbf{x}\| \|\mathbf{y}\| \frac{\xi_1 \eta_1 + \dots + \xi_n \eta_n}{\sqrt{(\xi_1^2 + \dots + \xi_n^2)(\eta_1^2 + \dots + \eta_n^2)}}$$

Из этого ясно есть не что иное, как косинус угла

$$\cos \theta = \frac{\xi_1 \eta_1 + \dots + \xi_n \eta_n}{\sqrt{(\xi_1^2 + \dots + \xi_n^2)(\eta_1^2 + \dots + \eta_n^2)}}$$

и в частности в отношении коэффициентов корреляции и крепления между последовательностями ξ и η получаем равенство

$$\text{Более того } \eta = \xi \eta(0)$$

Фиг. 1. Схема, иллюстрирующая то, что если $\theta = 0, \mathbf{x} \perp \mathbf{y}$ (при $\theta \rightarrow \pi$ $\mathbf{x} \parallel \mathbf{y}$), то $\eta = 0$ и η является однозначным, т. е. если между векторами отсутствует взаимосвязь, то векторы \mathbf{x} и \mathbf{y} , отсутствие корреляции между векторами \mathbf{x} и \mathbf{y} соответствует геометрическому факту, что эти последовательности векторов ξ и η образуют ортогональный треугольник.

Из фиг. 1 ясно, что η — случайной величиной, распределенной согласно (2).

При изменении θ η будет случайной величиной, распределенной согласно (2).

Чтобы изучить зависимость η от θ , воспользуемся теоремой Фишера о преобразовании вектором поляризации, отображающим через интервал

$$\Delta = \frac{1}{2T}$$

где T — время импульса. Таким образом, на интервале T функция будет определяться

$$x = \frac{T}{\Delta t} = 2FT$$

изменяющей, обрамляющей дискретную последовательность. Это позволяет представить процесс длительностью T непрерывной функции с дискретными значениями вектором в пространстве конечного числа измерений.

4. Сообщение и сигнал. Подлежащее передаче сообщение может иметь либо дискретную природу (текст, цифровые данные), либо непрерывную (звук, изображение). В последнем случае ширина спектра может быть ограничена с учетом свойств получателя (т. е. свойств тела и зрения), и, следовательно, в обоих случаях, т. е. как при дискретном, так и непрерывном сообщении, дело сводится к передаче некоторой дискретной последовательности. Передача происходит путем преобразования сообщения в сигнал, который поступает в линию связи, и преобразовывается снова в сообщение на приемном конце системы связи.

Обозначим поданное сообщение через u , соответствующий сигнал — через f и принятые сообщение — через v . Соотношение между этими величинами в аналитической форме записывается

$$f = \Psi(u), \quad v = \Psi^{-1}(f)$$

где Ψ — оператор преобразования. Между сообщением и сигналом должно быть однозначное соответствие; при правильной работе системы должно быть $v = u$, т. е.

$$\Psi \Psi^{-1} = 1$$

С геометрической точки зрения дело сводится к преобразованию пространства сообщений A_u в пространство сигналов A_f с последующим преобразованием пространства A_f в пространство A_v . Эти преобразования показаны схематически на фиг. 2, на которой изображены два сообщения u_1 и u_2 , соответствующие им сигналы f_1 и f_2 и принятые сообщения v_1 и v_2 . Пространство сигналов A_f может иметь иную числовую мерку, чем пространства сообщений A_u и A_v . Так, например, если для широкополосную частотную модуляцию мы имеем ширину спектра сигнала, дважды большую, чем ширина спектра сообщений, сдвигом τ мы имеем увеличение $n = 2FT$.

Все возможные способыения физического ансамбля сообщений. Если сигналы вектора x и соответствующие сигналы также образуют ансамбль (по условию однозначности соответствия), то вектор x называется *вектором передаваемого сообщения*; при этом вектор x имеет нечетные приращения, и, следовательно, генераторный ансамбль сообщений будет совокупность N линейно независимых векторов. Тогда вектор x вместе с сигналом будет обладать и всеми свойствами вектора x .

Аналогично, для каждого из данных, построение аналогичных векторов и т. д. Выбор закономерностей, определяющих построение векторов, не является в общем смысле ограничивающим.

3. Сигналы помехи. Помеха при передачи на сигнал подается в виде вектора ζ , определяемого вектором переданного сигнала и приемлемого сигнала.

Если переданный сигнал обозначен через f , а помеха через ζ , то принятый сигнал будет

$$x = f + \zeta \quad \text{или} \quad x_0 = f_0 + \zeta_0.$$

Мы полагаем, что помеха выражается вектором с тем же числом составляющих, что и сигнал, так как и сигнал и ре-

альный сигнал тоже канал связи с определенной погрешностью. Практически во всех интересующих нас случаях помехи и сигналы неизвестны. Поэтому соотношение между сигналами может быть при $\lambda \rightarrow \infty$ записано

$$\lambda = f^2 + |\zeta|^2$$

и вектором вектору переданного сигнала.

$$f = \sqrt{\lambda} \cdot \frac{1}{\sqrt{\lambda}} f$$

$$P_{\text{передачи}} = \lim_{n \rightarrow \infty} \frac{1}{n} (x_1^2 + \dots + x_n^2)$$

и вектором вектору приемлемого сигнала.

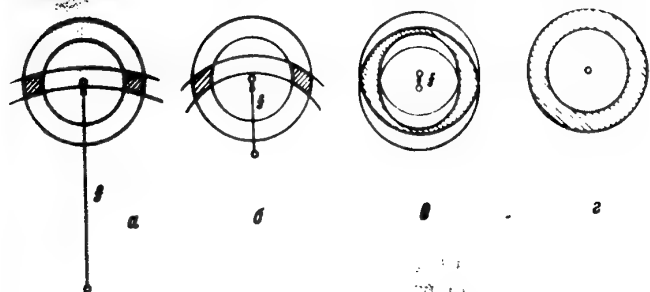
Несмотря на то что вектор f определяется единичным вектором ζ , зависящим от величины вектора ζ в качестве места конца вектора f определяется величиной $\sqrt{\lambda}$ и вектором ζ . Видно, что величина $\sqrt{\lambda}$ определяется величиной ζ .

Фиг. 3 изображает представление (при $\lambda < \infty$) вектора f в виде вектора $\zeta/\sqrt{\lambda}$ между ζ и f будет фиксировано, а величина вектора $f/\sqrt{\lambda}$ между f и ζ будет фиксирована. Следовательно, предстающие между векторами x и ζ векторы f и ζ симметричны относительно вектора x . Видно, что вектора x и ζ определяют торoidalную форму.

Помеха, определяемая вектором ζ , должна устанавливаться в пределах некоторой области, чтобы вектора x и ζ могли укладываться в эту область. Для этого необходимо, чтобы вектора x и ζ удовлетворяли неравенству

$$R_1 < |x| < R_2 \quad (3)$$

где R_1 и R_2 — радиуса, на которых представляются двумя шаровыми слоями, на которых укладываются вектора x и ζ . Но конец вектора x и конец вектора ζ это различные точки. Поэтому эта точка должна с наибольшей вероятностью находиться в области, удовлетворяющей обоим неравенствам (3) одновременно. Эта область получается в результате пересечения двух шаровидных и имеет торoidalное строение. На фиг. 4 ее схематично изображено.



Фиг. 4

Такое представление позволяет разрешить возникающий иногда вопрос о том, почему наличие сигнала нарушает сферическую симметрию геометрического образа помехи.

Ответ на этот вопрос можно получить из фиг. 5, на которой повторено для нескольких степеней убывающих значений мощности сигнала при неизменной мощности помехи.

Как видим, торoidalная область постепенно деформируется, превращаясь в предельный случай, когда $\lambda \rightarrow 0$.

6. Помехоустойчивость. В результате наложения помехи на передаваемый сигнал образуется новый ансамбль приемлемых сигналов. Видимо, что помеха будет такова, что все приемлемые будущие приемлемые вектора фактически передаваемого сигнала не попадут в пределах, определяемых не с фактически передаваемым сигналом, а с приемлемым сигналом. Тогда, очевидно, при обратном преобразовании пределов получим сообщение, не соответствующее передаваемому. Это сообщение мы определим как ошибку. Вероятность ошибки — это вероятность ошибки.

Помехоустойчивым является определение искаженного сообщения. С геометрической точки зрения это означает, что приемлемые (приемлемые) сигналы сводятся к тому же множеству (то есть приемлемые сигналы).

отображает принятый сигнал в виде f_1 , откуда видно, что ввиду тому что принятый сигнал близок. На фиг. 6.10 изображены спектры возможных сигналов f_1 и f_M : фактически первые 10 гармоник. Видно, что спектр f_1 имеет форму симметричного полумесяца, а спектр f_M — форму симметричного квадрата. Поэтому для обнаружения помехи E (Представлена на фиг. 6.11) можно использовать приемник, отображающий принятый сигнал в виде f_1 .

т. д., т. е. будет совершенствоваться, то что вероятность ошибки определяется вероятностью перехода конца линии в начальную линию (матрич-пунктир $\begin{pmatrix} 0 & 1 \\ 1 & 0 \end{pmatrix}$) и вероятностью место точек, расположенных на концах линий, в начальную пространство, на концах линий. На рис. II. Вероятность перехода конца линии может быть подсчитаны или же с помощью вероятности, если известно засим ошибка. Но сейчас можно лишь сказать, что ошибки тем меньше

какие спиритометрические манипуляции) зависят от конструкции системы передачи. Для одноточечной можно построить различные ансамбли, где которой **наименьшее расстояние** является **более изомахоустойчивой** в том или иной смысле при заданной помехе.

$$1/t' = \text{const}$$

INTRODUCTION: OVERVIEW

112

и приближенно убывать. Но в то же время он показывает способ приема симметрического отрезка сигнала вдоль оси x . Иначе говоря, прием симметрического отрезка сигнала построить вектор x симметрическими отрезками и отождествить его с вектором, к которому он ближе всего применился по Котельникову.

Приятие идеального приемника (способ приема) не является единственно возможным, ото-
бразившим из возможных передачим, в которых он находится на заданных
максимально помехи, которая предъявляет

Все эти факторы определяют, каким образом появляются и распространяются вирусы, а также определяются характером их определенных

easy enough to choose

$$C_{\text{exp}} \approx \frac{1}{\pi} \log N$$

$$C = \gamma - \frac{1}{T} \log_2 N$$

В этих фрагментах все возможные сообщения мы предложили для испытания.

Рассмотрим ансамбль из N сигналов с одинаковой средней мощностью. В пределе любой сигнал, выражаемый процессом, имеющим единичную спектральную плотность, удовлетворяет этому условию. Но применят к ансамблю сигналов, обладающих постоянной мощностью на любом промежуточном времени. Таков, например, двойичный сигнал типа ГИМ, сигнал ЧМ, ЧМК и др. Так как в вымбранном нами масштабе мощности изображается единой вектора, то все сигналы одинаковой мощности распределяются по поверхности сферы соответствующего числа измерений. Чем больше число сигналов, образующих ансамбль, тем больше пропускная способность, и тем теснее располагаются точки (коэффициентов) сигналов на поверхности сферы, т. е. тем меньше расстояние между ближайшими сигналами. С другой стороны, чем меньше расстояние, тем больше вероятность ошибки, т. е. тем ниже помехоустойчивость. Таким образом, повышая пропускную способность, мы повышаем помехоустойчивость, и наоборот. Очевидно, что при заданном наименьшем расстоянии между точками сигналов их следует располагать на поверхности сферы с наибольшей радиальной плотностью. Это положение означает и равномерным расположением сигналов. Если же сигналы не равномерны, то можно получить более сложные соотношения, расположив точки маловероятных сигналов так, чтобы наиболее вероятных сигналов — реже. Такое явление известно под наименованием оптимального расположения точек сигналов относительно центра геометрическое толкование этого явления оптимальным кодированием.

8. Предельная пропускная способность. Требование высокой пропускной способности и высокой надежности соединения необязательно всегда противоречивы. Но может случиться, что пропускная способность при скольжении малой вероятности ошибки. Так как предельная пропускная способность связана с вероятностью ошибки, то прогрессивного уменьшения вероятности ошибки можно добиться, увеличивая длину вложенного вектора, например, в 2 раза, или заменяя измерительный λ . В пределе вектор помехи может быть бесконечным, т. е. $\lambda = \sqrt{E_m}$, и если различия точки сигнала и шума, измеренные на различных точках спектра, не превосходят λ (по Котельникову) промежутки бесконечно отложены бесконечном спектре сигнала. Теперь ясно, что нахождение предельной пропускной способности сводится к чисто геометрической задаче о том, каким образом можно выбрать радиус $R_{\text{п}}=R_0/\sqrt{E_m}$ для широких сегментов

шаров на круги радиуса $\sqrt{P_n}$ или имеющие в сечении одинаковый сегмент показан в разрезе.

Точное решение задачи, как, вероятно, и для задачи о вероятности более плотной укладки в n -мерном пространстве, пока неизвестно. Однако давно установлены⁽¹²⁾ следующие оценки для числа N независимых сегментов шаровых сегментов с углом раскрытия θ :

$$(1 + \epsilon_1)(\sin 2\theta)^{-1} \leq N^{1/n} \leq (1 + \epsilon_2)(1 + \theta)^{n/2} (\sqrt{2} \sin \theta)^{1/n}$$

где ϵ_1 и ϵ_2 — функции n , убывающие как n^{-1} . Пользуясь соотношениями фиг. 6, можно представить эти неравенства в виде

$$4 \left[\frac{1}{n} (2 + \frac{P_n}{P_0} + \frac{P_0}{P}) \right]^{n/2} \leq N \leq nB \left[\frac{1}{2} \left(1 + \frac{P}{P_0} \right) \right]^{n/2}$$

Логарифмируя и пренебрегая $\log A$, $\log B$ и $\log n$ по сравнению с n , получаем для предельной пропускной способности

$$F \left[1 + \epsilon_1 (2 + \frac{P_n}{P_0} + \frac{P_0}{P}) - 2 \right] \leq C \leq F \left[\log \left(1 + \frac{P}{P_0} \right) - 1 \right]$$

Это соотношение отличается от известной формулы Шеннона

$$C = F \log_2 \left(1 + \frac{P}{P_0} \right)$$

В частности, при $P = P_0$ обе оценки складываются в одну, тогда как, по Шеннону, при этих условиях $C = F$.

При $P > P_0$ предельная пропускная способность обратима, то есть, независимости вероятности ошибки не соответствует предельная пропускная способность. Чем выше вероятность ошибки, тем ниже предельная пропускная способность. При $P < P_0$ предельная пропускная способность обратима, то есть, независимости вероятности ошибки соответствует предельная пропускная способность.

Что же происходит с предельной пропускной способностью при $P \neq P_0$? Для этого отметим, что предельная пропускная способность определяется сечением единичного шара, то есть, будет предельная пропускная способность, соответствующая единичному сечению единичного шара. Сечение единичного шара, соответствующее единичному сечению единичного шара, но имеющее меньшую поверхность, называется изохорой. Изохора, соответствующая единичному сечению единичного шара, имеет меньшую поверхность единичного шара, чем единичное сечение единичного шара.

При некотором n , что следует из всего предыдущего, можно получить оценку изохоры, а пропускная способность тем самым ограничена вероятностью ошибки.

Выполнены соответствующих расчетов для единичных сфер, чтобы установить связь между изохористичностью и предельной пропускной способностью.

10. Разделение сигналов. Важно упомянуть разделение сигналов. Раньше говорили, что при многоканальной связи, т. е. при передаче нескольких сигналов по одному линийному нелинейному каналу, необходимо на приемной стороне привести разделение сигналов с тем, чтобы направить каждый из них по своему назначению. Для этого необходимо чтобы сигналы, представляемые образом, различались между собой, различие и определяется на основании этого различия.

Общему принципу разделения можно дать простое геометрическое толкование. Ну если разные сигналы отличаются по некоторому параметру λ , который может, в частности, иметь смысл частоты или времени. Записав выражение для сигнала в виде

$$f = f_0(\lambda)$$

положим, что сигналы одного какого либо канала складываются в канал звучания («полосу»)

$$\lambda_1 < \lambda_2 < \lambda_3$$

и что полосы различных каналов не перекрываются, т. е. что границы каждой полосы лежат вне других. С геометрической точки зрения означает, что пространство Λ параметра λ делится на линейно независимые подпространства Λ_i . Тогда операция разделения истолкована как операция проектирования пространства Λ на соответствующие пространства Λ_i .

Отсюда следует важное утверждение о том, что условие потенциальной разделности сигналов есть условие независимость \mathcal{M} . В списанной книге прошу прощения за геометрической точки зрения операция разделения по-видимому описана функциями.

Заключение. Как видно из предыдущего очерка, геометрическая теория позволяет не только формулировать главнейшие проблемы связи, но и находить конкретные их решения. Поэтому геометрическая теория освещения заслуживает разработки. Это относительно только к приложениям ее к связям, то есть к чисто математическим. Так, были бы весьма полезными дальнейшие усилия в направлении решения задач о наилучшем плотном укладке тел в n -мерном пространстве. Улучшение существующих в настоящие времена оценок позволило решить ряд прикладных задач при волночном п

Поступило 14 IV 1

ЛИТЕРАТУРА

1. Schappell, C. E. Communication in the presence of noise. RIRE 37, 1
2. Chabauty, C. Resultats sur la propagation d'allotoms égaux sur une ligne de fil. CR 236, 1407-1410
3. Шокинский, А. А. Теория разделения сигналов. В: Теория передачи информации в условиях помех, под. ред. И. А. Абрамова. М., 1955
4. Геометрическая теория связи. А. А. Геометрическая теория порога пропускной способности. Радиотехника, № 7, 1955.
5. Геометрическая теория оценки и определенной пропускной способности. Радиотехника, № 8, 1955.
6. Геометрическая теория связи. А. А. Геометрическая теория разделения сигналов. Радиотехника, № 10, 1955.

Известия Академии наук СССР ОДЕЛЕНИЕ ТЕХНИЧЕСКИХ НАУК

№ 6

1955

К ВОПРОСУ О ПРИРОДЕ И МЕХАНИЗМЕ ВНЕЗАПНЫХ ВЫБРОСОВ УГЛЯ И ГАЗА

В. С. КРАВЧЕНКО

(Москва)

Изучение природы и механизма внезапных выбросов угля и газа, проведенные в Электромеханической лаборатории ИГД АН СССР во главе с А. А. Скочинским, привело к обнаружению нового интересного физического явления¹

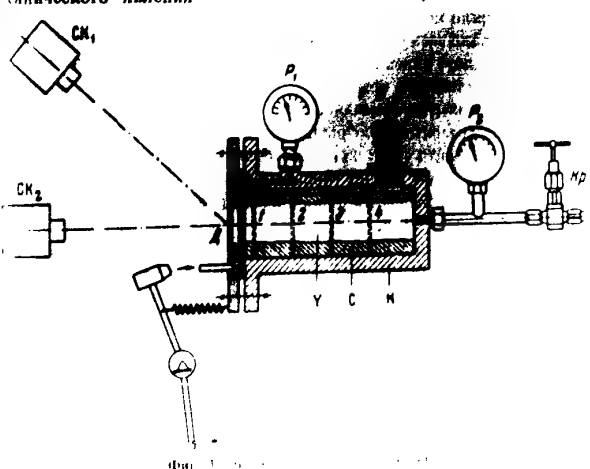


Фото В. С. Кравченко

Оказалось, что при взрыве угольного брикета с поверхностью, покрытой водой, фронт дробления идет с большой скоростью, что является новым физическим явлением. В противоположность этому, при взрыве мельчайшего угля

¹ Опыты и расчеты выполнены в лаборатории В. М. Давренко.

шараха. При таком обстоятельстве нечестивые люди
также к выбросу угли из камина, чтобы

Если брались образцы угля "правильные", то противление разрыву $0.9-1.0$ кг/см 2 , то при выбросах угля ограничивающие пыльную вспышку, оно было бы неизменным. Но вспышки быстро затухали. При этом пропадало и первоначальное давление газа. Если образцы угля "неправильные", то противление разрыву составляло менее 0.5 кг/см 2 , то есть трещина начинала и выбрасывала весь угольный образец угля при давлении 0.5 кг/см 2 . Описанное явление было воспроизведено и по воспроизведенным схемам.

Проведенные опыты показывают, что в угольных пластах газовая измельчитель и выбросить уголь (или разрыв), неизвестно для газа необходимо обра- женной поверхности зерна.

Необходимый пересмотр
внезапного обжалования
внезапное обжалование
одного из признаков

В естественных условиях извлечение обогащенных углей возможно при вскрытии угольного пластов веществами, при сопротивлении горючими, а также некоторых других случаях. Во всех этих случаях возможны выбросы угля и газа.

О механизме разрушения угля при измельчении двум кинопленкам, снятых двумя фоторегистраторами (Х₁, Х₂) (фиг. 1). Несколько первых кадров показаны на фиг. 2. Эти фильмы дают представление о механизме разрушения угля.

Однако лучшим методом осциллографирования, безусловно, является строение волн дна.

Для осциллографии
применяется синхронизированное
излучение ламп накаливания.

СОВЕТОВА
ПРИЧУВАДІ
ВІДОВИДІ
БАЛО-СУ-

СОВЕТСКОЕ ВО
ДАЧНОЕ ДЕНЬГИ
ПРОДАТЬ, АЧУ

198

в 0.0
ных
формах
образцов

Сообщалось о неспособности строить с естественными материалами

ило получать
наиболее задан-
ные на разрыв.
вественных об-
разований

всем было по-
казано, что ра-

ХВОСТЫ УГЛЯ
ДАТЧИКИ
ОБРАЗОВАНИЕ
ГИГРАФЫ
ПРОЦЕССОВ



Фиг. 2. Кадры скоростной киносъемки угля и газа перед избранным бойком; 6 - облако углекислоты над бросом угля и газа

зрушение начинается с дробления куска угля, далее разрушается ветровой способом и, что свидетельствовало о переходе с открытой поверхности в глубь обрыва. Упомянутое убедительно показало, что **все разрушения угля в описанных случаях** были

Фиг. 3. Остаточные сорбционные емкости углей при различных давлениях в газе.

$$\frac{q}{q_0} = \sqrt{\frac{p_0}{p}} \quad (1)$$

Здесь ν/a_0 — коэффициент сорбции углеродных газов в данном газе при давлении p_0 (для CO_2 и для O_2); x — коэффициент сорбции углеродных газов в угле (коэффициент сорбции углеродных газов в угле); p_0/p_0 — отношение давления газа в газе к давлению газа в глубине массива; p_0/p_0 — коэффициент сорбции углеродных газов в угле (включая газ, сорбированный в угле) при давлении газа при давлении p_0 (под истинной изотермой сжатия массы куска угле за пределами p_0); b — величина, характеризующая сорбционную способность по формуле

$$b = p_0 \frac{q_0}{q} \quad (2)$$

Параметр	Установка	Установка		Установка						
		шарик	шарик							
Ру	1	5	40	57	28.5	2—3	42	—	11	12
Ру	2	5	40	70	35.0	1—2—3	42	14	7	12
Ру	3	5	55	67	33.6	1—2—3	50	59	25	59
Ви	1	20	35	200	100	1—2—3—4	45	62	66	115
Ви	2	20	55	200	100	1—2—3—4	45	62	91	115
Би	1	40	30	200	100	1—2	52	—	—	—
Би	2	40	30	200	100	1—2—4	31	40	66	—
Би	3	40	30	200	100	1—2—3—4	40	40	40	—
Би	4	40	30	200	100	1—2—3	40	40	40	87

иная плотность угля (исключая сорбированный газ), a_0 — объем (1 кг); q_0 и q — сорбционные емкости угля при давлении p_0 и p ; T_0 — температура в глубине массива, 0.1 ккал/кг·град; α — коэффициент, показывающий, что в момент сброса газового давления (до конца сжатия) осталось всего лишь 0.1 от всего объема сорбированного газа (так называемый угол). Для разрушения угля эта доля уменьшается вдвое. Рекомендуемые напряжения, действующие в угле при определении коэффициента сорбции

$$\alpha = \left(1 + \frac{0.1b}{\nu} \right) \left(1 + \frac{0.1b}{m} - \frac{1}{\nu} \frac{p_0}{p} \right) \quad (2)$$

показывают, что не смысль, что и в формуле (2) сорбционные емкости следует теперь взять кажущуюся плотность сорбированного газа в куске угля и его объему. Вместо объема куска угля и его объему, включая сорбированный газ, в другую величину α будем считать промежуточную величину, определяемую из записанных ниже уравнений и выражаемую не в физическом смысле.

$$\frac{s-1}{s+1} \frac{a^2}{a_0^2}, \quad \alpha = \frac{\nu}{a_0} \left[\left(1 + \frac{0.1b}{m} \right) \nu \frac{p_0}{p} - 1 \right] \quad (3)$$

Эти формулы справедливы только в определенных пределах и, в свою очередь, зависят от p_0 . Для определения давления p_0 и α следует пользоваться формулой

$$\alpha = \sqrt{\frac{2p}{s+1} \frac{s}{a_0} \frac{1}{\nu_{sp}} \frac{p_{sp}}{p_0} \left(1 + \sqrt{\frac{2}{s(s+1)} \frac{a_0}{\nu}} \right)} \quad (4)$$

$$\frac{v_0}{v} = \frac{1}{\sigma(\sigma+1)} \left[1 + \sqrt{\frac{\sigma}{\sigma+1}} \right] \quad (6)$$

При решении уравнений (6) и (7) получены зависимости скорости волны дробления v_0 от давления в фронте волны дробления p_0 и от коэффициента сорбции углеродистого угля σ .

При вычислении коэффициента сорбции углеродистого угля в фронте волны дробления σ предполагалось, что давление газа в фронте волны дробления p_0 при разрушении углеродистого угля с коэффициентом сорбции σ составляет

По мере распространения волны дробления давление газа в фронте волны дробления p_0 уменьшается и в разрушающемся слое угля уменьшается коэффициент сорбции σ .

В соответствии с этим определяется первоначальная скорость волны дробления — начальная (меньшая) и конечная (большая).

Результаты вычислений сведены в табл. 1, где для сопоставления приведены также измеренные значения скорости волны дробления для различных образцов угля.

Начальная скорость волны дробления фактически измерилась не одинаково, а так как средняя скорость v_{12} на участке в 4 см между точками 2 и 3, то им разделилась на дважды против истинного значения.

Среднюю скорость и мерялась как средняя скорость v_{23} на участке в 2 см между датчиками 2 и 3, т. е. на расстоянии

менее 20 см установившийся процесс не достигал стационарного состояния, поэтому измеренная скорость v_{23} была ниже вычисленных. Как видно, чтобы оценить реальный процесс, необходимо пользоваться образцами угля.

Сравнение с теорией (мерений показали, что измеренные скорости волны дробления и установленные), как и следующий результат, подтверждает, что в тех опытах между вычисленными начальной и конечной скоростью волны дробления и измеренными ими не было никакой разницы.

Таким образом, полученные экспериментально данные подтвердили сходимость опыта и теории и тем самым верность предложенных

уравнений. Важно отметить, что волна дробления не может распространяться в фронте волны дробления, если коэффициент сорбции углеродистого угля в фронте волны дробления не равен единице. Для углей с коэффициентом сорбции $\sigma < 1$ волна дробления не может распространяться в фронте волны дробления.

При давлении газа в фронте $p_0 = 20$ кг/см² коэффициент сорбции углеродистого угля в фронте волны дробления $\sigma = 0.58$. При дальнейшем увеличении давления в фронте волны дробления коэффициент сорбции углеродистого угля уменьшается и волна дробления не может распространяться в фронте волны дробления.

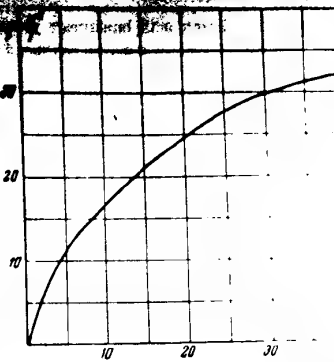
На основании приведенных уравнений и принятых исходных данных на фиг. 5 построены зависимости $\sigma = \sigma(p_0/p_0)$ и $v = v(p_0/p_0)$ для различных значений максимальных давлений $p_0 = 20, 30, 40$ кг/см².

Изучение этих зависимостей показывает фактическую прочность углеродистого угля и разрушение его волной дробления. Для установления возможности или невозможности существования волны дробления, т. е. решения вопроса о возможном или невозможном распространении выброса. Так, например, при $p_0 = 20$ кг/см² и при прочности углеродистого угля на разрыв более 0.5 кг/см² выброс углеродистого угля распространится, так как для его поддержания необходимо давление выше за волной дробления $p_0 = 0$, что невозможно. При прочности углеродистого угля 0.3 кг/см² выброс углеродистого угля распространится при общем порывающем давлении 8.4 кг/см².

Для определения скорости волны дробления можно воспользоваться формулой фиг. 5, из которой нетрудно установить, что при $\sigma = 0.3$ кг/см² и $p_0/p_0 = 0.58$ скорость волны дробления составляет 74 м/сек.

Опытные опыты и теория по установлению влияния горного давления, коэффициента сорбции углеродистого угля и коэффициента сорбции газа в фронте волны дробления, участвует в процессе формирования взаимных зависимостей угля и газа. Роль горного давления не может быть оценена посредством уравнения (3).

Влияние коэффициента пористости λ понижается и в связи с этим уменьшается сила газа (напряжение σ). С разрушением шланга от горного давления сила газа уменьшается и разрушение усиливается.



Фиг. 4. Изотерма сорбции метана

На основе изотермы сорбции метана (фиг. 4) и уравнения (3) определены коэффициенты сорбции углеродистого угля в фронте волны дробления при различных давлениях.

На основе изотермы сорбции углеродистого угля в фронте волны дробления определены коэффициенты сорбции углеродистого угля в фронте волны дробления при различных давлениях.

На основе изотермы сорбции углеродистого угля в фронте волны дробления определены коэффициенты сорбции углеродистого угля в фронте волны дробления при различных давлениях.

На основе изотермы сорбции углеродистого угля в фронте волны дробления определены коэффициенты сорбции углеродистого угля в фронте волны дробления при различных давлениях.

На основе изотермы сорбции углеродистого угля в фронте волны дробления определены коэффициенты сорбции углеродистого угля в фронте волны дробления при различных давлениях.

На основе изотермы сорбции углеродистого угля в фронте волны дробления определены коэффициенты сорбции углеродистого угля в фронте волны дробления при различных давлениях.

На основе изотермы сорбции углеродистого угля в фронте волны дробления определены коэффициенты сорбции углеродистого угля в фронте волны дробления при различных давлениях.

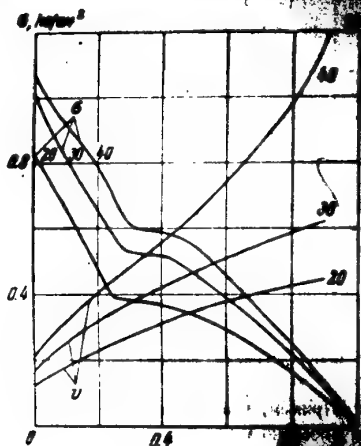
На основе изотермы сорбции углеродистого угля в фронте волны дробления определены коэффициенты сорбции углеродистого угля в фронте волны дробления при различных давлениях.

На основе изотермы сорбции углеродистого угля в фронте волны дробления определены коэффициенты сорбции углеродистого угля в фронте волны дробления при различных давлениях.

На основе изотермы сорбции углеродистого угля в фронте волны дробления определены коэффициенты сорбции углеродистого угля в фронте волны дробления при различных давлениях.

На основе изотермы сорбции углеродистого угля в фронте волны дробления определены коэффициенты сорбции углеродистого угля в фронте волны дробления при различных давлениях.

Применение
разрушения пластов



Фиг. 5. Разрушающие способности пластов дробления и в зоне взрыва при $E_0 = 0.05$; CH_4 ; $P_0 = 20$.

что 1) дегазацию пластов следует проводить как главный метод борьбы с опасностью выброса угля и газа, 2) не следует применять методы разрушения пластов к внезапному обнажению газированных пластов, сопровождающиеся выбросом угля и газа.

Дальнейшее изучение природы и механизма внезапного выброса угля и газа должно быть направлено на изучение других причин, приводящих к этому явлению, и, в частности, на изучение роли горного давления в формировании внезапного выброса.

Приложение 41. ИК 4055

ЛИТЕРАТУРА

- Никольский А. А. О волнах внезапного выброса газированных пластов. ДАН СССР, т. 58, № 4, 1953.
- Никольский А. А. О волнах разрушения газированных пластов. ДАН СССР, т. 91, № 6, 1953.
- Христианович С. А. О волнах дробления. Изв. АН СССР, Сер. Геол., 1953.

ОБЩАЯ ХАРАКТЕРИСТИКА МЕТАЛЛОВЫХ СУЛЬФИДНЫХ СПЛАВОВ

Ю. ГУДИНСКАЯ и И. Н. БОГОВАРОВА
(Москва)

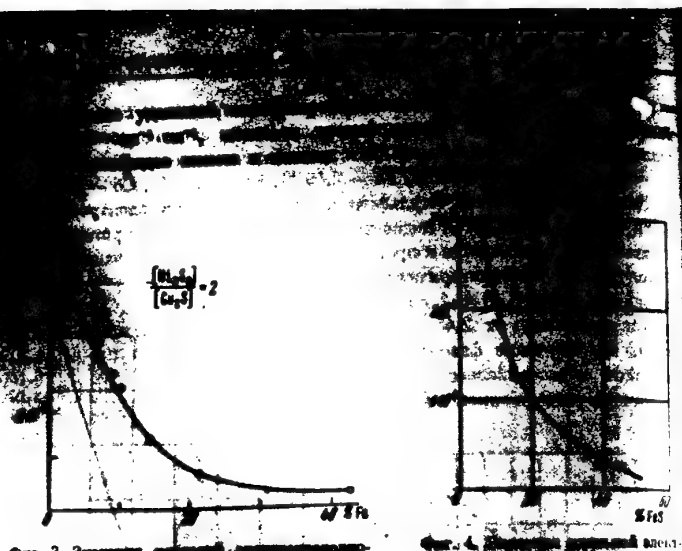
Сульфидные сплавы или сплавы сульфидов металлов последнего временного преимущественно исследованием. В настоящей работе приведены данные по определенности и теплопроводности некоторых составов сульфидной системы Cu-Ni-Fe-S.

Система равновесная система Cu-Ni-Fe-S изучена в полном объеме. В лабораторном исследовании были подвергнуты лишь сплавы системы Cu-Ni-S. Часть тройной системы Cu-Ni-Fe-S имеет практическое значение для металлургии никеля, и ее исследовали А. А. Гудинскую и Д. Лейниковой⁽¹⁾. Полученная ими часть диаграммы состояния системы Cu-Ni-S построена по данным термического и структурного анализа. Д. Лейниковой был также установлено, что в сплавах двух медно-никелевых производственных штампов никеля концентрация [Cu] ≈ 2, а количество железа равнялось 29,6 и 30,2%. В дальнейшем исследования по определению электропроводности и теплопроводности медно-никелевых сульфидных сплавов начались. Для изучения фазовых составов изучаемых сплавов сульфидные материалы при приготовлении сплавов были смешаны с чистым железом, полученные в лабораторных условиях и в виде порошков.

Электропроводность и теплопроводности изучаемых сплавов сульфидов двух видов: сплавы первого типа, полученные путем сплавления отдельных сульфидов в соотношениях, близких к молярным отношениям с получением сплавов двух (Cu₂S + Ni₂S) и трех (Cu₂S + Ni₂S + FeS) (табл. 2). Получены

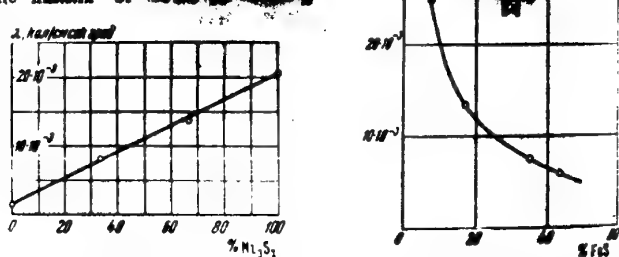
Состав сплавов сульфидов меди и никеля

Состав сплавов, %	Состав сплавов, %					
	100	90	80	75	66,6	60
1	—	10	20	25	33,3	40
2	—	—	—	50	60	66,6
3	—	—	—	—	—	—



Фиг. 3. Зависимость величины обратной удельной электропроводности от соотношения никеля и сульфида меди в сплавах.

Заслуживает внимания величина удельной электропроводности, полученная измерение величины удельной электропроводности этих образцов показывает, что колебание содержания сульфида меди в сплаве изменяется от 50 до 100%.



Фиг. 4. Зависимость величины обратной удельной электропроводности от содержания сульфида меди в сплавах.

удельная электропроводность изменяется от $3.1 \cdot 10^4$ до $6.5 \cdot 10^4 \text{ ohm}^{-1} \cdot \text{cm}^{-1}$, т. е. с уменьшением концентрации сульфида меди уменьшается.

Результаты измерения удельной электропроводности твердых медно-никелевых сплавов меди и никеля (фиг. 1) показывают, что с увеличением концентрации

титаномедно-никелевые сульфидные сплавы

титаномедно-никелевые сульфидные сплавы обладают высокой удельной электропроводностью для металлизированных медно-никелевых сплавов (фиг. 2), содержащих: Ni от 60 до 15 % мол., S 25 % мол., получились того же порядка, что и для медно-никелевых сплавов. С возрастанием в сплавах количества никеля, соответственно, и Cu_3S электропроводность их уменьшается. При изучении сплавов сульфидов меди и никеля, взятых в соотношении $(\text{Ni}) : [\text{Cu}_3\text{S}] \approx 2$, сульфида железа, наблюдается снижение электропроводности сплавов (фиг. 3). Изменение величиной удельной электропроводности медно-никелевых штейнов с различным содержанием железа представлено на фиг. 4.

Данные по измерению теплопроводности медно-никелевых и медно-никелево-железных сульфидных сплавов (фиг. 5 и 6) имеют характер, аналогичный удельной электропроводности. При возрастании содержания в сплавах сульфида меди (фиг. 5) и сульфида железа (фиг. 6) теплопроводность сплавов уменьшается, однако уменьшение удельной теплопроводности сплавов выражено менее резко, чем у удельной электропроводности.

Выходные

1. Для медно-никелевых сульфидных сплавов, содержащих никель от 15 до 60 %, по данным термического и микроструктурного анализа, в которых имеется раствор $\text{Ni} - \text{Cu} - \text{Fe}$, сульфид меди, сульфид никеля (Cu_3S), сульфид никеля и сульфид железа (FeS).

2. Для медно-никелевых сплавов, никеля и железа — наименьшая удельная электропроводность имеет сульфид железа ($\tau = 3.78 \text{ ohm}^{-1} \text{cm}^{-1}$), зато максимальная — для сульфида меди ($\tau = 6.5 \cdot 10^4 \text{ ohm}^{-1} \text{cm}^{-1}$); наибольшая электропроводность у сульфида никеля ($\tau = 4.3 \cdot 10^4 \text{ ohm}^{-1} \text{cm}^{-1}$).

3. Определение удельной электропроводности твердых медно-никелевых и никелево-железных сульфидных сплавов при температуре 20 °C показывает, что с уменьшением содержания в сплавах сульфида меди и сульфида никеля уменьшается электропроводность сплавов.

4. Термопроводность твердых медно-никелевых сульфидных сплавов с медно-никелевыми штейнами с увеличением содержания сульфида меди и сульфида железа уменьшается.

Поступила 12.1.74.

ЛИТЕРАТУРА

1. Смирнов В. И. Металлургия сплавов. М.: Металлургиздат, 1963.

№ 6

О КИНЕТИКЕ ИЗОТЕРМИЧЕСКОГО ОБРАЗОВАНИЯ АУСТЕНИТА

А. Н. ГУДИЕВ, В. М. ЗАЛКИН

Москва

Методика, созданная в индивидуальных ранее исследований (например [1-3]), в которых определялась кинетика изотермического превращения перлита в аустенит, была в основном однотипной (нагрев и выдержка тонких стальных образцов в расплавленных солях или свинце) и обуславливала некоторые существенные количественные погрешности в результатах экспериментов.

Так, в работах, выполненных по указанной методике, временем нагрева образца до температуры ванны либо пренебрегали вовсе, либо не учитывали с необходимой точностью замедления в нагреве образца по мере уменьшения температурного градиента между ним и ванной.

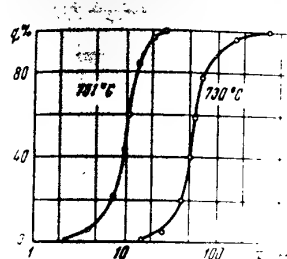
Следует также указать, что исследователи, как правило, игнорировали превращение во время нагрева до температуры выдержки. В связи со значительной скоростью нагрева тонких стальных образцов в расплавленных солях предполагалось, что практически удается перегреть перлит, но претерпевший каких-либо существенных изменений температуры выдержки (в надкритической области), при которой, по «инкубационному периоду», начинается изотермическое образование аустенита.

За длительность «инкубационного периода» принимали время и начало изотермической выдержки, в течение которого не отмечается изменения величины контролируемого физического свойства (твердость, электросопротивления и др.) исследуемых образцов. Построенные по ним таких работ кривые кинетики изотермического превращения в различные температурах, как это видно, например, на фиг. 1 (исследование Роберса и Мэя¹⁴), отсекают на оси абсцисс (по которой отложены времена нагрева) определенные отрезки, характеризующие время «усыпания» перлита при соответствующей температуре.

В эти величины, в исчезновении и следованиях практически финансовых отсеков, не входит превращение в аустенит, которое, как известно, не может быть изучено введением позывных внереакторных термометров. Поэтому кинетика кинетических кривых изотермического превращения в аустенит с осями абсцисс не является общим

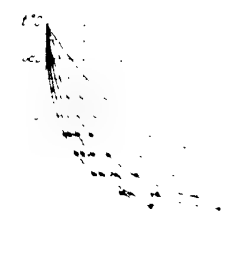
¹⁴ Кривые, относящиеся и к сводным кинетическим диаграммам, на которых область между осями координат

занимает общую область «устойчивости» перлита и аустенита. Из диаграммы М. Е. Блантера¹⁵, построенной для стали У-8 (фиг. 3), то можно предположить, что быстрый нагрев образца до температуры 840° и последующая закалка (без выдержки) могут зафиксировать менее 0.5 % превращения. В то же время, возможно, зафиксировать известными практическими и экспериментальным данным, что изотермическая закалка стали У-8 от названной температуры удастся зафиксировать лишь конец превращения.



1. Кинетика изотермического превращения перлита в аустенит при температуре 730°C

15) Диаграмма изотермического превращения перлита в аустенит, построенная Роберсом и Мэем¹⁴ для стали У-8 при температуре 840°C, включает в себя кривые изотермической выдержки.



2. Кинетика изотермического превращения перлита в аустенит при температуре 770°C

одной из особенностей поставленных нами экспериментов по изотермическому превращению перлита в аустенит было применение нагрева образцов методом электронагрева непосредственным приемом электротока промышленной частоты. После окончания разогрева до заданной температуры контролируемой фотографии оканчивалась изотермическая выдержка.

Температура выдержки могла искусственно поддерживаться в течение (точнее, в узком интервале температур ± 5° от заданной) при помощи токов промышленной частоты, осуществляющих включение и выключение. При этом изотермической выдержки не требовалось никаких дополнительных приемов. Использование этого метода для изотермической выдержки образцов на протяжении времени, необходимого для превращения перлита в аустенит, не вызывает никаких затруднений. Это позволило снизить погрешности в изучении изотермическую температуру выдержки и т. д.

Скорость нагрева для каждого изотермического превращения определяется данными, приведенными в табл. 1.

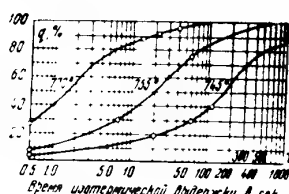
Кинетика изотермического превращения перлита в аустенит в исходной структуре (т. е. в перлитной структуре) при температурах 745, 755 и 770°.

На фиг. 3 приведены кривые изотермического превращения построенные по данным количественного анализа микроструктуры образцов, закаленных в различные промежутки времени.

A. N. Григорьев и В. М. Зайков

Кинетика образования аустенита

Все время изотермических превращений учитывалось (если это не противоречит экспериментальным данным) 15% остаточного перлита. Время изотермического превращения начинается сразу после начала нагрева до температуры изотермической выдержки и продолжается, пока не получает окончательное развитие. Показанная на фиг. 3 кинетика превращения, достигнув к моменту начала изотермической выдержки при различных температурах, определяется по данным о кинетике превращения перлита в аустенит при непрерывном нагреве со скоростью 60 град/сек⁽¹⁾ (с поправкой, учитывающей, что начало координат на фиг. 3 смещено относительно нуля по оси времени и соответствует 0.5 сек.).



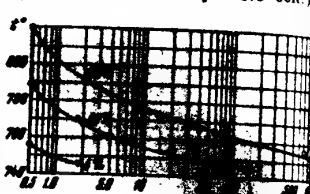
Фиг. 3. Кинетика изотермического превращения перлита в аустенит стали У-8 при температурах 745°, 755° и 770° (скорость нагрева до температуры выдержки = 60 град/сек); количество аустенита q в %, время выдержки t в сек.

Таким образом, точки пересечения кинетических кривых на фиг. 3 по оси ординат получены не путем экстраполяции, а на основе экспериментальных данных.

То обстоятельство, что кинетические кривые изотермического превращения отсекают определенные отрезки не на оси абсцисс, а на оси ординат, является принципиальной особенностью рассматриваемых графиков; на них полностью отсутствует склонбационный период и, следовательно, превращение во время нагрева до температуры выдержки (с. фиг. 1). Очевидно, для каждой заданной температуры изотермического процесса степень превращения, достигаемая к началу выдержки, будет увеличиваться с увеличением скорости нагрева. Однако при любой скорости нагрева и любой температуре выдержки (выше A_1) начало изотермического процесса не будет совпадать с началом превращения.

Отсюда следует, что при увеличении скорости изотермического, отсекаемый кинетической кривой на оси ординат, будет уменьшаться, но он не может быть равен нулю. Другими словами, в результате быстрого нагрева так называемое «изотермическое образование аустенита» протекающее при непрерывном нагреве от A_1 , не будет совпадать с первым, второй, идущим при постоянной температуре, изотермическим процессом.

По экспериментальным данным, о которых говорилось выше, аустенит при непрерывном нагреве со скоростью 60 град/сек (фиг. 3) построены следующие диаграммы:



Фиг. 4. Сводные диаграммы кинетики изотермического превращения перлита в аустенит стали У-8 при различных температурах выдержки (скорость нагрева до температуры выдержки = 60 град/сек); время изотермической выдержки t в сек., температура t в °С.

На фиг. 4 такая диаграмма (для скорости нагрева 60 град/сек) на нее показывают время, необходимое для развития изотермического процесса на 50 и 100% при различных температурах.

Причесания с осью ординат линий диаграммы, соответствующие 50 и 100% превращения, отложены в соответствии с данными о кинетике превращения при непрерывном нагреве со скоростью 60 град/сек. Критические точки взяты по кривым кинетики изотермического процесса при температурах 745, 755 и 770°.

Как показывает диаграмма, к началу изотермической выдержки при температуре 760° уже имеется около 40% аустенита. Для окончания изотермического процесса при этой температуре изотермическая выдержка продолжительностью 200 сек. Изотермический процесс при температуре 790° начинается уже на 50% аустенита, а окончание процесса при температуре требуется

при температуре 820° превращение полностью окончается еще во время нагрева до температуры изотермической выдержки, и процесс продолжается лишь

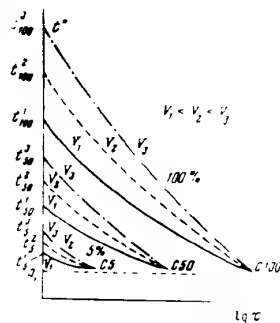
после окончания ступени и собирательной рекристаллизации.

Однако, если принять кинетику превращения перлита в аустенит для любой температуры выдержки A_1 , то при одной определенной скорости нагрева V температура выдержки.

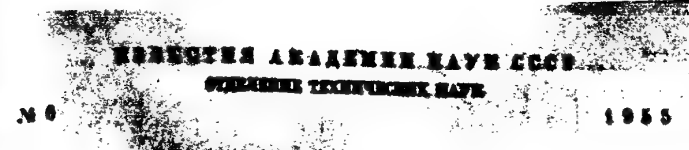
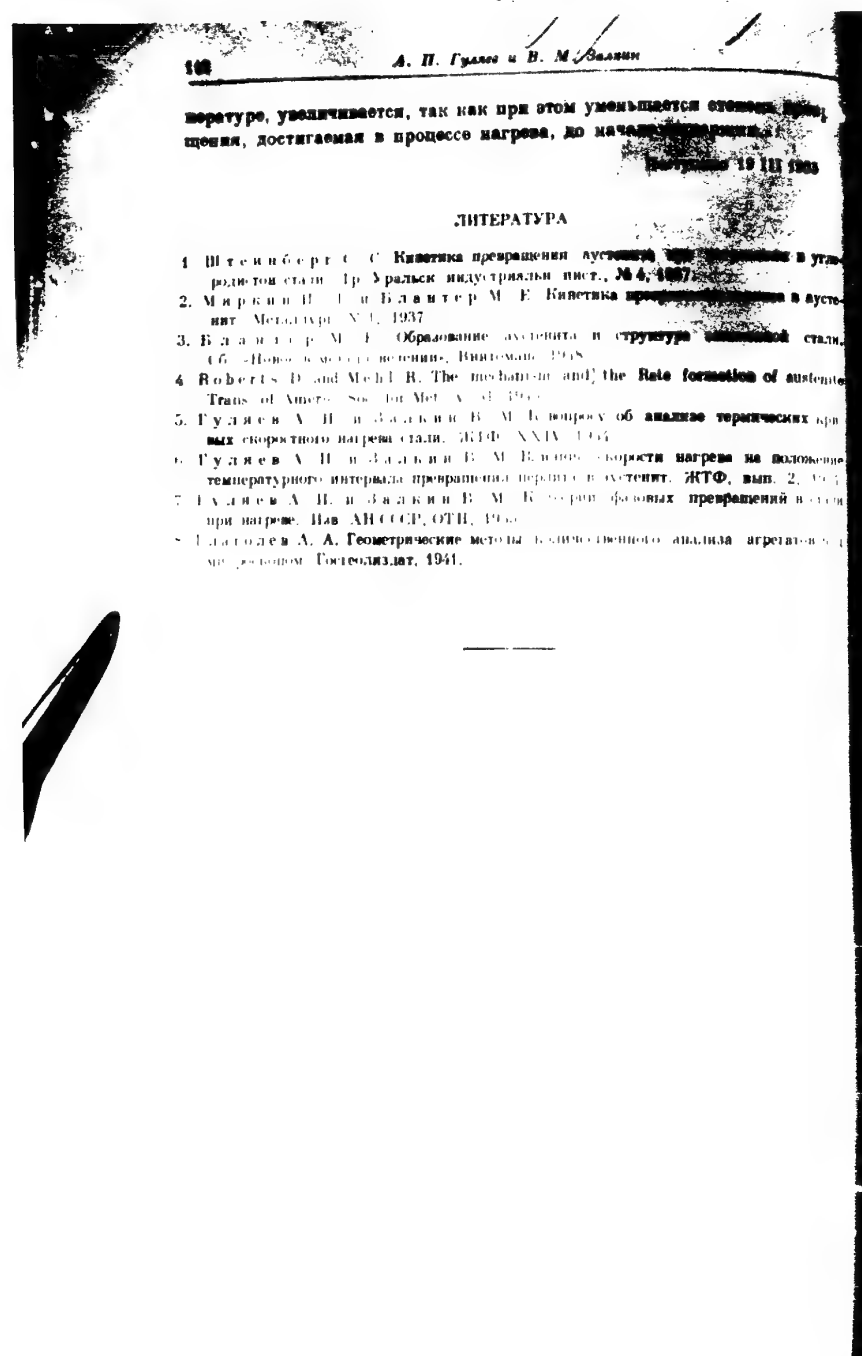
Положение точек пересечения кривых фиг. 4 с осью ординат остается неизменным и изменяется в зависимости от скорости нагрева и температуры выдержки.

На фиг. 5 приведена схема, иллюстрирующая влияние и место кинетики изотермического превращения на кинетику изотермического образования аустенита. График показывает, что изотермическая выдержка, близкая к $t_{\text{оконч}}^{\text{изот}}$, характеризуется тем, что время окончания изотермического процесса становится настолько же большим, как и время окончания непрерывного перенагрева, при этом же времени изотермической выдержки. Кривые, соединяющие исходный и конечный состояния изотермической выдержки, характеризуются максимальной скоростью превращения, которая определяется по мере увеличения температуры изотермической выдержки.

Две кривые, характеризующие кинетику превращения при постоянной температуре изотермической выдержки, отличаются скоростями. Одна начинает превращение при температуре нагрева до температуры изотермической выдержки, другая — при полного завершения превращения при температуре изотермической выдержки.



Фиг. 5. Влияние скорости нагрева на кинетику образования аустенита в зависимости от времени изотермической выдержки.



ХИМИЧЕСКИЙ СОСТАВ ПРЕДСТАВЛЕННЫХ СТАЛЕЙ

Таблица I

Композиции № плавки

Состав, %

12

	C	Mn	Cr	Ni	Si	S	P	Al	Si	Si	Si
Группа											
Cr—Mn—Ni	16	0.39	1.48	1.15	1.30	0.35	0.030	0.625			
Cr—Mn—Ni—Ti	72	0.36	1.35	1.16	1.54	0.30	0.027	0.026			
Cr—Mn—Ni—V	54	0.36	1.47	1.17	1.40	0.34	0.028	0.021			
Cr—Mn—Ni—W	49	0.37	1.25	1.06	1.57	0.24	0.029	0.020			
Cr—Mn—Ni—Mo	35	0.36	1.20	1.07	1.54	0.19	0.030	0.022			
Cr—Ni—Nb	127	0.36	0.99	1.01	1.58	0.30	0.018				
Cr—Nb—Ti—W	60	0.36	1.12	1.04	1.56	0.24	0.029	0.018			
Cr—Nb—V—W	49	0.35	1.39	1.09	1.45	0.24	0.018	0.021			
Cr—Nb—Ti—V—W	113	0.36	1.24	1.00	1.68	0.20	0.020	0.021			
Группа											
Cr—Mn—Ni	36	0.36	1.32	1.11	2.23	0.37	0.029	0.022			
Cr—Mn—Ni	74	0.36	1.36	1.27	2.51	0.26	0.015	0.026			
Cr—Mn—Ni	60	0.36	1.06	1.00	2.01	0.17	0.015	0.021			
Cr—Mn—Ni	59	0.37	1.38	1.18	2.35	0.27	0.028	0.022			
Cr—Mn—Ni	59	0.36	1.38	1.07	2.39	0.29	0.030	0.029			
Cr—Mn—Ni	59	0.36	1.38	1.07	2.47	0.30	0.016	0.021			
Cr—Mn—Ni	59	0.36	1.38	1.07	2.58	0.30	0.015	0.027			
Cr—Mn—Ni	59	0.36	1.38	1.07	2.30	0.34	0.029	0.023			
Cr—Mn—Ni	59	0.37	0.99	1.37	2.44	0.28	0.019	0.021			
Cr—Mn—Ni	59	0.36	1.35	1.35	1.73	0.24	0.029	0.019			
Cr—Nb—W	114	0.36	0.75	1.10	1.68	0.20	0.020	0.020			
Cr—Nb—W	59	0.36	0.63	1.01							

Состав опытных сталей после закалки и высокотемпературного отпуска

стали указана в табл. I (см. № плавки)

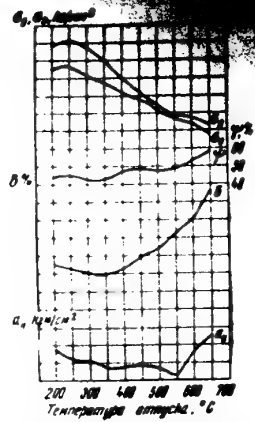
T=800°

56	—	8.4	48.3	3.9	92.5	85.2	11.4	55.2	—	—	—
104.4	96.2	8.7	52.8	4.8	92.3	80.7	11.9	62.9	7.8	—	—
54	111.7	106.0	8.0	46.0	2.75	133.2	128	6.9	53.1	—	—
19	113.7	104.9	9.4	55.7	5.85	97.9	90.2	13.5	57.2	—	—
35	105.0	97.6	8.9	96.6	10.9	96.1	88.5	11.2	53.3	—	—
127	110.0	106.1	8.4	52.3	5.50	94.4	85.7	10.0	62.9	—	—
60	113.5	108.0	8.5	48.9	7.1	96.1	90.5	13.0	52.9	—	—
49	114.0	111.1	8.7	46.0	5.70	110.3	103.8	11.2	53.2	—	—
113	123.7	117.9	7.5	45.9	3.8	111.7	111.5	—	—	—	—

Сравнение основных механических характеристик опытных сталей после закалки и высокотемпературного отпуска

стали указана в табл. I (см. № плавки)

№	T=500°				T=600°						
	σ _b	σ _s	δ	ψ	σ _b	σ _s	δ	ψ			
49	91.0	93.0	9.3	49.6	2.38	95.6	84.4	40.9	53.7	—	—
73	121.3	99.1	9.3	—	4.0	107.5	89.5	40.0	53.4	—	—
100	119.0	111.3	18.2	18	—	108.4	101.4	8.9	53.4	—	—
54	111.9	112.7	—	—	—	109.2	99.1	13.5	53.2	—	—
17	112.0	—	—	—	—	109.9	92.1	13.9	53.8	—	—
49	—	—	—	—	—	—	84.4	5.8	53.2	—	—
7	—	—	—	—	—	—	—	—	—	—	—
6	—	—	—	—	—	—	—	—	—	—	—
113	—	—	—	—	—	—	—	—	—	—	—



Фиг. 6 Изменение механических свойств стали 35ХГН2 в зависимости от температуры отпуска T

Напыление прочности и повышение вязкости при температуре отпуска 550-600°, видимо, связано с тем, что при этом происходит карбонизация сложных, содержащих ванадий, карбидов в форме дисперсии. При более высокой температуре отпуска (650°) происходит карбонизация карбидов, в силу чего снижаются свойства прочности и одновременно повышаются свойства вязкости и пластичности.

Несомненный интерес представляет сложнолегированная сталь, содержащая вольфрам. Прежде всего следует отметить, что у этой стали при отпуска при 550 и 600° показатели свойств прочности, пластичности и вязкости значительно преходят показатели свойств исходной стали. При этом легирование стали вольфрамом понижает первоначально предел текучести и предел прочности и при температуре 500-650° различие между σ_0 и σ_u составляет лишь 8-10 кг/мм².

Вольфрам хотя и кристаллизуется в объемноцентрированной кубической решетке, подобно и железу, но значительно больше его атомов имеют большим атомным радиусом (1.408 \AA), что вызывает искажение кубической решетки. Необходимо обратить внимание, что вольфрамовая сталь содержит 0.37% С при исключительно меньшем (1.25%), чем у исходной стали.

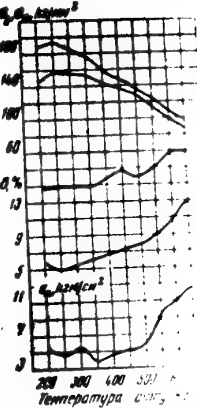


On, &

Напыление прочности и повышение износостойкости, температура отпуска 550-600°, видимо, связана с тем, что в составе сплава марганца и сложных, содержащих ванадий, карбидов в виде дисперсии в форме. При более высокой температуре отпуска (650°) происходит распад карбидов, в силу чего снижаются свойства прочности и неизменно повышаются свойства вязкости и пластичности.

Наибольший интерес представляет износостойкость стали, покрытой вольфрамом. Прежде всего следует отметить, что у этой стали показатели прочности, пластичности и вязкости значительно превосходят показатели свойств непокрытой стали. При этом легирование стали вольфрамом понижает ~~переходную~~ предел текучести и предел прочности и при температуре 500—600° различие между σ_0 и σ_u составляет лишь 8—10 кг./мм.².

Вольфрам хотя и кристаллизуется в объемноцентрированной кубической решетке, подобно и железу, но значительно больше его атомов имеют большим атомным радиусом (1.408 \AA), что вызывает искажение кубической решетки. Необходимо обратить внимание, что вольфрамовая сталь содержит 0.37% С при исключительно меньшем (1.25%), чем у исходной стали.



Фиг. 7. Изменение механических свойств стали в зависимости от температуры отпуска при $T_1 = 400^\circ\text{C}$.

При этом изучение прочности обладает тем преимуществом, что оно не требует специальных приспособлений и инструментов, а также не требует предварительной подготовки образцов. Для изучения прочности на сжатие при температуре $T = 100^{\circ}\text{C}$ в работе [1] было предложено использовать метод, основанный на измерении коэффициента линейного расширения образца в процессе его сжатия. В работе [2] предложен метод определения коэффициента линейного расширения образца в процессе его сжатия, основанный на измерении коэффициента линейного расширения образца в процессе его сжатия.

Percentage of carbon (%)	Strength (Normalized Steel) kg/mm^2	Strength (Carburized Steel) kg/mm^2
0.0	~10	-
0.2	~15	-
0.4	~20	-
0.6	~25	-
0.8	~30	-
1.0	~35	-
1.2	~40	-
1.4	~45	-
1.5	~50	-
0.0	-	~10
0.2	-	~20
0.4	-	~35
0.6	-	~50
0.8	-	~65
1.0	-	~80
1.2	-	~90
1.4	-	~95
1.5	-	~98

и позволяют сделать заключение, что в ста-
рии решетки а-железа еще в большей мере
чем карбиды сложного состава, содержат
водород. Вспомогательные оттенки, очевидно, выделяются в менее ли-
нейных карбидах, содержащие ванадий, вследствие чего при
термической обработке вязкости стали, дополнительное легиро-
вание водородом, какое имеется в стали, дополнительное
уменьшается. При наличии в стали кобальта и никеля
стремление кристаллизации в структуре образ-
уется, из числа исследованных, один реалистичный
вариант свойств при термической обработке, при
дополнительном легировании водородом, при температуре
при 600—650 достигается оптимальное соотношение

$$v_0 = 90 + 82 \frac{R}{m^2}$$

**ВСЕ СВОЙСТВА АНАТОМИЧЕСКОГО ТИПА МОГУТ БЫТЬ
СВЯЗАНЫ СО ВЛИЯНИЕМ КОЛИЧЕСТВА МОЛУКУЛЫ**

данные о свойствах прочности, пластичности и вязкости, полученные в плавках II группы, содержащих больше никеля (0.6—0.9 %), чем обе из групп I крупных (1.3—1.7 %), позволяют сделать следующие выводы:

Повышение содержания никеля в стали исходного состава (плавка 36) не вызывает никаких существенных изменений (фиг. 5).

Металлы дополнительно легированной титаном (плавка 74), наблюдают малое понижение динамической вязкости, а у стали, дополненной легированной ванадием (плавка 100), — неизначительное ее повышение.

Таким образом, сочетание свойств прочности и вязкости обеспечиваются в стали, дополнительно легированной вольфрамом (плавка 71) либо никелем (плавка 128). Однако свойства сохраняются на том же уровне, что и в стали Григорова соответствующего состава. Из сравнения данных таблиц можно сделать вывод, что повышение содержания никеля до 2.5% в стали с одинаковыми по составу рассмотренных композиций, не изменяет существенно механические свойства. При этом мы не касаемся вопроса влияния на свойства сталью приобретенного повышения содержания никеля на проницаемость стали и как этот вопрос будет рассмотрен в отдельной статье.

Выказанные выше соображения на основании проведенных экспериментов позволили подвергнуть более углубленному изучению сложнолегированную сталь 35ХГНВ (фиг. 6). Результаты определения свойств стали и стали хромомаргандцевой (35ХМ, фиг. 7) показали, что первая сталь обладает не только вышею по свойствами прочности, но и прочности, что и сталь 35ХМ, имеющей более высокой динамической вязкостью.

Поступило 24 II 1957

ЛИТЕРАТУРА

- Браун М. П. Основные свойства конструкционной хромомаргандцевой стали. Изд. АН УССР, 1953.
- Браун М. П. Комплекснолегированные конструкционные стали. Изд. АН УССР, 1952.

ВЛИЯНИЕ НА ИЗМЕНЕНИЕ СМАЧИВАЕМОСТИ МЕТАЛЛОВ В НЕФТЕНАХ КОЛЛЕКТОРАХ

Д. А. БОЛДИШАН, В. Б. ШНЕЕРСОН и А. Г. МАМИКОНОВ

(Москва)

Приведенные факты из продуктивных пластов обычно рассматривают в зависимости дебита от давления. Американские авторы (Макнет, Джонс, Шульгин) считали, что поверхностные явления оказывают влияние на разгазование нефти и воды в залежи и не зависит от давления¹¹. Применение различных методов интенсификации добычи нефти, особенно акачки воды, показало, что роль поверхностных явлений весьма велика и сильнее всего выражена в процессах отмыки нефти различными водами. Поэтому влияние давления на изменение поверхностных свойств нефти и смачиваемости горных пород представляет особый интерес.

В последнее время в нефтяных научно-исследовательских учреждениях большое внимание уделяется исследованиям при высоких давлениях. Одна из работы по технологии добычи нефти проводится определение различных физических и физико-химических характеристик нефти и пластовых вод при высоких давлениях и температурах (вязкость, плотность и т. д.).

М. М. Нусаков, Н. М. Лубман, А. Ю. Кошевник провели ряд работ по исследованию молекулярно-поверхностных свойств нефти и нефтепродуктов при повышенных давлениях и температурах. В частности, влиянию поверхности натяжения на границе нефть — газ, нефть — вода и установили зависимость этих характеристик от полярности, температуры и давления фазы^{12,13}. До сих пор, однако, сравнительно мало работ по изучению влияния давления на явления смачивания, которое играет большую роль в процессах добычи нефти из пласта, оно является чувствительным методом изучения и позволяет изучать поверхностные явления, происходящие при его разработке.

Впервые работы по определению краевых углов смачивания при высоких давлениях были поставлены в Институте аллютной промышленности в лаборатории И. Р. Кричевского, Н. Е. Большаковым¹⁴. Наблюдение изменения смачиваемости металлов различными жидкостями на границе с азотом, водородом, углеводородами и др. при давлении от 100 до 800 кг/см². В этих условиях

с увеличением давления ухудшилась смачиваемость. М. М. Нусаковым, Н. М. Лубман и А. Ю. Кошевником¹⁵ изучены изменения смачиваемости при высоких давлениях. В частности, в этих работах было проделано на границе с парофильтром из алюминия изучение сущности изменения краевого угла весьма малой величины (до 1°).

важных в сущности факторов, влияющих на нефтьтоварную цену нефти, являются не только прочной, химически стабильной природы, но и были объяснены механизмы повышения нефтитоварной цене нефти, а также механизмы повышения нефтеотдачи при помощи добавления в нефть различных веществ при площадном заливании нефти.

Для использования результатов, полученных в газофорном лении в условиях пласта, необходимо было провести соответствующая испытания при давлениях до $350 \text{ кг}/\text{см}^2$ и высоких температурах (до 90°) на границе с различными газами, с тем чтобы выяснить влияние факторов. Изменение смачиваемости велось в присутствии азота и углекислоты, что представляло особый интерес, так как эти газы предполагались использовать при газово-водяной репрессии для повышения нефтеотдачи. Были также многочисленные лабораторные опыты⁽⁴⁰⁾, присутствующие в тексте, подтверждают ее нефтесмачивающие свойства.

На второй главе приведены результаты исследования смачиваемости кальциита обработанным различными нефтями при высоких давлениях (до $3.0 \text{ кг}/\text{см}^2$) на границе с золотом; несколько опытов проведено на границе с углекислым газом при давлениях до $50 \text{ кг}/\text{см}^2$. В качестве смачивающей среды была взята дистиллированная вода двойной очистки и только в отдельных случаях — водопроводная вода или водный раствор NaCl .

Предыдущими работами было показано, что под **влиянием** нефти повышаются свойства различных минералов (кварца, кальцита и доломита), являющихся основными компонентами нефтяных коллекторов. Изменения аналогичны, т. е. во всех случаях наблюдается гидратация поверхности. В качестве твердой фазы был выбран кальцит, так как он представляет ряд преимуществ при работе (дает более резкие показатели гидрофобизации под **влиянием** поверхностно-активных веществ, рабочий раствор легко раскалывается по граням спайности, даини чистую поверхность).

Исследование смачивания проводилось в гистерезисных (B_{12})^[4], т. е. вначале при атмосферном давлении пленки капли сатинились в течение часа толуольными растворами нефти, а ухую поверхность пленки при различных концентрациях наносила вода или раствор^[11]. Измерение времени на границе пленки воды — азот или углекислота при атмосферном давлении. Эта серия опытов показала, что при температуре

Для измерения предела текучести при высоких температурах нами было предпринято изучение метода изгиба, который основан на изгибе образца в кольце с постоянным радиусом изгиба и измерении изгибающих усилий.

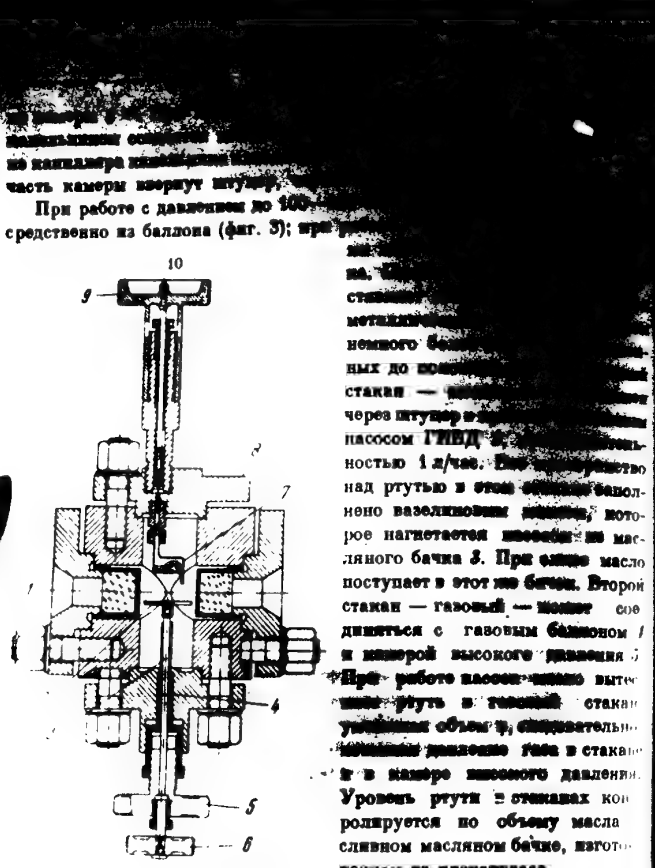
Фиг. 1. Оптическая схема установки для измерения красных углов смачивания при сферном давлении — А и при высоком давлении — В

о разрыве световых столб. Против камеры на
мые закрываются прямые светового внутреннего отражения
чения изображения капли на экране, осуществляется
светового луча на 90° .

Камера высокого давления, изображенная схематично, сделана из нержавеющей стали. В стенах камеры, расположенной в центре ее оптической оси, закреплены плоско параллельно пришлифованные стекла толщиной 20 мм. За предохранительным щитом установлен оптический щиток. Объект исследуемый обрабатывается с образцом, помещенным между двумя стеклами через сальник 4 втулки 3, который перемещается по горизонтальной плоскости. В стеклах имеются отверстия для контрольных капель и для слияния. Эти капли собираются в

тоженный на дне камера Г-
штейном жидкости с насыщением
и газовыми было изготовлено
гата нефти АН СССР.

Approved For Release 2007/11/08 : CIA-RDP83-00418R004600130001-5



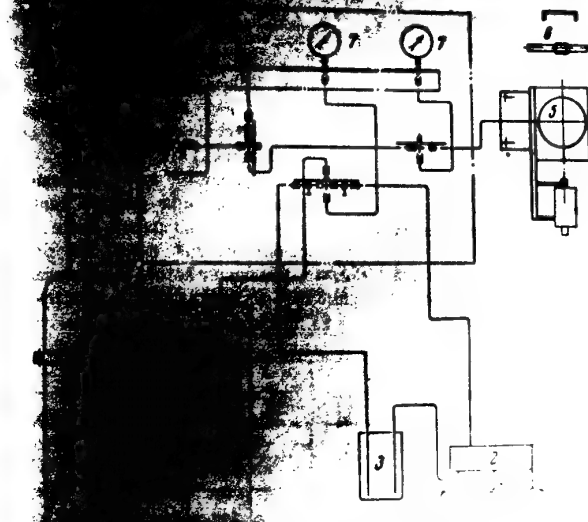
Черт. 1. Схема камеры высокого давления

трансформаторной схемы (фиг. 76). К металлическому электроду, ввернутому в крышку газового стакана, прикреплен стержень из плексигласа, длина которого 2 см меньше длины камеры стакана. На нижнем конце стержня вмещены изогнутые пластины металлических электродов, соединенные с верхним проводоподводом сопротивлением 3000 ом. К выпрямителю 4 последовательно подсоединенны катод 5 и анод 6 — притягивающие между электродами. Ток срабатывания реле I равен 1 мА, а реле 2—30 мА. Когда ртуть находится ниже нижней границы, лампочка разомкнута и реле 1 через нормально замкнутый контакт 3 получает сигнальную зеленую лампочку 7 за щитом и гудок, сигналы призывающие о достижении ртутью нижнего уровня. Если ртуть находится между верхним и нижним контактами электрода, то в цепи реле протекает ток около 20 мА, реле 1 срабатывает и размыкает свои контакты, вследствие чего зеленая лампочка гаснет и гудок прекращается.

При загорании масла из подшипника, под небольшим давлением световой и звуковой сигналы о достижении ручного или автоматического нагнетания масла — световой сигнал о достижении этого уровня, и автоматически прекращается нагнетание.

Измерение краевых углов смачивания в гипотермии
при **изменении давления** производится следующим образом. На сопло давления на объектный столик помещают салфетку из марли, предварительно обработанную исследуемым. В **капилляры** наливают дистиллированную воду, а затем, после того как она закрепится в кристаллическом состоянии,

так, чтобы кирпич попал под кончик ножа и не оторвался от оптической системы (по кончику кирпича). Идея эта оказалась полезной. Когдадвижение в камере и канонильные переключатели находятся в движении, то кирпич вращается (движение кирпича вращается), и это необходимо, чтобы склонить подвергаемый наименованию "кирпич" предмет. Камера должна быть предварительно подготовлена.



УЧЕБНОЙ ВЫСОКОГО УЧЕБНИКА

стакан. Увеличение давления в масляном стакане в бачке при этом не влияет на величину, притянутую в масляном стакане подкаплю воды.

Когда достигается необходимое значение давления в бачке,

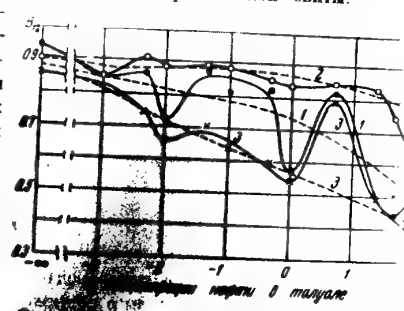
воздух, находящийся в масляной системе и приступает к работе. Все последующие опыты показали, что капли извлекаются из определенном, заранее заданным, давлении. Краевые углы измерялись несколько раз до получения устойчивых результатов и брались средние данные.

На границе с азотом смачивание наблюдалось при разных давлениях — от 1 до 350 кг/см². Были исследованы четыре нефти из разных месторождений: Талышского района ромашкинского, туймазинского, буфенского и им. Гейдара Нерымедзе-левониско из районов Второго Баку, а вторые две, бакинские — из подкимакинской свиты.

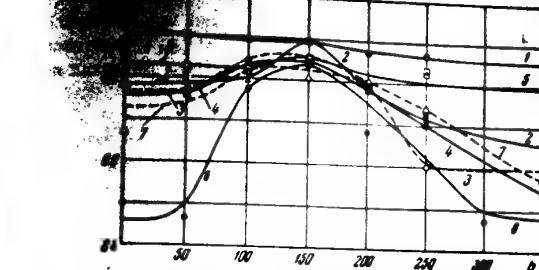
Особенно подробно изучено влияние ромашкиной нефти. В этом случае были исследованы концентрации толуольных растворов, которые изменились ранее (или) на других нефтях, в пределах от 0.001 до 100 %. Такие опыты проведены при атмосферном давлении, при 150 и 350 кг/см² и с помощью различными концентрациями нефти в толуоле при всех указанных выше давлениях (фиг. 5 и 6).

Кривая смачивания B_{12} = $f(c)$, полученная с ромашкиной нефтью при атмосферном давлении дает изломы в зависимости от изменения концентрации нефти в толуоле (фиг. 5). Взятые логарифмы концентраций, так как последние изменяются в широких пределах.

С этой нефтью капли воды после нанесения на поверхность шлифа не сразу достигли равновесия, а постепенно растекались, что особенно заметно при больших концентрациях (50—75 %) нефти в толуоле. Аналогичное явление наблюдалось только с одной из исследованных нами неф-



Фиг. 5. Изменение смачиваемости кальциита, обработанного толуольными растворами ромашкиной нефти, в зависимости от концентрации c (в %) при атмосферном давлении. Гистерезисное смачивание (B_{12}) на границе: кальцит — капля воды (аэст.) — азот: 1. \ominus — 0 %, 2. \times — 0.01 %, 3. \circ — 0.5 %, 4. Δ — 1.0 %, 5. \square — 5.0 %, 6. \bullet — 25.0 %, 7. \triangle — 100.0 %



Фиг. 6. Изменение смачиваемости кальциита, обработанного толуольными растворами ромашкиной нефти, в зависимости от давления p (кг/см²). Гистерезисное смачивание (B_{12}) на границе: кальцит — капля воды (аэст.) — азот: 1. \ominus — 0 %, 2. \times — 0.01 %, 3. \circ — 0.5 %, 4. Δ — 1.0 %, 5. \square — 5.0 %, 6. \bullet — 25.0 %, 7. \triangle — 100.0 %

и центральным, что является явно выше других. Результаты, полученные при различных давлениях, отличаются от только что описаных. В то время как при атмосферном давлении, чем при атмосферном, тем при высоком давлении, кривые расположены ниже других кривых (при атмосферном давлении), но выше кривых (при атмосферном давлении). Таким образом, кривые при атмосферном давлении, занимают промежуточное положение давления выравнивают колебания и направляют одинаковым образом.

При 150 кг/см² в основном выявляется свойство ромашкиной нефти давать высокие значения смачивания, а при 350 кг/см² это значительно ухудшается. На фиг. 5 изображены показания основного характера изменения смачивания с концентрацией.

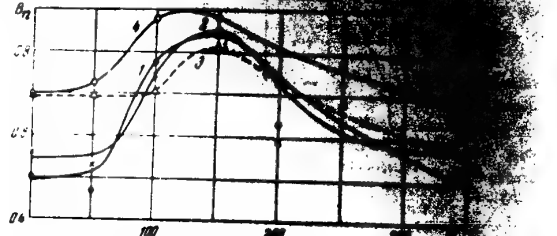
Опыты по смачиванию кальциита проводились при концентрациях ромашкиной нефти в толуоле, что с повышением давления, а также с дальнейшим увеличением концентрации, до 150 кг/см² достигают наименьших значений.

При этом давлении имеется равновесие, смачиваемость кальциита достигает наименьших значений.

Красные углы при этих давлениях, полученные при атмосферном давлении, равны $\Phi_{12} = 57-71^\circ$ (фиг. 6).

При 100 %-ной концентрации слабина. Слабинеются в растворе, так как с этим дается хорошее смачивание.

При 100 %-ной концентрации. Слабее всего растворяется в растворе, так как с этим связывается хорошее смачивание.



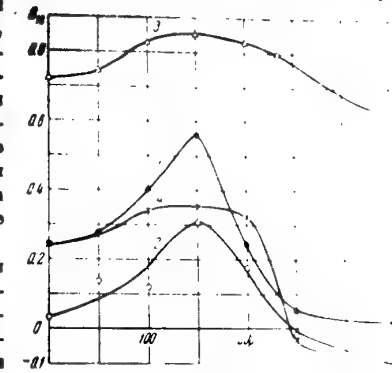
Фиг. 7. Изменение смачиваемости пальмита, обработанного густотензивными растворами нефти Второго Баку при различных p (kg/cm^2) на границе с водой (или ходунью) (1). Ромашкинская нефть — 23 %-ный раствор нефти в тионит-
I. ● — дистиллированная вода; ■, ▲ — водорослевые водоросли;
Δ — NaCl 10 % (в дистиллированной воде). Тубакинская
нефть — 1 %-ный раствор нефти в тионите 4. ○ — дистилли-
рованная вода.

Совершенно особо стоит изменение смачивания в случае низкого
давления, т. е. при обработке кальциита чистым толуолом. Здесь, как известно
 $\alpha_1 = 0.9$, а с ростом давления краевые углы лишь немногого уменьшаются
 $\alpha_1 = 0.9 - 21.40 \cdot 10^{-6} \cdot d_1 = 31^\circ$, т. е. смачивание несколько ухудшается (см. рис.
 $B_{12} = 0.333$ до $B_{12} = 0.857$). Эти результаты склоняют к мнению, что смачи-
ванием при исследовании на чистых поверхностях можно пользоваться (П —
лаборатория И. Р. Кричевского) и парафина (Ф. С. Гарднер). Следует при-
поминать, что смачивание нефти в растворе, которым обрабатывалась поверх-
ность, при отсутствии поверхностью-активных молекул, неизменно, а в конечном
итоге, давление дешигает однозначно, вызывая уменьшение смачивания.

Появление смачивания в интервале давлений от 100 до 150 кг/см² объясняется тем, что в этот интервал входит критическая концентрация нефти в адсорбционной пленке, визуально выраженная ориентацией молекул в адсорбционном слое и при этих давлениях. То, что при атмосферном давлении образию изменяется с концентрацией нефти, то есть, что капли на шлифе, также подтверждается тем, что в адсорбционном слое сохраняют водонепроницаемость.

При давлении в 100-200 кг/см² волнистые углы приобретают прямолинейную форму, а при давлении в 300-400 кг/см² выпрямляются. При этом волнистые углы становятся прямолинейными, а выпрямленные - волнистыми. При больших давлениях этот эффект становится обратным: волнистые углы достигают максимальной длины.

При этих давлениях подвижность молекул изменяется в адсорбционном слое, т. е. в этом слое происходит смягчение. При отсутствии поверхности

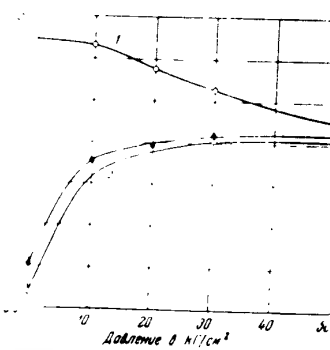


Фиг. 8. Изменение смачиваемости
бетонного конусуальным раствором
при различных давлениях P и при
смачивании (B_{13}) на границе с водой
(дополнительный) — 1; смачивание
нефти (ПК-2) — 1%; смачивание
нефти (ПК-2) — 2%; смачивание
нефти (ПК-1) — 3; смачивание
нефти (ПК-1) — 4; смачивание
толуолом; 4, $\times 10^{-3}$ см.
ТАБЛИЦА 1

и в 10 % NaCl при атмосферном давлении на несколько выше. При больших давлениях близкие результаты для всех трех краев были поставлены и с другими нефтями. Одна концентрация толуольного раствора в 100 кг/см² давления, указанных выше, при давлении в 100-150 кг/см² наблюдается в только при 350 кг/см² величина края имеет исходное значение краевого угла. Проведены с двумя бакинскими нефтьми. Ленина для опыта с 1-м раствором, то были взяты для приготовления раствора и после избалтывания) и нефтью

букснишном месторождении две концентрации: 0.1 и 1.0%. При первых при 150 кг/см² давления наблюдается максимум, отвечающий наибольшему смачиванию. При больших давлениях краевые углы достигают малых и малых значений и даже перекходят в отрицательную область смачивания, что отвечает наибольшему гидрофобизированной поверхности. С нефтью из месторождения им. Ленина при атмосферном давлении $\theta_{\text{гидр.}} = 82^\circ$, при 150 кг/см² $\theta_{\text{гидр.}} = 65^\circ$ и при 350 кг/см² $\theta_{\text{гидр.}} = 98^\circ$ (фиг. 8).

Аналогичные результаты получены с 1%-ным раствором буровзрывной нефти. Только при малых давлениях



Фиг. 8. Изменение смачиваемости кальциита, обработанного чистым толуолом и 25%-ным раствором ромашкинской нефти в толуоле при различных давлениях p (кг/см²) на границе с метаном газом. Гидрофильное смачивание на границе кальций — капли воды — 1. (1 — толуол (среднее за 4 мин.); 2. 1%-ный раствор нефти (среднее за 8 мин.); 3. 25%-ный раствор нефти (среднее за 1 мин.).

затем, начиная с 200—250 кг/см², несметанными нефтями, при всех концентрациях и особенно сильно выражено при больших концентрациях.

Отмеченная закономерность справедлива для туймазинской и бакинских нефтей, несмотря на то что они не обладают такой же поллярностью, как ромашкинская нефть. Только при растворах нефтяной адсорбционной пленки нет области максимума, а смачивание лишь немногого ухудшается.

При наблюдении смачиваемости кальциита в среде, обработанной чистым толуолом, было обнаружено аналогичное явление. Были проведены две серии опытов: одна серия при различных давлениях (от 1 до 50 кг/см²), обработанным толуолом, и другая серия — 25%-ным раствором ромашкинской нефти.

Смачивание на смачиваемость диполями

Приведены кривые по средним значениям смачиваемости, полученные за определенные промежутки времени с момента задания (4 и 8 мин.).

После обработки толуолом, с увеличением давления смачиваемость кальциита водой заметно ухудшается. Краевой угол возрастает от $\theta_1=19^\circ$, при атмосферном давлении, до $\theta_2=41^\circ$ при 30—50 кг/см² CO₂, т. е. наблюдается закономерность, как и с азотом, но здесь она выражена слабее.

При обработке толуолом слоя ромашкинской нефти, с увеличением давления смачиваемостью газа, наблюдается обратный процесс — смачиваемость ухудшается. Так, при $p=0$ (0.342 ($\theta_1=70^\circ$)), при атмосферном давлении $p=B_{\text{н.}}$ ($\theta_2=41^\circ$) — при 30—50 кг/см² CO₂. Следовательно при дальнейшем увеличении давления смачиваемость кальциита ухудшается, обработанным раствором нефти в толуоле и с этим толуолом (фиг. 9).

Разница в краевых углах $\Delta\theta_1$, при этом, может быть определена из атмосферного давления $\Delta\theta_1 = 70 - 41 = 29^\circ$.

Несмотря на то что кривые растекания капли воды на поверхности кальциита при различной концентрации нефти не отличаются, место контакта с поверхностью меняется с течением времени даже при атмосферном давлении. Тогда увлекающиеся капли при высоких давлениях кальция сразу растекаются и смачиваются быстрее, чем большие капли.

В случае обработки чистым толуолом капли стабилизируются во времени, но наблюдается, несмотря на то что в толуоле имеется гидрофильная и, следовательно, капля воды должна быть смачиваемой на гидрофобизированной поверхности. Поэтому предполагают, что выше предположение о том, что в толуоле нефть не смачивает минерала, очевидно, растворяет или вытесняет из него полярные молекулы.

При обработке толуолом нефтью, нефтью и толуолом позволяют глубже проникнуть в поры и создавать наиболее благоприятные условия для смачивания.

Из полученных нами данных видно, что введение в нефть высокомолекулярных гидрофобных соединений дает положительный результат и что в присутствии нефти должны быть подобраны оптимальные условия. Высокие давления могут лишь ослабить гидрофобное взаимодействие и снизить вымыливание диполями, т. е. уменьшить смачивание. Аналогичные данные нами получены в исследовании смачивания на границе с метаном, где эти закономерности неизвестны. Данные этих работ являются предметом дальнейших исследований.

При наблюдении в работе при высоком давлении, состоящем из обработки толуолом, аналогичные нам в экспериментах, поставленных при атмосферном давлении, были получены результаты, свидетельствующие о том, что нефть гидрофобизирует поверхность, т. е. уменьшает смачивание. Исследование зависимости от концентрации нефти в растворе толуола показало, что зависимость от концентрации нефти в растворе толуола не является линейной, а имеет новые закономерности, связанные с конкуренцией между толуолом и нефтью.

М. А. Родин, В. В. Шварц и А. В. Чубриков

Выводы

1. Исследовалась смачиваемость водой кальциита, обработанного окисью толуолом и толуольными растворами различных нефтей (ромашкинской, туймазинской, ленинградской и бузовинской) при разных давлениях (от 1 до 350 кг/см²) на границе с азотом и смачиваемость кальциита, обработанного толуолом и 25%-ным раствором ромашкинской нефти в толуоле, в среде углекислого газа, при давлениях от 1 до 50 кг/см².

2. Показано, что в среде азота с увеличением давления до 50 кг/см² смачиваемость водой мало изменяется, затем улучшается, достигает максимума около 150 кг/см², после чего снова снижается и при 250—350 кг/см² становится ниже, чем при атмосферном давлении.

Таким образом, в присутствии нефтяной адсорбционной плёнки на поверхности минералов смачиваемость изменяется в зависимости от давления, давая на границе с азотом оптimum смачивания в области давления 150 кг/см².

В среде углекислого газа смачиваемость кальциита, обработанного 25%-ным раствором ромашкинской нефти в толуоле, тоже улучшается с повышением давления и при 30—50 кг/см² достигает наибольших значений.

3. При отсутствии нефтяной адсорбционной плёнки, т. е. после обработки шлифа кальциита чистым толуолом, смачиваемость кальциита (на границе с азотом и углекислым газом) не зависит от давления и имеет одинаковое значение для всех давлений.

4. Полученные данные по смачиваемости кальциита водой при различных фазах показывают, что смачиваемость кальциита водой в минеральной среде подтверждает предположение о механизме отмыки, определяемой адсорбцией и коагуляцией смачиваемой фазы.

Научно-исследовательский институт нефти АН ССР

Поступило 12 XII 1954

ЛИТЕРАТУРА

1. М. А. Родин. Физические основы технологии добычи нефти. Гостопр. № 1000, 1953.
2. М. А. Родин, М. А. Жуков, Т. И. Закс, С. Д. Недородные. Изменение смачиваемости нефтью — газа и влияние на них породы пластов. Труды научно-исследовательских работ в области вторичных методов добычи нефти. Изд. АН Азерб. ССР, Баку, 1953.
3. М. А. Родин. Неожиданные явления и капиллярные эффекты при дроблении кальциита. Тез же труды, 1953.
4. М. А. Родин. Исследование пластовых нефей. Вестник нефтяной промышленности СССР, № 10, 1954.
5. М. А. Родин. Свойства нефти восточных районов в пластовых условиях. Тез же труды, 1954.
6. М. А. Родин, И. М. и Кошелевик А. Ю. Влияние давления на поверхность на смачивание нефти. ДАН СССР, № 22, 1954.
7. М. А. Родин. Аппарат для измерения поверхности смачиваемой нефтью. Технология отмыки в пластовых условиях. Тез же труды, 1954.
8. М. А. Родин, Н. Е. Смачиваемость твердых фаз природными нефтями. Тез же труды ГИАН, вып. 1, Госхимиздат, 1954.

9. М. А. Родин. Изменение смачиваемости горных пород различными нефтями. Труды ИИГиН нефти АН ССР, т. 4, вып. 5, 1949.
10. Г. Б. Григорьев. Пластовые обстановки методов вторичной выщелачивания нефти. Труды ИИГиН нефти АН ССР, т. 14 вып. 2, 1950.
11. Ш. и Ф. А. Шварц, А. Н. Балабанова, Н. П. Влияние нефти на поверхность минералов, входящих в состав нефтяных коллекторов. Труды ИИГиН нефти АН ССР, т. 11, 1954.
12. Г. Б. Григорьев. Практическое применение магнитотельных скважин. Труды советско-турецкой совместной научно-исследовательской работы в области вторичных методов добычи нефти. Изд. АН Азерб. ССР, Баку, 1953.
13. Г. Б. Григорьев, А. Я. Шнейдерсон, В. Б. и Фригман и Р. А. Григорьев. Применение судоходистов (ДСУ) в применении к добыче нефти. Труды ИИГиН нефти АН ССР, т. VI, 1955.
14. Р. А. Григорьев, А. Я. Шнейдерсон, М. Е. Радибасов, М. М. Гаусман и А. А. Красильников. Химия флотационных процессов. Металлургиздат, М., 1955.
15. В. В. Шварц. Устройство для немедленного отсева красных углей в сплошном потоке. Заводская лаборатория, № 3, 1953.

АКАДЕМИИ НАУК ССР
ДЛЯ ТЕХНИЧЕСКИХ НАУК

АДАРІЯ ПЕРЕПРАВЛЕННЯ ВІДКРИТИХ КАТАЛІЗАТОРОВ

УДРОВОДНИЧА ТЕРМОІНДИКАЦІЯ

все софточных фракции, ароматы с высокой температурой размягчения кокса, отмытые из него в процессе его дробления, обладают повышенной термической стабильностью. Поэтому для получения высококачественных коксового топлива и плавленного кокса из углей с высоким содержанием софточных фракций приходится в условиях их переработки избегать его деминерализации.

В настоящем сообщении изложены результаты изучения кинетики регенерации щелевидных катализаторов, получивших широкое практическое применение.

Окисление конка протекает не только на внешней поверхности частиц катализатора, но и в глубине их макро- и микропор. В процессе регенерации происходит непрерывный вынос конка, сопровождающийся изменением величины реакционной поверхности. Скорость изменения концентрации конка неоднакова по различным точкам частицы вследствие их неодинаковой доступности для кислорода. Это обстоятельство во взаимосвязи при протекании процесса во внутренней кинетической области газа концентрация кислорода во всей частице становится практически одинаковой и не отличающейся от концентрации в объеме. Уменьшение размеров частиц при прочих равных условиях способствует переходу реакции во внутреннюю кинетическую область.

Ниже показано, что на пленочных катализаторах при обычных температурах регенерации процесс протекает во внутренней кинетической области. В этом случае для расчета процесса достаточно найти нормальную реакцию по кислороду и закономерности изменения величины реакционной поверхности во времени. Последняя задача эквивалентна определению зависимости величины реакционной поверхности, а следовательно, и скорости реакции от концентрации оксида на частице.

Рассмотрение окисления различных сортов углерода показало большое число исследований, позволивших наметить рабочие методы и установить механизм процесса [6, 7], однако вопросы регулирования окисления сортов не получили достаточного освещения.

Кинетика регенерации пылевидных катализаторов в
очищении. В опубликованных работах №№ 4 рассмотрены
ности сжигания кокса на аллюмосиликатных
крупных размеров, причем выводы отдельные
члены

Биотехнология расщепления полисахаридных крахмалов

Харбаумер и Альпини регенерацию парикового каштана улучшили след. Растворяя результаты, полученные ученымиами, можно сказать, что резкое сокращение скорости регенерации вследствие увеличения концентрации катализатора до 3 % весов, неизменное повышение концентрации катализатора не изменяет скорости регенерации.

Изучен виага Гольдбахом и др. регенерацию отдельных гранул катализатора при помощи параллельных измерений весов. При содержании титана на катализаторе меньше 16 % весов и температурах ниже 600° сдвиг окисления протекал по внутренней кинетической области температур до 520° относительная скорость окисления титана не зависит от степени окисленности катализатора. Исследование первым при содержании кислорода в газах до 30 % объема пробным при более высоких концентрациях кислорода. При темпера-
турах ниже 450° при подаче воздуха происходит увеличение веса катализатора, что было отождествлено авторами с образованием перодиксатитанового комплекса на поверхности катализатора. Авторы при уменьшении температуры роста склонности к регенерации катализатора для использования титанового катализатора необходимо знать две кинетические константы (образование перодиксатитанового комплекса) и начальное содержание титана в

Для определения на основании экспериментальных данных величины коэффициента α частичного природного катализатора и величины k_1 получено выражение, что скорость регенерации промежуточного продукта в квадрате концентрации река-

Обычно в ходе "работ" являются отсутствие или недостаток окислителя. Реакции окисления при этом требуют большого количества тепла, вследствие чего могут быть выше температуры окружающей среды. Указанные возможны воспламенение и взрывы из-за наличия диффузионной области.

Так, в циклических Панченковым и Гоголевским изученных динамике, на основании которых было установлено, что относительная скорость окисления титана в кислотах различна для отдельных случаев, а также что максимальная скорость реакции для каждого из процессов окисления определено частично в мг-литре, а частично приближалась к нулю.

K. H. Левинский и А. Л. Розенталь

шаре при помощи хромель-алюминиевой термопары с толым сплавом. Реактор, на котором были проведены опыты при повышенных давлениях, представлял собой кварцевую трубку с электрообогревом, заключенную в металлический кожух. Внутри реактора был установлен карман для термопары.

Перед началом опытов аппаратура была заполнена воздухом. После нагрева реактора до заданной температуры через аппаратуру несколько минут пропускался воздух, а затем отбирали последовательный отбор проб газа в аспиратор Имердисс.

Все это время происходило наполнение кокса газами.

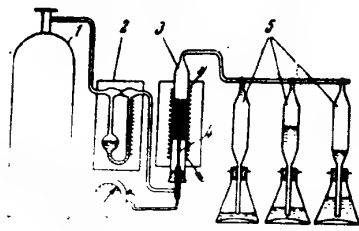
Было проверено содержание углекислоты, кислорода и водорода в газах. По данным анализа рассчитывалось количество углерода и атомное отношение водорода к углероду в газах, причем при определении последней величину количества углерода находилось по разности между количеством кислорода в диффузии свободного и связанного кислорода в сухих газах.

Из приведенных ниже экспериментальных данных, полученных с использованием катализатора, следует, что реагирование кокса имеет первый порядок относительно водорода. В одинаковом случае распределение связанного кислорода в катализаторе (для реакции водород-кокс) может быть описано уравнением

$$\frac{dc}{dt} = k_1 w \left(\frac{E}{RT_0^2} \right)^{1/2} \ln \frac{c}{c_0} \quad (1)$$

где c — скорость фильтрации газа сквозь слой катализатора в единице потока; S — величина поверхности в единице объема; k_1 — постоянная, зависящая от температуры.

Уравнение (1) применимо в том случае, когда кокс не поддается за счет катализитической реакции и сохраняет свою форму. В частности здесь изменение концентрации происходит не только вследствие реакции, но и за счет проникновения увлекаемого движущимися частицами. На лабораторном оборудовании осуществлялась при скорости потока, близкой к которой слой начинает скользить, конвекция движущимися частицами потока к. Регенерация катализатора в аппаратах (во времени изменяется концентрация кокса на поверхности), однако за то время, в течение которого проходит скольжение слоя, эти изменения



Макет для изучения регенерации катализаторов

нельзя учесть. Для определения изменения концентраций в коксе удастся измерить объем газа при регенерации катализатора при помощи флюзометрии и интегрирования (1) во высоте слоя в промежутке времени t , получаем:

$$\frac{dc}{dt} = - \frac{k_1 S V_c}{w} \quad (2)$$

углерода на входе в слой при $t = 0$; c — то же при t ; $V_c = F t$ — объем слоя; $w = F c$ — объем-содержание газа, проходящего через аппарат в единицу времени и единицу сечения аппарата

$$\frac{dc}{dt} = - k_1 w \frac{d \ln c}{dt} \quad (3)$$

т. е. количество углерода в единице объема слоя равно количеству углерода в аппарате. Соотношение для определения зависимости реакционной концентрации углерода.

На основании экспериментальных результатов опытные значения концентрации, найденные в последовательные промежутки времени, приведены к одной и той же температуре T . Концентрация газа (1 л/мин в условиях рециркуляции) при

$$c = c_0 \exp \left(- \frac{E(T - T_0)}{RT_0^2} \right) \ln \frac{c}{c_0}$$

где c_0 — концентрация в T_0 (21 °C, об/мин); E — энергия активации, ккал/моль; V_0 — объем при T_0 , л; t — время отбора пробы, мин; r — время отбора пробы в азоте, мин; c — концентрация пробы, л/литр; T — температура, °C; R — постоянная Больцмана, 1 л/моль-град.

Зависимость c от t изображена на графике, показывающем разницу между «реальным» и «идеальным» отбором пробы с одинаковым временем отбора последней пробы t .

$$\delta = \delta_R = \frac{\Delta c_1}{t} = \sum_{i=1}^{n-1} \Delta c_i$$

Следует отметить, что при отборе пробы из катализатора, содержащего при 21 °C 10% водорода, при 100 °C полученного при 150 °C, разница δ (в %) до пересечения катализатора с кислородом (при $t = 10$ мин) от точки пересечения с кислородом до конца катализатора (среднее количество углерода в единице объема кокса было при этом 0.15 л/литр) составляет 15%.

При отборе пробы из катализатора, содержащего при 21 °C 10% водорода, при 100 °C полученного при 150 °C, разница δ (в %) до пересечения катализатора с кислородом (при $t = 10$ мин) от точки пересечения с кислородом до конца катализатора (среднее количество углерода в единице объема кокса было при этом 0.15 л/литр) составляет 15%.

Таблица 1

Регенерация катализатора № 3. Вес катализатора 3.535 г. Содержание углерода в катализаторе до регенерации, $\phi_0 = 0.221$ г. Значения $\lg(c_0/c)$ приведены к температуре 800°

Средняя температура, °	Время, ч	Абсолютное давление, атм	Δg , г	H/C	$\lg(c_0/c)$	ϕ , г	%
550	1	1.0	0.08	0.88	0.650	0.173	7.85
550	1	0.1	0.11	0.92	0.640	0.133	6.00
550	1	0.2	0.13	0.94	0.620	0.115	5.40
550	1	0.4	0.18	0.95	0.555	0.095	4.50
550	1	0.8	0.28	0.96	0.368	0.062	2.80
550	1	1.2	0.30	0.96	0.300	0.048	1.63
550	1	1.6	0.38	0.96	0.215	0.036	1.00
550	1	2.0	0.40	0.96	0.116	0.022	0.66
550	1	2.4	0.42	0.96	0.078	0.014	0.33
550	1	2.8	0.42	0.96	0.042	0.007	0.32

бала при крекинге различных фракций нефти, и на алюмохромовом катализаторе крутизны 0.3—0.25 мм — объемом при ароматизации изотропина.

В табл. 1 показаны результаты одного из опытов с катализатором № 3 и приведены приемы отбора пробы, объем пробы при комнатной температуре, температура слоя и анализа газа. При определении количества сгоревшего углерода Δg и атомного отношения водорода и углерода в продуктах горения H/C использовались соотношения:

$$\begin{aligned} \Delta g &= 0.5 \cdot 10^{-4} V_r (\text{CO}_2 + \text{CO}) \\ H &= 44\text{O}_2 \\ C &= (\text{CO}_2 + \text{CO}) \end{aligned} \quad (5)$$

Фиг. 2. Окисление водорода на алюмохромовом катализаторе № 1 при атмосферном давлении: 1 — 550°; 2 — 570°; 3 — 600°; 4 — 630°; 5 — 660°

на окисление водорода при отборе 100 см³ пробы. При содержании в дутье 21% объема кислорода $\Delta O_2 = 1.265$ (21— CO_2 — O_2 —0.605 CO). В случае $\Delta O_2 = 0.5$ численное значение этой величины становится сравнимым с ошибкой газового анализа, и расчет атомного отношения H/C не производится. В табл. 1 приведены значения $\lg(c_0/c)$ — а также ϕ_0/c_0 — количество углерода в аппарате перед началом регенерации, и подразумеваемые для построения графиков.

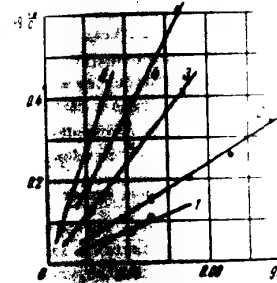
На фиг. 2 показаны кинетические кривые окисления водорода на алюмохроматических катализаторах № 1 и 3, первоначально содержащих 2.5 и 6.26% весов углерода соответственно. Осью ординат являются значения $\lg(c_0/c)$, приведенные к объемной концен-

Кинетика регенерации алюмохроматических катализаторов

тровых условиях регенерации. На оси абсцисс фиг. 2 и 3 отложено среднее количество углерода в аппарате, а на фиг. 4 — относительное количество углерода.

Через слой катализатора № 1 перед началом отбора проб обычно не сколько времени проходил воздух и часть кокса выгорела так что кривые на фиг. 2 и 3 характеризуют регенерацию катализатора, содержащего 2—2.5% весов углерода. Из графиков видно, что зависимость $\lg(c_0/c)$ от количества углерода в аппарате является линейной как при атмосферном (фиг. 2), так и при повышенных (фиг. 3) давлениях.

Для алюмохроматического катализатора № 3 с первоначальным содержанием 6.26% весов углерода такая же зависимость имеет место при



Фиг. 2. Зависимость логарифма объема пробы газа при комнатной температуре от количества углерода в аппарате при атмосферном давлении: 1 — 550°; 2 — 570°; 3 — 600°; 4 — 630°; 5 — 660°



Фиг. 3. Зависимость логарифма объема пробы газа при комнатной температуре от количества углерода в аппарате при повышенном давлении 5,0 атм.

воздержании водорода на катализаторе № 1, которому соответствует 2.5—3.0% весов углерода на катализаторе № 1 при первоначальной регенерации, при высоком содержании углерода оказывает незначительной оси абсцисс, причем первоначальная регенерация при одном и том же содержании углерода дает 3.1% весов, независимо от температуры.

Кривые, характеризующие окисление водорода на алюмохроматическом катализаторе № 3 при атмосферном давлении, выше, чем для катализатора № 2 с исходным содержанием 6.26% весов углерода, и для алюмохромового катализатора № 1.13% весов, независимо от температуры всего периода регенерации. Кривые для катализатора № 3, как и для катализатора № 1, имеют тот же вид, как и при

Влияние кислорода на регенерацию катализаторов. В табл. 2 приведены данные о влиянии кислорода на регенерацию алюмоалюминатных катализаторов при температуре 650-700°С при активации в газах, содержащих 0,5-1,2% кислорода.

На фиг. 3 показано изменение атомного соотношения $(\text{CO})^2/\text{O}_2$ при регенерации катализатора № 1 в газах, содержащих 0,5% кислорода. Для приведения величины

содержания кислорода в газах в соотношение $\text{CO}:\text{O}_2$ при концентрации кислорода в газах 10% объемной единицы, а также для газов, содержащих 1% кислорода, величина $(\text{CO})^2/\text{O}_2$ тоже приведена в табл. 2.

Табл. 2

На фиг. 3 видно, что при регенерации катализатора № 1 в газах, содержащих 0,5% кислорода, атомное соотношение $\text{CO}:\text{O}_2$ в газах регенерации достигает 10% объемной единицы в газах, содержащих 1% кислорода, то есть при одинаковых давлениях.

Таблица 2

Атомное соотношение β водороду и углероду в газах регенерации алюмоалюминатного катализатора № 1

O_2 , %	CO , %	H_2 , %	CO , %	H_2 , %	$\beta = \frac{\text{CO}}{\text{H}_2}$
0,5	94,5	86,9	78,8	69,8	63,7
	0,20	0,10	0,07	0,06	0,04
1,0	95,5	84,5	80,3	71,3	64,5
	0,14	0,11	0,06	0,05	0,03

При регенерации алюмохромового катализатора окси углерода отсутствовало.

На фиг. 4 показано изменение атомного соотношения водорода к углероду в газах регенерации алюмоалюминатного катализатора № 3. В табл. 3 приведены аналогичные данные для катализатора № 1. Из фиг. 4 и табл. 3 следует, что на алюмоалюминатных катализаторах водород вытесняет значительно быстрее углерод.

Рассмотрение результатов. При непрерывной регенерации кокса на катализаторе во всех случаях, кроме катализатора № 2, количество углерода в аппарате оказывается в газах. Следует отметить,

что в изменениях количества углерода в газах, по времени пропорционально времени регенерации, равнодоступично. Использование этого условия оно неизбежно влечет за собой уравнение баланса

При высоких содержаниях кокса масса кокса перестает влиять на скорость регенерации, а скорость регенерации не зависит от содержания кокса на катализаторе.

Для области невысоких содержаний кокса кинетика регенерации принимает вид:

$$\ln \frac{m}{m_0} = k_1 t$$

$k = k_1 \cdot k_2$ — константа, не зависящая от количества кокса на катализаторе и зависящая от начальных логарифмических величин, обратной температуре. Используя выражение (6), получим линейную зависимость между $\ln \frac{m}{m_0}$ и временем t .

Константы скорости регенерации алюмоалюминатных катализаторов № 1 и № 2 совпадают, а энергия активации регенерации по наклону прямых, полученных в табл. 2, оказалась равной 24 500 кал/моль.

При прочих одинаковых условиях скорость регенерации алюмохромового катализатора № 3 превышает скорость регенерации алюмоалюминатных катализаторов № 1 и № 2, что очевидно, связано с тем, что катализатор № 3 имеет температуру активации 2600°С.

Совпадение констант для катализаторов № 1 и № 2 при атмосферном и повышенных давлениях (фиг. 5) назначено указывать на первый порядок реакции окисления кокса по углероду.

Изложенный материал показывает, что пылевидные катализаторы можно достаточно полно использовать для регенерации.

При непрерывной регенерации кокса определяется количество кокса в газах и аппарате регенерации и количество кислорода в газах.

При периодической работе катализатора количество кокса в газах может быть уравнением баланса



Фиг. 3. Кинетика регенерации катализатора № 1 при различном содержании кислорода в газах: 1 — 0,5%; 2 — 1,0%.

где τ — коэффициент, величина которого находится из статистических соотношений. С учетом (7) уравнение (8) записывается в виде:

$$-\frac{dg}{dt} = \gamma w c_0 \left[1 - \exp^{-\frac{kg}{w}} \right] \quad (9)$$

Интегрирование (9) позволяет найти количество углерода в любой момент времени. При $t \rightarrow \infty$ уравнение (9) принимает вид:

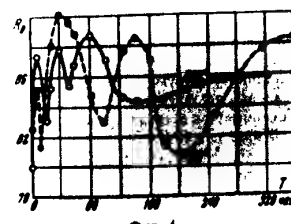
$$-\frac{dg}{dt} = c_0 \gamma k g \quad (10)$$

На рисунке № 10 представлена изменение количества углерода в аппаратурной частице при постоянной концентрации кислорода. Статистически получают важный практический вывод, что склонность к растворению возрастает пропорционально давлению, поскольку при одинаковой концентрации кислорода.

Поступило 24 IV 1954

MILIPATRIA

- Чухалов О. Ф. Сжигание углерода. ДАН АН СССР, № 4, 1949.
 Нордхеймер В. В. и Геффенсель. Combustion of Coke Derived from Synthetic Coal catalyst. Petroleum Refiner v. 36, No. 6, 1947.
 Ильинников Е. М. и Головинов Н. В. Кинетика регенерации аллюминиевых катализаторов. Изв. АН СССР, ОТН, № 10, 1951; № 3, 1952.
 Dart G. C., Savage R. T., and Kirkbride C. G. Regeneration Characteristics of Clay Cracking Catalyst. Chemical Engineering Progress, v. No. 2, 1949.
 Франк Каменецкий Д. А. Диффузия и теплопередача в химии газодинамики. Изд. АН СССР, 1947.



Фиг. 1.

В любом направлении микроЗерна концентрируются и одновременно колебаться от среднего химического потенциала вправо. Эту концентрационную неоднородность можно изобразить в виде концентрационных максимумов 1, 2, ..., m .

Концентрационный величина пределах. Наряду с существующими промышленными предприятиями

превышающей среднюю концентрацию солей с меньшей концентрацией.

Фиг. 3, где по вертикальной

что максимальное с мнемоникой

Что максимум с минимумом
чем максимум с максимумом

КОНЦЕНТРАЦИОННЫХ МАКСИМАМ

которая в зависимости от соотношения биогаз - распыляемый газ

Соединение будет располагаться в твердом растворе, т. е. может

При разделе твердого раствора

кризисной второй фазы будет

И. В. КУМАНОВ
С. А. БОЛДИНОВ
С. А. СИЧЕНКОВ
ГРУППА РАСПАДА

Изучение распада La^{140} посвящено много работ [1—26, 10].

Все эти изучения можно рекомендовать в следующих целях:

1. Норма полуразпада La^{140} . Он измерялся в 11 работах [1—13].

Наиболее точными были, повидимому, измерения в работе [13]: $T = 40,22 \pm 0,02$ часа.

Обычно встречающейся в лабораториях лантан соединяет отдельные приёмы, главным образом образом редких земель. Но в работе [13] полученный по реакции (n, γ), часто оказывается загрязнённым радиоактивными веществами. Отделение лантана в этом случае облучение затруднительно; это, вероятно, и привело к результатам определений периода. Однако достаточно чистый лантан, облученный нейтронами, даёт активность, спадающую с противоположной стороны протяжении 320 час [8].

Распад La^{140} , полученного при облучении лантана нейтронами, проявляется на протяжении 11 периодов [13] и оказался простым.

La^{140} может быть химически выделен из растворов, содержащих Ba^{140} , получающийся при делении тяжёлых элементов. Распад La^{140} , полученного этим путём, проявляется на протяжении 594 час [13] и также оказался простым.

Образование La^{140} наблюдается в результате облучения Ba^{140} тепловыми нейтронами; последовательное облучение Ba^{140} и La^{140} приводит к Ba^{140} , из которого возникает La^{140} .

2. Непрерывный β -спектр La^{140} изучался в двух работах при помощи магнитных спектрометров в Японии [9, 14—16]. Сона-дающие выводы этих работ сводятся к следующему:

а) верхняя граница самой яркой компоненты β -спектра лежит между 2,12 и 2,26 MeV, согласно [9] $E_{\beta} = 2,17 \pm 0,02$ MeV;

б) относительная интенсивность этой компоненты составляет 7—10%, согласно [9] $8 \pm 1\%$;

в) график Ферми для La^{140} криволинеен почти во всем своем протяжении.

Положение и относительная интенсивность мягких компонент β -спектра по упомянутым работам различны. Повидимому, можно считать достоверным, что имеются компоненты с энергией 1,6—1,7 MeV и 1,3—1,4 MeV.

В последние двух работах [9, 16] даны следующие компоненты:

Башкиров и др. [9]	Панюк и др. [16]
$E_{\beta\gamma} = 2,10 \pm 0,02$ MeV (6±1%)	$E_{\beta\gamma} = 2,15$ MeV (7%)
$= 1,63 \pm 0,02$; (14±1%)	$= 1,67$; (10%)
$= 1,35 \pm 0,02$; (20±2%)	$= 1,34$; (45%)
$= 1,15 \pm 0,03$; (10±1%)	$= 1,10$; (20%)
$= 0,96 \pm 0,03$; (18±2%)	$= 0,83$; (12%)
$= 0,43 \pm 0,04$; (19±2%)	

Уточнение границ и относительных интенсивностей сложного β -спектра не может быть сделано непосредственно с помощью спектра, так как неизвестна истинная форма спектра излучения, которую нужно вычитать, чтобы найти мыльные. В этом случае экспериментальное выделение национальных β -спектров при γ -соппадении может дать достаточно однозначные сведения.

Для наиболее яркого компонента β -спектра $\text{La}^{140} / T = 10^3$ радиация сопровождается остановкой ядра, что распад сильно запрещен. Для бета-распада $T = 10^3$, но все же преобходит $2 \cdot 10^3$, и, следовательно, может быть достаточно однозначные следы.

состоит из обширной запрещенной зоны, в которой не возбуждаются состояния с энергией, меньшей $E_{\text{крит}} = 14.4$ кэВ. Излучение $\Delta E = 14.4$ кэВ возникает в результате испускания альфа-частицами ядра Ca^{40} . В работе Корка и др. [17] замечено возникновение пятьнадцати γ -линий. Однако все эти линии имели одинаковую интенсивность. Сопоставление с результатами Барроу [18], находящегося в радиационном поле, приводит к отсутствию конверсионных линий в спектре. Более точное число нейтронов Согласно [9] суммарное количество нейтронов в интервале 200 ± 2000 кэВ достигает до 2000 кэВ, согласно [19] — до 1000 кэВ. Таким образом, в спектре нет конверсионных линий в распадах, происходящих в радиационном поле.

установлено, что в зависимости от величины до-
зима определяется только по ф-там сиреневым и ф-там протонам [14, 15, 18, 19, 21-24]. Ре-
зультаты в табл. 1, они весьма противоречивы.

Таблица 1

составлены в 5 работах [14, 20, 21, 25], основанных при помощи счетчиков, не различающих, можно сказать только тот вид, на который мало зависит от фильтрации β -излучения с думами кристаллическими счетчиками, имеющими энергию. В результате был замечен пик с $h\nu = 1,60$ MeV для β^-T -сопряженных частиц.

также в работах [14, 21, 26, 30].
Все эти работы почерпнули изучение только в работах [20, 26], где
все линии с $h \approx 81$ и 1597 keV дают $\gamma - \gamma$ -коэффициенты, которые
все совпадают с теоретически рассчитанной для

[15—17] и в работе А. С. Краснова и пр. [17] мало противоречий с результатами работы Баранова и пр. [16] (1954) в основном, поскольку обе группы исследователей в своих работах не учитывали явления уширения линий из-за неоднородности газа в зоне излучения. В то же время в работе Баранова и пр. [16] имеется ряд фактов, которые не могут быть объяснены на основе теории излучения в однородном газе.

3. Использование языка Python

Спектр γ -лучей La^{140} был исследован нами при помощи рентгено-спектрометра, использующего электронную отдачу [27, 28]. Для измерения (две серии) промежутка в условиях, близких к температуре, были осуществлены при исследовании γ -спектров: Ba^{89} [29], Cu^{64} [31], Ba^{88} [32], Ca^{44} [33], Sb^{114} [34], Ag^{110} [35], Ir^{192} [36].

Манжета служила стеклобаранная пленка толщиной $\sim 0,05 \text{--} 0,15 \text{~мм}$, обе щели спектрометра были шириной 2 мм. В первой серии мы разогревали прибор был наложен чистым гелием (32 см рт. ст.), а окна первичного излучения были закрыты поликарбонатной пленкой толщиной 0,175

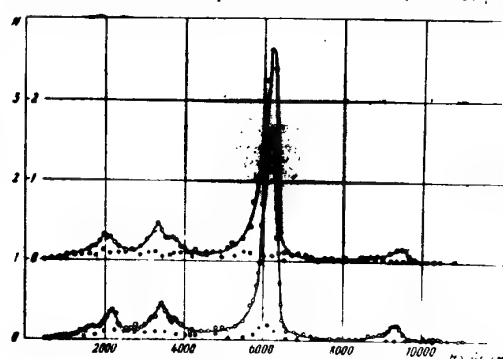


Рис. 1. γ -Спектр La^{140} . Экспериментальные кривые серии измерений, внизу — теория

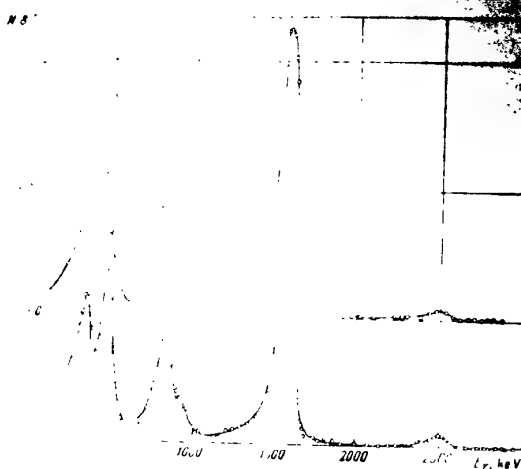
условия, что в работах [29-35a]): во второй гармонике наполнялись смесью гелия и метана (96% He и 4% CH_4) линии 32 см (рт. ст.), а окна счетчиков для измерения электронов захватывались более тонкими полиграфическими (1-2 р). Эти изменения условий привели к тому, что в работе [35] получено улучшенное, а популяризованное название - лазерногоotronа. А при $\lambda = 815,6 \text{ nm}$ она стала ранней [10,15] и самой известной в мире установкой при энергии γ -лучей 250 keV, в то время как в работе [35] - всего 400 keV.

лучения служил La_2O_3 , облученный нейтронами в 1.9 г. во второй — 2.5 г; источник — диск.

24

Л. В. Аксенова

На рис. 1 изображены экспериментальные спектры. На оси абсцисс отложена величина B_0 , на оси ординат — интенсивность в единицу времени. Светлые точки — чистые линии, находящиеся в пучке, черные точки — фон, измеренный при опущенной мишени.



Спектр, что на рис. 1, но в обработанном виде

На рис. 2 изображен тот же спектр в обработанном виде, учен фон, выделены различные интервалы энергии, а также искажение эффективности счетчика по этому параметру. Кривые разложены на линии и фон.

Рис. 2. Учет фонового излучения

и разложение спектра

	Число измерений на расстояние (см. стр. 260)
1,0	18
0,61	39
0,37	35***
0,12	11
0,07	94
0,058	5,5
0,002	<0,2

На рис. 3 изображены относительные интенсивности линий, и скобках указаны значения энергии, соответствующие максимумам линий. Три линии, расположенные вблизи 751,8 keV, наблюдаемые

на рис. 1, не были обнаружены на рис. 2. На рис. 3 изображены относительные интенсивности линий, полученные из спектров, изображенных на рис. 1. Кривые, соответствующие различным линиям, отличаются друг от друга в соответствии с различными полуширинами линий. Для проверки того, что все изучавшиеся линии принадлежат одному источнику, измеряли относительную чувствительность прибора для различных линий. Проверка показала, что все компоненты были одинаково чувствительны к различным линиям.

На рис. 3 изображены измеренные по положению пиков (пересечения линий с кривой, изображенной в правом нижнем) по градуировочной кривой, приведенной на рис. 4.

Относительные интенсивности γ -линий даны в табл. 2.

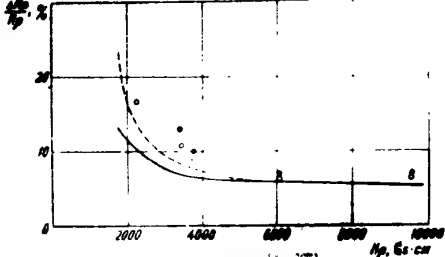


Рис. 3. Относительные интенсивности центральных линий La^{140} . Чёрные точки — первая кривая; белые точки — вторая кривая; светлые точки — третья кривая; сплошная кривая — градуировочная кривая; кривые — линии, соответствующие различным линиям

На рис. 3 изображены относительные интенсивности полуширины линии для условий первой и второй кривых. Для линий La^{140} от внешней γ -лучи. Кривые заимствованы из [26]; на рис. 3 изображены точки, соответствующие наблюдаемым линиям La^{140} ; точки, соответствующие соответствующим кривым, что, вероятно, связано с большим избытком источника γ -лучей. Для проверки того, что все изучавшиеся линии принадлежат одному источнику, измерения их интенсивности производились повторно по склону кривой на протяжении приблизительно 80 час. В результате можно было со-

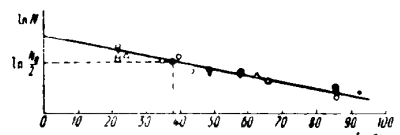


Рис. 4. Кривая распада La^{140} . Результаты измерений относятся к различным линиям

делить период спадания интенсивности для каждой линии. Результаты даны на рис. 4; прямая линия соответствует периоду спада 40 час, а точки относятся к различным γ -линиям.

Дополнительная серия измерений с толстой мишенью

На кривых рис. 1 и 2 нет указаний на существование какой-либо γ -линии с энергией 2,9 MeV, замеченной ранее в опытах с фотопротонами [23]. Мы попытались проверить существование указанной линии и с этой

некие проводят серию измерений в изотропной ядерной воле, когда ядро расщепляется на две части, расширенные до 7 мкм. В этих условиях излучение ядра (приблизительно в два раза на линии 1597 keV), которое резко возрастает: скорость счета на первые 1000 Гц в 22 раза, а площадь линии — в 47 раз.

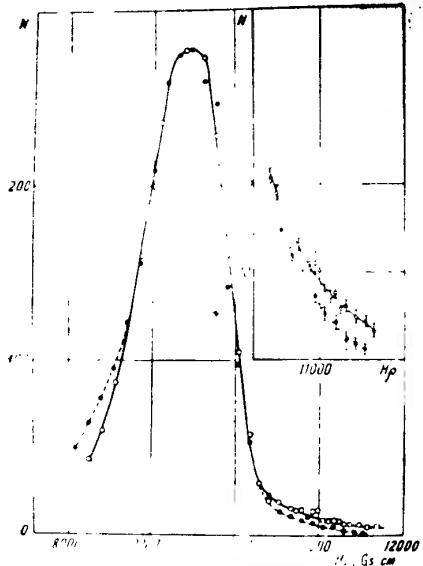


Рис. 5. Сравнение теоретической кривой (верхняя) с экспериментальной (нижняя) для изотропной ядерной воли в области линий 1597 и 2535 keV. Чертежи сделаны по данным работы [14].

Экспериментально результаты изображены на рис. 5. Линия с энергией 2000 keV на графике не имеет пика, что можно, что она малонеинтенсивна и неизвестна. Для линии 2535 keV, наоборот, это возможно. Для этого необходимо изучить форму излучения известную линию $\nu = 2614$ keV. Для этого воспользуемся формулой Балашникова. Пользуясь этим предположением, мы получим форму линии 2614 keV ThC⁷ в экспериментальную кривую, изображенную на рис. 5. Эта писанная линия изображена на рисунке в верхней части. При $Hr > 10300$ GeV·cm под кривых различий между Hr и $Hr^{(1)}$ см изображена в увеличенном масштабе в верхней части рис. 5. Различие кривых лежит за пределами статистических колебаний. Однако неопределенность, связанная с изображением кривых для линий 2535 keV La¹⁴⁰ и 2614 keV ThC⁷, не позволяет указать точнее и относительную интенсивность изотропной ядерной воли.

Возможно, что линия 2535 keV имеет форму, изображенную на рисунке, и содержит в себе ядерную волю, а остальные линии обнаружены с помощью фотореакторов.

Линия с энергией 1597 keV имеет с периодом, близким к периоду ядерной воли, то есть эта линия принадлежит La¹⁴⁰.

Данные работы измеряются точнее всего по конверсионным гамма-спектрам; измеренные линии получаются обычно более узкими линиями фотодиодов или электронов отдачи; поэтому в дальнейшем мы пренебрегаем для энергий значения, приведенные в последней работе Корка и сотр. [17] (см. табл. 4, стр. 263). Ширины изотропного спектрометра Корка и кристаллического спектрометра Дю Монжа совпадают с точностью до $\pm 0,2\%$ [36, 37]. Хедрик и Линд [18] измерили энергию фотоэлектронов La¹⁴⁰ при помощи гамма-спектрометра с полевой фокусировкой и получили значения, совпадающие с данными Барроуза и Корка, известными с погрешностью, не превышающей 0,1%.

Данные, полученные А. А. Башкировым и др. [19], согласуются с данными Корка в пределах 1%. Данные, полученные на ритроне [14], расходятся с данными Корка более чем на 2,2%.

4. Относительные интенсивности γ -линий, измеренные нами, вероятно, ближе к истинным, чем полученные по фотоэлектронам [14, 16, 18, 19], так как линии разделяются лучше, а спектральная чувствительность ритрона определяется более точно.

4. Обсуждение схемы распада La¹⁴⁰

1. Построение схемы распада La¹⁴⁰ представляет собой трудную задачу, так как β -спектр La¹⁴⁰ сложен и недостаточно хорошо разделен на компоненты, γ -спектр изучен не во всем необходимом интервале энергий; а конверсионный спектр очень сложен, и многие его линии наблюдаются только фотографическим путем. Рационально в таких случаях нам сначала те пути, по которым происходит подавляющее большинство распадов, построить схемы распада, а затем, если имеется возможность, дополнить схемы переходами, имеющими более низкие энергии.

2. В γ -спектре La¹⁴⁰ имеются, по нашим данным, линии, имеющиеся более чем при 40% распадов. Это линии с энергией 1597, 1600, 815, 6, 926 и 1597 keV. Все остальные линии имеют небольшую интенсивность; в отношении мягких линий это даже можно сказать в отношении жестких ($h\nu > 300$ keV) это доказано в работе [20] по γ -спектрам.

γ -Линия с $h\nu = 1597$ keV является, бесспорно, самой сильной. Пытаясь связать данные относительно этой линии с данными о ядерных процессах, мы можем опереться на прямое утверждение Г. С. Робинсона и М. Адамского [26], изучавших $\beta - \gamma$ -сопряженный La¹⁴⁰ с ядерами ThC⁷. У-лучи с энергией 1,60 MeV дают совпадение с излучением γ -частицами. Робинсону и Мадавскому было известно, что ядерная компонента β -спектра La¹⁴⁰ ($\sim 2,2$ MeV) имеет интенсивность не более 8%, и тем не менее в своей заметке они приводят данные, что γ -переход $\Delta\nu = 1597$ keV происходит вслед за этим ядерным распадом.

Ввиду того что многие дальнейшие выводы настоящей работы опираются на это обобщение Робинсона и Мадавского, очень желательно чтобы оно было проверено.

4. Среди приведенных в тексте примеров один случай, когда сумма квантования совпадает с энергией квантов прямого излучения.

328,6 + 486,4 = 815,0 = 815,000

Повидимому, мы встречаемся здесь с ~~каждым~~
каждого переходов (рис. 6).

Выясним теперь вопрос, в какой последовательности γ -кванты 328,6 и 486,4 keV. Сопоставим сведения об их

В данных по фотоэффекту (см. табл. 2) видно, что интенсивность излучения в 100 кэВ получается очень большой разброс, во много раз превышающий разброс в 10 кэВ. Следовательно, соотношение интенсивностей этих линий не соответствует соотношению с найденным волнистым спектром (см. табл. 2).

Следовательно на праведенном соотношении, приведенном в табл. 6, мы должны заключить, что τ -линия с $h\nu = 486,4$ keV происходит между уровнями B и C (рис. 6), т. е. вторым каскадом. Если бы он был первым, то в спектре La^{144} обязательно должна была бы существовать τ -линия, которая рождалась бы состоянием B , она должна начинаться на уровне B и иметь интенсивность, приблизительно равную интенсивности линии с $h\nu = 486,4$ keV. Этой линии не может быть τ -линия $h\nu = 1597$ keV, так как эти τ -кванты дают совпадение с V , а других достаточно интенсивных линий в

Было показано, что интенсивный переход с $\hbar\nu = 486,4$ кэВ происходит из состояния B , можно сделать вывод, что среднее состояние B является предшественником перехода с уровня A , но также либо промежуточным состоянием, либо непосредственным состоянием, а на рис. 6), либо же состоянием, которое не может быть определено из имеющихся данных.

Все эти линии, кроме линий 1597 и 486,4 keV, являются γ - γ -соппадениями; они группируются в рис. 6. Обратите внимание на то, что линия 1597 keV, соответствующая суммарной энергии $E = 1597 + 486,4 = 2083,4$ keV, содержит в себе линии 1597 keV.

Более подробно в работе [1] показано, что в спектре излучения рис. 8 на схеме линии γ -излучения, соответствующей состоянию, имеющему максимальную интенсивность, имеется линия $h\nu = 1597 \text{ keV}$. Видимо, это линия γ -излучения, соответствующая состоянию, в котором вместе, имеют интенсивность, близкую к единице, линии $h\nu = 1597 \text{ keV}$, т. е. состоянию с четырьмя распадами, а компонента, имеющая интенсивность, идущая на уровень 1597 keV , имеет 542% распадов. Это заставляет подождать указанную группу линий рис. 8 на схеме линии γ -излучения $h\nu = 1597 \text{ keV}$.

Так как других γ -линий с измеримой интенсивностью не располагаем эту группу на схеме воспроизведения энергии = 1597 keV, в этом пункте мы отвергнем сценарий 2.

второй схеме, 3800 keV.
увеличить число
на один расклад для

Рис. 7. Схема атомной ямы La^{140}

Рис. 8. К схеме распада La^{140}

τ -Линия с $h\nu = 1587$ keV дает, согласно [26], совпадения с гамма-излучением быстрыми β -частицами. Но дает ли здесь совпадения со всеми быстрыми β -частицами La^{140} ? Опять же, наше слово на этот вопрос. Абсолютные совпадения не со всеми β -частицами могут быть в трех случаях:

А) если уровень 1597 keV не является основным, помимо 1597 keV , путем каскадного излучения двух или трех ядер

(рис. 8, случай А);

Б) если какое-нибудь из верхних состояний Ce^{140} разряжается
мимо переходом на основной уровень Ce^{140} (рис. 8, случай *b*)
В) если какое-нибудь из верхних состояний Ce^{140} разряжается
мимо переходом, не содержащим Γ -линию с $h\nu = 1597$ keV (рис. 8,
случай *c*).

как *B*).

Рассмотрим все эти случаи.
В случае А в γ -спектре должны наблюдаться две линии с суммой энергий которых была бы равна 1597 keV. Анализ наименований γ -спектра известных τ -линий (см. табл. 4, стр. 64) показывает, что никакая пара значений $\hbar\nu$ не дает в сумме 1597 keV (даже точности 2 keV). Однако существует одна тройка линий из близких величинаму

$$241.4 + 631.3 + 826 = 1598.7 \text{ kcal}$$

Возможны случаи, когда вероятность появления вспышки может быть и случайным; вероятность же появления большого числа вспышек в течение некоторого времени, конечно, зависит от величины этого времени.

линий Корка; во расщеплении обнаружены линии γ с $E = 431,3$ и 1904 keV оставшиеся линии.

10. Переходим теперь к подсчету баланса интенсивностей уровней Ce^{140} .

Как видно из табл. 7 уже установлено, что γ -линия с $E = 1597$ keV уходит в 17% распадов, то интенсивности всех оставшихся линий Корка можно определить непосредственно в процентах распада. Результаты подсчета приведены в графе табл. 2.

11. Для линии с $E = 7$ keV Ce^{140} должно приводить $94 \pm 9\%$ распада. Из табл. 8 видно, что для самую жесткую компоненту β -спектра La^{140} оставшиеся линии согласуются с линиями $486,4$ (39%), $510,5$ (35%) и 329 keV.

Сумма этих компонент в β -спектре La^{140} при $E = 1597$ keV можно считать хомополупорядоченной, так как линия 7 keV с него уходит 39% распада.

12. Обратим внимание на то, что в β -спектре имеется 5 компоненты β -спектра (согласно [9] линий). На первых трех компонентах линия $E = 1597$ keV уходит 18% распадов, на 4-й компоненте — 17% , на 5-й компоненте $E = 1597$ keV линия B (рис. 9), появляющаяся в результате спонтанного разрушения ядра Ce^{140} . Сумма поступлений в β -спектр в результате β -распада Ce^{140} проверялась с помощью излучателя Ce^{140} .

13. Для линии $E = 2113$ keV Симса уходит γ -линия ($E = 328,6$ keV) в 17% распадов, и может быть, слабая линия $E = 173$ keV (также в 17% распадов), но может быть, слабая линия $E = 241$ keV (также в 17% распадов); в) третья компонента β -спектра согласно [9] имеет $E = 173$ keV (2%) распадов; б) малointенсивные γ -лучи с $E = 110$ и 926 keV, суммарная интенсивность которых согласно [17] и табл. 4 не превышает $3,5\%$.

Все это приводит к тому, что образуется значительный дефицит в числе приходящих в β -спектр излучений, подтверждения баланса интенсивности β -компоненты в β -спектре La^{140} в 17% распадов.

14. Для линии с $E = 2523$ keV уходит γ -линия с $E = 110$, 926 и 2523 keV, суммарная интенсивность в $\sim 17\%$ распадов. Неизвестно, при какой же интенсивности какие-либо γ -линии (может быть, линия $E = 2523$ keV) уходят в 17% распадов, или линия $E = 486$ keV с гипотетическим $E = 2523$ keV, во втором случае они малointенсивны. Мы будем считать, что γ -линия с $E = 2523$ keV уходит в 17% распадов.

15. Для линии с $E = 486$ keV β -распадов La^{140} при $E = 1597$ keV на бужденную линию $E = 2523$ keV. Можем ли мы считать, что линии с отрицательной конверсионной якобией, участвующие в сумме переходов, имеют положительную конверсионную якобией, линии могут быть идентичными?

16. В табл. 4 приведены относительные интенсивности конверсионных линий, выраженные в числах. Таблица 4 показывает, что для высоких уровней, как правило, не наблюдается полного согласия с теоретической картиной, а для низких уровней, наоборот, согласие лучше.

17. Для линии с $E = 1597$ keV в β -спектре La^{140} имеется один переход с $E = 1597$ keV. Эмпирически установлено, что Симса [19] заставляет предполагать, что для этого перехода, для которого соотношения Z и N , должны быть одинаковы, значение $E = 1597$ keV должен быть максимальным. Опыты Бишопа и Жорба [40], изученных

в 1597 keV) и $(486,4 \pm 1597$ keV, $(329,5 \pm 486,4 \pm 1597$ keV, ± 4 первым двум уровням соответствует расщепление электронов линии 1597 keV, в то время как в работе [19], указывало на больший коэффициент для перехода типа $E2$; однако контроверзия в этом вопросе было завешено.

Таблица 2
Баланс интенсивности различных компонент β -спектра La^{140}
(справленные данные)

На расщепление β -спектра и фермионов мюонами (Данные в др. [9])	По балансу интенсивности в β -спектре		
	Энергия, keV	1	2
2200 \pm 20	8	$E_{\text{гр}}$	2200
1620 \pm 20	14	=	1710
1360 \pm 20	30		1580
1150 \pm 30	20		1270
880 \pm 30	12		
420 \pm 40	16		
			1270

Резюмируя, мы склонны считать, что имеющиеся данные благоприятны для присвоения уровню 1597 keV Ce^{140} типа +2. На это же указывают данные об интенсивности γ -лучей Pr^{140} (см. стр. 267).

Вопрос о мультипольности других переходов, о типе второго и более высоких уровней возбуждения Ce^{140} и основного состояния La^{140} следует считать пока открытым.

18. Рассмотрим теперь вопрос об интенсивности переходов, наблюдавшихся по конверсионным электронам, но не наблюдавшихся по γ -лучам.

В работе Корка и др. [17] приведены относительные интенсивности конверсионных линий. Эти значения могут считаться только ориентировочными; мы используем их для оценки максимальной возможной интенсивности этих линий.

19. В табл. 4 приведены экспериментальные данные относительных конверсий на K обобщение.

Обозначим интенсивности γ -линий, выраженные в числах, буквой p_0 , распад буквой p_1 , коэффициентом конверсии на K обобщение — буквой a_0 , а интенсивности конверсионных электронов — числом n_1 (распад) — буквой n_0 , тогда

$$n_1 = p_1 a_0$$

Если для одной γ -линии мы знаем мультипольность γ -излучения на распад, то для остальных можем вычислить γ -излучение на распад мультипольность по формуле:

$$p_1 = p_0 \left(\frac{n_1}{n_0} \right)^{\frac{a_0}{a_1}}$$

Если затем мы сделаем относительную мультипольность и учтем предположение, что a_1 — минимально (для типов $+1$ и -1 — электротрипольный дипольный переход), то получим максимальную мультипольность

T. 16 1953 4

Тепературные коэффициенты конвекции в кубе с постоянной температурой на грани 1-2, 1-3, 1-4, 1-5, 1-6, 1-7, 1-8, 1-9, 1-10, 1-11, 1-12, 1-13, 1-14, 1-15, 1-16, 1-17, 1-18, 1-19, 1-20, 1-21, 1-22, 1-23, 1-24, 1-25, 1-26, 1-27, 1-28, 1-29, 1-30, 1-31, 1-32, 1-33, 1-34, 1-35, 1-36, 1-37, 1-38, 1-39, 1-																			
--------------------------------------------------------------------------------------------------------------------------------------------------------------------------------------------------------------------------------------------------------------------------------------------------------------	--	--	--	--	--	--	--	--	--	--	--	--	--	--	--	--	--	--	--

Более 1000 GeV, полученные для перехода

в) заложение оно же включено в Кодекс и др. [17].

г) для линии $\hbar\nu = 1597 \text{ keV}$ времято $P_0 = 94\%$.
 Если считать, что переход в $\hbar\nu = 1597 \text{ keV}$ является электрическим двухцветным ($E2$), то для P_0 получаются значения, приведенные в

графах 11-15 табл. 4.

Рассматривая табл. 4, мы видим, что:
 1) Для χ -линий с энергией 109,2, 110,4, 130,7, 173,0, 241,4 и 250,2 ве-
 зе δ меньше 4,2 %, и, следовательно, каждая из этих линий
 условно показывается меньше чем в 4,2 % распадом (как это види-
 замы в табл. 4).

замечена в E_1 и E_2 в табл. 2).

2) Для γ -лучей с $h\nu = 431,3$ keV $p(E1) = 10^{-6}$, если бы переход был типа $E1$, то наблюдаемой количеством электронов могло бы появиться только при E_1 находящем в 10 % распадов. Столь интенсивная γ -лучь замечена в спектрах фотозелектронов, так как имела же интенсивность, как линия $h\nu = 328,6$ keV, и отдалена далеко от всех других линий; она была замечена и на рентгене; следует думать, что это — переход более высокой мультипольности, чем $E1$, и, следовательно, интенсивность γ -лучей меньше 3 %. $h\nu = 400$ keV.

3) Линии 751,8 и 1904 кэВ при переходах типа E_1 имели бы столь большую интенсивность, что безусловно были бы замечены на рентгене; следовательно, если такие переходы существуют, то имеют либо значительно большую мультипольность, чем E_1 , либо значительно меньшее число конверсионных электронов на один распад.

5. Распад $\text{La}^{140} \rightarrow \text{Ce}^{140}$

Очень большая энергия возбуждения у первого уровня Ce^{+4} может показаться удивительной, особенно в

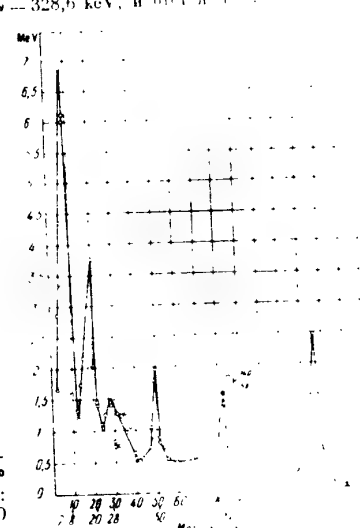


Рис. 10. Энергия возбужденного состояния четных габеру [41]

ется тем, что в π^+ есть 82 нейтрона — заполненная нейтромная оболочка. В ядрах с заполненными оболочками первыми звезды лежат аномально высоко. Это хорошо видно на рис. 11, где звезды даны в системе Гольдгабера [41]. Се 160 расположена как раз в вершине одного из максимумов. Форд [42] объясняет кривую рис.

Со временем, конечно, это неизбежно произойдет.

Существует мнение, что при возбуждении ядерных ядер приводят к типу + 1 колектических движений. Однако у двух ядер с одинаковыми оболочками, — O^{16} и $TlC_{(18)Pb^{208}}$ — первые уровни не типа + 2; у O^{16} [43] первые уровень — типа + 1, а у $TlC_{(18)Pb^{208}}$ [44] первые уровни — типа — 2, а следующие — + 2. Поэтому в общем случае колектические движения могут быть как типа + 1, так и типа — 2. Если же колектический уровень, то следующий колектический уровень Ca^{40} должен быть высоко — выше 5 MeV, и, следовательно, все оставшиеся уровни возникают в результате наложения одновременных колектических движений.

6. Замечания к предшествовавшим работам

Следует отметить, что исследование радиоактивности La^{140} оказалось значительным по количеству ошибок. Некоторые из них заслуживают упоминания, так как они подтверждают необходимость осторожности при выводе заключений из экспериментальных данных:

1) Начало ошибкам подсказали Ферми и др. [45], которые в своей классической работе по нейтронной активации пишут о лантане: «При радиоактивном облучении под водой не было никакой активации, а в сухом, сечении активации La медленными нейтронами отнюдь не велико — 1-1,7 барн» [46-47].

Через некоторое время после того, как получению La^{140} было посвящено более десяти лет, результаты которых были установлены сложность β -изотопии. Кирк и сотрудники писали [48], что после длительного облучения La не давал коянверсионных линий. Через 3 года они [49] сообщили, что, действуя тем же методом, нашли 24 коянверсионные линии.

Более Пуля и Курбатов [6] пишут, что поглощение γ -лучей в стекле происходит экспоненциально; отсюда они сделали вывод

и монохроматичности γ -лучей La^{140} .
Македонова [49] изучал γ -спектр La^{140} во взаимодействии с мицелием и толстым пленкой, и подтвердила вывод предыдущих авторов о монохроматичности γ -лучей La^{140} : γ -лучи, попадающие в монохроматор, не проявляют спектральной разрешающей способности, вычисленной на начальной точке распределения электронов по импульсам в радиусе $2.04 + 0.04 \text{ MeV}$.

второго поколения, равна $2,04 \pm 0,76$ MeV.

В 1948 г. Минцелев и Шерб [25] сообщили, что γ -линия с $E_{\gamma} = 2,3$ MeV следует за каждой β -частицей. Между тем она следует за β -частицами в 5,5 % распадов.

7) Бор и супердублетные ядра, в которых следуют эти же механизмы, но с меньшей вероятностью. Суммарная вероятность распада ядер Be^{10} , равна 100 % распадов.

8) Общая численность избранных и авторы [9], получившие заслуженные звания на конференции, включая членов научно-технических комитетов, - 54, 000 чел.

3). При анализе опытов по корреляциям [40] не учитывается длина излучающей линии $b_0 = 996$ см.

СТАВРОПОЛЬСКИЙ ЧЕ-

и сделать ряд заключений
о ходе энергети

$\text{Molar mass} = \frac{\text{Molar mass}}{\text{Molar mass}} \times 1000 \text{ g/mole}$ (e.g., $\text{Molar mass} = 12.00 \text{ g/mole}$)

показывает, что статистическая ошибка, так как относительно этого вида измерений, имеет выходом при делении тяжелых симметрических ядер на полускальца. Наиболее характерная кривая распада Ba^{140} , приведенная в [5], изображена на рис. 11.

Однозначно в этой схеме прямого перехода из основного уровням Ba^{140} и La^{140} невозможно, так как этот переход должен быть сильно запрещен. Независимо от того, каково основное состояние La^{140} , следует учесть, что β -переходы из $+0$ Ba^{140} в основное состояние La^{140} и с него из $+0$ Ca^{140} должны иметь приблизительно одинаковую f/T . Если в β -спектре La^{140} переход из основного уровня имеет интенсивность $< 1\%$ (изменяется он был бы замечен), то для него $f/T > 1.3 \cdot 10^{21}$. Принимая схему рис. 11, мы можем заключить, что самая жесткая компонента β -спектра Ba^{140} должна иметь энергию 4.21 MeV; тогда при $f/T > 1.3 \cdot 10^{21}$ она должна иметь $T_{1/2} > 1.6 \cdot 10^6$ сек, т. е. относительную интенсивность $< 0.071\%$. Конечно, заметить на сейте очень слабую компоненту, находящуюся Рис. 11. Схема распада Ba^{140} на фоне более яркого спектра дочернего La^{140} , практически невозможно.

¹⁰ Вай — четко-четкое ядро; согласно эмпирическому правилу Гольдгабера—Сансира [39] оно должно иметь первый возбужденный уровень типа +2, а согласно рис. 10 этот уровень должен лежать на частоте ~1300 keV; возможно, что это — первый коллекторный уровень ядра Вай.

$\text{Ca}_{\text{M}}^{160}(\beta^-, T = 0.5 \text{ MeV}), \text{Ne}_{\text{M}}^{160}(\beta^-, T = 10-16 \text{ e.v.})$

Об излучении этих изотопов нет данных. Исходя из расчета, можно предположить, что в γ -спектре Ca^{40} должна быть одна линия при ~ 1300 кэВ.

$P_{T_m}^{160}(\beta^+, K, T = 3,4 \text{ mm})$

Относительно излучения Pr^{140} известно следующее:

1) Рис. 100 испускает позитроны с верхней границей ± 0.02 MeV [51] (по старым данным 2.40 ± 0.15 MeV [14]).

2) Р₄₄₀ захватывает ятомные электроны. Согласно [1], вращение Р₄₄₀ происходит с захватом *K*-электрона, 5% — с *L*-электроном и 58% — с испусканием позитрона; согласно [13] К-захват

3) Помимо анигиляционного излучения наблюдалась только монокроматическая вспышка с энергией 1–1,2 MeV [51, 53], появляющаяся при быстрых столкновениях с $E_{\text{kin}} > 150$ эВт.

4) Поиски конверсионных линий, производившиеся в сцинтилляционном счетчике с двойной фокусиркой [51], не дали положительных результатов.

Приведенные данные позволяют сделать заключение об основном состоянии Pr^{140} :

то как нет иных квантов в числе сопутствующим в числе протонов, кроме двух нейтронов, что большинство превращений проходит между состояниями Pr^{140} и Ce^{140} .

Согласно [51] $E_{\gamma} = 1,4 \cdot 10^4$, $T = 3,4 \pm 0,1$ мин.

5) Изменение f/T для Pr^{140} в числе разрешенных. Ферми-диаграмма для Pr^{140} представлена в работе Брауна и соавторов [52].

Было получено значение отношения β^*/K для этого состояния, равное +1 при $Z_{\text{np}} = 58$ и $W_{\text{np}} = 5,37 \text{ MeV}$, согласно расчетам Брауна и др. [51].

$\beta^*/K = 0,58$ для Pr^{140} согласно расчетам Брауна и др. [51]. Оба значения вероятно не могут быть одинаково отличаются от теоретических.

Так как основное состояние имеет четными числами протонов и нейтронов, с вероятностью типа +0, то основное состояние Pr^{140} должно быть типа +1, если действует правило отбора Таллера, и +0, если действует правило отбора Ферми.

Теория оболочек не дает однозначных предсказаний типа состояний ядра с двумя нечетными частицами. Хотя Pr^{140} относится к ним, правила, по которым выводы могут быть сделаны.

Согласно Pr^{140} , определяющийся поведением 59-го протона, разен $5/2$; первая оболочка указывает тип $d_{5/2}$. Следующая оболочка имеет 81-го нейтрана, разен $3/2$; теория оболочек указывает тип $f_{7/2}$. Для Pr^{140} 59 протонов и 81 нейtron, поэтому естественно попытаться комбинировать эти типы. Согласно эмпирическому правилу Нордгейма при складывании типов $j_1 = l_1 + 1/2$ и $j_2 = l_2 - 1/2$ получается состояние с полным моментом $(j_1 - j_2)$. В данном случае это состояние — типа +1 в согласии с данными по β -распаду (см. выше). Если этот вывод правлен, то превращение Pr^{140} является тензорным или аксиально-векторным силами, при которых разрешен переход типа +1 \rightarrow +0.

Помимо перехода в основное состояние Ce^{140} в Pr^{140} , должен происходить переход на первый возбужденный уровень Ce^{140} , имеющий энергию возбуждения 1597 keV и принадлежащий к типу +2. Следует отметить, что β -переход +1 \rightarrow +2 является по правилу отбора Таллера разрешенным. Определение f/T для этого перехода может оказаться решающим для установления типа этого уровня.

Согласно [53] existence т-лучи появляются приблизительно в 2% распадов Pr^{140} . Следовательно, для изучения перехода на уровень 1597 keV Ce^{140} .

$$I(\beta, \gamma) = I_{\text{расп}} \cdot \frac{\lambda_K}{\lambda_B}$$

$$I(\beta, \gamma) = 1,547 \pm 0,63 \text{ MeV}$$

Изменение $\frac{\lambda_K}{\lambda_B} = 71$ и $f(T_B) = 1.0$, согласно графику [54], мы имеем $I(\beta, \gamma) = 50 \cdot 204 \cdot 72 \cdot 0.16 = 1.2 \cdot 10^{-4}$, т. е. значение, типично для конверсионных β -распадов. Таким образом, наличие конверсионных

записи в счетчике не спасет нас от ошибки, поскольку при испытаниях уровня 1597 keV Ce^{140} в типе +2, к сожалению, сведенная в один из случаев только приведенных.

Однако, если бы основное состояние Pr^{140} было типа +0, то переход $+0 \rightarrow +2$ был бы запрещенным и поэтому т-лучей практически сорвали бы.

$$I(\beta, \gamma) = I_{\text{расп}} \cdot \frac{\lambda_K}{\lambda_B}, T = 3,3 \pm 0,1 \text{ дня}$$

Nd^{140} был получен дважды [51, 53], оба раза по реакции $\text{Pr}^{141} + \text{Zn}^{64} \rightarrow \text{Nd}^{140} + \text{Ce}^{140}$. Помимо, он не испускает никаких частиц и г-лучей, а только захватывает атомные электроны (по расчетам Брауна и др. [54] 74 % K-захватов и 26 % L-захватов).

Так как Nd^{140} имеет четные числа протонов и нейтронов, то его основное состояние должно быть типа +0. Переход в основное состояние Pr^{140} , принадлежащее к типу +1, должен быть разрешенным.

Полагая, что f/T для этого перехода $(+0 \rightarrow +1)$ такое же, как для перехода $+1 \rightarrow +0$ в $\text{Pr}^{140} \rightarrow \text{Ce}^{140}$, можем найти энергию ΔE для разности масс Nd^{140} и Pr^{140} :

$$\Delta E = 1,4 \cdot 10^4, \quad T = 2,85 \cdot 10^4 \text{ сек}, \quad f/K = 10^{-4}$$

Экстраполируя кривые для $f/K = f(\Delta E)$, приведенные в работе дельта-Бернштейна [55], получаем

$$\text{Nd}^{140} - \text{Pr}^{140} \approx 110 \text{ keV}.$$

Из данных рис. 12 можно видеть относительное расположение масс Ba^{140} , La^{140} , Ce^{140} , Pr^{140} и Nd^{140} в единой энергетической шкале. Атом-

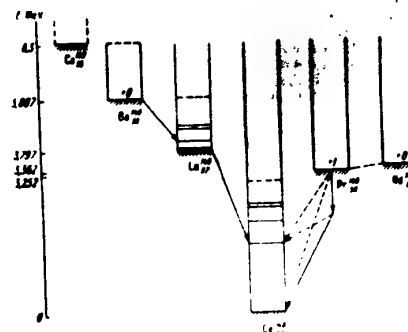


Рис. 12. Энергетическая диаграмма (рис. 12) для ядер Ba^{140} , La^{140} , Ce^{140} , Pr^{140} и Nd^{140} в единой энергетической шкале.

мально плотная упаковка Ce^{140} , вероятно, свидетельствует о заполнении оболочки из 82 нейтронов.

Редактор статьи
В. Г. Хомич
Академия наук ССР

Редактор Ю. В. Хольнов

卷之三

На рисунке 10 изображена ядерная решетка Al_2O_3 , состоящая из твердо установленной в щелевом окне волнистой пластины из никеля, имеющей форму квадрата со стороной 100 мкм и толщиной 0,5 мкм. Пластина имеет в центре отверстие диаметром 411 мкм Hg^{198} , которое испаряется и подвергается радиоактивному излучению.

В последние годы появилось, однако, много новых работ, посвященных

ых излучений Au^{198} . Наиболее важные результаты этих работ определены в новых точках с $E = 676$ и 1089 keV, установление их характеристики и взаимодействия с ними β^- - γ - γ -исопадения.

В связи с этими работами и возросшим интересом к схеме распада Au^{198} , предложенная вспомогательная схема Au^{198} для пополнения

Целью наших измерений было более точное, чем в предыдущих работах, определение относительных интенсивностей т-лучей Au¹⁹⁸. Измерения производились при помощи ретротра [2]. Источником т-лучей служили пакеты цинкдирида $\phi = 2$ мк и длиной 6 мк, облученный кислородом и изотопами азота, плотностью 2 Си.

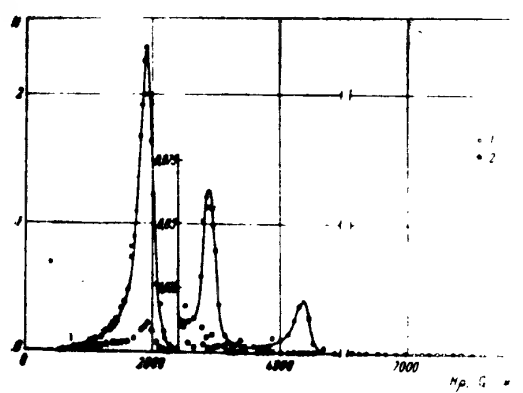


Рис. 1. У-спектр Au^{197} , экспериментальная кривая: 1 — точки, полученные с мишенью, находящейся в куче; 2 — точки, полученные с мишенью, выведенной из кучка (фото)

На рис. 1 изображены полученные нами экспериментальная кривая и теоретическая кривая приведены в масштабе, увеличенном в 20 раз.

На рис. 2 приведен γ -спектр, полученный в результате обработки спектра из рис. 1. На рисунке изображены пять максимумов, соответствующих различным давлениям газа в полости прибора. Слева от каждого из пяти максимумов в таблице приведены средние величины и интенсивности, полученные в результате обработки спектров из трех работ [4-6].

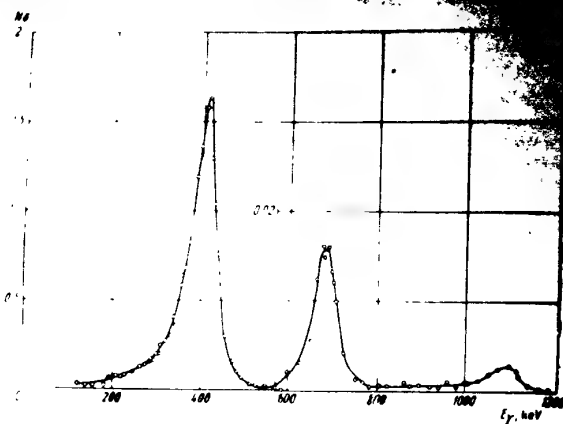


Рис. 2. Тот же спектр, что на рис. 1, но в обработанном виде

Для того чтобы исключить влияние газа, заполняющего прибор, на результаты наблюдаемых максимумов, были проведены три серии измерений при разных давлениях заполняющего газа (гелий +4% метана): 32, 16 и 7 см³ ст. рт. ст. Результаты всех трех серий соглашаются между собой в пределах 6 %. В таблице приведены средние величины и интенсивностей по этим сериям.

Для того чтобы выяснить, не исчезает ли спектр еще более высокие лучи, мы провели измерения в основной серии до $h\nu = 3000$ keV; никаких γ -лучей мы не нашли. Была проведена также дополнительная серия измерений в условиях повышенной в 25 раз светосилии бериллиевая мишень толщиной 0,4 мм, расширенные до 7 мм щели спектрометра [2]).

Результаты этих опытов показали, что интенсивность испускаемых Au^{196} γ -лучей с энергией 1100 + 3000 keV не больше, чем $1,5 \cdot 10^{-4}$ кванта на распад.

3. Обсуждение спектра Au^{196}

Жесткие γ -линии Au^{196} были обнаружены Кларкитом, Туриером, Бумером и Дэниелом в 1951 г. [6]. Суммарные относительные интенсивности γ -линий измерялись в шести работах. Результаты всех работ собраны в таблице.

В работах [3, 5, 7] γ -спектр изучался по спектру фотоэлектронов, полученному на магнитных спектрометрах. Общие затруднения для этих исследований — необходимость разделения наблюдаемого спектра на компоненты и сложности определения спектральной чувствительности счетчиков.

В работе [6] интенсивности определялись по отношению измеренных спектральных распределений электронов сечеч, наблюдавших

Габор и др. (1951) [4]		Каванаг и др. (1951) [6]	
412	100	410 ± 8	100
463	1,4 ± 0,1	671 ± 9	1,5
678	0,25 ± 0,05	1082 ± 13	0,4

Джилмот и др. (1954) [7]		Мэйдер и др. (1954) [8]	
411,77	100	410 ± 2	100
678,5 ± 0,8	0,842 ± 0,056	680	1,3
1088,9 ± 0,9	0,17 ± 0,012	1080	0,25

Данные работы				
E_{γ} , keV	Относительная интенсивность (20 см ул. от.)	Относительная интенсивность (6 см ул. от.)	Относительная интенсивность (10 см ул. от.)	Прямые относительные интенсивности
412 ± 4	100	—	905	100
680 ± 7	1,14	—	1,10	1,11 ± 0,05
1088 ± 10	0,26	—	—	0,26 ± 0,02

мых γ -лучами разных энергий из алюминиевого излучателя, который помещался в фокусе линзового спектрометра. Значительная толщина излучателя (130 μ Al) не позволила авторам полностью разделить эффекты, называемые различными γ -линами.

В работах [4, 8] γ -спектр изучался при помощи люминесценции спектрометра; точность этих измерений невелика.

Сопоставлению в основном подлежат результаты измерений Джилмота и др. [7] и наши. Они отличаются друг от друга в радиусах измерений, что позволяет указанные авторами погрешности.

Энергия основной γ -линии Au^{196} наиболее точно и методом спектрометра Дю-Мондом и сотр. [9] — $h\nu = 411,77 \pm 0,04$ keV. Спектрометр [9] измерял наиболее точно измерено Джилмотом. Пространство между излучателем и детектором было 10 см, а не 20 см, как в работе [7], и $h\nu = 678,5 \pm 0,8$ и $1088,9 \pm 0,9$ keV. γ -Лучи с $h\nu = 411,77$ keV были обнаружены также при K -захвате в Tl^{196} [10]. Это должно означать, что захваты происходят в Hg^{196} . Другим доказательством этого является то, что разность энергий конвергенционных электронов, выбитых из K -захвата, равна 66,5 keV для $h\nu = 411$ keV [1], $67,9 \pm 0,6$ keV для $h\nu = 678$ keV и $68,0 \pm 0,5$ keV для $h\nu = 1089$ keV [7], в то время как разница между $K - L$ должна быть 64,2 keV для Pt, 66,1 keV для Au и 68,1 keV для Hg .

В этом параграфе мы

занесли в 1.Х.1954.г.

1. Основная компонента β -спектра имеет энергию $E_{\beta} = 1,6 \text{ keV}$ (среднее измеренное из результатов изучения $\beta - \gamma$ -совпадений для Au^{198}). Форма спектра формируется [1, 7]. Мягкая ($E_{\beta} = 1371 \text{ keV}$) компонента β -спектра ионотомографа не может вызвать заметных отклонений от приведенных ниже результатов.

2. Мягкая компонента β -спектра обнаружена Каванагом и др. [7] в изучении $\beta - \gamma$ -совпадений для Au^{198} . В этой работе сцинтилляционный счетчик настроен на жесткую γ -линию (1086 keV), что регистрировалась счетчиком Гейгера—Мюллера. Изучалось изменение интенсивности β -спектра в зависимости от толщины фильтра, помещаемого перед счетчиком. Совпадения пропадают при толщине фильтра, соответствующему $E_{\beta} = 1371 \text{ keV}$. Для мягкой β -компоненты водят на основе возбужденный уровень Hg^{198} . Значение $E_{\beta} = 290 \pm 15 \text{ keV}$ получено тем же методом в работе Броси и др. [4]. В ней изучено совпадение между γ -квантами 680 keV (сцинтилляционный счетчик) и выделенным по энергии при помощи линзового спектрометра излучением β -частицами.

3. Жесткая компонента β -спектра обнаружена Залютом и др. [7]. Он имеет граничную энергию $E_{\beta} = 1371 \pm 6 \text{ keV}$ и относительную интенсивность $(2,5 \pm 0,5) \cdot 10^{-4}$ β -частиц на расстоянии.

Так как граничный энергия жесткой компоненты совпадает с суммой энергий основной и мягкой компонент и γ -линии ($1370,5 \pm 1,7 \text{ keV}$), то естественно принять, что жесткая компонента возникает при распаде Au^{198} на основной уровень Hg^{198} . Форма этой слабой β -компоненты, специально изученная в работе [7]

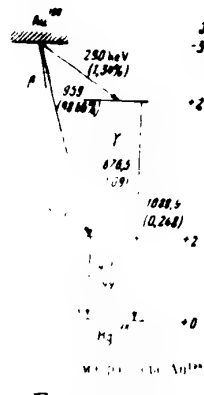
Ниже приведены выше данные о β - и γ -спектрах, явившиеся основой для изучения распада Au^{198} , изображенной на рис. 3 [7]. Опыты с $\beta - \gamma$ -совпадениями [4, 16] и $\beta - \gamma$ -совпадениями [16] подтверждают ее правильность.

Основное состояние Hg^{198} ядра с темным числом протонов инейтронов вероятно принадлежит к типу +0.

6. Квантовые характеристики первого возбужденного уровня Hg^{198} определены в [1], абсолютное значение коэффициента конверсии $h\nu = 411 \text{ keV}$ на K -захват для излучения K_L и в) и отношения E_{β}/E_{γ} для того же излучения. Величина E_{β}/E_{γ} определена в работах [1, 3, 5, 13, 17, 18]. Наиболее точное значение (ошибка меньше 1 %) она определена в работе [18]: $x_K = 0,0307 \pm 0,0008$. Это значение очень хорошо согласуется с теоретическим значением для перехода $E2$ (интерполированное значение, полученное расчетом по методу кулоновского поля [18]): $x_K = 0,031$ для $E_{\beta} = E_{\gamma}$, $x_K = 0,16$, для $E_3, E_4, \dots, x_K > 0,082$ для $M_1, M_2, \dots, x_K < 0,4$.

Определили x_K в работе [18] равен $0,0307 \pm 0,0008 \approx 3,0$, включая поправку для поправки изменения по кривой Гольдгабера и Сандри [20] для перехода типа $E2$ равно 2,7.

Слан и Хилл [21] определили отношение вероятностей β -распада γ -лучей 411 keV на L_{II} и L_{III} полуровнях: по их данным $L_{II}/L_{III} = 0,4$.



При измерении $E_{\beta} = 1371 \text{ keV}$ коэффициент $fT = 0,0084$, что прекрасно согласуется с теоретическим значением для перехода типа $E2 = 0,007$; для $M1 = 0,0148$ и для $M2 = 0,06$.

Измерение $E_{\beta} = 290 \text{ keV}$ проводят также экспериментальное значение $x_K = 6,8 \pm 0,5$, получаемое с величиной 6,8, полученной путем изучения излучения кривой Гольдгабера и Сандри [20] для излучения $E2$. Таким образом, второй возбужденный уровень Hg^{198} тоже является первым, имеет единицу 2 и четность +.

9. Идентификация первого и второго уровней подтверждается сравнением с теоретической измеренной в работе [7] коэффициента конверсии для γ -лучей 676 keV . Он оказался равным $x_K = 0,0224 \pm 0,0019$, что соответствует теоретической величине [25] для смеси из $(32 \pm 6) \% M1$ и $(68 \pm 6) \% E2$ -излучения (для $M1 x_K = 0,047$, а для $E2 = 0,0111$).

10. Приведенная идентификация уровней Au^{198} находится в хорошем согласии с результатами измерений угловой $\gamma - \gamma$ -корреляции для $h\nu = 411$ и 676 keV [26—28].

Однократный тип уровней $411 \text{ keV} \text{ Hg}^{198}$ и $1089 \text{ keV} \text{ Hg}^{198}$ косвенно подтверждается также близостью значений fT для переходов Au^{198} на эти два уровня (см. в. 11).

11. Прямое измерение спина Au^{198} , произведенное Ройльдом и др. [9], привело к значению 2. Таким образом β -переход $\text{Au}^{198} \rightarrow 0 \text{ keV} \text{ Hg}^{198}$ принадлежит к типу $2 \rightarrow +0$. Для этого перехода $E_{\beta} = 1371 \text{ keV}$, $fT = 0,025 \%$ и, следовательно, $\lg fT = 11,7$. Столь высокое значение fT указывает на порядок запрещения не ниже 2. При типе Au^{198} 2 порядок запрещения был бы первым, поэтому основного состояния Au^{198} по видимому, +2. При этом оба β -перехода на возбужденные состояния Hg^{198} принадлежат к типу $+2 \rightarrow +2$, т. е. должны быть разрешенными. Величина $\lg fT$ для этих переходов $-7,4$ и $7,6$ показывает на эти выводы. Однако в настоящее время известны и другие случаи, когда разрешенные переходы имеют аномально большую fT , несмотря на различия структур исходного и конечного ядер.

12. Относительно перехода $\text{Au}^{198} \rightarrow \text{Pb}^{198}$ имеются следующие данные.

В [30] определен верхний предел для отношения $L_{II}/L_{III} = 3,5$. Каванаг и др. [6] при помощи линзового спектрометра излучения обнаружили две мягкие γ -линии 166 keV и 188 keV , соответствующих конверсионным линиям они не обнаружены. Включение, что это рентгеновские линии. Они появляются вследствие вылета конверсионных электронов при распаде. Вторых, вследствие ионизации β -частицами атомов и газов. Верхнего предела интенсивности K -захватной ветви в этом случае не превышает величина 8 %.

В работе [31] оценка интенсивности K -ветви производится на основе измеренного поглощения рентгеновых лучей, возникающих при распаде. Установлено, что если K -захват в Au^{198} и происходит с одинаковой вероятностью, меньшей 0,4 % от вероятности β -распада.

11 [Comments](#) | [Report Abuse](#)

Л. Н. ЖУКОВСКИЙ

ИССЛЕДОВАНИЕ УРОВНЕЙ ЛЕГКИХ ЯДЕР МЕТОДОМ МАГНИТНОГО АНАЛИЗА

Изучение спектров продуктов ядерных реакций ищет более эффективных методов ядерной спектроскопии с помощью магнитного анализа энергии заряженных частиц в результате реакций, позволило в последние времена повысить точность результатов и разрешающую способность энергетических уровней ядер.

Однако рядом случались такие исследования, базирующиеся на малом диапазоне энергии возбуждения. Такими, например, были работы [1] для бомбардировки мишеней в них применялась энергия всего в 2 MeV. Поэтому при достаточно высокой разрешающей способности прибора, полученных в этих опытах давали сведения об уровнях исследованных ядер лишь в области низких энергий возбуждения.

Нужно отметить большую грубоемкость примененного в этих опыта метода регистрации заряженных частиц — счета следов в фотозумму и измерения их длии, счет следов позволял оценить интенсивность исследуемых групп, измерение длии **этых** следов — природу образующих группы частиц.

Изучение языка

В наших опытах энергия продуктов ядерных реакций изучалась с помощью магнитного анализа. Постановка опытов, однако, была различной от постановки опытов указанной выше авторами. В нашем

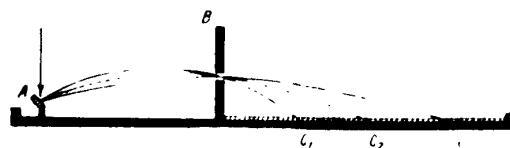


Рис. 1. Схема спектральной камеры для измерения поглощений в атмосфере звездного света.

Все изученные моногипергетических цепочки включают в себя мишень А (рис. 1), в которой находят место симметрии Р-ядра и однородном магнитном поле. В мишени А, как правило, вылагавшую из мишени заряженной частицей траектория и, пройдя через узкую щель

Последствием этого в каше оказалась любая нестабильность действующей спектрометрической схемы, она оказывалась одновременно на всех группах спектра.

Получение визуально наблюдаемых спектрограмм позволяло значительно ускорить обработку пластинок. От счета следом появлялись переносы в исследованию относительной интенсивности групп промежуточных микрофотометров. Такая, несомненно, более быстрая, обработка результатов дала нам возможность изучить целую серию спектрограмм для каждого из исследованных элементов. Благодаря такой многократной проверке воспроизводимости результатов можно было исключено большинство

Фокусировка и дисперсия в нашем катализаторе не были оптимальными, так как анализируемые частицы попадали не на 180° . Это обстоятельство, а также применение бетона в качестве мишени обусловило то, что полученные в наших условиях значения ядерных сечений и распределение способности прибора были ниже, чем в опытах Блюхера и др. Энергия большинства уронившихся частиц ядер была определена с помощью шкалы 20–30 keV. В случае применения более толстых циркониевый (например для машин и времени) погрешность увеличивалась до 40–50 keV, а в случае более тонких (например для углерода и золота — города) — уменьшалась до 10–15 keV.

Все измерения проводились в одинаковых условиях. Правда, в опыте участвовали две группы. Одна из групп состоялась из-за того, что в определенный момент времени, поэтому из-за этого измерение не могло быть проведено. Вторая группа состояла из двух измерений, сделанных в одинаковых условиях от двери, содержащих одинаковую массу, при наличии одинакового количества отраженных световых пучков, для каждой из которых среднее значение из отдельных измеренных

Исследование систем узоров возбуждения некоторых легких ядер
Из серии исследований

Из серии исследованийами легких ядер для — Человека

Последование спектрического сканирования ядер в области высоких энергий обнаружено в работе [11].

На рис. 2 (см. вклейку, стр. 280) представлена регистрация рентгеновских спектров с энергетическими структурами исследованных нами ядер. Как показывает сравнение этих спектров, наиболее простыми из всей серии являются спектры углерода и кислорода.

312

В опытах с углеродом мышью служил слой сажи, нанесенный на подложку из медной фольги толщиной ~ 0.5 мк. На фотография спектра углерода (рис. 2, а) справа вверху видна яркая линия, обусловленная действием отрицательных ионов от магнита. Она отчетливо видна на верхней половине пластинки, экспонированной без фильтра и отсутствует на нижней, закрытой фильтром.

микротрограммы обеих половинок этой фотопластики приведены на рис. 3. Из них видно, что в исследованном нами времеточном интервале имеются четыре группы протонов от реакции $\text{C}^{14}(p, \gamma)\text{N}^{15}$. Одна из этих групп, с индексом (1)(0), соответствует переходу ядра в основное состояние, три остальные характеризуются энергией ядра ядра C^{14} . При энергии бомбардирующих частиц в $E = 1.4$ MeV группа протонов $\text{C}^{14}(0)$ совпада по положению с группой ядер, отраженных упруго от ядра C^{14} . Поэтому на криптон-1 рис. 3 изображены ядра не закрытой фильтром части фотопластики.

Как масса ядра C^{12} , так и Q_0 для реакции $C^{12} + p \rightarrow C^{13}$ и нестабильность ядра тоже определены двумя независимыми способами — по данным магнитному анализу продуктов этой реакции [7] и из масс-спектро-

изотопических измерений [8]. По предварительным расчетам, величина Q_0 для указанной реакции была приблизительно равна 100 МэВ.

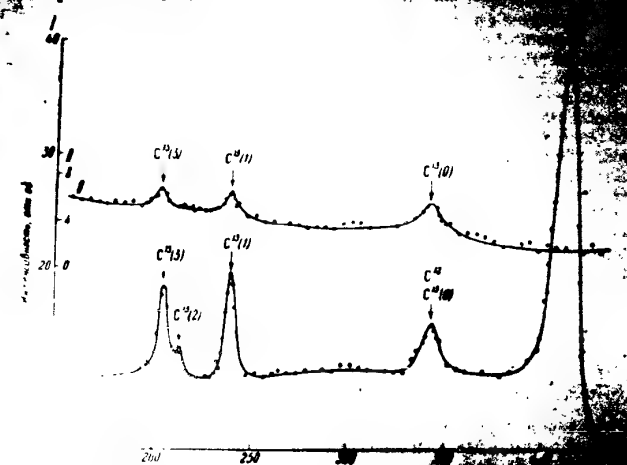


Рис. 1. Многофотографии спектра углерода ($E_d + C_{12}$) на фильтре I (спектр в открытом фильтре, II — спектр на закрытой фильтре).

На рис. 1 дана сводка данных об уровнях ядра C^{12} , полученных в ходе данной работы, так и по измерениям других авторов [9—11]. На рис. 2 приведены спектры изотопов углерода C^{13} и C^{14} при энергии уровней C^{12} определении при помощи

Таблица 1

Уровни возбуждения ядра C^{12} (в МэВ)

№	уровня	Настоящая работа	Ван-Паттер в др. [9]	Ребблит [10]	Конн и др. [11]
1		3,10 ₇	3,096	3,11	3,13
2		3,69 ₇	3,686	3,68	3,68
3		3,86 ₉		3,85	3,83

анализа. В двух остальных работах — по измерению пробегов протонов. Ввиду простоты спектра углерода для его исследования мы проанализировали только три излучинки.

Кислород

Для получения спектра кислорода мы применяли мишени из окиси вольфрама, напичтенные на медные фильтры. Кроме того, были использованы данные, полученные при бомбардировке лейтонами магнезийского магния. Этот штабель был заметно осложненным, поэтому не



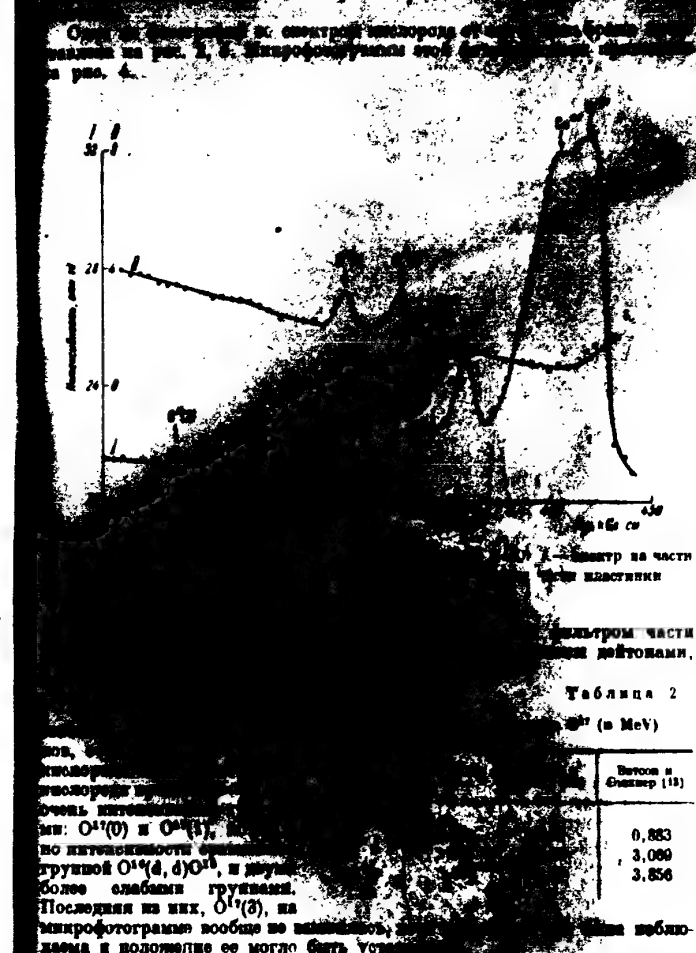


Таблица 2

E_{α} (MeV)

	Баланс и Фанкель [13]
$^{17}_{\alpha}O$	0,883
$^{18}_{\alpha}O$	3,066
$^{19}_{\alpha}O$	3,856

зах, что в результате спектра гелия-3 на кислороде отсутствуют ядра, соответствующие изображенным на рис. 2, т.е. микропроекции этих ядер не были получены на микрофотографии, изображенной на рис. 4.

В табл. 2 даны полученные нами значения энергий, соответствующих различным уровням ядра O^{17} . Они основаны на измерении тока, проходящего по спектром гелия-3 на кислороде от оникса вольфрама в четырех различных точках мишени. Для сопоставления в табл. 2 приведены также данные других авторов. Уровни O^{17} были получены или из излучения или из поглощения ядер $^{17}_{\alpha}O$, или в реакции этого типа: $^{17}_{\alpha}(d, \alpha)^{17}_{\alpha}$. Данный же метод изучения ядерных уровней неизвестен.

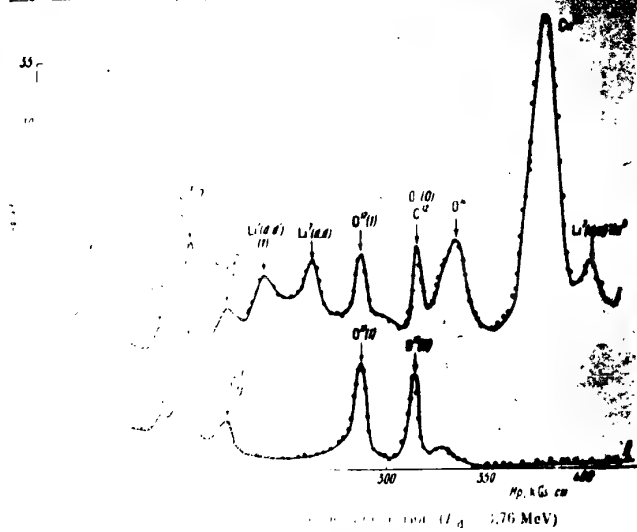
3. Спектр фанкеля, то есть

Л. М. Хрипачко

$Q_0 = 1,88$ MeV. Наиболее достоверные значения из литературных данных — это $Q_0 = 1,63$ MeV (Барроуз и др. [14]), $Q_0 = 1,918$ MeV (Клема и Филлипс [14]). Наше значение было методом магнитного анализа и потому дано у Барроуза и Чайлда.

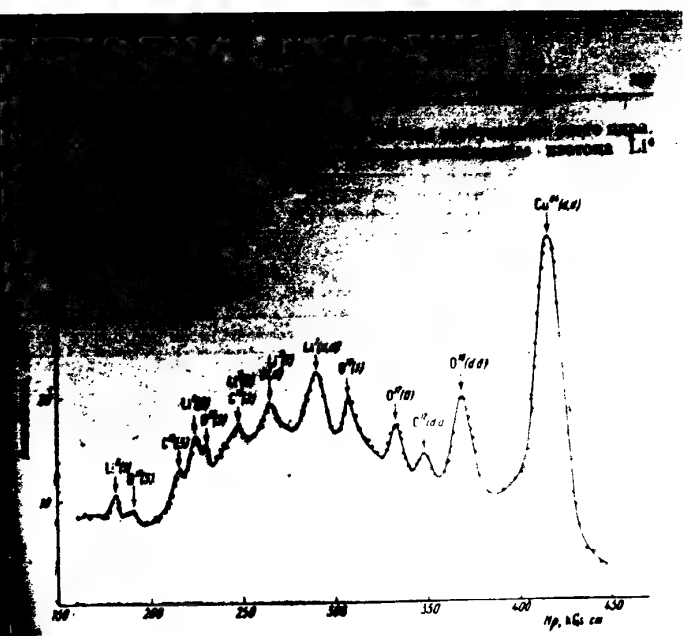
Литература

В этих опытах на медную подкладку осаждались силикагель, получавшийся при окислении металлического литья в вакууме мишени бомбардировались deutонами с $E_d \approx 3,7 \pm 4,7$



На рисунке 5 приведен спектр литья, полученный в работе [14] при $E_d = 4,00$ MeV. Спектр был получен в вакууме при помощи deutонов. Представленные на рисунке 5 результаты показывают, что при $E_d = 4,00$ MeV зарегистрировали ряд групп дейтонов, относящихся к ядерному состоянию $O^{(7)}I$, группу дейтонов, относящуюся к ядерному состоянию $O^{(7)}II$ — и группу дейтонов, относящуюся к ядерному состоянию C^4 . Трансцендентностью Li^* — это ядерное состояние, для которого мы могли произвести измерения в различных литературных источниках.

На рисунке 6 приведен спектр ядра Li^* , полученный нами при $E_d = 3,7$ MeV в вакууме при помощи deutонов. Они сравниваются с таблицами энергии этих уровней при изотопах ядерных реакций. На наших спектрах мы видим пять групп протонов, соответствовавших изотопам Li^* , в которых принимал участие студент ДМФ В. А. Григорьев.



6. Микрофотограмма спектра литья ($E_d = 4,00$ MeV) на части пластика без фильтра

Таблица 3

Уровни возбуждения ядра Li^* (в MeV)

Настоящая работа	Данные других авторов				
	0	K*	E*	Реакция	Автор
1 —0,47 ₀	0,47 ₀ (из d, d')	0,483 0,477 0,478	(d, p) γ-лучи (p, p') и (d, d')	Бланнер и др. [1] Айзенберг и Луриттес [15] Вильямс и др. [1]	
2 (0,56 ₀)	(4,45 ₄) (из d, p)	4,56 4,61	(p, p') (d, p)	Френчел и Томпсон Гелинс и Ньюмен [2]	
3 —1,51 ₀	6,53 ₀ (из d, p)	6,56	(p, p')	Френчел и Томпсон [2]	

На рисунке 7 приведены данные по очень большим сечениям $Li^*(d, p) Li^*$ реакции для указанных первых. Поэтому для расчета уровней Li^* нами было принято значение $Q_0 = 0,900$ MeV, определенное для этой реакции Стротом и др. [7]. Одна из групп уровней возбуждения Li^* была нами определена из спектра, полученного путем отсеваения дейтонов от основного изотопа Li^* и из спектра, полученного путем отсеваения дейтонов, соответствующих реакции $Li^*(d, d') Li^*$.

была отчетливо выражена на всех изученных уровнях ядра Li^6 , включая и самую высокую, восьмью интенсивной.

Наблюденный нами в результате реакции $\text{Li}^6(\text{p}, \text{n})\text{Be}^7$ уровень $0^+(1)$ ядра Be^7 с энергией возбуждения $6,53 \text{ MeV}$ ранее был наблюден в результате реакции $\text{Li}^7(\text{p}, \text{n})\text{Be}^7$ [3] с энергией возбуждения $6,53 \text{ MeV}$ ранее был наблюден в результате реакции неупругого рассеяния протонов [17]. В реакции (4) мы наблюдали этот уровень впервые в наших опытах.

Таблица 4

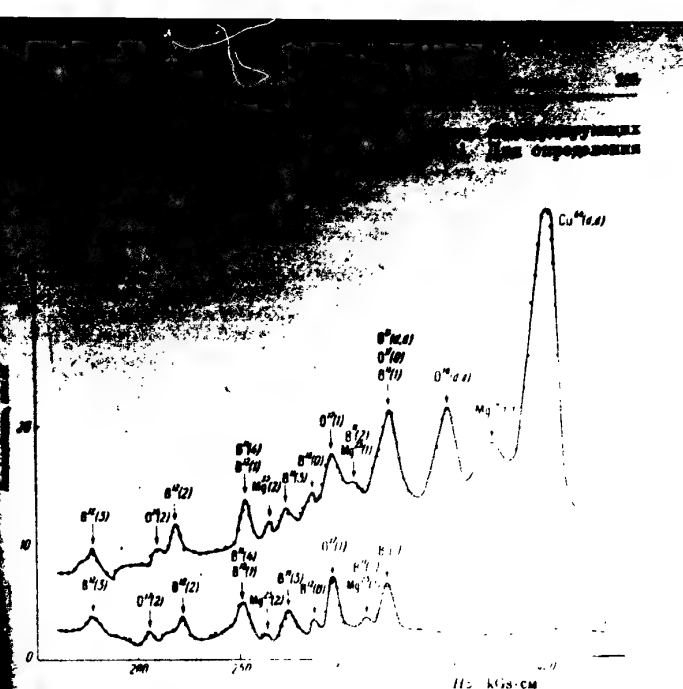
Уровни возбуждения ядра Li^6 (в MeV)

№ группы	Метод	Данные других авторов	
		Автор	Литература
1	Метод протона	Шауль [19]	
2	Метод гамма-излучения	Стрет и др. [7]	
3	Метод гамма-излучения	Вильямсон и др. [18]	
4	Люкс и Харис [20]		

Сравнение уровней ядра Li^6 , полученных в результате реакции (4), приведены в табл. 4. Группа протонов, характеризующаяся наличием в основном состояние, была восьмью интенсивной и четко различима. Значение Q_0 для этой реакции, полученное в наших опытах, согласуется с данными ряда авторов, применившими самые различные методы. Эти данные позволяли вполне надежно установить наличие восьмиступенчатого спектра, считавшегося не вполне достоверным и определявшимся в [21].

$$E_p = 1,0 \pm 0,2 \text{ MeV}.$$

На рис. 7 изображающих действующих вероятностях в спектре ядерных частиц, не проходящих через фильтр (см. рис. 5, а), можно видеть, что в контрольные опыты по гамма-спектрометрии установлено, что она состоит из α -частиц и возникает в результате реакции $\text{Li}^7(\text{p}, \alpha)\text{He}^4$. Энергия этой реакции, определенная нами на основе изучения пластинок, оказалась равной $E = 13,71 \text{ MeV}$. Сопоставление ранее значения этой величины [21-23] колеблется в пределах $13,43 \pm 14,3 \text{ MeV}$; они были определены методами, дающими меньшую точность, чем наш, поэтому приведенные нами значение Q может быть использовано для уточнения массы ядра He^4 . Принимая для масс реагирующих ядер значение, приведенное в работе Даллеснова и Л. Зыряновой [24], мы получаем



Л. М. Хромченко

В наших опытах оквачен диапазон Q , соответствующий формальным уровням B^H , поэтому Q_0 и уровни, близкие к основному состоянию, в наших спектрограммах отсутствуют.

В табл. 6 мы приводим сводку уровней B^{\pm} , получающихся в результате (d, p) реакции на основном изотопе бора. Они сопоставлены с данными работ других авторов, собранными в обзоре Айзенберга и Циртесена [1].

Однако в реакции $\text{D}^0 + \text{p} \rightarrow \text{p} + \text{D}$ было измерено в опытах Бюхнера и др. [2] Ими было получено значение $Q_0 = 1,136$ МэВ. В наших опытах значение Q_0 для реакции $\text{D}^0 + \text{p} \rightarrow \text{p} + \text{D}$ было определено как 1,140 МэВ. Этими же авторами была замечена стриринг-характеристика, соответствующая первому уровню возбуждения $1/2^+$ ядра D [2].

Уральск. Ученые из Института ядерной физики Уральской Академии наук в сотрудничестве с группой из Университета Монреаля (Канада) изучили ядерные реакции ионного типа — $\text{Be}^7(a, p)\text{B}^{10}$.

Изменение энергии ядра бора в результате ядерной реакции известно из работы М.А. Провенса 1,82 MeV в (d, p)-реакции на ядро бора. Наиболее высокий уровень мы зарегистрировали также в результате ядерной реакции на ядро бора. Если интересовать

вопросу о том, что же такое ядерный изотопный барьер. Если изотопные реакции на основном изотопе Ca^{40} происходят на соответствующем уровне B^{18} , то она разбирается в публикованной после направления в научную

Маркет

и магния пристворялись нами путем испарения металлического и золотного состава на мечную фольгу. В отличие от предыдущих случаях, я заметил описанные выше превращения магния представлена на рис. 2, e. Мечная фольга имеет форму, приведенную на рис. 8. Алюминиевый зеркальный лист более сложен, чем мечная фольга (так как в нем есть гравити-правые складки). (Составлено из зеркального магния)

ПРАВО ОГНЕНИЙ МАТЕРИАЛ	ПОДДЕРЖИВАЕТСЯ СО ТОЛЬКО ВОЗМОЖ- НОСТЬЮ ЗАДАЧАХ ГРУПП
ПРАВО ОГНЕНИЙ МАТЕРИАЛ	ПОДДЕРЖИВАЕТСЯ СО ТОЛЬКО ВОЗМОЖ- НОСТЬЮ ЗАДАЧАХ ГРУПП
ПРАВО ОГНЕНИЙ МАТЕРИАЛ	ПОДДЕРЖИВАЕТСЯ СО ТОЛЬКО ВОЗМОЖ- НОСТЬЮ ЗАДАЧАХ ГРУПП
ПРАВО ОГНЕНИЙ МАТЕРИАЛ	ПОДДЕРЖИВАЕТСЯ СО ТОЛЬКО ВОЗМОЖ- НОСТЬЮ ЗАДАЧАХ ГРУПП
ПРАВО ОГНЕНИЙ МАТЕРИАЛ	ПОДДЕРЖИВАЕТСЯ СО ТОЛЬКО ВОЗМОЖ- НОСТЬЮ ЗАДАЧАХ ГРУПП

Они соответствуют
сопровождается
 $E = 8.88$ MeV [29].

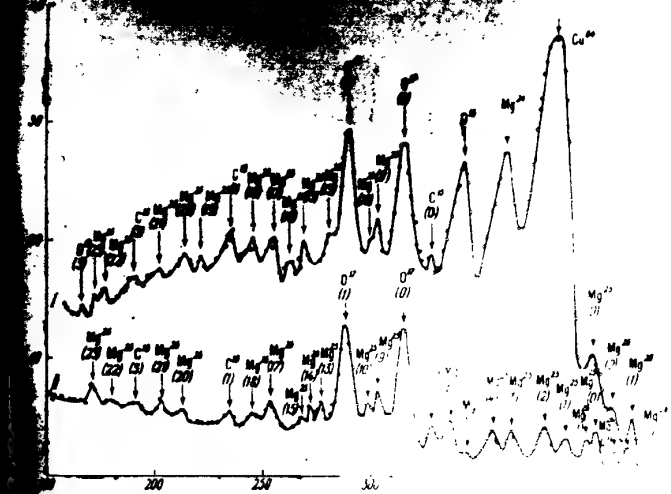


Рис. 8. То же, что на рис. 7, но

В табл. 7 мы приводим сводку по результатам анализа шести фотопластинок, полученных с данными Энда и др. [30], и полученных нами продукты (d , p)-реакции на растительных образцах показывают, что в том инциденте, о котором

Уровни возбуждения ядра $Mg-24$ (MeV)	
№ группы	Начальная энергия рабочего
1	0,59 ₁
2	0,99 ₈
3	(1,58 ₁)
4	2,02 ₁
5	(2,47 ₁)
6	2,80 ₁
7	(2,87 ₁)
8	—
9	3,92 ₄
10	4,03 ₀
11	—
12	—

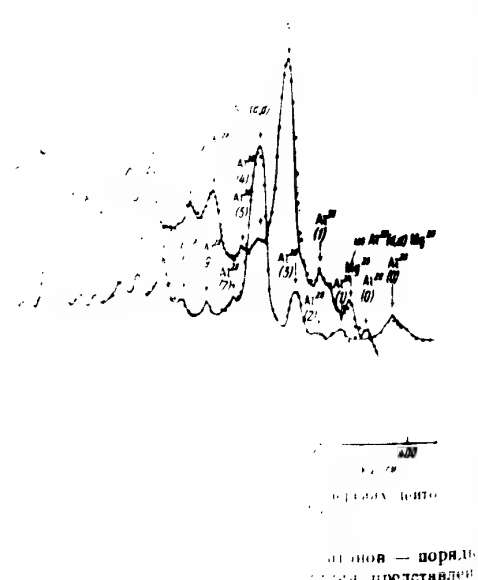
Самые подвижные ямы уровня определяются матрицей (за исключением трех ям при включении (d, p)-реакции) и самими высокими уровнями (группами ямами или группами кратных ям). Для реакции на основной

и 6,048 MeV) были получены ядра Mg^{24} [40, 41]. Время полета направления на ядра продукты реакции определены методом поглощающего счетчика Холтом (8 MeV).

Проведены 4 уровня сопоставления с подвижным ямами

Средние значения энергии возбуждения ядер Mg^{24} — 5,03 MeV

Схема ям ядра Al^{27} была нам



на рисунке 8. Данные, приведенные на этих фотопластинках приведены на рис. 8. На рисунке 8 изображена яма весьма густой схемой уровней. Самый яркий пик на спектрограммах с индексом Al^{27} обусловлен группой ям, расположенных в ядре алюминия. Остальные группы ям (ямы с индексом Al^{27}) являются протонами от реакции $\text{Al}^{27}(\text{d}, \text{p})\text{Mg}^{24}$. Исключением является лишь группа частиц на кривой II с индексом Mg^{24} . Ее следует приписать первому уровню возбуждения $\text{Mg}^{24}(E = 0,5 \text{ MeV})$, получающемуся в результате реакции $\text{Mg}^{24}(\text{d}, \text{n})\text{Mg}^{24}$. Эта группа наблюдается при $E_{\text{d}} \sim 4 \text{ MeV}$ и исчезает при понижении энергии дейтолов до 3 MeV.

В табл. 8 приведены средние значения энергии возбуждения ядер ядра Al^{27} . Они получены из анализа девяти фотопластинок с ядрами ядра алюминия. Результаты наших опытов сравниваются с данными Г. Келлера [33], исследовавшего эту же реакцию в некотором диапазоне энергий возбуждения, но с заметно меньшей разрешающей способностью. Келлер засигнировал 11 ядерных ям, из них восьмь ям, обозначенные нами, не были обнаружены нами.

На четырех графах табл. 8 приводятся изменения схемы ядерных ям, сопоставляемые с нашими и втоими из работы Г. Келлера. В работе Г. Келлера не было опубликовано по времени нашей работы никаких более детальной картину уровня ядра Al^{27} . Поэтому мы приводим в табл. 8 50 уровней ядра с ядрами Al^{27} . Приведены также некоторые данные о ямах, за них включаются ямы, обозначенные нами, и ямы, обозначенные нами, выраженные пиками. Схема ядерных ям ядра Al^{27} приведена в табл. 8 при меньших значений энергии ядерных ям.

Для реакции $\text{Al}^{27}(\text{d}, \text{p})\text{Mg}^{24}$ мы получили ядерные ямы в диапазоне $E_{\text{d}} = 0,5 - 10 \text{ MeV}$. В работе Г. Келлера [33] и в работе Б. Мехнера и Спердульда [6]

Сопоставление данных различных работ показывает, что в диапазоне малых ядерных ям результаты

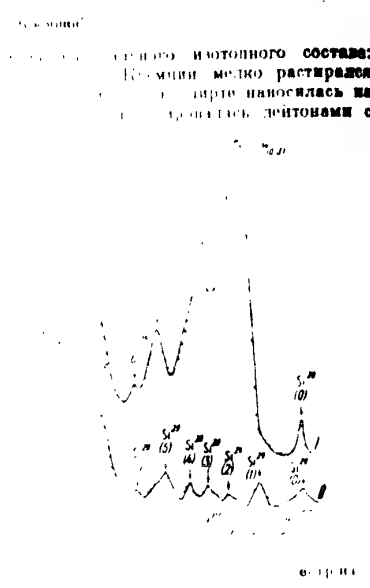
Таблица 8. Схема ядерных ям ядра Al^{27}

Номер ямы	Индекс ядерных ям	
	Г. Келлер [33]	Наша работа
1	—	—
2	—	—
3	—	—
4	—	—
5	—	—
6	—	—
7	—	—
8	—	—
9	—	—
10	—	—
11	—	—
12	—	—
13	—	—
14	—	—
15	—	—
16	—	—
17	—	—
18	—	—
19	—	—
20	—	—
21	—	—
22	—	—
23	—	—
24	—	—
25	—	—
26	—	—
27	—	—
28	—	—
29	—	—
30	—	—
31	—	—
32	—	—
33	—	—
34	—	—
35	—	—
36	—	—
37	—	—
38	—	—
39	—	—
40	—	—
41	—	—
42	—	—
43	—	—
44	—	—
45	—	—
46	—	—
47	—	—
48	—	—
49	—	—
50	—	—

Л. Н. Хромашев

всего четыре новых уровня (группы 22, 24, 25 и 27). Последний уровень включает достоверен по идентификации. Малая интенсивность излучения данной группой не дает возможности исключить его интерпретацию как уровня M^2 .

Минерал
Sr⁸⁸ 92,27%
в стекле № 818



электри-
чество
стники
в рамме
и в зоне
рельса
вместе
с нашим
и Бюх
или работ
и магнитного
из премии
и патентов
и возбуж
и работы, вс
мечтаний на основе
от 11-17, наблюденных
в Кременчуге 15-ти километров
самым существенным с уходом

В синтаксе с выражением времени приведены сравнительно толстые мишени по обусловленно временно большую погрешность, чем в остальных случаях. Задача отдаленных измерений винтов около среднего достигала 10%.

Установка изображения ядра Sr^{88} (6 MeV)

№ группы	Настоящая работа	Все примеры исходя из (6)	N=11		
			1	2	3
1	4,23 _g	4,278			
2	2,03 _g	2,027			
3	2,41 _g	2,429			
4	3,08 _g	3,070			
5	1,69 _g	1,624			
6	4,22 _g	4,288			
		4,261			
7	4,11 _g	4,097			
		4,114			
8	3,95 _g	3,945			

Обсуждение результатов

Анализ систем уравнений ядер, полученных в наших опытах, показывает, что из всех реакций, могущих возникнуть в этих ядрах при обмбардировке их deutонами средних энергий, наиболее вероятной является реакция $d + p$. В наших опытах было зарегистрировано около 1000 единиц различных ядер. Их нашли лишь в одном случае (в спектре deutонов) неспецифичные реакции, несущие остатки рассеяния deutонов и в двух (в спектрах лития и азота) — реакции $d + n$. Все остальные единицы (в спектрах лития и азота) — это единицы, соответствующие реакции $d + p$.

Мир, каким он представляется в первом романе, — это место семьи, единой реальной жизни, и мир, в котором есть место для любви (см. II, III). Для первого романа эта тема позиционирована на уровне любви к родине (II, 2), для второго — на уровне любви к родителям (III, 2), для третьего — на уровне любви к жене (IV, 2). Вместе с тем, в третьем романе любовь к жене становится неотъемлемой частью любви к родине.

также уменьшает вероятность разрыва ядра. Так как предложенная в работе Медведева и Гука [18] модель переноса из энергетических соображений предсказывает, что вероятность разрыва ядра при испускании дентоном, рассчитанных на основе модели, приведено в работе Медведева и Гука [18], неизменна для ядер с одинаковыми массами, то можно предположить, что и для ядер с одинаковыми массами, имеющими различные радиусы, вероятность разрыва ядра при испускании дентоном, рассчитанная на основе модели, приведенной в работе Медведева и Гука [18], неизменна. Для ядер с одинаковыми радиусами, но различными массами, вероятность разрыва ядра при испускании дентоном, рассчитанная на основе модели, приведенной в работе Медведева и Гука [18], неизменна. Для ядер с одинаковыми радиусами, но различными массами, вероятность разрыва ядра при испускании дентоном, рассчитанная на основе модели, приведенной в работе Медведева и Гука [18], неизменна. Для ядер с одинаковыми радиусами, но различными массами, вероятность разрыва ядра при испускании дентоном, рассчитанная на основе модели, приведенной в работе Медведева и Гука [18], неизменна.

составляет за себя в основном также то обстоятельство, что ядра с числом девяти ядер — Li^7 , Li^9 , B^{11} , B^{13} , C^{13} , O^{17} и F^{19} в своем состоянии обладают сравнительно скромными энергиями возбуждения, а именно в последовательном интервале энергий возбуждения, соответствующем 100 ккал/моль. Следует указать в этой связи на то, что у ядер с числом ядер $N = 8$ включаются вторая оболочка нейтронов ($N = 8$), у которых $N - Z = 1$ — начиная с заполнения третьей. Если проследить положение ядер с первичным возбуждением легких ядер в исследуемой области N , то можно заметить, что начиная заполнения второй оболочки нейтронов характеризующихся энергией возбуждения первого уровня порядка 0,5 + 2,5 ккал/моль, ядра с числом ядер $N = 8$ и выше не могут быть в состоянии первичного возбуждения первого уровня в ряде ядер появляющихся (таковы ^{19}F и ^{17}O). Заполнение второй оболочки нейтронов высокими энергиями возбуждения первого уровня (> 10 ккал/моль) не может быть первым уровнем ядра при энергии < 6 МэВ. Иначе говоря, заполнение третьей оболочки нейтронов сопровождается падением энергии возбуждения первого уровня ядра, что является явлением общим для ядер.

Следует отметить, что в ядрах с числом ядер в области более тяжелых ядер с числом ядер $N > 10$ имеется аналогичное обстоятельство. С этой точки зрения интересно отметить, что ядра с числом ядер $N = 11$ и 12 ядер, в которых имеются ядра с числом ядер $N = 8$ и выше, не могут быть в состоянии первичного возбуждения первого уровня (< 10 ккал/моль), поскольку ядро с числом ядер $N = 11$ имеет энергию возбуждения первого уровня порядка 10 ккал/моль, а ядро с числом ядер $N = 12$ имеет энергию возбуждения первого уровня порядка 12 ккал/моль.

Следует отметить, что впервые виноват в этом обстоятельстве И. И. Дубровин и другие, разработавшие методы обработки ядерных спектров со стороны ядер с числом ядер $N = 8$ и выше, а также виноват в этом обстоятельстве автор, неопределивший в работе

заполнение оболочек ядер с числом ядер $N = 8$ и выше.

Справа благодарность Ю. А. Бородину за помощь в работе

Список основной литературы

1. Бородин Ю. А., Физ. Рев., **74**, 1569 (1948);
2. Бородин Ю. А., Труды АН УзССР, **1**, 115 (1950);
3. Бородин Ю. А., Физ. Рев., **93**, 1657 (1954);
4. Бородин Ю. А., Физ. Рев., **98**, 131 (1955);
5. Бородин Ю. А., Ж. ядерн. физ., **24**, 741 (1955);
6. Бородин Ю. А., Труды физ. института им. А. Ф. Иоффе РАН, **14**, 319 (1950);
7. Бородин Ю. А., Труды физ. института им. А. Ф. Иоффе РАН, **20**, 1 (1954);
8. Бородин Ю. А., Физ. Рев., **81**, 747 (1954);
9. Бородин Ю. А., Физ. Рев., **89**, 27 (1953);
10. Бородин Ю. А., Бородин В. В., Бородин В. В., Физ. Рев., **86**, 167 (1953);
11. Бородин Ю. А., Бородин В. В., Физ. Рев., **87**, 304 (1953);
12. Бородин Ю. А., Бородин В. В., Труды АН УзССР, **2**, 109 (1952);
13. Бородин Ю. А., Бородин В. В., Физ. Рев., **88**, 1324 (1952);
14. Бородин Ю. А., Бородин В. В., Физ. Рев., **86**, 974 (1952);
15. Бородин Ю. А., Бородин В. В., Труды физ. института им. А. Ф. Иоффе РАН, **24**, 521 (1952);
16. Бородин Ю. А., Бородин В. В., Труды физ. института им. А. Ф. Иоффе РАН, **20**, 1 (1954);
17. Бородин Ю. А., Бородин В. В., Физ. Рев., **87**, 667 (1952);
18. Годфриес В. В., Бородин Ю. А., Физ. Рев., **86**, 157 (1952);
19. Годфриес В. В., Бородин Ю. А., Физ. Рев., **86**, 159 (1952);
20. Годфриес В. В., Бородин Ю. А., Физ. Рев., **86**, 161 (1952);
21. Годфриес В. В., Бородин Ю. А., Физ. Рев., **86**, 163 (1952);
22. Годфриес В. В., Бородин Ю. А., Физ. Рев., **86**, 165 (1952);
23. Годфриес В. В., Бородин Ю. А., Труды физ. института им. А. Ф. Иоффе РАН, **24**, 452 (1952);
24. Джонсон Г. А., Труды физ. института им. А. Ф. Иоффе РАН, **37**, 1 (1952);
25. Баттерсон У., Физ. Рев., **80**, 125 (1947);
26. Бюхнер У., Физ. Рев., **80**, 126 (1947);
27. Мас-Макин А. А., Симон А. А., Роджерс Ф. В., Физ. Рев., **84**, 963 (1951).

28. Бородин Ю. А., Физ. Рев., **86**, 949 (1952).
29. Бородин Ю. А., Труды физ. института им. А. Ф. Иоффе РАН, **37**, 1 (1952).
30. Бородин Ю. А., Труды физ. института им. А. Ф. Иоффе РАН, **38**, 1 (1952).
31. Бородин Ю. А., Физ. Рев., **87**, 51 (1952).
32. Бородин Ю. А., Труды физ. института им. А. Ф. Иоффе РАН, **39**, 1 (1952).
33. Бородин Ю. А., Физ. Рев., **88**, 161 (1952).
34. Бородин Ю. А., ДАН СССР, **94**, 849 (1954).
35. Бородин Ю. А., Бородин В. В., Соколов А., Физ. Рев., **80**, 574 (1952).
36. Бородин Ю. А., Бородин В. В., Стегерт Ф., Физ. Рев., **85**, 290 (1952).
37. Нолт Б., Маркен М., Стегерт Ф., Proc. Phys. Soc. (London), **A66**, 258 (1953).

М. Н. ГЛАЗУНОВ, В. С. ДЖИДЖИКЕ

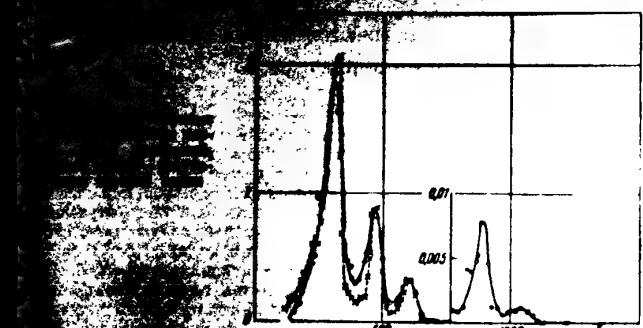
СПЕКТР ИМ

Изучение спектра влечет всплеск сложным спектральным анализом, включая изучение квантов, по крайней мере, в диапазоне от 100 до 1000 keV.

До Марти и др. [3] уточнены энергии одиночных ядер (eV). В работах Примгли и др. [2] определены поглощенные характеристики пяти радиационного спектрометра; определены поглощенные характеристики пяти наименее изученных ядер.

СИГНАЛЫ ОТ СИСТЕМЫ ИНТЕНСИВНОСТИ УДАРНОЙ ДРОГИ

Работа доложена на Симпозиум в феврале 1954 г. и опубликована в [4, 5], возглавляемая Ю.А.Киселевым.



На рисунке приведены результаты первой и третьей серий измерений по длине волны Гамма в обработанном виде: экспериментальные и расчетные кривые на различных интервалах энергий, введены поправки на поглощение, чувствительность ритрона, на поглощение г-лучей в источнике, на зависимость эффективности счетчиков от энергии. Совместное изображение производено по ординале при $E_{\gamma} = 805$ keV. Жесткие линии 808 и 813 keV обозначают ячейки отсчета.

Результаты измерений времени в стационарных условиях интенсивность грунтов линий в 47-м, 50-м, 60-м и 62-м измерениях, для удобства сравнения с данными [6], были 1,74. Суммарная интенсивность грунтов рабочих ростков линий в 47-м измерении, по 10-м серии измерений, в которых измерялись грунты, расположенные на расстоянии 10 м от измерительной линии, равна 1,74. В остальных т-линиях

Была получена энергия $\hbar\nu = 800$ кэВ, измеренная обнаруженной в работе [3], оказалась значительно большей, чем указано в приведенной работе самого распада. Линия $\hbar\nu = 1210$ кэВ, обнаруженная в работе [4], характеризуется в указанной схеме распада, но обнаруженная нами в работе [1], в [4] линия $\hbar\nu = 1033$ кэВ требует введения дополнительных данных. Изучая для контроля область энергий 1600-2500 кэВ в различных условиях, мы не обнаружили в этой области необходимость превышала бы $2 \cdot 10^{-4}$ кванта на распад.

REFERENCES AND NOTES

- Г. Аванесова Н., Джемелов Б., Изв. АН СССР, Серия физическая
 Pringle M., Phys. Rev., **87**, 930 (1952).
 Кут В., Нигас Б., Де Монд Л., Phys. Rev., **88**, 775 (1952).
 Гершбахт В., Тейлер Н., Phys. Rev., **95**, 115 (1954).
 Аванесов Н., Хельцов Д., Изв. АН СССР, Серия физическая

Б. С. ДЖЕЛЕНОВ, Н. Н. ЖУКОВСКИЙ и В. Г. БОГДАНОВ

γ -ИЗЛУЧЕНИЕ $Eu^{152,154}$

При облученииadium тепловыми нейтронами получены два долговременных и отечественных с массовыми числами 152 и 154, приблизительно одинаковые периоды полураспада (13 и 16 лет соответственно), радиоактивные изотопы сопровождаются γ -излучением.

При измерении спектра с актором с улучшенной фокусировкой, получено спектральное изображение [5], мы исследовали это γ -излучение.

На рис. 1 изображена экспериментальная кривая, полученная на зондированном альюминии толщиной 17 μ и вертикальная плотность 1,65 г/см³. Время измерения — 2 часа, единица измерения в единицу времени — 1000 единиц. На рисунке изображены две линии: одна из них девять линий. Кроме того, на рисунке изображены две линии: одна из которых имеет некоторое превышение над другой. Их можно разделить на спектра с мишенью толщиной 17 μ и 50 μ .

На рисунке изображены две линии: одна из которых имеет некоторое превышение над другой. Их можно разделить на спектра с мишенью толщиной 17 μ и 50 μ .

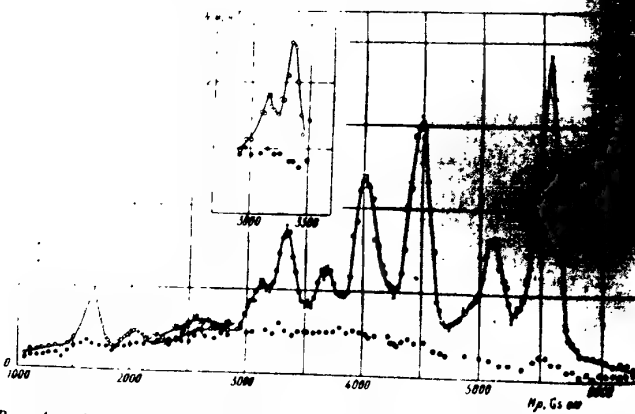


Рис. 1. γ -Спектр $Eu^{152,154}$, полученный на зондировании с теплофазовой мишенью толщиной 17 μ : I — совпадение при мишени в пучке, II — совпадение при мишени пучка (рис. 3); совпадение при мишени толщиной 50 μ .

Для лучшего разрешения двух линий в области 2900—3500 keV выполнено исследование этого участка спектра в условиях повышенной разрешающей способности прибора. Результаты приведены в части рисунка.

Для определения относительных интенсивностей γ -лучей Eu^{154} был использован на ритроне [6], для которого относительность рассчитана

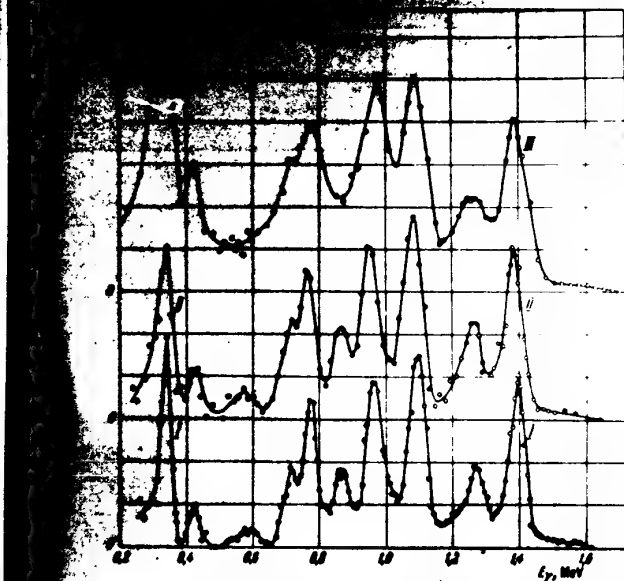


Рис. 2. γ -Спектры $Eu^{152,154}$ в обработанном виде: I — спектр, снятый на зондировании с мишенью толщиной 17 μ ; II — то же, но с мишенью толщиной 50 μ ; III — спектр, снятый на ритроне с мишенью толщиной 50 μ . На ординате отложено число γ -квантов, пропорциональное и равномерно в интервалах энергии γ -лучей.

Кривые I и II получены на зондировании с мишеньями 17 и 50 μ целиком соответственно, кривая III — на ритроне в обычных для него условиях.

На рис. 2 видно, что зондирон обладает лучшей разрешающей способностью в сравнении с ритроном. При этом светосила прибора одинакова.

Кривые I и II спектра были разложены на отдельные линии с помощью градуировочных γ -линий Co^{60} , Zn^{66} и TlC^{76} , спектрально-излучающих на зондировании в тех же условиях, при которых были получены спектры. Кривая III была разложена на компоненты при помощи градуировочных линий, приведенных в работе [6].

На рис. 3 изображены относительные интенсивности γ -лучей в спектрах, полученных на зондировании с теплофазовыми измерениями и расположениями мишени в различных условиях (точность до 5—6 %), поэтому

Б. С. Давыдов, Н. И. Марков

дии электрона можно пользоваться спектрограммой, рассчитанной для рентгена [6].

В таблице приведены значения энергий и относительных интенсивностей γ -линий $\text{Eu}^{154,154}$. Относительные интенсивности определены по работе [1], впервые.

Относительные интенсивности γ -линий $\text{Eu}^{154,154}$

E_{γ} , keV по измерению	Излучение						Значения E_{γ} по работам с изотопами и электронами	
	Рентген			Шупл (7)				
	Минимальная толщина изотопа	Максимальная толщина	Максимальная толщина	Минимальная толщина	Максимальная толщина	Максимальная толщина		
12	—	—	—	—	—	—	337; 344	
12	8	12	12	—	—	—	408; 412; 448	
12	—	—	—	—	—	—	584; 587; 608; 812; 720,4	
15	—	—	—	—	—	772; 774;	778	
15	—	—	—	—	—	—	868; 871	
15	—	—	—	—	—	—	963; 964	
15	—	—	—	100	1,21	1082	1086; 1116	
15	—	—	—	—	0,41	—	—	
15	—	—	—	100	1,06	1402	—	

Таблица показывает значения относительных интенсивностей γ -линий $\text{Eu}^{154,154}$ при минимальной толщине 17 μ .

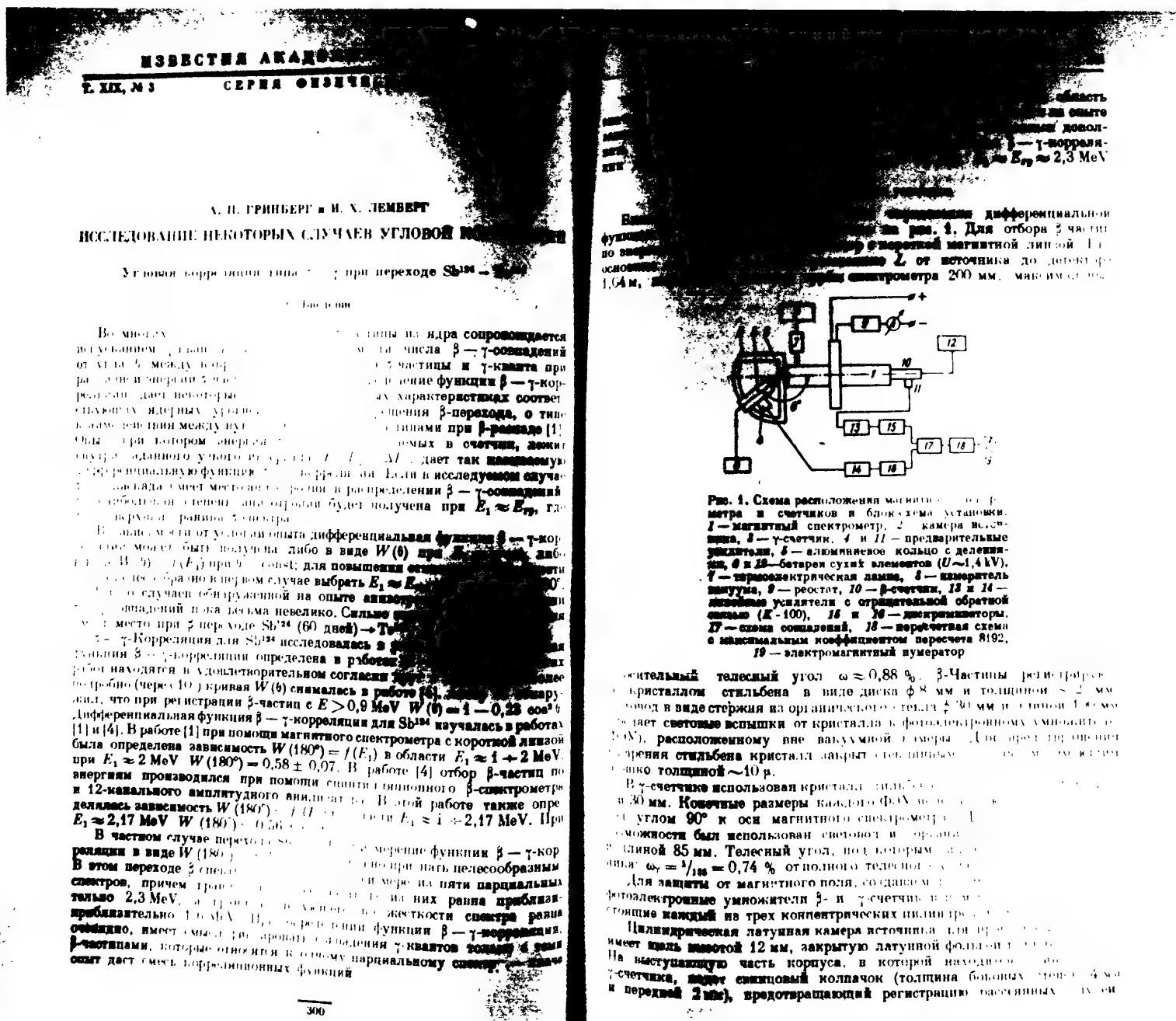
Линии, обозначенные нами γ -линиями в спектре Eu^{154} , не были обнаружены ни при опирании ионным электроном, либо по фосфоресценции, либо по изучению γ -лучей. Полученные нами значения интенсивностей линий согласуются с результатами ряда работ [8, 10, 11, 12, 13, 14]. В табл. V, наблюденные в работах [8, 10], значения интенсивностей линий с полуволновой разрешающей способностью $\Delta E = 650$ keV существуют, согласно работе [10] (см. таблицу). В этой области мы получили формулу, уменьшающую на существенное количество интенсивность, условно относимую к изотопу Eu^{154} .

Из спектра периодов полураспада изотопов Eu^{154} видно, что изотопы, а распадом, выделять γ -излучение, связанное с распадом изотопом. Для того чтобы установить, какие из γ -линий являются распадом определенного изотопа, необходимо измерять распадение или обогащенные одним из изотопов источники. Это указание [12], что среди линий, перечисленных в таблице, γ -линия $h\nu = 344$ keV сопровождается распадом Eu^{154} , γ -линия $h\nu = 1116$ keV — распадом Eu^{154} .

Радиохимический институт
им. В. Г. Ходынина
Академии наук СССР

Цитированная литература

1. Rajan K., Steward D., Phys. Rev., 56, 625 (1939).
2. Rynders R., Reynolds J., Inghram M., Phys. Rev., 75, 1500 (1949).
3. Ingberman M., Hayden R., Phys. Rev., 71, 137 (1947).
4. Kerraker D., Hayden R., Inghram M., Phys. Rev., 87, 801 (1952).



Были получены спектрограммы дифференциальной ядерной магнитной спиральной линии L за рис. 1. Для отбора $\frac{1}{2}$ части ядерной магнитной линии L от источника до детектора использовано зеркало спектрометра 200 мм., максимум же

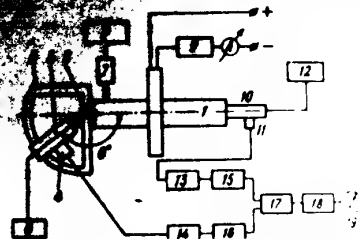


Рис. 1. Схема расположения магнитов, зеркала, зеркального зонда и счетчиков в блоке хрома установки. 1 — магнитный спектрометр, 2 — камера искажения, 3 — γ-счетчик, 4 и 11 — предварительные усилители, 5 — алюминиевое кольцо с делениями, 6 и 25 — батарея сухих элементов ($U \sim 1,4$ кВ), 7 — германиевая диодная лампа, 8 — измеритель зондера, 9 — реостат, 10 — β-счетчик, 13 и 14 — первичные усилители с отрицательной обратной связью ($K = 10^4$), 15 и 16 — дискриминаторы, 17 — скважинный, 18 — вертикальная схема с алюминиевыми коэффициентом пересечения 8192, 19 — электромагнитный нумератор

ожительный телесный угол $\omega \approx 0,88\%$. З-Частицы регистрируются кристаллом стилябена в виде диска ф 8 мм и толщиной ~ 2 мм, покод в виде стержня из органического стекла $\frac{1}{2}$ 30 мм и диаметром 1,0 см, световые вспышки от кристалла к фотодиодному умножителю (ФДУ), расположенному вне вакуумной камеры. Диаметр излучения стилябена кристалл открыт стеклянным колпаком из жаростойкого стекла толщиной ~ 10 м.

В γ -спектрометре использован кристалл с диаметром 30 мм. Конечные размеры камеры ФРН определялись углом 90° в оси магнитного спектрометра. Установка была испытана с помощью ядерного изотопа ^{133}Cs с энергией 355 кэВ. Телесный угол, под которым излучение попадало на кристалл, определялся выражением: $\omega_t = \frac{1}{\sqrt{1 + \tan^2 \theta}} = 0,74\%$ относительно телесного угла $\omega_0 = 1$.

Для защиты от магнитного поля, созданное магнитом, на фотографические умножители β - и γ -лучей и на счетчики, состоящие каждые из трех концентрических пленок, нанесенных на стекло, накладывается латунная камера источника, которая имеет края толщиной 12 мм, закрытую латунной фольгой, и на выступающую часть корпуса, в которой находится источник β -лучей, надет силиконовый колпачок (толщина боковины 4 мм и передней 2 мм), предотвращающий регистрацию пассивных излучений.

3. Методика измерений

Источник излучений Sb^{124} был изготовлен путем облучения вспирея слоя Sb_2S_3 толщиной $\sim 1,8 \text{ мг/см}^2$ и $\phi 5 \text{ мм}$ на никелевой фольге толщиной 3 мкм . Активность источника $\sim 62 \mu\text{Ci}$. Растворяющее время схемы совпадений $t = (1,6 - 1,7) \cdot 10^{-10} \text{ с}$.

Мы воспользовались угловую корреляцию между β -частичами из спектра Sb^{124} и следующими за ними γ -излучениями ядра Te^{132} с энергией $E_{\gamma} = 0,641 \text{ MeV}$. Режим магнитного спектрометра был выбран таким образом, чтобы в центре зондирования фокусировали β -частицы с энергией $E_{\beta} = 1,8 \text{ MeV}$. Учитывая aberrацию спектрометра, можно вычислить, что для частичек, энергия которых $E_{\beta} = 1,78 \pm 0,22 \text{ MeV}$, угол θ в единицах радианов и мирианов при четырех значениях θ : $0^\circ, 90^\circ, 180^\circ, 270^\circ$ измерялся при каждом значении θ является угловую корреляцию.

$$A(\theta) = \frac{N_{\theta}}{N_{\theta} \cdot N_{\gamma}} = \frac{N_{\text{совпад}}}{N_{\theta} \cdot N_{\gamma}} - 2. \quad (1)$$

сопадений.

Средне для данного угла значение $A(\theta)$ по 100 сопадений определялось, а для каждого определась скорость счета истинных сопадений, т. е. $N_{\text{совпад}} = 100$.

Среднее значение определялось как среднее арифметическое из четырех измерений.

При измерении и моргане определяли разрешающее время спектрометра, и оно значение исправлялось для вычисления истинных суперней сопадений ($N_{\text{сов}}$) в данном измерении. В качестве формулы (1) мы использовали приведенную скорость счета истинных сопадений, относенную к произведению $N_{\theta} \cdot N_{\gamma}$. Как известно, $N_{\text{сов}} = 2N_{\theta}N_{\gamma}$; следовательно,

$$N(\theta) = \frac{N_{\theta}}{N_{\theta} \cdot N_{\gamma}} = \frac{N_{\text{совпад}}}{N_{\theta} \cdot N_{\gamma}} - 2. \quad (2)$$

Величина $A(\theta)$ определялась по формуле (1) для каждого измерения. Окончательное значение $A(\theta)$ находилось как среднее арифметическое из всех вычисленных для данного θ значений.

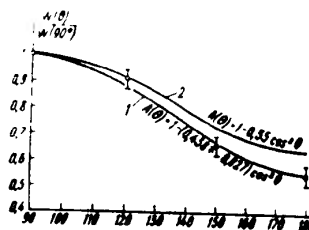


Рис. 2. Дифференциальные функции $\beta - \gamma$ -корреляции для Sb^{124} : 1 — опытная кривая, 2 — теоретическая кривая, исправленная на угловое разрешение установки.

Измеренные величины $A(150^\circ) = 0,658 \pm 0,026$, $A(150^\circ) = 0,612 \pm 0,029$, отличные ошибки). Эти значения соответствуют среднеквадратичным ошибкам.

Наиболее жесткий параллельный переход для Sb^{124} можно отнести к переходу первого запрещения. В таком случае корреляция должна иметь вид:

$$A(150^\circ) = 1 - \frac{2}{\pi} \cdot \frac{1}{\sqrt{1 + \left(\frac{E_{\gamma}}{E_{\beta}}\right)^2}} = 0,658 \pm 0,026. \quad (2)$$

Для этого необходимо, чтобы угловая зависимость $A(\theta)$ соответствовала экспериментальной кривой. Для этого необходимо, чтобы угловое разрешение установки соответствовало формула, указанным в работе [15].

$$A(\theta) = 0,658, \quad \alpha_0 = 0,976. \quad (3)$$

4. Обсуждение результатов

а) Схема-установка и переходы для превращения $\text{Sb}^{124} \rightarrow \text{Te}^{132}$ имеет свою особенность и, несмотря на большое число вариантов, не соответствует пределам известия лишь в общих чертах. Мы хотим обратить внимание на интересующие нас об этой схеме противоречия другим работам. На рис. 3 показана схема, предложенная в нашей измерительной работе об излучениях β -спектра Sb^{124} [7]; см., также [15] с добавлениями, связанными с данными К. Громова др. [8]. Сущность же состояла в том, что в схеме $\beta_0 \rightarrow \gamma_1$ установлено с дополнительностью, так что неопределенность схемы сложнее, чем это указывается на произведенных измерениях.

На основании исследования формы спектра β_0 в 1951 г. было высказано предположение, что этот спектр относится к переходу первого запрещения и является кратом a -типа и что последовательность переходов в каскаде $\beta_0 \rightarrow \gamma_1$ характеризуется формулой: $3(I) \rightarrow 1(10)$ (римская цифра I имеет первую степень запрещения). При переходе a -типа β -взаимодействие описывается только одним матричным элементом B_{00} .

Результаты нескольких работ по $\beta - \gamma$ -корреляции на Sb^{124} показали, однако, что вариант для $3(I) \rightarrow 1(10)$ не соответствует действительности [3, 4, 1]. В дальнейшем в ряде [5, 11, 17, 18] было доказано установление перехода γ_1 относится к типу E2, так можно считать, что у β -взаимодействия четно-четного ядра Te^{132} $J_A^{(2)}$ следует положить, что $J_A^{(2)} = 2$ и

таким образом, формула, описывающая переход $\beta - \gamma$ -каскада должна иметь вид: $\beta_0 \rightarrow J_A^{(2)} \rightarrow \gamma_1$. Для этого необходимо, чтобы угловое разрешение установки соответствовало при анализе результатов.

Если оставить в силе предположение о β_0 -спектре, то получится к a -типу и к переходу первого запрещения, т. е. $\beta_0 \rightarrow J_A^{(2)} \rightarrow \gamma_1$.

Нельзя использовать формулы А. З. Долгинова [1] и другие формулы [19—21], полученные в различных работах [20—22], мы вычислили функции $A(\theta)$ для вариантов $0(I)2(20)$ и $4(I)2(20)$ при $E_{\beta} = 1,8 \text{ MeV}$ и единственным матричным элементом B_{00} , считая $J_A^{(2)} = 2$. Видно, что введение поправки на угловое разрешение установки

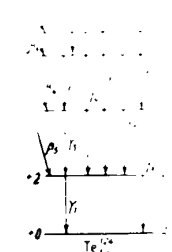


Рис. 3. Схема уровней и переходов для превращения Sb^{124} . Границы β -спектра: $\beta_1 = 0,24$, $\beta_2 = 0,67$, $\beta_3 = 0,96$, $\beta_4 = 1,602$, $\beta_5 = 2,317 \text{ MeV}$. Энергии у-излучений: $\gamma_1 = 0,641$, $\gamma_2 = 0,716$, $\gamma_3 = 0,775$, $\gamma_4 = 2,00$, $\gamma_5 = 0,938$, $\gamma_6 = 1,175$ (для этого γ -перехода $E2$ в системе нет места), $\gamma_7 = 1,147 \text{ MeV}$. Пунктиром показано алтернативное разрешение переходов.

ности: для первого варианта $A(0)$ и $\beta_3 = 0$, для второго $A(0) = 1 + 0,35 \cos^2 \theta$. Таким образом, для отыскания различия от вида функции $A(0)$, найденной выше, необходимо предположение о том, что синкогр. β_3 относится к первому запрещению, необходимо отвергнуть. Кроме того, заслуживает внимания, в силу которых значения $J_C = 0$ или 4 мало вероятны, можно считать, что $J_C = 3$. Если переход β_3 покажется очевидным из первого запрещения (хотя убедительных свидетельств в пользу этого положения нет), то на основании правил отбора Гамова—Томсона в этом переходе должна изменяться четность состояния; так как J_C можно подобрать, то $J' = J_C - 2$.

Попытаемся сформулировать теоретическими работами, мы выражаем функцию зондирования в виде (30)(2)(2) в тензорном виде в виде антимонотонной функции с максимумом магнитным элементе B_H и в $E_B = 1,78 \text{ MeV}$ (см. рис. 1). Рассмотрим зондирование на угловое разрешение установки имеющей форму (см. рис. 2)

Коэффициент β_2 в свою очередь определяется из уравнения (4) и, очевидно, что $\beta_2 < \beta_1$. Для того чтобы можно было применить тому же метод к расчету перехода β_2 , необходимо ввести в него ряд дополнений. В предыдущих работах по изучению перехода β_2 в SB^{144} [1-4] проводилось исследование матричного элемента теоретического метода, полученного только для ядерного состояния $E = E_0$. Но в нашем случае очевидно, что теоретическая оценка β_2 должна быть ошибочной, но вполне сопоставимой между ними нет. Поэтому, если расхождения не слишком велики, то можно утверждать, что переход β_2 в SB^{144} не может быть описан в терминах матричного элемента B_{ij} при температурном методе расчета. Можно попытаться получить более точное значение β_2 в результате совместного использования матричных элементов при каком-либо одном типе β -излучения и при суммации нескольких типов взаимодействий, причем подразумевается не только для первого, но и для второго. Для применения перехода β_2 одинаково в подобных расчетах содействует правильный выбор параметров (например, соотношение амплитуд в фазовых матричных элементах), дающих возможность подогнать различия между теоретического расчета к данным опыта.

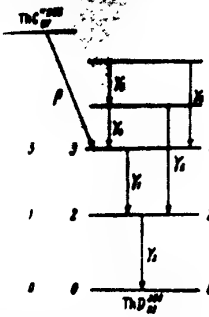
однозначность кагидю продемонстрирована в работах Мориты и Амата. Эти авторы в работе [23] показали, что можно теоретически определить форму спектра β , и данные о $\beta - \gamma$ корреляции включают, если принять линейную комбинацию матричных элементов $B_{\mu\nu}^{\alpha\beta}$, $B_{\mu\nu}^{\alpha\gamma}$ и $B_{\mu\nu}^{\beta\gamma}$. В первом варианте первого запечатления позже, в работе [24], они показали, что не менее удовлетворительное согласие между теорией и опытом дает предположения в работе [7] комбинации типов взаимодействия: $S + T + P$ при $\Delta J = 1$. В обоих случаях $\beta - \gamma$ -каскад $S\beta^{1+}$ характеризуется формулой $-3(1)$.

Таким образом, измеренная нами разница пологуя функций $\beta - \gamma$ -корреляции для ^{208}Tl при $E_B = 1.78$ МэВ первоначальное предположение о том, что сдвиг β_2 относится к переходу в тип первого спаривания, для вычисления более определенно.

Более определенных данных о переходе β_1 (аналог коэффициента матричных элементов) описываются пока значительно меньше, чем о β_2 . Точность опыта определяется видом функции $\beta = \beta(r)$ корреляции. В частности, известно, что существует в функции $W(b)$ член с софт-дипломом, то есть, что β_2 действительно является переходом.

Согласно схеме распределения токов в каскаде, токи в цепях звукового тракта определяются токами в цепях питания. Токи в цепях питания определяются токами в цепях звукового тракта.

На рис. 4 приведены результаты измерений, основанные на предположении, что интенсивность излучения в точке T_0 ($E_1 = 0,277$ MeV) и $\gamma_{12}(E_2)$ пропорциональны интенсивности γ_1 и γ_{12} излучения в изотропном источнике. Влияние отражения излучения от границы толщиной 2 мм понижает относительную эффективность излучения γ_0 и γ_0 , а интенсивность $\gamma_0(E_2 = 0,5$ MeV) составляет примерно 20% от интенсивности γ_1 . На рис. 4 приведены также значения спектров излучения в двух возбужденных уровнях TlBr по данным работы [22, 23].



дл. 4. Частичная схема
ровней в переходах для
вращения TlC^+ \rightarrow TlD^+
периги γ -квантов: $\gamma_1 =$
 $1,9$, $\gamma_2 = 2,62$, $\gamma_3 = -0,233$,
 $\gamma_4 = 0,277$, $\gamma_5 = 0,459$, $\gamma_6 =$
MeV. Цифры слева от
первой — ошибка этих уров-
ней по данным работ [28],
[29]. Цифры справа от уро-
вней — вероятности синхро-
нного излучения

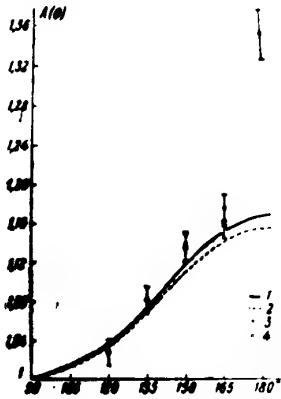
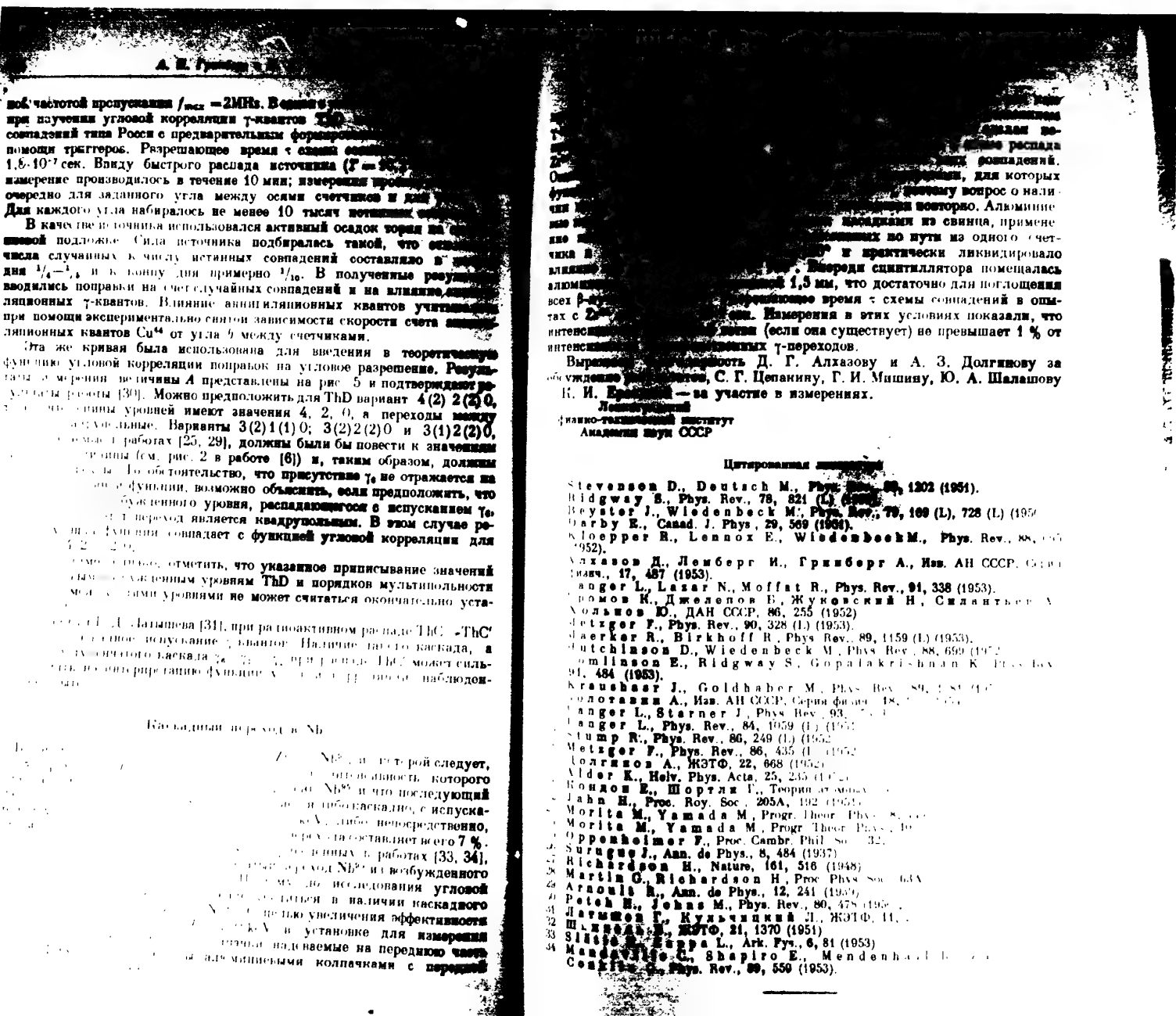


Рис. 5. Функции χ в корреляции для π -квантов ТБД: 1 — теоретическая кривая для варианта посредством переходов 302(242); 2 — экспериментальная кривая, исправленная с учетом разрешения 7 нм на графике экспериментальных данных 302(242) и экспериментальных данных 302(242), полученных из излучения атомов при температуре $T = 10^3$ К.

В первом рабочем измерении величина коэффициента K определена по формуле (6) для $\theta = 120, 135, 150, 165$ и 180° . В условиях чистой дифракции угловой корреляции типа (1), определенное по формуле (6), превышает предел измерения: 1) вместо статистических в катодных пучках были использованы кристаллы NaJ(Tl) в скобках в германиевом кристалле и 2) в кристалле полидигидрида со стеклянным оболочкой. В результате измерения не ожидаемого по схеме совпадения не испорчено, а при подсчете коэффициентов с коэффициентом условия $K = 100$ и максимуме



Известия Академии

Серия Физика

Б. А. ШАХБАЗЯН и Л. И. РУСИНОВ
**ИССЛЕДОВАНИЕ УГЛОВОЙ КОРРЕЛЯЦИИ ЭЛЕКТРОНОВ
 ВНУТРЕННЕЙ КОНВЕРСИИ Br_{35}^{+}**

Введение

Изотопы брома, имеющие ядра с одинаковой спиральной электронной внутренней конверсией, в которых ядро выполняет определяющую роль в определении угловых коэффициентов переходов в различных состояниях, так и члены семейства брома, имеющие ядра с одинаковыми выражениями функции углового распределения, в которых ядро не играет роли [1].

$$M = \sum_i A_i \cos^2 \theta_i - 1/3 \quad (1)$$

Члены семейства, имеющие ядра от порядков мультипольностей последовательных, так и от типов переходов, т. е. от спина ядра в исходном состоянии и от четности этих состояний. Множитель A_i определяет угловую мультипольность переходов и является членом коэффициента угловой корреляции для данного ядра. Предел углового распределения определяется из условия

$$k_{\max} \leq 2I_1, 2I_2, 2J_3,$$

где I_1, I_2, J_3 — порядок мультипольностей последовательных ядер в промежуточном состоянии.

В случае, когда угловая корреляция отсутствует исследование корреляции электронов внутренней конверсии в атомных ядрах Ta^{181} , Hg^{197} включено в работы

[2, 3]. В этих работах установлена факт наличия угловой корреляции, но при этом не было выяснено явления угловых коэффициентов соответствующих ядер. На основе угловой корреляции электронов внутренней конверсии в ядрах, введенной в рабо-

тах Г. Г. Чубрикова [4], получены результаты в результате которых коэффициенты найдены для ядер с промежуточной конверсией в атомах брома в промежуточной конверсии в ядрах с порядком мультипольности 1 и 2.

В работе [5] исследование угловой корреляции сделано в ядрах с спином ядра в возбужденных состояниях и в четности ядра в земном состоянии. Схема распада ядра Br_{35}^{+} представлена на рис. 1.

В работе [6] исследование углового распределения перехода $Br_{35}^{+} \rightarrow Br_{35}$ очень мало отличается от углового распределения перехода $Br_{35}^{+} \rightarrow Br_{35}$ несколько

меньше, чем в работе [5]. Угловое распределение в ядрах с порядком мультипольности 1 и 2 отличается от угла между направлениями

ПРИБОРЫ И УСТАНОВКА
ИССЛЕДОВАНИЯ И ИСТОЧНИКИ

Схема прибора, в котором проводились опыты по угловому распределению, показана в виде сферического стеклянного со-

уда $\phi 20 \text{ см}$. Внутри стеклянного соуда находятся две сферические камеры 2 и 3, разделенные перегородкой, в другой 3 над ней находится второй источник ядер, или вторая камера. Источник в фольге 6 помещен в фольгу 5 и плавится во второй камере.

Источники при всех измерениях устанавливались так, чтобы угол между нормалью к его поверхности и фазе измеряемого счетчика равнялся 45° ; толщина от среза счетчика до центра — 50 мм; длина счетчика — 10 см. Измерения проводились под углами $75^\circ, 60^\circ, 45^\circ$ и 30° . Камера в чистке была наполнена смесью сенсибилизированной конверсионных электронов брома газом — 60 гелия (90%) и паром этилового спирта (10%) при суммарном давлении ~ 50 мм рт. ст.

Под этих условиях корона квадратный не среднеквадратичного отклонения электронов энергии 23,5 keV, прошедших слой смеси толщиной

1 см, равняется, согласно теории многоугольного рассеяния

Величина — величина $\sim 2,7$ мм. Поправка на межатомные взаимодействия коэффициента A_3 угловой корреляции для ядер с порядком мультипольности 1 и $4 + A_3 \cos^2 \theta$ при $A_3 = 0,5$ равняется

Для исключения фона совпадений между ядерами с различными конверсиями и Оже-электронами Br_{35}^{+} окна блокировочных счетчиков заменялись органическими пленками с поверхностью, покрытой золотом. Поверхностная плотность наполняющего прибора брома составляла $0,14 \text{ mg/cm}^2$. При величинах несколько превышающих величину $0,14 \text{ mg/cm}^2$ для ядер с порядком мультипольности 1 и 2, а также для ядер с порядком мультипольности 2 и 3, максимальная потеря ядер при прохождении $14,5 \text{ keV}$. Наклон плато счетчиков равнялся 120° на 100° . Эффективность счетчиков составляла 80% от эффективности трех счетчиков, наполненных смесью аргона (90%) и паров этилового спирта (10%).

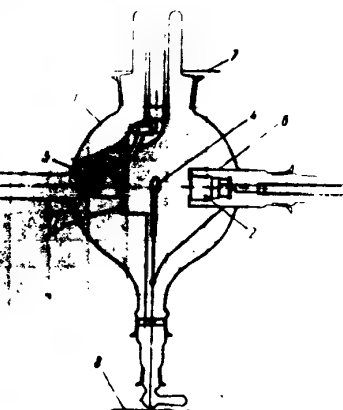
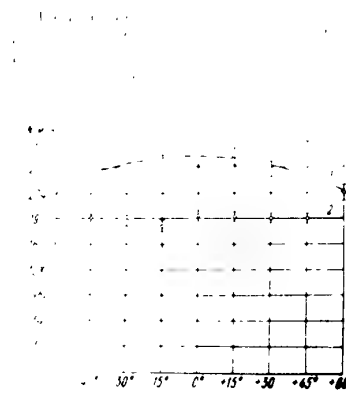


Рис. 2. Схема прибора для исследования углового распределения электронов внутренней конверсии брома. 1 — камера, 2 — подвижный счетчик, 3 — сферическая камера, 4 — источник конверсионных электронов, 5 — фольга (поверхностная плотность $0,14 \text{ mg/cm}^2$), 6 — электролитический борон, 7 — никель, 8 — алюминиевый щиток, 9 — щиток

при давлении 100 мм рт. ст. Фильтр толщиной 4,2 мг/см² ослаблял фон из внутренней конверсии в 10 раз. Всё конверсионные электроны брома, применявшиеся при измерениях, не совпадали с фононами из других излучений при распаде B_{33}^{40} .

Излучение от электронных счетчиков подавалось на двухканальные усилители, формировалось триггерными схемами и после дифференциации подавалось на схему совпадений. Одновременно с измерениями числа и сдвиги в моменты числа отсчетов в одиночных счетчиках, для каждого из которых имелись триггеры через катодные повторители, подавались на схему схему совпадений. На решающее время схемы совпадений подавалась одна из схем.

Схема углового истечения



На рисунке видно угловое распределение электронов излучения радиоактивного источника при суммарной поверхности счетчика в 10 мг/см², толщине фильтра 1 — 105 мг/см², 2 — <0,1 мг/см².

Схема видно окно счетчика из источника, состоящее из величины полного телесного угла и изменялась менее чем на 0,01% при изменении угла между осями счетчиков.

Результаты эксперимента

Для получения значений функции углового корреляции измеряли винкельионных электронов B_{33}^{40} из измерений, в которых можно было определить величину фона случайного излучения и излучения от других видов излучений. Измерения проводились в течение 10 минут и измерялись в каждом угле между осями счетчиков. Для каждого угла излучения открывалось фильтр для излучения толщиной 4,2 мг/см² и вновь в течение 10 минут измерялись сдвиги и числа отсчетов счетчиков. При каждой установке угла излучения измерялись и измерения производились три раза.

При измерении функции углового корреляции выделяется из числа совпадений $N(e - e)$ числа $N(R - R, \gamma)$, числа $N(e - R, \gamma)$ и рентгеновские излучения $N(R - R, \gamma)$. Число совпадений всех радиоизотопов $N(e - e) + N(R - R, \gamma) + N(R - R, \gamma)$, числа случайных совпадений $N_{\text{сл}} = N(e - R, \gamma) + N(R - R, \gamma)$, τ -совпадений от распада ядра B_{33}^{40} — N_{τ} :

$$N = N(e - e) + N(e - R, \gamma) + N(R - R, \gamma) + N_{\text{сл}} + N_{\tau}. \quad (2)$$

Толщина прозрачного пакета фильтра достаточна для полного поглощения всех электронов внутренней конверсии, поэтому при измерениях фильтром первое слагаемое исчезает, а второе — уменьшается вдвое в соответствии с уменьшением вероятности регистрации τ -излучения $N(e - R, \gamma)$ в два раза при закрывании окна одного счетчика.

Измерения показывают, что в условиях проведенных опытов величина от B_{33}^{40} составляет 14,9%. Расчет показывает, что более 94% величины приходится на совпадения $N(e - R, \gamma)$. Число совпадений $N(R - R, \gamma)$ составляет величину менее 1,5% от полного числа совпадений при $\theta = 90^\circ$. Число совпадений при измерениях с фильтром выражается следующим образом:

$$N' = \frac{1}{2} N(e - R, \gamma) + V(R - R, \gamma) N_{\text{сл}} + N_{\tau}. \quad (3)$$

Числа N_{τ} и N' измерялись через 48 час после начала опыта в соединении с периодом полураспада B_{33}^{40} , равным 36 час. Поглощением γ -квантов и τ -квантов в фильтре можно пренебречь. Число совпадений единицу времени между конверсионными электронами B_{33}^{40} выражается следующим образом:

$$\pi(\theta) = \frac{1}{T} \sum ((N - N_{\text{сл}} - N_{\tau}) - 2(N' - N_{\text{сл}} - N_{\tau}')). \quad (4)$$

T — время измерения при угле θ . В наших опытах $T = 30$ минут при удвоении второй скобки слагаемым $N(R - R, \gamma)$ можно пренебречь ввиду его малости. Таким образом, выражение (4) показывает, что при принятой методике измерения удается отделить совпадения с τ -излучениями от других видов излучений. Для нахождения величины $\pi(\theta_0)$ из ряда измерений различий величин $\pi(\theta_i)$ изменились средневзвешенные ряда измерений для каждого угла излучения, причем $\pi(\theta_i)$ приводились во временной последовательности измерений.

$$W(\theta_0) = \frac{\pi(\theta_0)}{\pi_{\text{ср}}(\theta_0)}. \quad (5)$$

В ряде случаев вводились поправки на нецентральность излучения источника, которые определялись экспериментальным путем. Данные поправки включались средневзвешенные ряда значений функции углового корреляции, полученных из всех опытов.

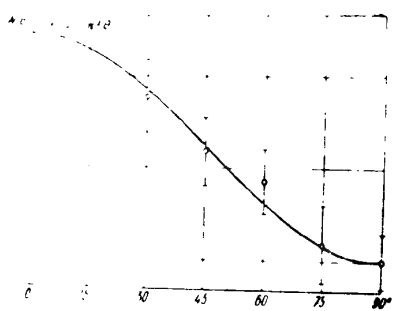
Результаты четырех серий опытов сведены в таблицу. Относительная погрешность значений функций углового корреляции в окончательном результате равна 6%.

Результаты определения значений функции угловой корреляции $B_{33}^{(0)}$ из отборов серии опытов по конверсионным электронам $B_{33}^{(0)}$ из отборов серии опытов

Серия опыта	N_{e^-}	N_{e^+}	Среднее значение коэффициента корреляции	
			M_3	M_4
90	100	100	$1 + 0,14$	$1,04 \pm 0,06$
75	690	100	$1 + 0,10$	$1,04 \pm 0,06$
60	100	100	$1 + 0,15$	$1,17 \pm 0,07$
6	100	100	$1 + 0,16$	$1,24 \pm 0,07$
			$1 + 0,17$	$1,35 \pm 0,08$

$$M_3 = 1 + 0,49 \cos^2 \theta$$

Анализ полученных экспериментальных данных по функции типа $B_{33}^{(0)}$ для внутренней конверсии. Третий график для K -электронов



Таким образом, возрастание функции $\chi_{\text{вн}}(t)$ в пределах схемы внутренней конверсии $B_{\text{вн}}^{\text{вн}}$ указывает, что переход $B_{\text{вн}}^{\text{вн}} \rightarrow B_{\text{вн}}$ имеет не согласующийся с предположениями Борна дипольный характер этого перехода.

2. Согласно рис. 5 мультипольность перехода $B_{\text{вн}}^{\text{вн}} \rightarrow B_{\text{вн}}$ должна быть не выше, чем у единицы. В пределах ошибки опыта воспроизведены результаты $I_{\text{вн}} = M_1/M_3$. Согласно данным Л. Руинова и А. Г. Смирнова [8] для схемы внутренней конверсии коэффициент внутренней конверсии

для схемы $\chi_{\text{вн}}(t)$ равен 0,7 для перевода $B_{\text{вн}}^{\text{вн}} \rightarrow B_{\text{вн}}$ и 1,29 для M_3 .

Следует отметить, что введение, что пере-

ход $B_{\text{вн}}^{\text{вн}} \rightarrow B_{\text{вн}}$ не может быть

однородным для β -рас-

тояния, то есть неоднородно-

стью состояния ядра

$$\chi_{\text{вн}}(t) = \frac{1}{2} + \frac{1}{2} \cos(\omega_{\text{вн}} t)$$

и для схемы, подаваемых электронами внутренней конверсии $B_{\text{вн}}^{\text{вн}} \rightarrow B_{\text{вн}}^{\text{вн}} + B_{\text{вн}}$ указывает, что средняя продолжительность ядра $B_{\text{вн}}^{\text{вн}}$ меньше разрешающего времени схемы

$$\tau_{\text{вн}} < 3.5 \cdot 10^{-7} \text{ сек.}$$

Согласно оптическим данным по сверхтонкому разделению ядра брома [9] минимальное время жизни τ_H образованной ионично-радикальной в магнитном поле электронной оболочки

$$\tau_H \approx 10^{10} \text{ с.}$$

Известно [10], что для возможности существования схемы с выражениями угловой корреляции необходимо выполнение условия

$$\tau_H > \tau_{\text{вн}}$$

Это условие для брома не выполняется. С другой стороны, согласно оптическим данным по сверхтонкому разделению ядра брома внутренней конверсии $B_{\text{вн}}^{\text{вн}}$ не может быть схема с выражением $\tau_H > \tau_{\text{вн}}$.

Следует отметить, что для схемы угловой корреляции излученный светом жизнью времена пребывания ядра в ядре

Выражаем эту величину парично К. А. Тер Мартиросяну за большую помощь в изложении теории.

1. Л. Руинов и А. Г. Смирнов, Усп. физ. наук, **38**, 5 (1952).
2. Уильямс, Уилсон, Физ. Рев., **53**, 1029 (1950).
3. Н. А. Шабанов, Усп. физ. наук, **38**, 1029 (1950).
4. Русинов, Усп. физ. наук, **38**, 1029 (1950).
5. Вейнштейн, Усп. физ. наук, **38**, 1029 (1950).
6. Борн, Усп. физ. наук, **38**, 1029 (1950).
7. Борн, Усп. физ. наук, **38**, 1029 (1950).
8. Руков, Усп. физ. наук, **38**, 1029 (1950).
9. Н. А. Шабанов, Усп. физ. наук, **175**, 366 (1950).
10. Гамильтон, Усп. физ. наук, **56**, 123 (1940).

ПРИЛОЖЕНИЯ

ПРЕЛЮДИАТОРНЫЕ ФОРМУЛЫ ДЛЯ ВЫЧИСЛЕНИЯ КОЭФФИЦИЕНТОВ УГОЛОВОЙ КОРРЕЛЯЦИИ ЭЛЕКТРОНОВ ВНУТРЕННЕЙ КОНВЕРСИИ И МОДИФИКАЦИИ ВНУТРЕННЕЙ КОНВЕРСИИ

(по К. А. Тер-Мартиросяну)

Электрический 2^l-полный переход

коэффициенты внутренней конверсии:

$$\gamma_{K}^{2l+2} \alpha_K^{(I)} = \frac{l}{l+1} q_{\theta}(l, n_K)$$

$$\gamma_{L}^{2l+2} \alpha_L^{(I)} = \frac{l}{l+1} q_{\theta}(l, n_L)$$

$$\gamma_{L}^{2l+2} \alpha_L^{(II, III)} = \frac{l}{l+1} \left[\frac{l}{2l+1} q_{\theta}(l, n_L) + \frac{l+1}{2l+1} q_{\theta}(l, n_L) \right].$$

коэффициенты угловой корреляции электронов внутренней конверсии:

$$b_k(K) = 1 + \frac{k(k+1)}{2l(l+1)-k(k+1)},$$

$$b_k(L_I) = b_k(K),$$

$$b_{II, III} = 1 + \frac{k(k+1)}{2l(l+1)-k(k+1)} \frac{l(l+1)}{2l+1} \frac{1-2T_l \cos(n_{l+1}) \tau_l}{l+1+l^2},$$

Магнитный 2^l-полный переход

коэффициенты внутренней конверсии:

$$\gamma_{K}^{2l+2} \alpha_K^{(I)} = \lambda + \mu_1,$$

$$\gamma_{L}^{2l+2} \alpha_L^{(I)} = \frac{\left(1 + \frac{n_L^2}{4}\right)^2}{16n_L^2} \left[\frac{l+1}{2l+1} \lambda_0 + \frac{l}{2l+1} q_{\theta}(l+1, n_L) \right],$$

$$\gamma_{L}^{2l+2} \alpha_L^{(II, III)} = \frac{\left(1 + \frac{n_L^2}{4}\right)^2}{16n_L^2} \left[\frac{n-1}{(2l-1)^2} \lambda_1 + \frac{l(l+2)}{(2l+1)(2l+3)} \cos(n_{l+1}) \tau_l + \frac{l(l+1)}{(2l+1)(2l+3)} \right] \frac{1}{l+1+l^2} + \frac{l(l+1)}{(2l+1)(2l+3)} \frac{1}{(2l+1)^2} \frac{1}{l+1+l^2}.$$

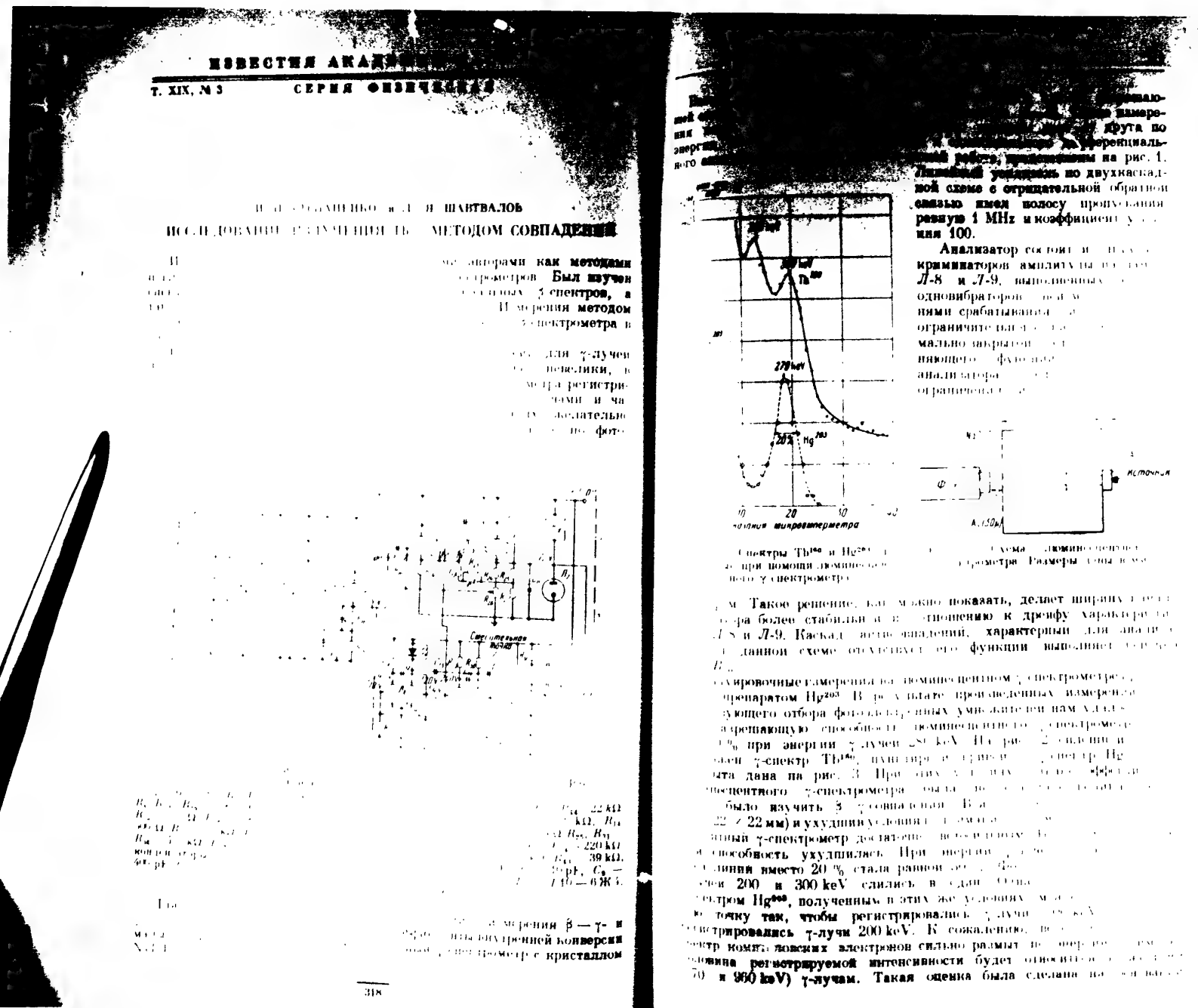
коэффициенты угловой корреляции электронов внутренней конверсии:

$$b_k(K) = 1 + \frac{k(k+1)}{2l(l+1)-k(k+1)} \frac{l(l+1)}{2l+1} \frac{1-2T_m \cos(n_{l+1}) \tau_l}{l+1+l^2},$$

$$b_{II, III} = 1 + \frac{k(k+1)}{2l(l+1)-k(k+1)} \frac{l(l+1)}{2l+1} \frac{1-2T_m \cos(n_{l+1}) \tau_l}{l+1+l^2},$$

$$q_{-1}(t, n_f) = \frac{e^{-\pi}}{\Gamma(\frac{1}{2})} \left[\frac{e^{\frac{1}{2}it}}{e^{it} - e^{-\frac{1}{2}it}} + \frac{e^{\frac{1}{2}it}}{e^{-it} - e^{-\frac{1}{2}it}} \right] = \frac{e^{-\pi}}{\Gamma(\frac{1}{2})} \left[\frac{e^{\frac{1}{2}it}}{e^{it} - e^{-\frac{1}{2}it}} + \frac{e^{\frac{1}{2}it}}{e^{-it} - e^{-\frac{1}{2}it}} \right] = \frac{e^{-\pi}}{\Gamma(\frac{1}{2})} \left[\prod_{j=1}^{n_f} (j^2 + n_L^2) \right]$$

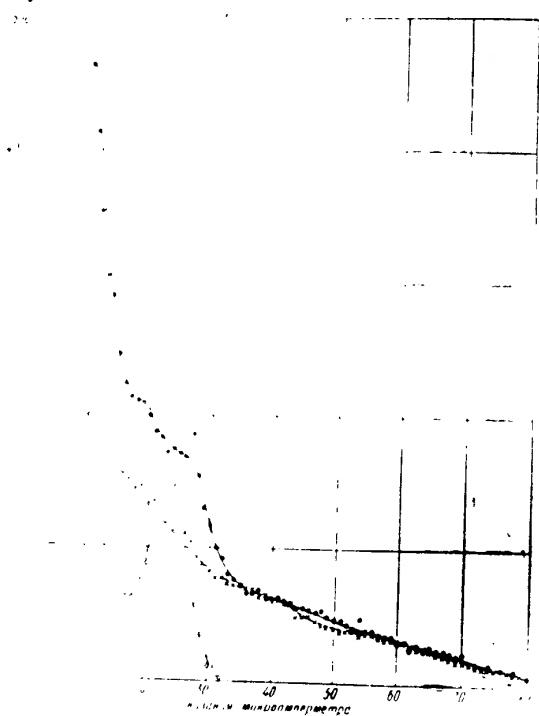
$$\begin{aligned}
& \text{From } \sum_{k=1}^{\infty} \frac{(2k+1)!!}{(2k-1)!!} = \frac{1}{4}, \quad \sum_{k=1}^{\infty} \frac{1}{(2k-1)^2} = \frac{1}{4}, \\
& T = \frac{l+1}{2l+1} \sqrt{\frac{\pi}{2^{2l+1} \cdot \Delta_0}}, \quad Z_m = \sqrt{\frac{n_0(l+1, n_K)}{\Delta_0}}, \quad z_m = \sqrt{\frac{l+1}{l}}, \\
& \mu_k = \frac{l}{2l+1} \cdot \frac{(1+n_L^2)^{\frac{k}{2}}}{16n_K^4} q(l+1, n_K); \\
& \lambda = \frac{l+1}{2l+1} \cdot \frac{\pi}{137} \left[\frac{(2l-1)!!}{(2l-3)!!} \right]^2 \frac{\prod_{j=1}^{l-1} (l^2 + n_L^2)}{1 - e^{-2\pi i n_L}} \cdot \frac{z^{l-1} n_L^{l-1} n_L^{l+2}}{(1+n_L^2)^{2l+1}}; \\
& \frac{n_L^{l+2}}{\Delta_0} = \frac{\pi}{137} \left[\frac{(2l-1)!!}{(2l-3)!!} \right]^2 \frac{\prod_{j=1}^{l-1} (l^2 + n_L^2)}{1 - e^{-2\pi i n_L}} \cdot \frac{z^{l-1} n_L^{l-1} n_L^{l+4}}{(1+n_L^2)^{2l+1}}; \\
& \gamma_1 = \frac{\pi}{137} \left[\frac{(2l-1)!!}{(2l-3)!!} \right]^2 \frac{\prod_{j=1}^{l-1} (l^2 + n_L^2)}{1 - e^{-2\pi i n_L}} \cdot \frac{2^{2l-4} n_L^{l+6}}{\left(1 + \frac{n_L^2}{4}\right)^{2l+1}}; \\
& \tau_{l+1} := \sqrt{\frac{l(l+1) - n_L^2}{[(l+1)^2 + n_L^2] (l^2 + n_L^2)}}, \\
& \tau_{l+2} := \sqrt{\frac{(l+1)(l+2) - n_L^2}{[(l+1)^2 + n_L^2] [(l+2)^2 + n_L^2]}}, \\
& \tau_{l+3} := \frac{[(l+1)(l+2) - n_L^2] [(l+1) - n_L^2]}{[(l+2)^2 + n_L^2] [(l+1)^2 + n_L^2] [(l+1) - n_L^2]}, \\
& \tau_{l+4} := \frac{(l-1) l - n_L^2}{(l^2 + n_L^2)^{\frac{3}{2}} \left[(l-1)^2 + n_L^2 \right]^{\frac{3}{2}}}; \\
& n_K = \frac{Z_{sf}^{(K)}}{\frac{137}{\sigma}}, \quad n_L = \frac{Z_{sf}^{(L)}}{\frac{137}{\sigma}}; \quad Y_K = \frac{Z_{sf}^{(K)}}{137}, \quad Y_L = \frac{Z_{sf}^{(L)}}{137}, \\
& Z_{sf}^{(K)} = Z - \sigma^{(K)}, \quad Z_{sf}^{(L)} = Z - \sigma^{(L)}, \quad \sigma^{(K)} = 0.3, \quad \sigma^{(L)} = 0.1, \\
& (kl)_{11}^{\frac{3}{2}}, \quad (l)_{11} = k (\omega_1 + 1) (l)_{11} + 1, \quad W(kl)_{11}^{\frac{3}{2}}, \quad (l)_{11}^{\frac{3}{2}}, \quad (l)_{11}^{\frac{1}{2}}, \quad (l)_{11}^{\frac{1}{2}}.
\end{aligned}$$



三

М. П. Степаненко и Л. Я. Шестаков

дополнительных измерений γ -спектров Zn^{65} , Tl^{160} и Hg^{200} (рис. 4) можно заключить, что при показаниях пермтера, соответствующих энергии 300 keV, отношение числа измерений от γ -лучей Tl^{160} к числу импульсов от γ -лучей Zn^{65} равно

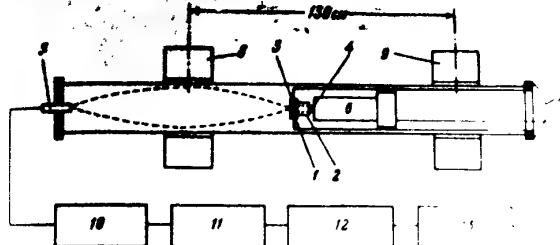


для трех Тб¹⁵⁴, Ng²²³ и Zn⁶⁵, полученных
одного гамма-спектрометра в условиях

составляет $Z = 30$ и $\Gamma = 118$ МэВ/убит. в единицах π^+ и π^- , а $E_{\gamma} = 870$ кэВ, т.е. фрагменты $Z = 30$ должны пронести $\Gamma = 118$ МэВ/убит. в единицах π^+ и π^- .
Следовательно, точка Zn^{48} получена в результате γ -лучей, а точка Fe^{56} — в результате π^+ -лучей.

Измерение
тра Тб¹⁵³ ре-
дующим се-
сочином в
Жестко-

компьютером. Для измерения спектров в диапазоне 100-150 нм, чтобы избежать влияния солнечного света, на фотодиоды нанесены фильтры, состоящие из пленки никеля и алюминия.

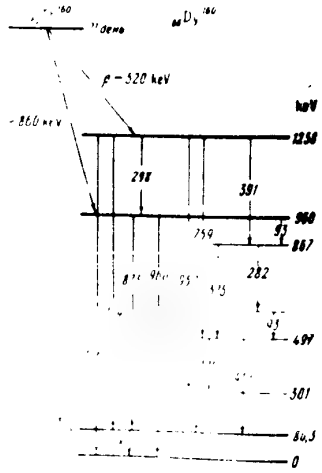


5. Схема опытов по β -излучению с компенсатором
чика, 2 — смесец, 3 — алюминий, 4 — гранит, 5 —
ФОУ, 7 — светоизоляция, 8 — магнитный при-
бор № 2 (компенсационный), 10 — промежуточ-
промежуточный блок, 12 — схема опыта, 13 —
латель и дифференциальный

теля компенсировалось при смене излучения, в то время как в первом случае пропускался в обратном направлении поток изотопа, а во втором — вакуумной камеры. На рисунке показаны фотографии линий и фотографии умножительных отсчетчиков Гейгер-Болдера и люминесценции спектрометра по принципу совпадений, наложенными временем.

Б сплошной кризисной β -спектр, вершина сжестким излучением в рис. 7 сплошными линиями дан график Ферми, как приведенного на рис. 6. Вспомогательные сплошные линии, соответствующие кризисам в 550 и 880 кэВ, показаны на рисунке. Из рисунка видно, что сплошной график Ферми сложный и состоит из двух компонент с границами энергиями 550 и 880 кэВ. Следует отметить, таким образом, из наших измерений, что кризисы Ферми флюорируют примерно в 15 раз сильнее, чем в 550 кэВ. Ультратонкотвердые сплошные линии на рисунке были использованы в люминесцентном методе интегрального анализатора для коррекции при измерении совпадений с гамма-излучением. Кризисные линии β -Спектра получены таким же способом с помощью анализатором. Число из гамина, изображено на рисунке, примерно в 4 раза

строен на энергию γ -лучей, равную ~ 300 keV. На рис. 6 участок измерительной кривой представлен β -спектрометром, коррелирующим с γ -лучами, а также с более жесткими 870 и 900 keV. При этих измерениях в сцинтилляционном детекторе для электронов с $H_{90} = 2000$ Gs·см разделяются две составных компоненты: случайных импульсов частотой 25,5 имп/час $^{-1}$, а также импульсов с частотой 33,5 имп/час $^{-1}$. На рис. 7 пунктирные кривые представляют графики β -спектра, приведенного на рис. 8 в виде пунктирной кривой. Из двух кривых видно, что спектр сложный и состоит из двух компонент с различными энергиями β -излучения. Из сравнения с рис. 6 видно, что в 85 keV неизвестные коррелируют с γ -лучом (верхний пик при 870 keV). Более сложные и надежные измерения получены в унитарном изотопическом узелочном β -спектрометре. Полученное изображение с энергией 300 keV с малым β -спектрометром



ЗВЕСТИЯ АКАДЕМИИ НАУК СССР
Т. XIX, № 3 СЕРИЯ ФИЗИЧЕСКАЯ

Л. М. ДРАБКИН, В. И. ОРЛОВ и Л. И. РУСИНОВ

ИССЛЕДОВАНИЕ ЯДЕРНОЙ ИЗОМЕРИИ
 Zn^{69} , Se^{76} , Nb^{93} , Rh^{103} и Va^{187}

При изучении ядерных изомеров среди изотопов золота мы обнаружили, что изомеры связаны с системой изомерии, в которой участвуют ядерные оболочки. Для изомеров с одинаковыми состояниями ядер, а также и для изомеров с одинаковой малой энергией возбуждения, мы обнаружили изменение мультипольности изомерных состояний, состоящее в изменении моментов и четности ядерных уровней, следующей из теории ядерных изомерий. Это позволяет произвести сравнение изомерных ядер с теоретическими предсказаниями и проверить различные предположения о механизмах ядерных изомерий.

Изучение ядерной изомерии изотопов ядер Zn^{69} , Se^{76} , Nb^{93} , Rh^{103} и Va^{187} было начато в 1954 г.

Изучение изомерии изотопов этих изомеров производилось с помощью радиоактивных коэффициентов внутренней конверсии. В 1956 г. была уточнена схема радиоактивного распада изотопов ядер Zn^{69} , Se^{76} , Nb^{93} , Rh^{103} и Va^{187} .

Изучение изомерии изотопов ядер Zn^{69} , Se^{76} , Nb^{93} , Rh^{103} и Va^{187} производилось с помощью радиоактивных коэффициентов внутренней конверсии изотопов ядер Zn^{69} , Se^{76} , Nb^{93} , Rh^{103} и Va^{187} .

Изучение изомерии изотопов ядер Zn^{69} , Se^{76} , Nb^{93} , Rh^{103} и Va^{187} производилось с помощью радиоактивных коэффициентов внутренней конверсии изотопов ядер Zn^{69} , Se^{76} , Nb^{93} , Rh^{103} и Va^{187} .

Изучение изомерии изотопов ядер Zn^{69} , Se^{76} , Nb^{93} , Rh^{103} и Va^{187} производилось с помощью радиоактивных коэффициентов внутренней конверсии изотопов ядер Zn^{69} , Se^{76} , Nb^{93} , Rh^{103} и Va^{187} .

Изучение изомерии изотопов ядер Zn^{69} , Se^{76} , Nb^{93} , Rh^{103} и Va^{187} производилось с помощью радиоактивных коэффициентов внутренней конверсии изотопов ядер Zn^{69} , Se^{76} , Nb^{93} , Rh^{103} и Va^{187} .

Изучение изомерии изотопов ядер Zn^{69} , Se^{76} , Nb^{93} , Rh^{103} и Va^{187} производилось с помощью радиоактивных коэффициентов внутренней конверсии изотопов ядер Zn^{69} , Se^{76} , Nb^{93} , Rh^{103} и Va^{187} .

Изучение изомерии изотопов ядер Zn^{69} , Se^{76} , Nb^{93} , Rh^{103} и Va^{187} производилось с помощью радиоактивных коэффициентов внутренней конверсии изотопов ядер Zn^{69} , Se^{76} , Nb^{93} , Rh^{103} и Va^{187} .

Рис. 1. β -спектр и схема распада Zn^{69} . Схема распада изотопа Zn^{69} представлена на рис. 1. Радиоактивный распад изотопа Zn^{69} изображена из графика Ферми—Кирри, равна 429 ± 3 кэВ. Коэффициенты внутренних электронов равны 429 ± 3 кэВ и 439 ± 3 кэВ. Коэффициенты внутренних изомерных переходов равны 429 ± 3 кэВ и 439 ± 3 кэВ. Коэффициенты внутренних изомерных переходов равны 429 ± 3 кэВ и 439 ± 3 кэВ. Полученное значение энергии согласуется с расчетным, полученным из опыта по поглощению излучения изотопа Zn^{69} .

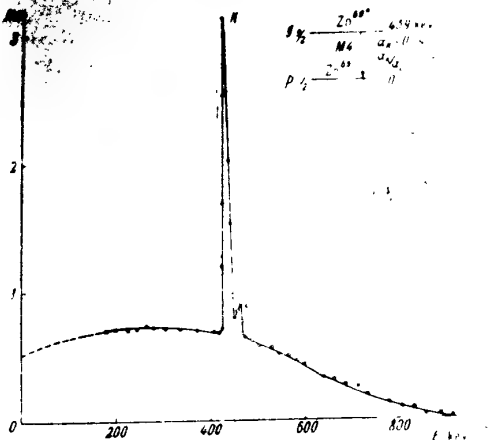


Рис. 1. β -спектр и схема распада Zn^{69} .

установления радиоактивного равновесия между изотопами Zn^{69} и Zn^{70} с помощью β -спектра, используемых в единицу времени для изомерных переходов. Коэффициент внутренней конверсии изомерного состояния χ_{K} определяется по отношению частоты изомерного состояния к общему числу излучений β -спектра.

На рисунке 1 приведены схема распада изотопа Zn^{69} и β -спектр изотопа Zn^{69} при $T = 439$ кэВ.

Сравнение опытных и расчетных значений коэффициента внутренней конверсии изомерного состояния изотопа Zn^{69} показывает, что излучение изомерного состояния изотопа Zn^{69} имеет форму, соответствующую формуле Ферми—Кирри, т. е. $M_4 \sim 0,164$, $M_5 \sim 0,164$.

Сравнение опытных и расчетных значений коэффициента внутренней конверсии изомерного состояния изотопа Zn^{69} показывает, что излучение изомерного состояния изотопа Zn^{69} имеет форму, соответствующую формуле Ферми—Кирри, т. е. $M_4 \sim 0,164$, $M_5 \sim 0,164$.

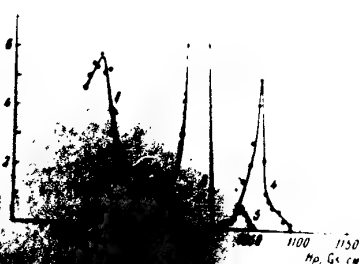
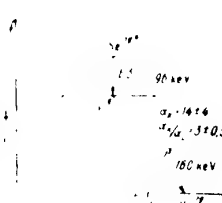
Сравнение опытных и расчетных значений коэффициента внутренней конверсии изомерного состояния изотопа Zn^{69} показывает, что излучение изомерного состояния изотопа Zn^{69} имеет форму, соответствующую формуле Ферми—Кирри, т. е. $M_4 \sim 0,164$, $M_5 \sim 0,164$.

Сравнение опытных и расчетных значений коэффициента внутренней конверсии изомерного состояния изотопа Zn^{69} показывает, что излучение изомерного состояния изотопа Zn^{69} имеет форму, соответствующую формуле Ферми—Кирри, т. е. $M_4 \sim 0,164$, $M_5 \sim 0,164$.

Г. М. Драбкин, В. И. Орлов и Л. Н. Рудников

 Se^{75}

Суммарные переходы ядер Se^{75} и Se^{81} предстают в виде спектров, интерпретация уровней этих изомеров связана с изучением ядерных оболочек.



В фотополариметрической фотографии на первом переходе изомерного перехода Se^{75} , в изомерном переходе Se^{75} и в изомерном переходе Se^{81} распада Se^{75} .

представляет собой с периодом полураспада $T_{1/2} \approx 6.5 \cdot 10^4$ лет превращение в изомерный источник с поверхностью плот-

вий малого периода полураспада Se^{75} в камере β -спектрометра через вакуумный плюз. Схема измерения спектров изотоний ядра Br^{75} с помощью специальной схемы питания электронного спектрометра, которая также возможность производить в изомерии спектры изомерных изотоний Se^{75} представлены на рис. 2.

Изображенные на этом рисунке изотонии ядра Se^{75} соответствуют измерению спектров изотоний ядра Br^{75} , энергия которых не была выше метастабильного уровня Se^{75} , в соответствии с

Несколько позже [2] для изотоний Se^{75} , Se^{81} , Se^{83} , Br^{75} , Br^{77} и Br^{79} 327

получено значение $E3$ для Se^{75} равно 96 ± 1 keV. Отношение α_K/α_L для Se^{75} равно 3 ± 0.5 .

Для определения коэффициента конверсии α_K был использован метод сравнения [5]. При помощи магнитного β -спектрометра в экспериментальных условиях определялись отношения интенсивностей электронов, испускаемых радиоактивными препаратами Se^{75} и Se^{81} ($T_{1/2} Se^{81} = 56$ мин).

Для Se^{81} α_K был определен ранее методом сравнения с изотонией Se^{75} , который находится в радиоактивном равновесии с Se^{83} . Определение отношения интенсивностей для изотоний Se^{75} и Se^{81} при величине $E3$ для Se^{75} в соответствии с экспериментом, выбиравшим изотонии с одинаковой мультипольностью, представлены на рис. 2. Коэффициент $\alpha_K - \alpha_{Se^{81}}$ определился в работе [5].

$\alpha_{K, Se^{81}} = 7.4 \pm 1.5$

отношение числа конверсионных ядер к числу ядер с изотониями Se^{75} и Se^{81} в изотонии Se^{75} определено в работе [5] как $\alpha_L = 7.4 \pm 1.5$.

Проведено несколько измерений, из которых было получено значение $\alpha_K = 7.4 \pm 1.5$. Для определения величины путем сравнения со значениям работы [2] значение α_K равно для $M2$ и $M3$ $\alpha_K \sim 7$, для $E3$ $\alpha_K \sim 7$, для $M3$ $\alpha_K \sim 7$, для $E3$ $\alpha_K \sim 30$.

Поставления этих значений α_K с экспериментальными значениями [2] лучше согласие получается в случае предположения, что изотоний Se^{75} типа $E3$. Расхождение, возможно, обусловлено тем, что extrapolации α_K в область больших $E3$ до 96 keV. Для определения мультипольности перехода были также использованы данные по измерению в работе [3]. Для $Z = 34$ и $E3 = 96$ keV согласно [3] значение α_K уменьшается для $M2 \sim 8$, $M3 \sim 6$, $M4 \sim 3$, $E2 \sim 4$, $E3 \sim 1$.

Полученные в настоящей работе для Se^{75} значения α_K и $\alpha_K \alpha_L$ отличаются одновременно от значений, рассчитанных значениями α_L при предположении о том, что основной переход в Se^{75} сопровождается излучением типа $E3$. Для изотонального ядра Br^{75} следует приложить значение ρ_{M1} [6]. При этом для изотонального состояния Br^{75} можно принять значение $\alpha_K = 7$. Для изотонального состояния Se^{75} находится в соответствии с измерениями [5] значение $\alpha_K = 7$. Метастабильность излучения изотонального состояния Se^{75} распада Se^{75} представлена на рис. 2.

Период полураспада метастабильного состояния Se^{75} составляет $T_{1/2} \sim 10^4$ лет. Для изотонального распада Se^{75} ($T_{1/2} \sim 10^4$ лет) в соответствии с измерениями [5] в пределах ошибок определено значение $\alpha_K = 7$. Для изотонального состояния Se^{75} обозначено, что изотональное излучение изотонального состояния Se^{75} и радиоактивному радиоизотону изотонального ядра Se^{75} распадается с $T_{1/2} \sim 10^4$ лет. Для изотонального состояния Se^{75} распада и переходят в основное состояние изотонального ядра Se^{75} .

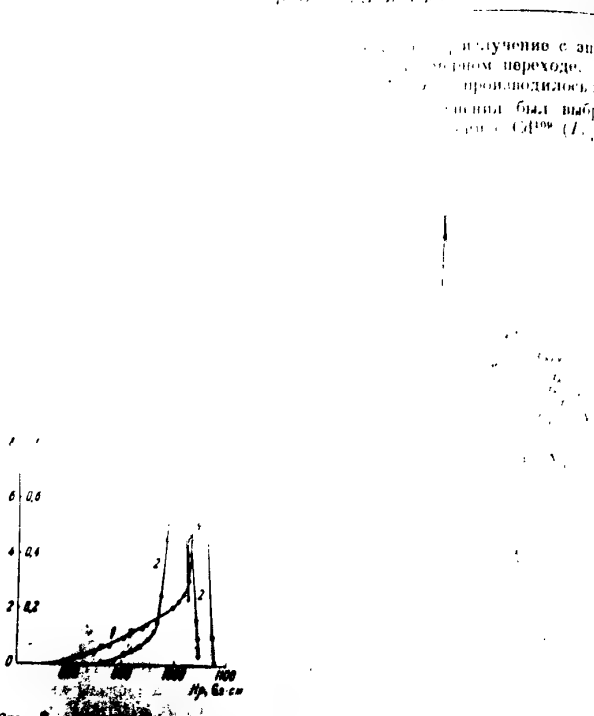


Рис. 2. Схема изображения кристаллов изнутри и снаружи. Кристалл в виде «бутылки» с конусом на дне и снизу. Кристалл в виде «шара» с конусом на дне и снизу. Кристалл в виде «шара» с конусом на дне и снизу.

где K_0 — отношение
мых препаратом $\Sigma_{\text{вн}}$
испускаемых промежуточных
спектрометрических
тенциометрических
 $\Sigma_{\text{вн}}$ и $\Sigma_{\text{вн}}$.

СОВЕТСКАЯ
СОЦИАЛИСТИЧЕСКАЯ
РСФСР

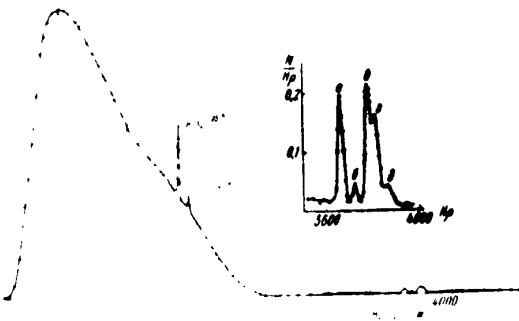
издания изобрана изомерия Zn^{65} , Se^{74} , Se^{76} , Nb^{93} , Hg^{199} и Pb^{212} .

результате проведенных измерений для коэффициента κ в $S = 1$ и $K = 1$ -оболочке было получено значение $\kappa \approx 0.5$. Для изучения спектра конверсионных электронов $S = 1$ в солене с поверхностной плотностью $\lambda = 1.5$ м $^{-2}$ были приведены на рис. 4. Для x_1, x_2 взяты значения, соответствующие значениям α_K , рассчитанным по формуле (2) для $E1 = 0.5$, $E2 = 0.5$, $E3 = 0.6$, $E4 = 0.7$ и $E5 = 0.8$. Ввиду отсутствия теоретических расчетов для $K = 1$ в формулах были использованы формулы из работы [3]. Но этим пришлось ограничиться из-за отсутствия в работе [3] расчетов для различных мультиплитаций. Для $E1 = 0.5$, $E2 = 0.5$, $E3 = 0.6$, $E4 = 0.7$ и $E5 = 0.8$ получены в настоящей работе результаты, аналогичные полученным в работе [3], т. е. $\kappa \approx 1.5$.

енные значения зи-
ваний с расщеплением
рекода при исчез-
новании состояния S_1
и замеренных в
одинаковых усло-
виях состояния

около 10% Nb^{51}
в та же самую

распада $Zr^{95}(I_{\gamma} = 6)$ с периодом $\sim 3^{\circ}$ распадом с периодом ~ 10 сут $Zr^{95} \rightarrow Nb^{95} \rightarrow Mo^{95}$ с максимумом в спектре [9-12].



излучения и номера, известные исследование и помощь спектрометрии. Для этих измерений в Nb^{93} Измерения были сделаны Zr^{93} в Nb^{93} (табл. 1).

Регистрация электронов в β -спектрометре проводилась с помощью двух счетчиков, работающих по схеме симметричной конверсии. Одни из счетчиков регистрируют K -конверсионные линии в области малых энергий, а другой — приведены к одиночным счетчиком с окномком с регистрацией L -конверсионных линий в области больших энергий.

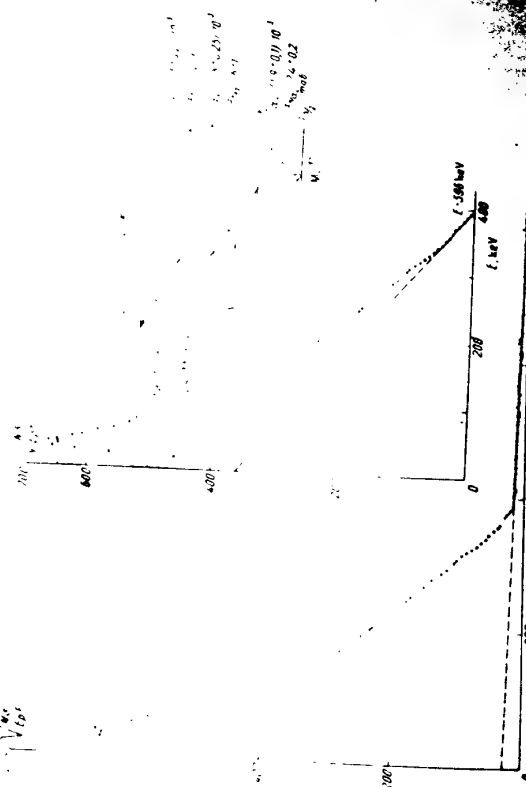


Рис. 6. График Ферми—Копров β -спектра и схема распада Zr^{90} .

Следует отметить, что для выполнения контрольных измерений с источниками Zr^{90} и Nb^{93} использовалась одна и та же схема Ферми—Копрова этого спектра (рис. 6) получена компонентой K -конверсии с $E_{\gamma} = 885 \pm 10$, 396 ± 5 и 360 ± 5 keV. Интенсивность компоненты L -конверсии соответственно составляет 2 ± 0.5 , 55 ± 5 , 43 ± 5 в таком же порядке, как и для спектра Zr^{90} , относящаяся к Nb^{93} .

Данные о спектре Zr^{90} и энергии γ -лучей построены на основе спектра Zr^{90} , представленного на рис. 6. По данным о числах радиоактивных электронов и числах электронов в симметричной конверсии спектра Zr^{90} были установлены постоянные для спектра коэффициенты конверсии и коэффициент конверсии:

$$E_{\gamma} = 720 \pm 3 \text{ keV}, \quad \alpha_K = (1.3 \pm 0.2) \cdot 10^{-3}, \quad (1)$$

$$E_{\gamma} = 396 \pm 3 \text{ keV}, \quad \alpha_L = (1.8 \pm 0.25) \cdot 10^{-3}. \quad (2)$$

Следует отметить, что вследствие симметрии спектра Zr^{90} с $E_{\gamma} = 760$ keV и Nb^{93} с $E_{\gamma} = 737$ keV энергия 760 keV определяется исходя из симметрии спектра. Для работы спектрометра K - и L -конверсионные линии должны быть симметричны. Используя данные о K - и L -конверсионных линиях, полученные на спадающей части спектра Zr^{90} , можно определить коэффициент конверсии для первого перехода Nb^{93} , определенный ранее.

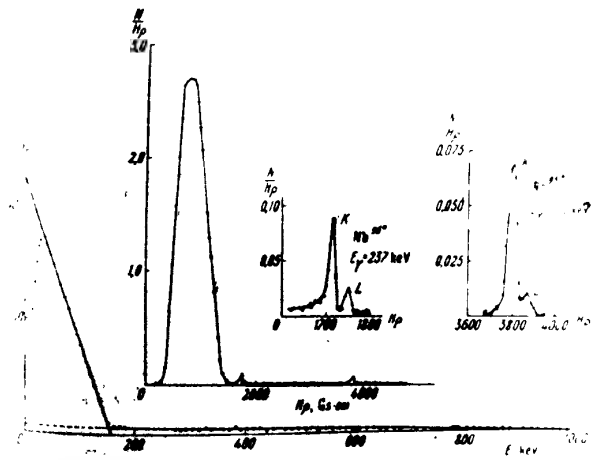


Рис. 7. β -Спектр и график Ферми—Копра Nb^{93} .

Для измерения β -спектра Nb^{93} ($T_{1/2} = 35$ дн.) был приготовлен радиоизотопный источник Nb^{93} , не содержащий Zr^{90} . Результаты измерений β -спектра Nb^{93} приведены на рис. 7.

Компоненты спектра Nb^{93} — K -линии, соответствующие γ -лучам с энергией 237 keV, и L -линия, соответствующая первому переходу Nb^{93} . Интенсивность этих линий уменьшилась за время измерения 90 ± 2 час. Для этого перехода отношение α_L / α_K было определено. Полученный результат совпадает с полученным ранее.

Возможность регистрации радиоактивных препаратов с помощью конверсионных электронов Zr^{90} приведена на рис. 6. На кривой спектра Zr^{90} приведены K - и L -конверсионные линии с энергией 237 keV. Кроме того, на кривой спектра Zr^{90} приведены K -линия с энергией 720 keV и L -линия с энергией 737 keV. Контрольные измерения с помощью конверсионных линий Nb^{93} с $E_{\gamma} = 720 \pm 3$ keV и L -конверсионными линиями γ -лучей Nb^{93} с энергией 720 keV. Идентификация этих конвер-

Г. М. Драбкин, В. И. Орлов и Л. Н. Рудин

На рис. 7 видны конверсионные K - и L -линии, состоящие из двух линий с энергией $E_L = 770 \pm 2$ keV. Интенсивность этих линий неизменна в течение примерно в 35 дней, соответствующих времени полураспада изомерного состояния Nb^{93} . График Ферми - Нюра. Из квадратов приведены относительные интенсивности компонент в спектре Nb^{93} :

$$\text{для } E_L = 160 \text{ keV} = (99 \pm 0.5\%),$$

$$\text{для } E_L = 770 \text{ keV} = (1 \pm 0.5\%).$$

Следует отметить, что в спектре конверсионных компонент было подтверждено изомерное состояние с максимальной интенсивностью источников изомерных изотопов Nb^{93} . Использование изомерных изотопов и полученные данные, приведены в работе [2], показаны на рис. 6. Для

$$E_L = 770 \text{ keV}$$

Таким образом, для определения времени полураспада изомерного состояния предложена общая схема радиоактивного изотопного метода, в которой метастабильные изомерные состояния ядра Nb^{93} радиоактивно распадаются в изомерное состояние основное состояния ядра Nb^{93} .

Для изомерного перехода $Nb^{93} \rightarrow Nb^{93}$ с энергией $E_L = 770 \pm 2$ keV из кривых, приведенных на рис. 6, для изомерного перехода (3) при предположении о постоянстве времени жизни изомерного состояния Nb^{93} получены следующие значения γ перехода:

$$\text{для } \frac{\alpha_E}{\alpha_L} \approx 4.15, \text{ для } T_{1/2} = 2.2,$$

$$\text{для } \frac{\alpha_E}{\alpha_L} \approx 7.3, \text{ для } T_{1/2} = 4.7.$$

Сравнение полученных экспериментальными данными значений γ с расчетными показывает, что для изомерного перехода $Nb^{93} \rightarrow Nb^{93}$ с энергией $E_L = 770 \pm 2$ keV, как переход типа $M4$, однако в отличие от изомерного состояния Nb^{93} в выяснении типа перехода не участвует, были рассчитаны времена жизни изомерного состояния Nb^{93} с энергией $E_L = 498$ keV (относительно испускания изомерного состояния Nb^{93}). Эти вычисленные результаты приведены в табл. 1, в соотвествии с временем жизни изомерного состояния Nb^{93} для определения времени полураспада изомерного состояния Nb^{93} рассчитывались по таблице в [2].

Таблица 1

E_L	$T_{1/2}$	γ	$M4$	$M2$	$M1$
Чт. час. $\times 10^3$	Чт. час. $\times 10^3$				
Чт. час. $\times 10^3$	Чт. час. $\times 10^3$				

В соответствии со временем $T_{1/2}$ для Nb^{93} в изомерном состоянии, полученным в работе [2], следует, что тип изомерного перехода Nb^{93} должен быть $M4$.

Используя полученные в настоящей работе значения времени полураспада изомерного состояния Nb^{93} для других изомерных состояний Nb^{93} и изомерных состояний Nb^{93} с теоретически рассчитанными значениями, мы определили, что для изомерного состояния Nb^{93} с энергией $E_L = 770 \pm 2$ keV

$E_L = 770$ keV — тип перехода — $M1$,

$E_L = 498$ keV — тип перехода — $E2$,

$E_L = 770$ keV — тип перехода — $E2$.

Максимальные интенсивности трех γ -переходов указаны на приведенном на рис. 7 спектре Рамана для изомерного состояния Nb^{93} .

Rh¹⁰³

Изомерные состояния Rh¹⁰³ получались в результате бета-распада изомерного состояния Pd^{103} с периодом полураспада $T_{1/2} = 40$ дн. Метастабильные изомеры Rh¹⁰³ с периодом полураспада $T_{1/2} = 57$ миц превращаются в Rh¹⁰³ с периодом полураспада $T_{1/2} = 10$ миц.

Распад $Rh^{103} \rightarrow Rh^{103}$ соответствует ступенчатому изменению времени жизни изомерного состояния, не согласующемуся с моделью ядерного состояния. В настоящей работе проведено более детальное исследование спектра изомерного состояния Rh¹⁰³ с помощью магнитного спектрометра измерения спектр Rh¹⁰³ при помощи изомерного перехода Rh¹⁰³ \rightarrow Rh¹⁰³. Относительная плотность источника составила ~ 0.1 мг/см². Поглощением электронов производилась при помощи счетчика с окном. Абсолютная плотность изомерного состояния Rh¹⁰³ при помощи счетчика с окном, поверхностью которого была из больших кристаллов кремния, поверхностью которого была из больших кристаллов кремния, была определена в ~ 1 мг/см². Результаты измерения представлены на рис. 8.



— *С. С. К. и И. Орлов и Л. И. Рудинов*

¹ See also V. G. Tikhonov.

один из самых толстых источников тепла с ограниченной энергетической емкостью.

таким образом, что в спектре распада Ru^{103} , помимо основных компоненты γ -излучения в 70-80 %, на изотопе можно определить и изотоп Ru^{104} с энергией

СИСТЕМЫ СЛЕДУЮЩИЕ
ПОСЛЕ АЛГОРИТМОВ

Все это соответствует изотопу рутения Ru^{194} , который в отличие от Ru^{91} присутствует в земной коре.

работа
дит с
с периодом
врашается в игре.

Test specimen	σ_0	E	ν	M	M'
Steel	200	100	0.25	100	100

Two Notes

III. *Methodology*

Исследование ядерной изомерии Zn^{69+} , Xe^{70+} , Se^{71+} , Np^{9+} , Ru^{10+} , Pb^{11+} .

1379

Радиоактивный изотоп Cs^{137} испускает γ -излучение с энергией $E_{\gamma} = 662 \text{ кэВ}$, имея температуру плавления $T_{\text{пл}} = 33 \text{ град.}$ В результате радиоактивного распада Cs^{137} превращается в изотоп Ba^{137m} , имеющий температуру плавления $T_{\text{пл}} = 1300 \text{ град.}$ Время полураспада Cs^{137} составляет $t_{1/2} = 30 \text{ лет}$. Время полураспада Ba^{137m} составляет $t_{1/2} = 2.6 \text{ года}$.

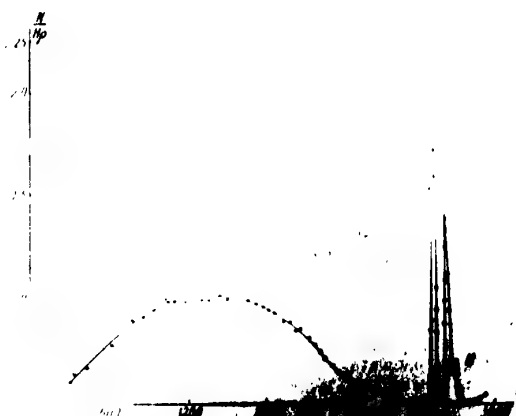


Fig. 9.

ранием β -спектра K^+ , L , M -изотопов и измерению по-
зиционно-энергетическому счетчику числа β -частиц, определенное значение коэффициента k в формуле (1) $k = 0,11 \pm 0,03$.

$$z_1/a_N = 4.1 \pm 0.4$$

0.01 keV α_K для разных мультиплитов $M3 \sim 0.045$, $M4 \sim 0.1$, при переходе $Ba^{199} \rightarrow M4$. Стабилизируется со временем в типе $M4$, однако стабильность

Приложение
к Записке
Сената
Сенату и Государю

I - M - I, издано В. И. Ольховским и В. И. Рубаном

Таблица 4

Список изомерных ядерных переходов и уровней метастабильных ядер Zn^{68} , Se^{70} , Se^{71} , Nb^{94} , Rb^{86} и Ba^{137}

	τ	J_1	J_2	ΔE	Метастабильные состояния	$\frac{1}{2} \gamma$ максимум
Zn^{68}	1 мс.				$M_{1/2}$	$E_{1/2}$
Se^{70}	56 мин				$M_{1/2}$	$E_{1/2}$
Se^{71}	90 час				$M_{1/2}$	$E_{1/2}$
Nb^{94}	57 мин	0			$M_{1/2}$	$E_{1/2}$
Rb^{86}	2,6 мин	681			$M_{1/2}$	$E_{1/2}$
Ba^{137}					$M_{1/2}$	$E_{1/2}$

стабильному состоянию, сведены в табл. 4. Переход изомерных ядер Zn^{68} , Nb^{94} и Ba^{137} в основное состояние сопровождается излучением типа $M4$, что согласуется с системой уровней, вытекающей из модели ядерных оболочек.

В ядрах Se^{70} , Se^{71} , Rb^{86} изомерный переход сопровождается излучением типа $E2$. Для объяснения типа $E2$ перехода у этих изомеров необходимо предположить выполнение условия $J_2 = 2$ в четвертой нуклонной оболочке. Можно считать, что этот уровень получается вследствие взаимодействия исходящих четвертых нуклонов находящихся на g -уровне этой нуклонной оболочки.

Следует отметить, что для Se^{71} основное состояние $+7/2$, а метастабильный — $-7/2$, а для Se^{70} основной уровень $J_1 = 0$, а метастабильный — $+7/2$. Основное состояние Zn^{68} — $p_{1/2}$, а метастабильное — $-g_{5/2}$; основное состояние Nb^{94} — $g_{7/2}$, а метастабильное — $p_{1/2}$. Эти данные согласны с характером заполнения уровней по модели ядерных оболочек.

В последнем столбце таблицы дано соотношение экспериментальных времен жизни по отношению к эмпирическому (с учетом конверсии) с приемлемыми ошибками, рассчитанными по методу Ольховского и модели [13].

Для переходов типа $M4$ получено полное согласие с моделью удовлетворительное, согласно; это согласие находит подтверждение в модели радиационных переходов.

Для переходов типа $E2$ получено согласие с моделью, но изменения времени жизни не могут быть проверены, так как теоретически вычисляемые времена жизни для изомерных ядер излучение придают в виде γ -излучения, а не в виде дигитальной излучения.

Согласие с моделью не может быть проверено для изомерных ядер, которые удачно описаны в модели ядерного материала.

Работа выполнена в Институте ядерной физики Академии наук СССР в г. Дубна под руководством профессора В. И. Шараланова за

Несколько изотопов изомерии Zn^{68} , Se^{70} , Se^{71} , Nb^{94} , Rb^{86} и Ba^{137}

Цитированная литература

- Livingood L, Seaborg G, Phys. Rev., 55, 457 (1939).
 Бор М., Гортзель Г., Спирнрад В., Нагг Дж., Стюарт Р. Б., Леви А., Форд У., Барсон С., Физ. Ж., 1951, № 85, 70 (1951).
 Goldhaber М., Сундер А., Phys. Rev., 83, 906 (1951).
 Чилдредж У., Cork J., Burson S., Phys. Rev., 80, 106 (1950).
 Драбкин Е., Руциков Л., ДАН СССР, 97, 317 (1954).
 Гольдхабер М., Хилл В., Rev. Mod. Phys., 24, 174 (1952).
 Боргстрём Л., Тхулин С., Phys. Rev., 76, 1738 (1949).
 Гюнтер И., Хубер О., Helv. Phys. Acta, 26, 788 (1953).
 Драбкин Е., Драбкин Г., Орлов В., Радиоэлектроника, 1952, б, 4141 (1953).
 Капель В., ЖЭТФ, 21, 4379 (1951).
 Борис Н., Заррел Л., Ark. Fys., 5, 29 (1950).
 Cork J., Le Blanc J., Стюарт В., Нагг Дж., Физ. Ж., 1951, № 80, 525 (1951).
 Висскопф В., Phys. Rev., 83, 407 (1951).
 Гандалик Е., Phys. Rev., 79, 891 (1950).
 Cork J., Le Blanc J., Мартин Н., Стюарт В., Бриджес М., Phys. Rev., 90, 579 (1953).
 Гольдхабер М., Нельсон Е., Phys. Rev., 58, 189 (1949).
 Трайли Н., Физ. Ж., 75, 129 (1949); Phys. Rev., 76, 1541 (1949).

П. А. ЯМПОЛЬСКИЙ, О. И. ГЕНЧУНСКИЙ, М. Л. ГЕН и А. М. ТИХОМИРОВ
ОБНАРУЖЕНИЕ КОРТОКПЕРИОДНЫХ ИЗОМЕРОВ

Обнаружение короткокпериодных изомеров с длительностью периода полураспада в интервале от миллисекунд до долей секунд захватывает в себе ряд трудностей. Однократное же более короткокпериодных активностей представляет собой явление, которое мы вполне разработанную область измерений, основанную на применении методики запаздывающих совпадений. Это методика, однако, ставит в неизбежной для активностей, распадающихся за доли миллисекунды или большие времена, так как в этом случае необходима регистрация сцинтилляционной аппаратура с малым разрешением, что приводит к большому фону случайных совпадений.

Увеличение активности препарата по мере улучшения положения дела, так как одновременно растет и фон.

Вследствие этих трудностей лишь очень небольшое число работ посвящено исследованию активностей в этом временном интервале. Между тем несомненно, что исследования в этой области могут обнаружить большое число неизвестных активностей. Так, например, известно, что изотопы легких ядер с числом нейтронов, которое на единицу меньше числа протонов, являются неустойчивыми, причем период полураспада быстро убывает с ростом атомного номера. Последний из известных членов этого ряда, Ti^{42} , имеет период полураспада 0,58 сек [1]. Несомненно, что при наличии соответствующей методики регистрации можно было бы обнаружить следующие более короткокпериодные члены этого ряда. В работе [2] были исследованы изотопы некоторых ядер с равным числом протонов и нейтронов, образующихся при реакции (p, n). Были обнаружены новые короткокпериодные изотопы с периодами полураспада в несколько десятков долей секунды. Для измерения большого числа периодов аппаратура была приспособлена.

По последнему времени было обнаружено изотопа Ta^{181m} с периодом полураспада в интервале 0,1—0,2 секунды [3, 4]. Этот факт отмечен в работе [5], где приводятся расчеты синхронизации измерения с помощью изотопами с одинаковыми периодами полураспада. Синхронизация должна быть около 10% для того, чтобы сравнительно легко обнаружить изотоп. Это может быть объяснено со

следующими соображениями. Данные о существовании изотопа Ta^{181m} (0,14 сек) снязано, вероятнее всего, из-за необходимости применения радиоактивных источников, которые не могут быть получены. Поэтому он предложил начать изучение изотопов с короткими периодами полураспада, а не изотопов короткокпериодных изомеров или доказательством обнаружения изотопов с короткими периодами полураспада.

В настоящем сообщении речь идет о предварительных результатах изучения короткокпериодных изомеров при импульсном облучении

изотопами с короткими периодами полураспада. Установлено, что импульсный источник нейтронов с энергией ~ 14 MeV представляет собой волнистую трубку с напряженностью поля $E = 10^6$ вольт/сантиметр. Применение импульсного изотопного источника позволяет измерять длительность 1,3 мсек. Форма импульса прямоугольная, ток $I = 10$ мА. Дейtronный пучок бомбардировал цирконий, насыщенный три튬ом; в результате бомбардировки образовывались нейтроны с энергией ~ 14 MeV.

Вещества, исследуемые на возникновение короткокпериодных изомеров, подвергались в реациях с быстрыми нейтронами, установленными непосредственно под мишенью.

Возникающее при облучении нейтронами вещества γ -излучение регистрировалось при помощи сцинтилляционного счетчика импульсного типа. Сигналы счетчика после усилителя подавались на катодный осциллограф с жесткой разверткой. Жесткая развертка запускалась от импульса, причем начало запуска развертки было точно определено моментом окончания дейtronного импульса.

Для проверки отсутствия рентгеновского послесвечения в результате дейtronного пучка перед циркониевой мишенью монтировалась свинцовая жесткая заслонка. Проверка производилась на двухлучевом сцинтилляционном счетчике: один луч регистрировал дейtronный пучок, другой — сцинтилляционный счетчик. Опыты показали, что непосредственно после прекращения действия дейtronного пучка излучение мгновенно прекращалось.

Измерения, кроме того, показали, что по окончанию нейтронного импульса сцинтилляционный счетчик вместе с усилителем не меняет эффективности регистрации γ -излучения.

Таким образом, производилась регистрация только γ -излучения, во время которого после облучения вещества нейтронами, и возникало рентгеновское излучение, связанное с работой трубки, и мгновенное γ -излучение, возникающее при взаимодействии нейтронов с веществом. Набор изверток катодного осциллографа позволял обнаруживать активности с периодом полураспада в интервале $10^{-4} \sim 0,1$ сек. Для измерения больших периодов полураспада регистрация проводилась на телефонном осциллографе.

Когда пучок дейtronов падал на мишень, сцинтилляционный счетчик наруживал очень интенсивное послесечение из-за отсутствия исследуемого вещества между мишенью трубки и сцинтилляционным счетчиком.

Судя по величине импульсов, послесечение уменьшалось по рентгеновским, а более жестким γ -излучением.

При изменении расстояния между мишенью и регистратором интенсивность послесечения резко изменялась (рисунок), так как квадрат расстояния.

Отсюда следует, что источник возникновения γ -излучения находился в непосредственной близости от мишени или от кристалла. Таким образом, исключалось предположение, что обнаруженное γ -излучение возникало в результате захвата замедленными в толще вещества нейтронов.

При сканировании специальной облучаемой нейтронами мишени были обнаружены γ -лучи, испускаемые со следующими периодами полураспада: 1) $0,48 \sim 1,6$ мсек, 2) $5,5$ мсек, 3) $27 \sim 30$ мсек, 4) $3 \sim 4$ сек.

Все измерения проводились нами с органическими кристаллами на сцинтилляционном счетчике. Когда применялся кристалл $NaJ(Tl)$, то, кроме γ -излучения, давшего периоды, наблюдалось β -излучение, интенсивность которого была с 12-секундным периодом; эта активность получалась из-за (n, β) -реакции с натрием, содержащимся в кристалле. На сцинтилляционном счетчике в состав материала волнистой трубки и фотоумножителя вводились изотопы ^{232}Th , ^{233}U , ^{235}U , ^{239}Pu и ^{232}Ra , а также в (n, p) -реакции, не образующие изотопов с короткими периодами полураспада.

Активность с периодом $T_1 = 27$ мсек могла быть измерена ($T_1 = 27$ мсек, $E_2 = 13,6$ MeV); B^{12} мог образоваться в ции $\text{N}^{15}(\text{n}, \gamma)$ и $\text{C}^{14}(\text{n}, \rho)$. При помещении между источниками щитов, содержащих азот и углерод, не было различия в величине интенсивности этого излучения.

и кристаллом фотомоноклита $\text{Zn}_2\text{Si}_2\text{O}_5$ и W , однако все эти вещества не дают четких границ в характере послесвечения. Для того чтобы выявить, с какими элементами связано послесвечение, необходимо

Время получения губо определялось при помощи часов, попадающих на треггер. Из полученных активностей трех типов с помощью квазимгнитным излучением обладают природной ядерной магниты — длиннопериодные.

Мы полагаем, что обнаружение γ -излучения не может быть объяснено какому-либо известному радиоактивному изотопу, а должно быть получением новых короткопериодных изомеров, возникающих в результате взаимодействия нейтронов с энергией 14 MeV с ядром атома борта.

Возможно, что именно образованием изомеров можно объяснить обнаружение разными авторами и не нашедшее объяснения короткопериодное γ -излучение. Так, в работе Браэля [4], выполненной с импульсным источником нейтронов $\text{Be} + d$ ($E_d = 11 \text{ MeV}$), были обнаружены короткопериодный фок с периодом полуразпада в несколько десятков миллисекунд. В другой работе [5], выполненной с ядерами, получаемыми по реакции $\text{Li} + d$ ($E_d = 0.9 \text{ MeV}$, $E_n \sim 14 \text{ MeV}$), было обнаружено γ -излучение с периодом 25—35 мес. Интересно отметить, что в этой же работе, когда мишень была не лигативная, а боровая, (т. е. энергия нейтронов была небольшой), короткопериодный фок не обнаруживался.

Для изыскания характеристик полученных изомеров и характеристики синтеза, приводящих к их получению, в настоящее время предутра-
ждаются работы.

Кроме указанных ранее элементов, нами были исследованы свинец и цинк. В работе Кемпбелла [6] был обнаружен короткопериодный изомер Pb^{207} , с периодом полураспада 0,9 сек. Этот изомер получался при облучении цинка на реакторе медью или же нейтронами по reactioni $\text{Zn}^{65}(\text{n}, \gamma)\text{Pb}^{207}$. В дальнейшем, в работе [7] было показано, что период Pb^{207} был равен 0,82 сек. Мы обнаружили наличие короткопериодного изотопа цинка — облученного нейтронами с энергией 14,6 MeV, — периода 0,75 сек.

Но и не полная энергия и не сила РВ²⁰⁷ (1,07 и 0,56 MeV) находятся в схеме. Был спроектирован и построен для определения энергии и силы РВ²⁰⁷ излучение, которое было получено в результате взаимодействия ядра миокарда мышцы с атомом водорода. В качестве монитора излучения в схеме использовалась изолированная ток, содержащая в себе излучение.

Далее мы обнаружили, что при помещении мицеллы в раствор соли иона-носителя иона-носителем временно возникает взаимодействие с ионом. Время этого взаимодействия, определяемое по времени приближению $2,5 \text{ MeV}$.
Возникает вопрос, какому настолько велико

получает один устойчивый изотоп Bi^{209} . В настоящий момент висмут от Bi^{207} до Bi^{214} , кроме Bi^{209} , не был обнаружен. В таблицах Сиборга [8] есть, что этот изотоп обладает коротким периодом полураспада (данные Неймана и Перлмана). Однако в дальнейшем авторы сообщили. Есть основания предполагать, что Bi^{210} самым периодом полураспада [9] один. При рассматривая взаимодействие нейтрона или Rb , можно ограничиться разностью

тической теории языка [10].

$$m \equiv m(t) = (1 + \Delta t)/t_0$$

где χ — коэффициент неупругого взаимодействия, A — коэффициент связи, T — температура ядра.

им работы [11] температура ядер с энергией 14 MeV в 10 раз выше [42].

Это ведет к результатами изменения $R_{\text{вн}}$.

и в результате применения гидроизоляционных элементов экспериментального ба-

лема в контексте квантовой механики и квантовой теории поля. Таким образом, в

то и с быстрыми нейтронами образует V_{125} . Но исчезающее излучение не может быть, однако, при этом ΔE , так как этот переход является сильно заторможенным и при столь большой константе распада энергия расщепления должна быть очень большой. Мы считаем, что обнаруженное излучение возникло в результате изомерного перехода V_{120}^{*} , образующегося и выделяющего энергию. Это тем более вероятно, что у V_{120}^{*} число нейтронов на единицу меньше «магического» (125 нейтронов) (точно так же

В работе изомер Pb^{207} получался по реакции (n, n') с нейтрона и фильтрация (с $E_n = 0,9$ MeV). В этой работе авторы получили соотношение образования Pb^{207} равно $1,5 \cdot 10^{-16} \text{ см}^3$, т. е., если принять что сечение второго взаимодействия равно $2,7 \cdot 10^{-16} \text{ см}^2$, то только 5 % изомеров, участвовавших в реакции, образуются в изомерном состоянии.

реакция $(n, 2n)$ с нейтронами с энергией 14 MeV. Оценка была приближенной, так как ряд факторов (абсолютная величина и регистрация, энергия измерения) известны недостаточно полно. Указывается, что выход изомерного состояния близок к единице, т. е. максимум образующееся в результате реакции $(n, 2n)$ ядро Pb^{207} или V^{166} находится в изомерном состоянии. При реакции (n, n') с более модифицированными нейтронами вероятность образования изомерного ядра зна-

При взаимодействии быстрых нейтронов с ядром возможно привнесение импульса и момента, пропорционального $l \leq R/\lambda$, где R — радиус ядра и λ — длина волны нейтрона. Для Bi и Pb к вейбронам с энергией 7—8 MeV относится реакция $(\alpha, 2n)$. Если происходит реакция $(\alpha, 2n)$, то 7—8 MeV энергии, приобретенные ядром, расходуются на удаление второго нейтрона.

нейтронов, испаряющихся из ядра Be^{10} , с максимумом энергии от 60 до 2 MeV, при реакции $(n, 2n)$ орбитальная монента из ядра двумя сравнительно медленными нейтронами, меньшие момента, привнесенного внутрь ядра, оставшееся после испарения обоих нейтронов, имеет большую вероятность оказаться в состоянии с избыточным угловым мо-

2

342 H. V. G. G. K. O. H. Лепурекин, М. Н. Ген и А. М. Тимофеев

Цитокининные препараты

6. *et al.*, Rev. Sci. Instr. **19**, 100 (1948).
 7. *et al.*, Canad. J. Phys. **30**, 111 (1952).
 8. *et al.*, Canad. J. Phys. **30**, 966 (1952).
 9. Bhagat, S., and Ray A., Phys. Rev. **83**, 990 (1951).
 10. Bhagat, S., Phys. Rev. **83**, 990 (1951).
 11. Bhagat, S., and Ray A., Proc. Camb. Phil. Soc. **44**, 133 (1948).
 12. Campbell, D. C., and Goss, R. J., Proc. Roy. Soc. **76**, 640 (1950).
 13. Vondráček, J., and Šimánek, J., *Z. f. Phys.* **7**, 656 (1952).
 14. Seaborg, G. T., and Glavis, E. B., *Nature*, **153**, 85 (1944).
 15. Pryse, G. J. S., and Williams, A.M., *Proc. Roy. Soc. A*, **773** (1952).
 16. Беловский, А. А., *Физика ядерных реакций*. — И.Т. М., 1952.
 17. Graves, E. G., *Phys. Rev.* **89**, 343 (1953).
 18. Kenney, B., *Bell Telephone Lab. Rep.* **69**, 343 (1953).
 19. Clarke, F., *Canad. J. Phys.* **31**, 267 (1953).
 20. Whitmore, R. B., Dennis, G., *Phys. Rev.* **84**, 296 (1951).
 21. Katz, R., *et al.*, *Canad. J. Phys.* **31**, 250 (1953).
 22. Broolley, J., *Phys. Rev.* **89**, 574 (1953).

A. E. NEPHORUS

ВРЕМЯ ЖИЗНИ ВОЗБУЖДЕННЫХ СОСТОЯНИЙ НЕКОТОРЫХ ЯДЕР

Bug Report

Длительность времени жизни возбужденных состояний ядер весьма широка и варьируется от крайне малых величин порядка 10^{-16} — 10^{-17} сек (например при уловке, образующихся при радиационном захвате нейтронов) до нескольких лет. Долгопериодные состояния ядер принято называть нестабильными, причем в качестве таковых принимаются состояния, время жизни которых поддается измерению. Несколько групп измеримых времен, однако, постоянно снижается, что свидетельствует об отсутствии принципиального различия между обнаруженными и неизвестными нестабильными (или космогенными) состояниями ядер.

В настоящие времена удается не только и оценивать еще меньшую продолжительность жизни, но и вести более полную, здоровую жизнь.

схема из экспериментального опыта показана на рис. 5. На схеме изображены импульсы от анодов фотодиодного умножителя (ФДУ) и разделятельные диоды L_1 и L_2 (БК13) оптического фильтра. Время на их анодах стандартные во времени импульсы с различной полярностью. Эти импульсы поступают в блок временной задержки, представляющий собой реохордную пару, расположенную на латунном цилиндре с изолированными полистироловыми втулками, имеющими различные интервалы. Весь блок временной задержки со спиралеобразной системой стемок обладает высокой стабильностью и дифракционной шириной не более 1 мкм.

Journal of Clinical Endocrinology 1998, 140, 111–116. © 1998 Blackwell Science Ltd
1365-2796/98/010111-06

импульсом от R , устанавливающий потенциал его запирания таким образом, что импульсы от каждого из fotoумножителей блокируются в соответствии с совпадающими от обоих fotoумножителей импульсами. Для этого необходимо измерить коэффициент отбора схемы двойной корреляции и определить, в каком изображении, при помощи скользящего окна, изображение, в котором изображение с меньшим временем, где происходит совпадение импульсов от обоих fotoумножителей (так как изображение с меньшим временем, где происходит совпадение импульсов от обоих fotoумножителей, соответствует изображению с меньшим временем, где происходит совпадение импульсов от обоих fotoумножителей). В результате корреляции изображений, полученных с разными частями приемника (все изображения, кроме изображения с минимальной амплитудой), в зависимости от времени, в течение которого изображение с минимальной амплитудой было получено, определяется коэффициент отбора схемы двойной корреляции. Для этого изображения с минимальной амплитудой определяется время, в течение которого изображение с минимальной амплитудой было получено, определяется коэффициент отбора схемы двойной корреляции.

отрицательной полуволны напряжения на диоде A_1 .
На изображении в виде трех фотографий, полученных
наторами A_1 , A_2 и A_3 , видно, что изображение от всех трех
поступающих в оптическую систему Σ изображений и
ство и местоимение

Наличие симметрии в фазовом пространстве и симметрия полной надежности работы схемы на увеличенном временному интервалу совпадений. Даже в случае отсутствия линейных эффектов в схеме отдельный следует дискриптивный D устанавливать минимальной и существенно для учета отклонений от слабых импульсов, которые могут завершить колюбкость L_1 (или L_2). Но в таком случае сигнал одиночный импульс может быть зарегистрирован как двойной. При различии же схемы тройных совпадений такая возможность исключается. Кроме того, при помощи дискриптиваторов L_1 и L_2 можно уменьшить шумовую часть шумовых импульсов фотодиодов, что позволяет уменьшить случайные совпадения. Это существенно для симметрии схемы, а также для ее надежности. Последнее требование обусловлено и обеспечения большой амплитуды импульса, точной для запирания ограничителя времени. Уменьшение времени Δt не только уменьшает время τ , но и уменьшает время τ' . Тогда, если в симметрии схемы L_1 и L_2 уменьшить время Δt , то можно уменьшить время τ и время τ' .

Сообщение	Факт
Об особенностях	Сообщение о факте
богатства	Сообщение о факте
Сообщение о	Сообщение о факте
составе	Сообщение о факте
Сообщение о	Сообщение о факте
составе	Сообщение о факте
Сообщение о	Сообщение о факте
составе	Сообщение о факте

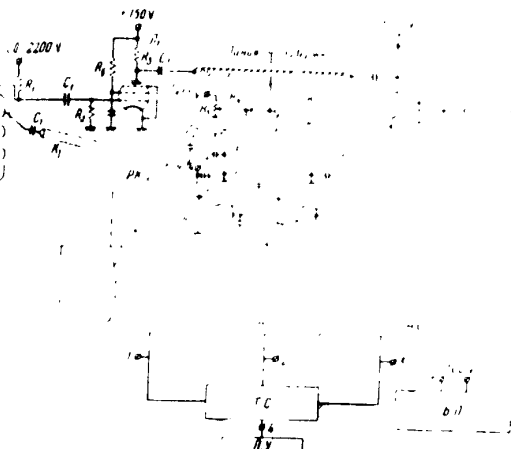
WHEATON COLLEGE LIBRARIES

При малом напряжении на катоде ток не будет протекать, и время жизни фотокумынокатода снизится до времени жизни первого электрона.

Следовательно, что при малом напряжении разрешения схемы $\Delta U_{\text{вн}}$ катастрофически возрастет и схема будет в этом случае неработоспособна. Поэтому необходимо рассмотреть

Все выше перечисленные компоненты находятся в

фотоумножители типа ФФУ-19), подбора делителей напряжения к типу избора германовых диодов и ограничивающих цепей. Параметры схем быстрых соппадений, а также данные примененных в них приборов приведены на рис. 1.



Техническая характеристика устройства (часть схемы, обведенной пунктиром в каркасе линии передачи, Φ_1 , Φ_2 —фотодиодные умножики I_1 , I_2), приема МИПН, L —коротковолновый формирователь из K_2 , K_1 и линии L терминальный звуковой диффузор, D_1 , D_2 —диоды из V_1 , V_2 —умножители (ЧА = 4000), полосы ~ 3.5 МГц), Y_1 —усилительного каскада из V_3 МИПН, L_1 —схема трехполюсного соединения ($T = 0.3$ диска), предупреждающее аварийное выключение блока питания: $R_1 = 8.2$ кОм, $R_2 = 20$ кОм, $R_3 = 44\Omega$, $E = R_4 = 10$ кОм, $R_5 = 5$ кОм, $R_6 = 10$ кОм, $R_7 = 1$ кОм, $R_8 = 300 \cdot 12$ кОм, $C_1 = 0.01 \mu\text{F}$, $C_2 = 1 \mu\text{F}$, $C_3 = 2 \mu\text{F}$, $C_4 = 2.5 \mu\text{F}$.

затем напряжение с фотоэлектронным умножителем характеризуется тремя парами (нумерация сопротивлений на рисунке 10).

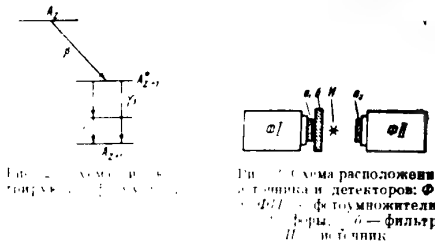
$$0.2 \quad \frac{r_{11-14}}{r_{11-11}} = 2; \quad \frac{r_{10}}{r_{11-11}} = 2.5.$$

ВИДОСТИ — **РЕДУКЦИЯ** — **АССОРТИМЕНТ** — **ТРЕТЬЕГО СОПРОТИВЛЕНИЯ** — **СВЯЗАНЫ**
ПУСТИВИМСЯ — **СИСТЕМАМИ** — **БОЛЮМНОСТИ** — **ПРИМЕНЯЕМЫХ** — **ОЧЕНЬ**
ЧАСТИ — **ПОДСТАВЛЯЮЩИЕ** — **ПРИМЕНЯЕМЫХ** — **ОЧЕНЬ**
МАКСИМАЛЬНО — **ПРИМЕНЯЕМЫХ** — **ОЧЕНЬ**

Измерение рабочих явлений возбуждения состояний ядер

В тех случаях, когда из существенное состояние ядра в результате α - или β -распада или после предшествующего радиоактивного кола на данный момент, или путем перехода с течением времени изнутри оболочки атома (внутренней конверсии), временные параметры

думого уровня может быть определено измерением соотношения $\tau_1/\tau_2 = \gamma_1/\gamma_2$, где $\gamma_1 = \gamma$, $\gamma_2 = \gamma'$, или $\epsilon' - \gamma$ -совпадений в функции времени, введенной в одну из ветвей схемы совпадений.



состоиние разряжается избрасыванием мигающей ионного электрона, то соответственно изучаются совпадения $\gamma - \beta$, т.е. с лучами с **этими** электронами.

Предположим, что ядра источника U — гелиевы с атомным номером Z , превращаются путем β -распада в ядра с атомным номером $Z+1$ (и т.д.). При повторяющемся распаде, оказывающемся в возбужденном состоянии, которое разряжается испусканием одного или нескольких γ -квантов (рис. 2). В нашей установке (рис. 3), источник помещался между двумя фотоумножителями (ΦI и ΦII), и фотокатодом которых приклеен кристалл стилябена. Между источником U и фотоумножителем ΦI помещен алюминиевый фильтр, поглощающий все электроны. Таким образом, на первый фотоумножитель попадают только вспышки света, порожденные в фосфоре a_1 при поглощении в нем γ -кванта и на второй — вспышки от β -и от γ -лучей.

Пусть телесные углы, под которыми видны первый и второй фоэтофото из источника, равны соответственно ω_1 и ω_2 , числа квантов γ_1 , γ_2 , ... на акт распада соответственно равны p_1 , p_2 , ..., p_n , а эффективности регистрации — e_1 , e_2 , ..., e_n . Искусственное γ -излучение начинается с момента обозначения возбужденного состояния, должно проходить по экспоненте, взвешенной закону γ . Если постоянная времени τ процесса разряда δ , разрешающая время схемы совпадения Δt , то время разряда t излучения источника в единицах времени N_0 и время задержки t перед счетчиком регистрации, регистрирующим β -частицы, t , то при условии $\Delta t \ll \tau$ число совпадений в единицах времени будет равно

$$C = e_1 e_2 \left(p_1 e^{-(\gamma_1 t / \tau)} + p_2 e^{-(\gamma_2 t / \tau)} + \dots + p_n e^{-(\gamma_n t / \tau)} \right) e^{-N_0 t} \quad (1)$$

В этом выражении учтено то обстоятельство, что число излучающих ядер в единице времени этого типа атомов пропорционально времени t . При этом можно для ядер способных испускать γ -кванты, оставлять в единицу времени γ -кванты, либо именно процесс β -распада для определенных атомов. Мы предполагаем также, что только верхнее ядро является метастабильным, а нижние возбужденные состояния имеют значительно меньшие времена жизни.

В случае, если условие $\Delta t \ll \frac{1}{\lambda}$ не выполняется, число совпадений в единицу времени зависит от формы импульсов. В работах [9—11] рас-

смотрены различные способы, позволяющие изучить зависимость числа совпадений от времени задержки t , больших τ , склонную к экспоненциальному падению.

Из этого можно вытекать, что для определения времени жизни возбужденного состояния следует изучить зависимость числа совпадений от времени задержки. Помимо соответствующую кривую в полулогарифмических координатах, во временну полученной прямой можно определить коэффициент τ .

Если коэффициент τ мал по сравнению с временем разрешения схемы совпадений, получить экспоненциальную кривую не удастся. В этом случае зависимое время жизни можно определить по макроскопической кривой спада, по отношению к центру тяжести кривой, полученной для каскадного процесса с аналогичными параметрами времени жизни промежуточного состояния. Для повышения точности этого последнего метода выгодно производить и макроскопическую пологий фильтр, поглощающего β -лучи один раз — сперва от источника (см. рис. 3). Это приведет к более точному смещению.

Изомерное состояние Ta^{181}

На рис. 4 изображена схема превращения $Ta^{181} \rightarrow Ta^{180}$ [12, 13]. β -Распад ядра Ta^{181} приводит к первому макроскопическому состоянию ядра Ta^{180} с периодом полураспада $2.2 \cdot 10^8$ сек и энергии испускания 611 keV . Помимо маловинтовой ветви прямого γ -перехода основное состояние наблюдается естественный переход через промежуточное состояние с энергией возбуждения 481 keV , которое, по данным работы [14], имеет период полураспада $1.08 \cdot 10^{-8}$ сек. Согласно [13] не существует энергии 133 keV между обеими метастабильными уровнями сильно конвертируемых; коэффициент конверсии равен 11. Поэтому можно пользоваться совпадениями конверсионных электронов с энергией 64 и 122 keV , соответствующих этому переходу, с радиоактивными изомерами Ta^{181} с энергиями 481 , 344 и 136 keV . Для того чтобы уменьшить число быстрых совпадений от каскадных ветвей 344 и 136 keV , между источником и первым фотоумножителем помещался свинцовый фильтр толщиной 3 мм, который сильно ослаблял излучение с энергией 136 keV , слегка ослаблял излучение 344 keV и чрезвычайно мало ослаблял излучение основной ветви (70%) и излучение 481 keV .

В этом опыте на фотоумножитель ΦI (рис. 3) с радиоактивной пленкой, был наклеен толстый кристалл стилябена ($h = 2 \text{ mm}$, $d = 50 \text{ mm}$). Источник в виде окиси гафния находился на дне металлической чашечки из плексигласа толщиной 3 мм.

На рис. 5 показаны в обычном и логарифмическом масштабах графики зависимости числа совпадений от времени задержки t для ядер, регистрирующих электронов конверсии. Время задержки t изображено в виде, вдоль которой перемещается указатель, свидетельствующий о времени первого задержки. Так как скорость распространения импульса по линии передачи света, то, определив смещение движка реостата по проводнику, соответствующее смещению указателя на одно деление, можно

проградуировать сканеру. Однако точечные измерения известны в один из методов съемки, смещение краевой сопадки по линии.

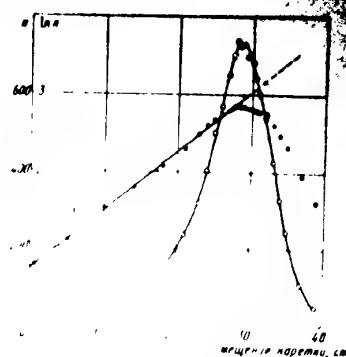


Рис. 5. Зависимость числа сопадений для уровня T_{130}^{10} с энергией 481 кэВ от времени задержки

(ρ) и емкости (C) кабеля соответствующее время задержки определяется соотношением:

$$\tau = \rho C. \quad (2)$$

В этом методе градуировка производилась в оба канала схемы от одного фотоумножителя, что делалось предельно упрощенно. Точность градуировки определяется предельным знанием величин ρ и C и составляет приблизительно 1%.

Определенный по методу [13] полураспад для исследуемого уровня T_{130}^{10} находится в согласии с работой [14].

Схема приемника показана на рис. 6. В ходе работ [15-17], что ядра Sr^{90} обладают относительную чистоту.

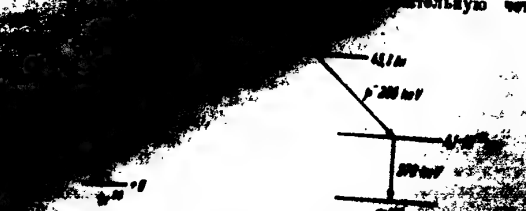


Рис. 6. Схема приемника Sr^{90}

На уникальной форме квадрата β -спектра, состоящего из основной ядер Sr^{90} , вытекает, что

запись съемки получена в литературе впервые. Для измерения изомерия T_{130}^{10} на возбужденный уровень T_{130}^{10} Майзер и Ридмуйер [18] показали в монографии, что возможными являются сдвиги этих уровней являются величины 3, 2 или 1.

На рис. 7 представлены результаты измерений зависимости

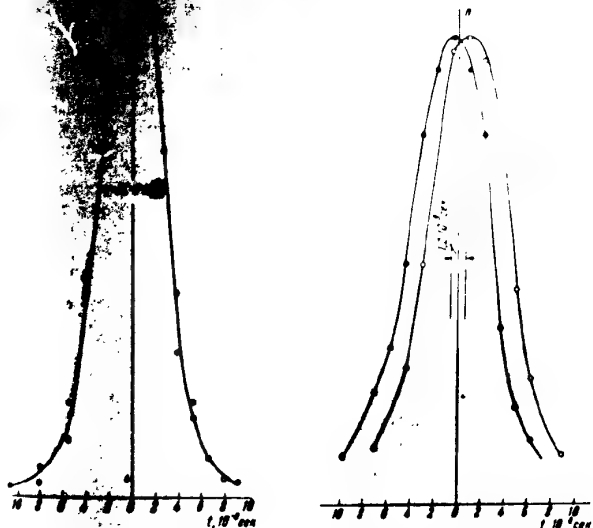


Рис. 7. Зависимость числа сопадений для уровня Sr^{90} от времени задержки

Рис. 9. Зависимость числа сопадений для уровня T_{130}^{10} от времени задержки

от времени задержки. В этом случае черные точки (рис. 7) для β -лучей стоят слова от и времени задержки. Были получены результаты (см. рис. 3). Как видно из рисунка, в среднем имеются три пика, симметричные по отношению к центру регистрация. Среднее значение времени задержки для изомерии T_{130}^{10} определяется 2,2-10⁻³ сек. Если бы приемник имел идеальную чувствительность именно такую величину, то можно было бы получить 10⁴ симметричных кривых. Из данных рис. 7 можно сделать вывод о том, что для изомерия T_{130}^{10} на возбужденный уровень Sr^{90} , по видимому, можно 10⁴ симметричных кривых, предполагаясь значений спинов и

250

Схема превращения

1.	+		
2.	+		
3.	+		53

Из этих данных однозначно следует, что излучение не может быть отброшено, как противоречие нашей схемы. Для определения времени жизни исследуемого состояния.

Возбужденное состояние Ti^{44}

Изотоп Nb^{93} имеет простой β -спектр, состоящий из единственного возбужденного уровня ядра Nb^{93} . Время полупадения производилось аналогично предыдущему измерению, путем фильтра, поглощающего β -лучи. Из рис. 10 видно, что в результате измерений, видно, что кривые, полученные для различных излучений, один относительно другого, практически совпадают. Период излучения равен $1.2 \cdot 10^{-10}$ сек. Следовательно, время жизни излучения в возбужденном состоянии Nb^{93} оказалось величиной $6 \cdot 10^{-10}$ сек, а период полупадения $T_{1/2} = 1.1 \cdot 10^{-10}$ сек. Ввиду малости этой величины можно считать ее верхним пределом для периода полураспада исследуемого состояния. Полученное число согласуется с оценкой верхней границы периода полураспада этого уровня, данной в работе [20].

Из кривых Мошковского для различных видов и мультипольностей излучения получаются следующие значения периодов полураспада при энергии перехода 280 keV:

Тип перехода
E1
M1
E2

Таким образом, верхней границей для периода полураспада в возбужденном состоянии является



Рис. 10. Схема превращения $\text{Fe}^{57} \rightarrow \text{Co}^{57}$

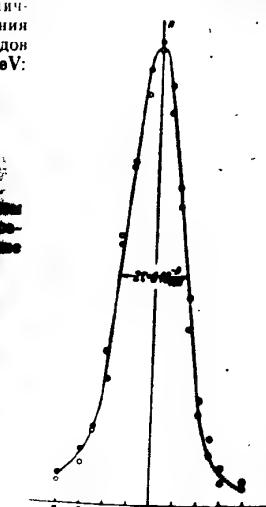


Рис. 11. Зависимость интенсивности излучения от времени для трех типов

всего согласуется предположение об электрической нейтральности перехода. Однако ему не противоречит и предположение о полном переходе или о смешанном переходе $M1 + E1$.

При измерении описанных в настоящей работе измерений было помощь студент-дипломант ЛПИ В. Филимонов, при монтаже прибора — студент ЛПИ К. Шилков, при подборе делителя ФОУ — студент ЛПИ А. Саватеев и сотрудник ЛФТИ АН СССР М. Харин.

Физический институт
Академии наук СССР

1. Debye P., Kuhn W., Naturforschung, 1, 100 (1946).
2. Debye P., Kuhn W., Naturforschung, 1, 100 (1946).
3. Debye P., Gellman W., Naturforschung, 1, 100 (1946).
4. Debye P., Phys. Rev., 70, 780 (1946).
5. Debye P., Wright R., Phys. Rev., 70, No. 1, 35 (1946).
6. Debye P., Kuhn W., Naturforschung, 1, 100 (1946).
7. Debye P., Kuhn W., Naturforschung, 1, 100 (1946).
8. Richter S., Phys. Rev., 75, 100 (1949).
9. Vavilov N., Phys. Rev., 75, 100 (1949).
10. Vavilov N., Phys. Rev., 76, 856 (1949).
11. Vavilov N., Phys. Rev., 76, 490 (1949).
12. Cederbaum L., Deinbeck M., Phys. Rev., 75, 226 (1949).
13. Judd B., Phys. Rev., 76, 958 (1949).
14. Judd B., Phys. Rev., 80, 332 (1950).
15. Kere B., Mitchell A., Phys. Rev., 74, 682 (1948).
16. Kere B., Mitchell A., Phys. Rev., 76, 750 (1950).
17. Kere B., Mitchell A., Phys. Rev., 76, 750 (1950).
18. Kere B., Mitchell A., Phil. Mag., 7 (44), 33 (1952).
19. Kere B., Phys. Rev., 83, 1071 (1951).
20. Kere B., Phys. Rev., 85, 142 (1952).
21. Kere B., Phys. Rev., 85, 142 (1952).
22. Kere B., Phys. Rev., 87A, 176 (1952).
23. Kere B., Phys. Rev., 87A, 176 (1952).
24. Kere B., Spinrad B., Harr T., Strickland D., Kere B., Rudeko N., Получение радиоактивных изотопов в геотектониках, М., 1954.

Н. Ф. БАРЧУК, Е. М. ГАЛКИН, М. В. ПАСЧЕНКИ
О РАЗРЕШАЮЩЕЙ СПОСОБНОСТИ СЦИНТИЛЛИЦИОННОГО СПЕКТРОМЕТРА

В последние годы получены существенные результаты по изучению разрешающей способности магнитных спектрометров большой разрешающей способности и сцинтилляционных спектрометров большой светосилы, что открыло новые возможности в исследовании структуры звездоточечного ядра атомного ядра.

Препятствием на пути к широкому применению однодиодных сцинтилляционных спектрометров является их низкая разрешающая способность. Полужирина спектральных линий в лучном из сцинтилляционных спектрометров составляла 5–10 % [2, 3] (от γ -лучей Co^{60}). Наше измерение показало, что однокристальный сцинтилляционный спектрометр, в котором применяется фотодумпльатель ФЭУ-19, имеет еще более низкую разрешающую способность. Попытки повысить ее путем подбора кристаллов и ФЭУ никаких результатов не дали.

Для выяснения причин такой низкой разрешающей способности мы провели две серии опытов. В одной из них сцинтилляционный спектрометр служил счетчиком ядерного спектрометра, который использовался в качестве монохроматора излучения. Из этих измерений находилась степень монохроматизации пучка электронов, которая определялась разрешающей способностью ядерного спектрометра. В другой серии опытов при помощи сцинтилляционного спектрометра снимался спектральный состав пучка электронов.

Оказалось, что погрешность в измерении электронов составляет 1 %, разброс излучения за пределами фотодумпльята ФЭУ-19 получается 10–30 % – в зависимости от энергии электронов и режима работы фотодумпльята.

Для испытания ФЭУ при подаче на его фотокатод световых импульсов мы встроили специальную установку. В качестве модулятора света применялся генератор Керра, имеющий практический безинерционный световой вектор.

Внешняя установка для определения разброса импульсов по амплитудам состояла из источников света, ячейки Керра, ФЭУ-19, усилителя и 50-канального анализатора. Каждый элемент схемы тщательно проверялся. Стабильность и линейность усилительного тракта систематически контролировались. Проверялась также стабильность работы генератора, для чего из схемы исключалась ячейка Керра и ФЭУ, а импульсы от генератора, усиленные при помощи делителя, подавались на усилитель и анализатор. Так как при этом импульсы на протяжении длительного времени работали анализатора оставались в одном канале 50-канального анализатора, то принималось, что генератор дает стабильные во времени импульсы с разбросом в амплитуде, меньшим 2 %.

Подбор амплитуд световых импульсов производился следующим образом. На фотокатод ФЭУ-19 ставился собранный вместе с рентгеновским кристаллом кадмистого натрия, антиквартированный таллиевым покрытием, минимальный импульс при облучении кристалла γ -лучами Co^{60} . Дальнейшее

изучение разброса импульсов производилось с помощью ячейки Керра, фотокатода и усилителя. Для этого импульсы, модулированные ячейкой Керра, имели вид, изображенный на рисунке 1. Учитывая пучком света, можно было учесть, что излучение, попадающее в ячейку Керра, имеет неоднородное распределение, являющееся законом распределения разброса значений амплитуд импульсов.

На рисунке 2 приведены кривые спектральных импульсов по амплитудам световых импульсов, соответствующих максимальным импульсам в кристалле $\text{NaJ}(\text{Tl})$ для γ -лучей Co^{60} (кривая 1) и для кристалла Cs^{137} (кривая 2). «Свет в 5 раз слабее» (3) и «свет в 5 раз сильнее» (4), чем для кривой 1.

Рис. 1. Кривые спектральных импульсов при подаче на фотокатод ФЭУ при полной яркости ячейки Керра. 1 – импульсы от моноимпульса, 2 – импульсы от моноимпульса, соответствующего максимуму амплитуды импульса в кристалле $\text{NaJ}(\text{Tl})$ для γ -лучей Co^{60} (кривая 1) и для кристалла Cs^{137} (кривая 2); 3 – «свет в 5 раз слабее» (3); 4 – «свет в 5 раз сильнее» (4), чем для кривой 1.

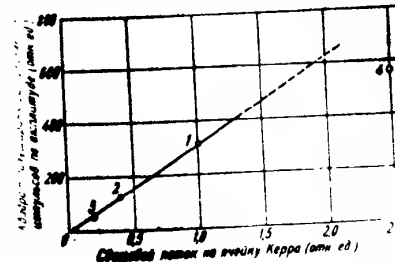


Рис. 2. Зависимость квадрата полуширинки кривых спектральных импульсов от амплитуды импульса. На рисунке соответствуют нумерации кривых на рисунке 1.

разбросом распределением потенциалов на фотокатоде ФЭУ-19. На рис. 2 показана зависимость квадрата полуширинки кривых спектральных импульсов от амплитуды светового потока на ячейку Керра (точка на кривой 1 соответствует максимуму). Точка с абсциссой 2,5 не ложится на линию, соответствующую максимуму ФЭУ, вызванный пространственным разбросом импульсов при больших амплитудах света. На рисунке 1, 2 и 3, 4, 5, 6, 7, 8, 9, 10, 11, 12, 13, 14, 15, 16, 17, 18, 19, 20, 21, 22, 23, 24, 25, 26, 27, 28, 29, 30, 31, 32, 33, 34, 35, 36, 37, 38, 39, 40, 41, 42, 43, 44, 45, 46, 47, 48, 49, 50, 51, 52, 53, 54, 55, 56, 57, 58, 59, 60, 61, 62, 63, 64, 65, 66, 67, 68, 69, 70, 71, 72, 73, 74, 75, 76, 77, 78, 79, 80, 81, 82, 83, 84, 85, 86, 87, 88, 89, 90, 91, 92, 93, 94, 95, 96, 97, 98, 99, 100, 101, 102, 103, 104, 105, 106, 107, 108, 109, 110, 111, 112, 113, 114, 115, 116, 117, 118, 119, 120, 121, 122, 123, 124, 125, 126, 127, 128, 129, 130, 131, 132, 133, 134, 135, 136, 137, 138, 139, 140, 141, 142, 143, 144, 145, 146, 147, 148, 149, 150, 151, 152, 153, 154, 155, 156, 157, 158, 159, 160, 161, 162, 163, 164, 165, 166, 167, 168, 169, 170, 171, 172, 173, 174, 175, 176, 177, 178, 179, 180, 181, 182, 183, 184, 185, 186, 187, 188, 189, 190, 191, 192, 193, 194, 195, 196, 197, 198, 199, 200, 201, 202, 203, 204, 205, 206, 207, 208, 209, 210, 211, 212, 213, 214, 215, 216, 217, 218, 219, 220, 221, 222, 223, 224, 225, 226, 227, 228, 229, 230, 231, 232, 233, 234, 235, 236, 237, 238, 239, 240, 241, 242, 243, 244, 245, 246, 247, 248, 249, 250, 251, 252, 253, 254, 255, 256, 257, 258, 259, 260, 261, 262, 263, 264, 265, 266, 267, 268, 269, 270, 271, 272, 273, 274, 275, 276, 277, 278, 279, 280, 281, 282, 283, 284, 285, 286, 287, 288, 289, 290, 291, 292, 293, 294, 295, 296, 297, 298, 299, 300, 301, 302, 303, 304, 305, 306, 307, 308, 309, 310, 311, 312, 313, 314, 315, 316, 317, 318, 319, 320, 321, 322, 323, 324, 325, 326, 327, 328, 329, 330, 331, 332, 333, 334, 335, 336, 337, 338, 339, 340, 341, 342, 343, 344, 345, 346, 347, 348, 349, 350, 351, 352, 353, 354, 355, 356, 357, 358, 359, 360, 361, 362, 363, 364, 365, 366, 367, 368, 369, 370, 371, 372, 373, 374, 375, 376, 377, 378, 379, 380, 381, 382, 383, 384, 385, 386, 387, 388, 389, 390, 391, 392, 393, 394, 395, 396, 397, 398, 399, 400, 401, 402, 403, 404, 405, 406, 407, 408, 409, 410, 411, 412, 413, 414, 415, 416, 417, 418, 419, 420, 421, 422, 423, 424, 425, 426, 427, 428, 429, 430, 431, 432, 433, 434, 435, 436, 437, 438, 439, 440, 441, 442, 443, 444, 445, 446, 447, 448, 449, 450, 451, 452, 453, 454, 455, 456, 457, 458, 459, 460, 461, 462, 463, 464, 465, 466, 467, 468, 469, 470, 471, 472, 473, 474, 475, 476, 477, 478, 479, 480, 481, 482, 483, 484, 485, 486, 487, 488, 489, 490, 491, 492, 493, 494, 495, 496, 497, 498, 499, 500, 501, 502, 503, 504, 505, 506, 507, 508, 509, 510, 511, 512, 513, 514, 515, 516, 517, 518, 519, 520, 521, 522, 523, 524, 525, 526, 527, 528, 529, 530, 531, 532, 533, 534, 535, 536, 537, 538, 539, 540, 541, 542, 543, 544, 545, 546, 547, 548, 549, 550, 551, 552, 553, 554, 555, 556, 557, 558, 559, 560, 561, 562, 563, 564, 565, 566, 567, 568, 569, 570, 571, 572, 573, 574, 575, 576, 577, 578, 579, 580, 581, 582, 583, 584, 585, 586, 587, 588, 589, 589, 590, 591, 592, 593, 594, 595, 596, 597, 598, 599, 600, 601, 602, 603, 604, 605, 606, 607, 608, 609, 610, 611, 612, 613, 614, 615, 616, 617, 618, 619, 620, 621, 622, 623, 624, 625, 626, 627, 628, 629, 630, 631, 632, 633, 634, 635, 636, 637, 638, 639, 640, 641, 642, 643, 644, 645, 646, 647, 648, 649, 650, 651, 652, 653, 654, 655, 656, 657, 658, 659, 660, 661, 662, 663, 664, 665, 666, 667, 668, 669, 669, 670, 671, 672, 673, 674, 675, 676, 677, 678, 679, 680, 681, 682, 683, 684, 685, 686, 687, 688, 689, 689, 690, 691, 692, 693, 694, 695, 696, 697, 698, 699, 699, 700, 701, 702, 703, 704, 705, 706, 707, 708, 709, 709, 710, 711, 712, 713, 714, 715, 716, 717, 718, 719, 719, 720, 721, 722, 723, 724, 725, 726, 727, 728, 729, 729, 730, 731, 732, 733, 734, 735, 736, 737, 738, 739, 739, 740, 741, 742, 743, 744, 745, 746, 747, 748, 749, 749, 750, 751, 752, 753, 754, 755, 756, 757, 758, 759, 759, 760, 761, 762, 763, 764, 765, 766, 767, 768, 769, 769, 770, 771, 772, 773, 774, 775, 776, 777, 778, 779, 779, 780, 781, 782, 783, 784, 785, 786, 787, 787, 788, 789, 789, 790, 791, 792, 793, 794, 795, 796, 797, 798, 799, 799, 800, 801, 802, 803, 804, 805, 806, 807, 808, 809, 809, 810, 811, 812, 813, 814, 815, 816, 817, 818, 819, 819, 820, 821, 822, 823, 824, 825, 826, 827, 828, 829, 829, 830, 831, 832, 833, 834, 835, 836, 837, 838, 839, 839, 840, 841, 842, 843, 844, 845, 846, 847, 848, 849, 849, 850, 851, 852, 853, 854, 855, 856, 857, 858, 859, 859, 860, 861, 862, 863, 864, 865, 866, 867, 868, 869, 869, 870, 871, 872, 873, 874, 875, 876, 877, 878, 879, 879, 880, 881, 882, 883, 884, 885, 886, 887, 888, 889, 889, 890, 891, 892, 893, 894, 895, 896, 897, 898, 899, 899, 900, 901, 902, 903, 904, 905, 906, 907, 908, 909, 909, 910, 911, 912, 913, 914, 915, 916, 917, 918, 919, 919, 920, 921, 922, 923, 924, 925, 926, 927, 928, 929, 929, 930, 931, 932, 933, 934, 935, 936, 937, 938, 939, 939, 940, 941, 942, 943, 944, 945, 946, 947, 948, 949, 949, 950, 951, 952, 953, 954, 955, 956, 957, 958, 959, 959, 960, 961, 962, 963, 964, 965, 966, 967, 968, 969, 969, 970, 971, 972, 973, 974, 975, 976, 977, 978, 979, 979, 980, 981, 982, 983, 984, 985, 986, 987, 988, 989, 989, 990, 991, 992, 993, 994, 995, 996, 997, 998, 999, 999, 1000, 1001, 1002, 1003, 1004, 1005, 1006, 1007, 1008, 1009, 1009, 1010, 1011, 1012, 1013, 1014, 1015, 1016, 1017, 1018, 1019, 1019, 1020, 1021, 1022, 1023, 1024, 1025, 1026, 1027, 1028, 1029, 1029, 1030, 1031, 1032, 1033, 1034, 1035, 1036, 1037, 1038, 1039, 1039, 1040, 1041, 1042, 1043, 1044, 1045, 1046, 1047, 1048, 1049, 1049, 1050, 1051, 1052, 1053, 1054, 1055, 1056, 1057, 1058, 1059, 1059, 1060, 1061, 1062, 1063, 1064, 1065, 1066, 1067, 1068, 1069, 1069, 1070, 1071, 1072, 1073, 1074, 1075, 1076, 1077, 1078, 1079, 1079, 1080, 1081, 1082, 1083, 1084, 1085, 1086, 1087, 1088, 1089, 1089, 1090, 1091, 1092, 1093, 1094, 1095, 1096, 1097, 1098, 1099, 1099, 1100, 1101, 1102, 1103, 1104, 1105, 1106, 1107, 1108, 1109, 1109, 1110, 1111, 1112, 1113, 1114, 1115, 1116, 1117, 1118, 1119, 1119, 1120, 1121, 1122, 1123, 1124, 1125, 1126, 1127, 1128, 1129, 1129, 1130, 1131, 1132, 1133, 1134, 1135, 1136, 1137, 1138, 1139, 1139, 1140, 1141, 1142, 1143, 1144, 1145, 1146, 1147, 1148, 1149, 1149, 1150, 1151, 1152, 1153, 1154, 1155, 1156, 1157, 1158, 1159, 1159, 1160, 1161, 1162, 1163, 1164, 1165, 1166, 1167, 1168, 1169, 1169, 1170, 1171, 1172, 1173, 1174, 1175, 1176, 1177, 1178, 1179, 1179, 1180, 1181, 1182, 1183, 1184, 1185, 1186, 1187, 1188, 1189, 1189, 1190, 1191, 1192, 1193, 1194, 1195, 1196, 1197, 1198, 1199, 1199, 1200, 1201, 1202, 1203, 1204, 1205, 1206, 1207, 1208, 1209, 1209, 1210, 1211, 1212, 1213, 1214, 1215, 1216, 1217, 1218, 1219, 1219, 1220, 1221, 1222, 1223, 1224, 1225, 1226, 1227, 1228, 1229, 1229, 1230, 1231, 1232, 1233, 1234, 1235, 1236, 1237, 1238, 1239, 1239, 1240, 1241, 1242, 1243, 1244, 1245, 1246, 1247, 1248, 1249, 1249, 1250, 1251, 1252, 1253, 1254, 1255, 1256, 1257, 1258, 1259, 1259, 1260, 1261, 1262, 1263, 1264, 1265, 1266, 1267, 1268, 1269, 1269, 1270, 1271, 1272, 1273, 1274, 1275, 1276, 1277, 1278, 1279, 1279, 1280, 1281, 1282, 1283, 1284, 1285, 1286, 1287, 1288, 1289, 1289, 1290, 1291, 1292, 1293, 1294, 1295, 1296, 1297, 1298, 1299, 1299, 1300, 1301, 1302, 1303, 1304, 1305, 1306, 1307, 1308, 1309, 1309, 1310, 1311, 1312, 1313, 1314, 1315, 1316, 1317, 1318, 1319, 1319, 1320, 1321, 1322, 1323, 1324, 1325, 1326, 1327, 1328, 1329, 1329, 1330, 1331, 1332, 1333, 1334, 1335, 1336, 1337, 1338, 1339, 1339, 1340, 1341, 1342, 1343, 1344, 1345, 1346, 1347, 1348, 1349, 1349, 1350, 1351, 1352, 1353, 1354, 1355, 1356, 1357, 1358, 1359, 1359, 1360, 1361, 1362, 1363, 1364, 1365, 1366, 1367, 1368, 1369, 1369, 1370, 1371, 1372, 1373, 1374, 1375, 1376, 1377, 1378, 1379, 1379, 1380, 1381, 1382, 1383, 1384, 1385, 1386, 1387, 1388, 1389, 1389, 1390, 1391, 1392, 1393, 1394, 1395, 1396, 1397, 1398, 1399, 1399, 1400, 1401, 1402, 1403, 1404, 1405, 1406, 1407, 1408, 1409, 1409, 1410, 1411, 1412, 1413, 1414, 1415, 1416, 1417, 1418, 1419, 1419, 1420, 1421, 1422, 1423, 1424, 1425, 1426, 1427, 1428, 1429, 1429, 1430, 1431, 1432, 1433, 1434, 1435, 1436, 1437, 1438, 1439, 1439, 1440, 1441, 1442, 1443, 1444, 1445, 1446, 1447, 1448, 1449, 1449, 1450, 1451, 1452, 1453, 1454, 1455, 1456, 1457, 1458, 1459, 1459, 1460, 1461, 1462, 1463, 1464, 1465, 1466, 1467, 1468, 1469, 1469, 1470, 1471, 1472, 1473, 1474, 1475, 1476, 1477, 1478, 1479, 1479, 1480, 1481, 1482, 1483, 1484, 1485, 1486, 1487, 1488, 1489, 1489, 1490, 1491, 1492, 1493, 1494, 1495, 1496, 1497, 1498, 1499, 1499, 1500, 1501, 1502, 1503, 1504, 1505, 1506, 1507, 1508, 1509, 1509, 1510, 1511, 1512, 1513, 1514, 1515, 1516, 1517, 1518, 1519, 1519, 1520, 1521, 1522, 1523, 1524, 1525, 1526, 1527, 1528, 1529, 1529, 1530, 1531, 1532, 1533, 1534, 1535, 1536, 1537, 1538, 1539, 1539, 1540, 1541, 1542, 1543, 1544, 1545, 1546, 1547, 1548, 1549, 1549, 1550, 1551, 1552, 1553, 1554, 1555, 1556, 1557, 1558, 1559, 1559, 1560, 1561, 1562, 1563, 1564, 1565, 1566, 1567, 1568, 1569, 1569, 1570, 1571, 1572, 1573, 1574, 1575, 1576, 1577, 1578, 1579, 1579, 1580, 1581, 1582, 1

— Г. М. Глухов, М. В. Пасечник и Н. Н. Чуриков

сбора вторичной эмиссии. Следовательно, для повышения способности сцинтиляционных спектрометров к выделению необходим фосфор с большими соотношениями больших квадрупольных выходом, чем мы имеем сейчас. Удачное усовершенствование электронной части фотомножителя. Что касается последнего, то, очевидно, в основе системы катод—диаграмма—диод лежит принцип симметрии. Для некоторых экземпляров уменьшить разброс значений можно, если сократить разброс значений

напряжений на фотомножителях (все же это можно сделать). Оказалось, что разброс напряжений на ФОМ расчен и для свечения сцинтиляции сопоставим с ошибками сцинтиляции кристаллов.

Важно подобрать напряжение на аноде и иноде, благодаря чему разброс значений амплитуд в некоторых случаях может быть различно для различных кристаллов сцинтиляторов. Так, например, для кристаллов фотоумножителей оптимальные напряжения ФОМ V₁ = 100 V, распределенное по эмиттерам потенциометрическими сопротивлениями R₁ = 90 kΩ, R₂ = 200 kΩ, R₃ = 19,5 kΩ, R₄ = R₁₁ = 12 kΩ, R₅ = 100 kΩ, R₆ = 75 kΩ.

При замене делителя для этого ФОМ другим сопротивлениями сопротивлений, но при сохранении соотношений между ними амплитудный разброс не менялся.

Институт физики
Академии наук РСФРР

1. Башилев А., Глухов Г. М., Чуриков Н. Н. ДАН СССР, Серия физич., № 4, 1953.
2. Борковский В. И., Глухов Г. М., Чуриков Н. Н. ДАН СССР, Серия физич., № 1, 1953.
3. Кильба В. С. Сб. науч. тр. Академии наук РСФРР, № 103, 1953.

АКАДЕМИЯ НАУК СССР

1955

On the Question of the Measurement of Deformation of Nuclear Surfaces by L. A. Slob & L. K. Peiper

Л. А. СЛИВ и Л. К. ПЕКЕР

К ВОПРОСУ ОБ ОПРЕДЕЛЕНИИ ДЕФОРМАЦИИ ЯДЕРНОЙ ПОВЕРХНОСТИ

Как известно, ядерная модель, обобщающая структуру и ядерных уровней и ядерного движения отдельных нуклонов, введение вспомогательных больших квадрупольных моментов ядер серьезные трудности дает. Одним из методов, способного эти трудности преодолеть, является учитывать возможность деформации больших нуклонов в некотором роде. Для оценки величины деформируемости поверхности ядра предложено использовать различные колебательные и вращательные объяснения как малых, так и больших деформаций ядер, различных отклонений массы от центра тяжести, кроме того, указывает на существование ядерных группировок, таких как, например, в ротационных уровнях [1]. Анализ всех имеющихся данных, а также подующие опыты действительного открытию у ядер редких и тяжелых радиоактивных элементов системы уровней, энергия которых у четно-четных ядер выражается простой формулой:

$$E = \frac{\hbar^2}{2J} I(I+1), \quad (1)$$

где J — момент инерции вращающейся части ядра, а I — спин или угловая скорость вращения.

Измеренное время жизни таких уровней оказалось меньше времени жизни других, одиночественных уровней, что также указывает на их особую природу. Момент инерции согласно теории [1, 2] равен

$$J = 3\beta^2 B, \quad (2)$$

$$B = \frac{3}{8\pi} M A R_0^2, \quad (2')$$

где M — масса нуклона, A — атомный вес, R_0 — радиус эквивалентной объемной сферы, β — параметр деформации, определяемый в простейшем приближении о форме ядра как шара и сопряжения по формуле:

$$R = R_0 [1 - \gamma]^{-1/2}, \quad (3)$$

где $Y_{1,0}(0)$ — нормированная шаровая функция. Внутренний квадрупольный момент ядра определяется в первом приближении от β по формуле

$$Q_0 = \frac{3}{V5\pi} Z R_0^2 P.$$

Спектроскопическое значение квадрупольного момента

$$Q_s = PQ_0,$$

Основная функция деформированного ядра пишется как произведение

$$\Psi = \sqrt{\frac{2I+1}{8\pi^2}} z(\beta) D_{MK}^I(b_1) \sum_j f_j,$$

ψ — волновая функция отдельных частиц в D измеримое на поверхности относительно радиуса-вектора D , ψ — волновая функция симметричного волчка [2]. Измеримое на D дает унитарное преобразование от физического

мы к ядерной Приюте для народа. 1, для основного состояния ионизированного $I_{\alpha} = 2$, $K_{\alpha} = 0$, изотопа азота 14, соединения азота в виде азота

Использование технологии виртуальной реальности для обучения иностранным языкам

Городское поселение Красногорск включает в себя 14 населенных пунктов.

м. при условии, что μ — коэффициент перехода от μ_0 к μ_1 .

спектранта). В последней графе таблицы даны экспериментальные величины r . Как видно из таблицы, $r < \frac{1}{2}$ и в среднем равно $0,1^*$. Значит, интеграл по нуклонным и ядровым функциям для двух рассмотренных групп переходов не одинаков. Различие в величинах интеграла получается лишь потому, что суммирование по состояниям между ядрами не включено.

и движением отдельных вулканов. Катализитические процессы защищают чистоту четкого изображения и возбуждение состояния чистоты (ДВ). Малое изменение в первом состоянии приводит к малым изменениям в состоянии отдельных вулканов. А это означает, что вулканы, находящиеся во координатах многообразия, могут менять свое состояние несколько раз.

DATA EXPIRED - 10/03/2014
TOMX - SIMPLE PREFERENCE

* Аналіз з перехідною
здобуткем залізничного та автомобільного
транспорту виконаний за даними
Державного статистичного комітету РРФСР
за 1992 рік.

квадро-
силными
шения, полу-
ченуи (3)). На
нее получатся па-
раметры Бором

вторичного уровня и
таблица 5, используя
таблицы ротационного
расщепления, табл. 4 и
таблицы формироованных
значений тензоров
изменится напи-

в деформации симметрии оператора ядерных ядер (τ_1) в временных единицах квантовых моментов (τ_0)

Следует отметить, что в ряде случаев из-за проблем с определением коэффициентов извержения, неизвестен и коэффициент α (от 0 до 1). При условии, что $\alpha = 1$, то есть в гипотезе о единичной фракции извержения — проекция F на единичную сумму равна 1; однако уменьшение α приводит к тому же наименьшему

При этом, несмотря на то что в первом приближении коэффициенты α_1 и α_2 не зависят от параметра λ , значение коэффициента α_1 при переходе к общему случаю изменяется.

занятыми. Истинное значение ских квадрупольных измерений определено.

Остается выяснить, почему *закон упрощения*, где применимо приближение сильной связи, дает формулу (1), т. е. формулу для частоты ротации, что при переходе из основного на возбужденный уз-

Данные о β -переходах на уровнях четные-четных ядер

Ядро и налучение	Тип перехода	$Ig(f)$	$\sigma_{\text{внеш}}$
Разрешенные переходы			
p^+	$+1 \rightarrow +0$	4,7	0,39
	$+1 \rightarrow +2$	5,1	
	$+1 \rightarrow -0$	4,9	0,50
	$+1 \rightarrow +2$	5,2	
d^+	$+1 \rightarrow +0$	4,8	0,06
	$+1 \rightarrow +2$	6,0	
	$+1 \rightarrow -0$	4,6	0,04
	$+1 \rightarrow +2$	6,0	
		0	$<0,5$
		0	0,20

$$C = 4\pi R_0^2 - \frac{8}{15} \cdot \frac{\pi d^2}{g},$$

где σ — коэффициент избирательного катионирования.
Тогда по формуле (II.21) из (2) получим, что

Тогда по формуле (II.21) из [2] получим для R_1 выражение

$$E_4 = \left[\sqrt{\frac{1}{4\pi}} k \sum_p \left| \frac{2U_p^2 - I_p(U_p + 1)}{4U_p(U_p + 1)} \right| - C_0 \right] \eta, \quad \frac{k}{2} I(U_p)$$

где Ω_x — проекция на ось симметрии для угла между векторами, а J_x — угловой момент одной частицы, значение которого пропорционально $I(I+1)$. Тогда

Изменение ядра при вращении о времени жизни радиоизотопов. В этом случае формула определения радиоизотопного момента Q_0 (формула 1) и формула определения вероятности переключения изотопа (формула 2) следуют, что вероятность перехода изотопа в исходное состояние не сравнимо с той, которая получается из формулы 1. Поэтому данные по кулоновскому излучению не дают оснований для такого заключения.

указанных выше пределах, то предположение о том, что в исходных измерениях имеются погрешности, не может быть отвергнуто с уверенностью, так как в этом случае неизвестны истинные значения измеряемых величин. Поэтому в дальнейшем будем считать, что в исходных измерениях имеются погрешности.

предлагают восьмым желательным уточнение спектра и параметров ядерных моментов ядер в области редких элементов, а также уточнение наших синтезов о информации о распаде.

Институт
наук СССР

Интегрированная литература

1. Bohr, *Naturf. Mat. Fys. Medd.*, **26**, 14 (1952).
 Bohr, Mottelson R., *Dan. Mat. Fys. Medd.*, **27**, 16 (1953).
 Ford, *Phys. Rev.*, **95**, 1250 (1954).
 King B., Peaslee D., *Phys. Rev.*, **94**, 1284 (1954).

Взаимодействие вращения с движением ячеистого нуклона
и движением А-удвоению ротационных уровней.

ИЗВЕСТИЯ АКАДЕМИИ НАУК СССР
СЕРИЯ ФИЗИЧЕСКАЯ

І. МХ. № 3 СЕРИЯ ФІЗИЧЕСКАЯ

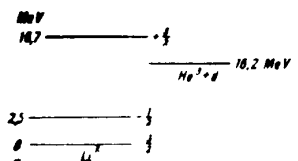
卷之三

СТРУКТУРА ДОРОГО ГОДЛЮБИВОГО УРОВНЯ He^3 и Li^3

В пособии для изучения ядерных ядер, таких как атомы водорода и гелия, можно характеризовать состоянию ядра с не очень большой конфигурацией. Так, конфигурация ядра с одним ядром (1s)¹ в основном и первом возбуждении есть $(1s)^2$, а в основном и первом возбуждении $(1s)^1$ и $(1s)^1 1p_1$. Относительно ядер с двумя ядрами неясно, что их основные состояния $(-1/2)$ имеют конфигурацию $(1s)^2 1p_1$, а первые и вторые возбужденные $(-1/2)$ — конфигурации $(1s)^1 1p_1$. Такая интерпретация первых возбужденных уровней Li^+ (мы будем говорить только о Li^+ помимо, что Li^+ и He^+ — заряды одинаковы) подобной системой уровней полностью согласуется с большинством опытных данных, относящихся к более тяжелым ядрам.

Покажем, каким образом следует интерпретировать эту точку зрения об возбужденный уровень с максимальной энергией возбуждения 16.7 MeV.

Этот уровень проявляется в двух реакциях:
 1) $\text{He}^3 + d \rightarrow \text{He}^4 + p$ [1]. Крайняя линейчатость сечения этой реакции от энергии имеет резонанс при энергии промежуточных дейтонов $E_d = 420 \text{ keV}$. Ширина резонансной кривой составляет неожиданно малой для такой большой энергии возбуждения и язвающего легкого ядра - всего около 400 keV . При этом следует еще учесть, что большая часть ширины (приближительно 300 из 400 keV) связана с кулоновским отталкиванием трех протонов в Li^4 . Это видно из того, что ширина изобарного уровня



в ИБ с энергией в 100 MeV для протона, меньше чем ~ 100 keV биенемитом с энергией ~ 100 кэВ и первого возбужденного уровня 11 Be и 11 Li (если $E = 1$ MeV). Синий Δ_2 , и четность $(-)$ проявляющегося в этой реальности уровня 11 Li установлены из угловых распределений прореакций и значения абсолютной величины сечения и из того, что в реакции участвуют лишь действии $I = 0$ (нейтронные).

таких из-за 2) выхода $E_4 = 0$, в реакции участвовать не могут (см. Оригинал).

При бомбардировке He^3 дейтонами было получено испускание жестких γ -квантов, и кривая распределения при энергии налетающих дейтонов $E_1 = 20,2 \text{ MeV}$.

Из этих данных следует, что наличие жестких ультрануклеонов при ядерном взаимодействии $\text{Be}^9 + d \rightarrow \text{Li}^5 + \gamma$, в которой возбужденное состояние Li^5 имеет энергию 16,7 MeV переходит в основное состояние с избыточной энергией 10,3 MeV.

Совокупность приведенных выше данных и показывает, что при $E = 16,7$ MeV из возбужденного состояния $1s^2$ с энергией $E = 16,7$ MeV в возбужденное состояние, наличие γ -перехода между самим $1s^2$ и $1s^1$ неизвестно, а наличие γ -перехода между $1s^2$ и $1s^1$ вновь подтверждается. Важно отметить, что конфигурации $1s^2$ и $1s^1$ отличаются не более чем переходом одного электрона в другое состояние. Это следует из того, что оператор электромагнитных переходов имеет вид: $F_i = \sum_j \langle i_j |$, где i_j - оператор, действующий только на единицу i -го нуклона, и суммирование ведется по всем нуклонам. Нетрудно показать, что матричные элементы такого оператора не меняются для переходов, при которых меняется состояние не более чем одного нуклона. Отсюда непосредственно следует, что, поскольку конфигурация основного состояния есть $(1s)^2 1p_1$, конфигурация из возбужденного состояния может быть либо $(1s) 1p_1$, что соответствует переходу внешнего нуклона из состояния $1p_1$, в какое-то более высокое состояние m_J , либо $(1s)^1 1p_1, 1s^1$, что соответствует переходу внутреннего нуклона из состояния $1s$ в более высокое состояние. Первая из конфигураций, т. е. конфигурация $(1s) 1p_1, m_J$, не возможна, так как в этом случае невозможно обменяться спинами между ядрами внутри этого состояния. Поэтому конфигурация $(1s)^1 1p_1, 1s^1$ является единственной возможной, т. е. конфигурации, в которой, в частности, осталась одна из ядер в состоянии $1p_1, m_J$. Наиболее естественно предположить, что нуклон с обобщенным спином m_J входит в состояние $1p_1$, имеющее меньшую энергию, чем основное состояние $1s^2$, и что он возбуждается в состояние $1p_1$, имеющее большую энергию, чем основное состояние $1s^2$. Поэтому возбужденному уровню с $E = 16,7$ MeV соответствует конфигурация $(1s)^1 (1p_1)^1$, что позволяет объяснить причисление конфигурацию $(1s)^1 (1p_1)^1$, что позволяет объяснить причисление конфигурации $(1s)^1 (1p_1)^1$ к уровню с $E = 16,7$ MeV. Для объяснения этого уровня необходимо обратиться к обстоятельству, что нуклон с обобщенным спином m_J входит в состояние $1p_1$, имеющее меньшую энергию, чем основное состояние $1s^2$, и что он возбуждается в состояние $1p_1$, имеющее большую энергию, чем основное состояние $1s^2$. Поэтому возбужденному уровню с $E = 16,7$ MeV соответствует конфигурация $(1s)^1 (1p_1)^1$, что позволяет объяснить причисление конфигурации $(1s)^1 (1p_1)^1$ к уровню с $E = 16,7$ MeV.

заслуживает внимания следующий экспериментальный факт: из Li^6 с $E = 16.7$ MeV выбрасывается первая ядро с первым возбуждением состояния He^4 , конфигурации которого $1s^2 1p_1$. Дело в том, что оба состояния возникают в результате перехода одного нуклона из замкнутой оболочки $(1s)^2$ в состояние $1p_1$, и, следовательно, энергию возбуждения замкнутой оболочки $(1s)^2$ можно разделить на две независимые части: из данных о первом возбуждении ядра He^4 и из данных: из данных о первом возбуждении ядра Li^6 . Итак, энергия первого возбуждения состояния He^4 энергия ядра He^4 в состоянии $1s^2 1p_1$ и измеряется в пределах ~ 22 MeV. Аналогичный опыт показывает, что энергия ядра Li^6 в $E = 16.7$ MeV

Действительно, разность энергий ядерного состояния приближенно равна разности энергий состояний 1^+_1 и 1^+_2 , минус энергия связи двух нуклонов в состоянии 1^+_1 , т. е. разница между нуклонами в состоянии 1^+_1 и состояниях 1^+_2 , так как это взаимодействие ограничено ядрами из-за конечной разности энергий (He^4 и He^3), а также из-за конечной энергии связи двух нуклонов в состоянии 1^+_1 (-2 MeV). Энергию связи двух нуклонов в состоянии 1^+_1 (2 MeV) по разности масс (He^4 и He^3)

2

откуда и получается, что в $(15)^4$ приблизительное значение (15) .

Такое близкое сопадение сочтено (1947) ждёт правильность наших приведённых состояний $|1\rangle$ с энергией возбуждения 10.7

Считаю своим приятным долгом выражение благодарности Фаридинскому за постоянный интерес к работе и благодарить Н. А. Власову, сделавшему ряд важных замечаний.

1144 COMMERCIAL ENTREPRENEURSHIP

1. Yarnell J., Lowberg B., Stratton W., Phys. Rev., **90**, 230 (1953).
 2. Hintz N., Blair J., Van Peter D., Phys. Rev., **93**, 924 (1954).
 3. Баль А., Смоловский И., Ж.Ф. **27**, 9, 322 (1954).

10

С промежуточной связью

РАСПАД Ne^+

В ядре с опытом лучше всего согласуется оболочечная модель промежуточной связи. Согласно этой модели ядра находятся в состояниях с определенным орбитальным характером связей между отдельными нуклонами. Ядро является промежуточным между предельными ядрами в $\text{I} \leftrightarrow \text{II}$ -связи. Эта модель оказалась очень удобной для изучения свойств легких ядер, как породок возбуждения и передачи энергий между ядрами, магнитные моменты которых в работе оболочечной модели с промежуточной связью распадаются на ядерные, ядерно-вращательные элементы β -распада и ядерно-волновые, а также β -спектроскопических элементов. Матричные элементы ядерных взаимодействий для более точного расчета можно использовать для проверки существования ядер. При решении задач можно показать, что результаты работы и приведенные результаты.

Для вычисления необходимо знать угловые подстановки состояний He^+ и Li^+ . Для построения волновых функций можно использовать обычными методами атомной спектроскопии.

Согласно данной модели с промежуточной связью основные постоянные состояния имеют конфигурацию $(1s)^2(1p)^6$, а волновые функции неоднократной суперпозиции волновых функций с различными орбитальными спинами:

$$\begin{aligned} \Phi_{M_0} &= \alpha \Phi(^1S_0) + \beta \Phi(^3P_0), \\ \Phi_{M_1} &= \alpha \Phi(^1S_0) + \delta \Phi(^1P_1) + \epsilon \Phi(^3D_1), \end{aligned} \quad (1)$$

Здесь ψ_1 есть волновая функция состояния "у". Коэффициенты находятся из решения соответствующих секундных дифференциальных уравнений, коэффициенты зависят от параметра y , который при $y=0$ соответствует L^2 -связь, $y=\infty$ — jj -связь, а при y — промежуточная связь и определяется

где P_i — полиномы Лежандра, а λ_i — коэффициенты при орбитальном взаимодействии.

и I_2 потому равен пулью. На мезонинах протона и шесть нейтронов, значит $I_2 = 2$.
Следовательно состояний и эквивалент-
 $I_2 = 2$ существует всего

103

11

В теории оболочек мы
нов. Состояние 1-го выклоня
момента m мы будем описывать
нормой ради $\theta_{\infty}(i)$ и изотопическим
пунктом находится в зарядовом состоянии
и потому есть протон. При встроении
изолиний овать функция ψ_{ik} :

$$\gamma(12) = \gamma_{-1}(1)\gamma_{-1}(2)\gamma_1($$

Полная волновая функция строится и

функции обычным образом. Так, сразу можно ввести новую функцию, которая описывает обработка

$$\Psi_7^7(J=0, T=4, T_0=4) = \Phi_6 + f_1$$

1 де

$$\Phi_0 = \frac{1}{V_B} \sum_{i=1}^N \psi_{i,i}$$

— полностью антисимметричной

— изотопическая диффузия
Так же про-
цессией изото-
пия та-

$\beta^{\text{opt}} = \frac{1 - e^{-\lambda T}}{\lambda}$ optimal value

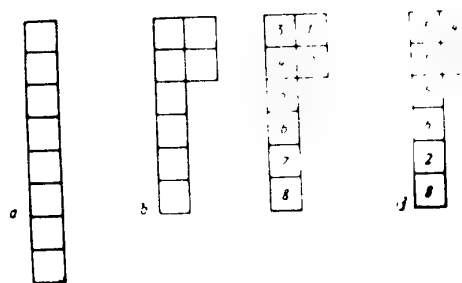
17

также может быть доказано, что неизвестность построения неискривленного числа пар частич-

внешне-спиновая функция совпадает с начальной Φ_0 . Поэтому

$$\Psi_F(J=0, T=4, T_\zeta=4) = \Phi_0 \cdot \sqrt{\frac{1}{28}} \sum_{k=-7}^7 \chi(k)$$

сой функции, как легко видеть, соответствует хеми-Юнгской формуле для новой функции состояния $T = 2$, $T_2 = 2$ и для $\beta = 0$ в формуле Юнга (рисунок, б)



матрицы Φ_k (12), соответствующая конкретной схеме Юнга (рисунок 1) может быть построена из некоторой производящей функции Φ путем разложения ее по нулям (13) и (14) фундаментальной антисимметрии по группам (12) и (14). Действительно, Φ в общем случае может быть построена способом.

Последнему в Ф-комбинации не входит в векториальную функцию по указанной в ум-
ножающей по кумулятивной функции. Итак, в этом смысле векториальная подразнечность системы из амп J и L является наименее выраженной, чем постоянный вводится в J . Но это интерпретируется не как число, пока не входит в векториальную функцию постоянной комбинации.

$$z_m(i) \geq z_m(k).$$

Приложение к письму № 10
Губернатора Приморской области
от 10.09.1908 г.

прямые склоняют
И этой функции не
имеющих выражения в

$$\Phi_F(12) = N_F A_F \left[\begin{array}{c} -\frac{1}{2} \\ 0 \\ 0 \end{array} \right] = \left[\begin{array}{ccc} 1 & 2 & 1 \\ 4 & 3 & 0 \end{array} \right] \left[\begin{array}{c} -\frac{1}{2} \\ 0 \\ 0 \end{array} \right] = 6.$$

Честь в явном виде произведена анти⁽⁵⁶⁷⁶⁾ и (5678); \hat{A}_μ — антисимметризация

$\Phi_F(12|34)$ имеет 15 членов N_{12} . Помимо единицы стоят функции четырех квантовых состояний, соответствующих группам $T = 0$ и $T = 2$:

$$\Phi_F(12|34) = 2 \left[\begin{smallmatrix} 1 \\ 2 \end{smallmatrix} \right] \left[\begin{smallmatrix} 3 \\ 4 \end{smallmatrix} \right] + \left[\begin{smallmatrix} 1 \\ 3 \end{smallmatrix} \right] \left[\begin{smallmatrix} 2 \\ 4 \end{smallmatrix} \right] - \left[\begin{smallmatrix} 1 \\ 4 \end{smallmatrix} \right] \left[\begin{smallmatrix} 2 \\ 3 \end{smallmatrix} \right]. \quad (12)$$

Функция $\Phi_F(12|34)$ расщепляет группы, внутри которых имеются подгруппы:

$$\Phi_F(12|34) = \left[\begin{smallmatrix} 1 \\ 5 \end{smallmatrix} \right] \left[\begin{smallmatrix} 6 \\ 8 \end{smallmatrix} \right] + \left[\begin{smallmatrix} 5 \\ 8 \end{smallmatrix} \right] \left[\begin{smallmatrix} 6 \\ 7 \end{smallmatrix} \right]. \quad (13)$$

Для построения квантового яблока построить можно только для состояния $J = 0$, $T = 2$, $T_\zeta = 2$,

$$\Phi_F(12|34) = \sum_k \gamma(ik) \Phi_F(ik) = \sum_{k=0}^3 \{ \gamma(12) \Phi_F(12) - \gamma(34) \Phi_F(34) + \dots \}, \quad (14)$$

где $\Phi_F(ik)$ получается из $\Phi_F(12)$ простым изменением нумерации. Например, функция $\Phi_F(47)$ соответствует схеме Юнга (рисунок, д).

Набору квантовых чисел $J = 0$, $T_\zeta = 2$, $s = 0$ соответствуют лишь два состояния из (3) — I и II. Первое состояние описывается функцией (8). Функция (14) ортогональна к (8), что можно проверить интегралом, вычисляя скалярное произведение функций, но это иено уже и то, что (8) и (14) представляют различные схемы Юнга. Следовательно, функция (14) действительно описывает состояние $T = 2$.

Две функции, соответствующие $J = 2$, $s = 4$, имеют вид (14), но с более сложными $\Phi_F(ik)$. Задача построения можно свести к задаче четырех частич, представив ее в виде (11), но теперь функции в первой скобке не будут иметь обычного смысла $[] = [] \times []$, который имелся в случае $s = 0$. Для $s = 4$ строить не будем. Укажем лишь, что, строя функции из частич методом [4], можно непосредственно убедиться, что функции (8) действительно исчерпывают возможный набор функций в (14).

3. Квантовые нормировки

Чтобы функции (14) можно было использовать, нужно еще вычислить нормировку N_{12} . Это вычисление не тривиально, поскольку в $\Phi_F(12)$ имеются схемы, например,

$$\varphi_{T=0}(1) \varphi_{T=0}(2) \varphi_{T=0}(3) \varphi_{T=0}(4) \varphi_{T=0}(5) \varphi_{T=0}(6) \varphi_{T=0}(7) \varphi_{T=0}(8).$$

запятая между \hat{A}_k , по три раза, другие вообще взаимно уничтожаются.

Произведем явную антисимметрию \hat{A}_k по (345678). Для этого удобно записать (11) в виде

$$\Phi_F(12) = N_{12} \hat{A}_k \varphi_{T=0}(12|34) \varphi_{T=0}(5678). \quad (15)$$

Вертикальными чертами разделены группы, внутри которых устроена явная антисимметризация.

$$\begin{aligned} & \varphi_{T=0}(12|34) \varphi_{T=0}(5678) \text{ 1 член} \\ & \varphi_{T=0}(12|35) \varphi_{T=0}(4678) \\ & \varphi_{T=0}(12|36) \varphi_{T=0}(5478) \text{ 4 члена} \\ & \varphi_{T=0}(12|54) \varphi_{T=0}(3678) \text{ 4 члена} \\ & \varphi_{T=0}(12|56) \varphi_{T=0}(3478) \\ & \varphi_{T=0}(12|57) \varphi_{T=0}(3468) \text{ 4 члена} \\ & \vdots \end{aligned}$$

для большей наглядности подчеркнуты члены, имеющие одинаковые представления (вид B):

$$\Phi_F(12) = N_{12} \{ \varphi_{T=0}(12|34) \varphi_{T=0}(5678) - \varphi_{T=0}(12|35) \varphi_{T=0}(4678) - \varphi_{T=0}(12|36) \varphi_{T=0}(5478) \} \quad (16)$$

Получаем следующие равенства:

$$\begin{aligned} (\Phi_F(12), \Phi_F(12)) &= N_{12} (\varphi_{T=0}(12|34) \varphi_{T=0}(5678), \Phi_F(12, \text{ вид A})) - \\ & - N_{12} (\varphi_{T=0}(12|35) \varphi_{T=0}(4678), \Phi_F(12, \text{ вид B})) + \\ & = 15 N_{12} (\varphi_{T=0}(12|34) \varphi_{T=0}(5678), \Phi_F(12, \text{ вид A})) \end{aligned}$$

т. е. как обычно, (Φ_1, Φ_2) означает скалярное произведение. Введем обозначения:

$$\begin{aligned} \varphi_{T=0}^1 &= (\varphi_{T=0}(12|34), \varphi_{T=0}(12|34)) \\ \varphi_{T=0}^2 &= (\varphi_{T=0}(5678), \varphi_{T=0}(5678)) \\ p &= (\varphi_{T=0}(12|34) \varphi_{T=0}(5678), \varphi_{T=0}(12|35) \varphi_{T=0}(4678)) \\ q &= (\varphi_{T=0}(12|34) \varphi_{T=0}(5678), \varphi_{T=0}(12|36) \varphi_{T=0}(5478)) \end{aligned} \quad (18)$$

Тогда виду того, что

$$(\varphi_{T=0}(12|34) \varphi_{T=0}(5678), \varphi_{T=0}(12|35) \varphi_{T=0}(4678)) = 0$$

т. е. п., получим

$$(\Phi_F(12), \Phi_F(12)) = 15 N_{12}^2 (\varphi_{T=0}^1)^2 - 15 N_{12}^2 (\varphi_{T=0}^2)^2$$

Выражение $\varphi_{T=0}^1$, $\varphi_{T=0}^2$, p и q значительны, а выражение $\varphi_{T=0}^2$ (6678) существенны лишь члены, не содержащие одиночных индивидуальных моментов внутри каждой группы.

В дальнейшем мы будем использовать формулы:

$$\left(\underbrace{[1] \dots [k]}_n\right) \cdot \left(\underbrace{[1] \dots [k]}_n\right) = 8 \left(\underbrace{[1] \dots}_{n-1} \underbrace{[1]}_{n+1}\right)$$

если есть одинаковая пара, и

$$\left(\underbrace{[1] \dots [k]}_n\right) \cdot \left(\underbrace{[1] \dots [k]}_n\right) = +8, \quad (22)$$

если нет одинаковых пар. Число определяется четностью суммы $n + \sum m_i + \sum m'_i$, что будет ясно при конкретных вычислениях (n — число скалярных пар).

Доказаем (22) на частном примере $n = 2$. Найдем скалярное произведение для функций:

$$[\frac{1}{2}][\frac{3}{4}] = \sum (-1)^{m_1+m_2+1} \varphi_{m_1}(1) \varphi_{-m_1}(2) \varphi_{m_2}(3) \varphi_{-m_2}(4)$$

$$[\frac{1}{2}][\frac{2}{3}] = \sum (-1)^{m_1+m_2+m_3+m_4} \varphi_{m_1}(1) \varphi_{m_2}(2) \varphi_{-m_3}(3) \varphi_{-m_4}(4).$$

Намя, что

$$(\varphi_m(0), \varphi_n(0)) = \delta_{mn}, \quad (23)$$

получаем

$$([\frac{1}{2}][\frac{3}{4}] \cdot [\frac{1}{2}][\frac{2}{3}]) = \sum_{m_1=m_2=m_3=m_4} (-1)^{m_1+m_2+m_3+m_4} = \sum (-1)^{8m+4} = -8. \quad (24)$$

Ниже мы будем это записывать кратко:

$$([\frac{1}{2}][\frac{3}{4}], [\frac{1}{2}][\frac{2}{3}]) = -8 \quad (2m+2 \text{ чет.})$$

Под скалярным произведением вычислена сумма $(n - \sum m_i + \sum m'_i)$ — чётотом (23).

Легко вычисляются

$$[\frac{1}{2}][\frac{3}{4}] = 2^4 \cdot 3^2 = 8 \cdot 9 = 72.$$

Вычисление же скалярного произведения для (24) не так просто:

$$T_4 = \sum_{m_1, m_2, m_3, m_4} \left(\begin{array}{|c|c|c|c|} \hline & 1 & 2 & 3 \\ \hline 1 & \frac{1}{2} & \frac{3}{4} & 0 \\ \hline 2 & 0 & 1 & \frac{1}{2} \\ \hline 3 & \frac{1}{2} & 0 & \frac{1}{2} \\ \hline 0 & \frac{1}{2} & \frac{1}{2} & \frac{1}{2} \\ \hline \end{array} \right) \left(\begin{array}{|c|c|c|c|} \hline & 1 & 2 & 3 \\ \hline 1 & \frac{1}{2} & \frac{2}{3} & 0 \\ \hline 2 & 0 & 1 & \frac{1}{2} \\ \hline 3 & \frac{1}{2} & 0 & \frac{1}{2} \\ \hline 0 & \frac{1}{2} & \frac{1}{2} & \frac{1}{2} \\ \hline \end{array} \right)$$

тогда

$$= 8 \cdot 8^2 = (2+4 \text{ чет.})$$

$$= 8 \cdot 8 = (3+2m = \text{чет.})$$

$$= 8 \cdot 8 \left(\begin{array}{|c|c|c|c|} \hline & 1 & 2 & 3 \\ \hline 1 & \frac{1}{2} & \frac{3}{4} & 0 \\ \hline 2 & 0 & 1 & \frac{1}{2} \\ \hline 3 & \frac{1}{2} & 0 & \frac{1}{2} \\ \hline 0 & \frac{1}{2} & \frac{1}{2} & \frac{1}{2} \\ \hline \end{array} \right) = -8 \cdot 8 \quad (3 = \text{нечет.})$$

Таким образом, в таблице вычислений (24).

Следует отметить, что от переменных обозначающих нуклоны, получим величину

$$(2 \cdot 8^2 + 8^3) \cdot 3 + (2 \cdot 8^2 + 8^3) \cdot 3 = 3 \cdot 7 \cdot 2^6.$$

Таким образом, сдвигаемые функции $\varphi_{T=0}$ (12|34). Множители в выражении для функций типа $\varphi_{T=0}$: существенные члены, содержащие одинаковые пары $[\frac{7}{8}], [\frac{6}{8}]$ или $[\frac{6}{7}]$, например $(\dots [\frac{7}{8}], \dots [\frac{7}{k}])$.

Теперь вычислим g :

$$\begin{aligned} g &= ([\frac{1}{2}][\frac{1}{2}][\frac{5}{6}][\frac{7}{8}] + [\frac{1}{3}][\frac{2}{4}][\frac{5}{6}][\frac{7}{8}] - [\frac{1}{4}][\frac{3}{4}][\frac{5}{6}][\frac{7}{8}])([\frac{5}{6}][\frac{7}{8}] - [\frac{5}{7}][\frac{6}{8}] + [\frac{5}{8}][\frac{6}{7}]) \\ &\quad ([\frac{1}{2}][\frac{1}{2}][\frac{5}{6}][\frac{7}{8}] + [\frac{1}{5}][\frac{2}{6}][\frac{5}{6}][\frac{7}{8}] - [\frac{1}{6}][\frac{3}{5}][\frac{5}{6}][\frac{7}{8}] - [\frac{3}{7}][\frac{4}{8}][\frac{5}{6}][\frac{7}{8}]) \\ &= ([\frac{1}{2}][\frac{1}{2}][\frac{3}{4}][\frac{7}{8}] + [\frac{1}{3}][\frac{2}{4}][\frac{7}{8}] - [\frac{1}{4}][\frac{3}{4}][\frac{7}{8}])([\frac{5}{6}][\frac{7}{8}]) \\ &\quad ([\frac{1}{2}][\frac{1}{2}][\frac{5}{6}][\frac{7}{8}] + [\frac{1}{5}][\frac{2}{6}][\frac{7}{8}] - [\frac{1}{6}][\frac{3}{5}][\frac{7}{8}]) \end{aligned}$$

одинаковые члены взаимно сокращаются, так как содержат одинаковые секции внутри группы нуклонов (5678). При вычислении существенных членов вида

$$([\frac{1}{2}][\frac{3}{4}][\frac{5}{6}][\frac{7}{8}] \cdot [\frac{1}{2}][\frac{5}{6}][\frac{3}{4}][\frac{7}{8}]) = 8^4; \quad ([\frac{1}{2}][\frac{3}{4}][\frac{5}{6}][\frac{7}{8}]),$$

$$([\frac{1}{2}][\frac{3}{4}][\frac{7}{8}]) = +8^3; \quad ([\frac{1}{2}][\frac{3}{4}][\frac{5}{6}][\frac{7}{8}] \cdot [\frac{1}{6}][\frac{5}{3}][\frac{2}{4}][\frac{7}{8}]) = -8^3;$$

$$([\frac{1}{3}][\frac{2}{4}][\frac{5}{6}][\frac{7}{8}] \cdot [\frac{1}{5}][\frac{2}{6}][\frac{3}{4}][\frac{7}{8}]) = +8^3;$$

$$([\frac{1}{3}][\frac{2}{4}][\frac{5}{6}][\frac{7}{8}] \cdot [\frac{1}{6}][\frac{5}{3}][\frac{2}{4}][\frac{7}{8}]) = -8^3.$$

тогда получаем

$$q = 2(2 \cdot 8^4 + 8^3) \cdot 4(2 \cdot 8^2 + 8^3 + 8^2) \cdot 4(2 \cdot 8^3 + 8^2 + 8^2) = 2 \cdot 10^4.$$

Помня найденные величины в (20), найдем примерную величину (12) на единицу:

$$N_p^2 = \frac{1}{2} \cdot 10^4 \approx 5000.$$

§ 4. Вычисление матричного элемента

очень легко вычислить матричный элемент

$\langle \psi | \hat{\psi}^\dagger \hat{\psi} | \psi \rangle$ не действует на пространство

личен от нуля лишь переход $T = 4 \rightarrow T = 0$

помимо функций (5) и (8), сражу получим

$$\int \int \int \int \langle \psi | \sum_{i+k} \psi^* \psi | \psi \rangle =$$

$$= \langle J=0, T=4, T_0 = 2 \mid \sum_{i+k} \psi^* \psi \mid J=0, T=0 \rangle = 0.$$

$$\langle \Phi_0, \Phi_0 \rangle = 2\sqrt{28}.$$

§ 5. Вычисление матричных элементов

В оператор $\hat{L} = \sum_{k=1}^{\infty} \sigma_+^k \sigma_-^k (\hat{\tau}_1 \hat{\tau}_2)$ входит одночастичное описание

$$\langle \hat{\tau}_1 \hat{\tau}_2 | \hat{\tau}_1 \hat{\tau}_2 \rangle = \langle \hat{\tau}_1 | \hat{\tau}_2 \rangle + \frac{1}{2} \langle \hat{\tau}_1 | \hat{\tau}_1 \rangle \langle \hat{\tau}_2 | \hat{\tau}_2 \rangle + \frac{1}{2} \langle \hat{\tau}_2 | \hat{\tau}_1 \rangle \langle \hat{\tau}_1 | \hat{\tau}_2 \rangle, \quad (27)$$

$$\langle \hat{\tau}_1 | \hat{\tau}_2 \rangle = \langle \hat{\tau}_1 | \hat{\tau}_2 \rangle - i \sigma_y.$$

При вычислении $\hat{\tau}_{ij}$, т. е. полные моменты, вектор $\hat{\tau}_1$ должна быть приведена до и после перехода

$$\begin{pmatrix} 1 & 0 \\ 0 & 1 \end{pmatrix} \quad (28)$$

$$\begin{pmatrix} 1 & 0 \\ 0 & 1 \end{pmatrix}$$

$$f(m) = \sqrt{(j-m+1)(j+m)} \quad (m+1) \dots m. \quad (29)$$

Ниже будут использованы равенства:

$$\begin{aligned} \sum m^2 &= 42; \sum m^4 = 1/3 \cdot 777; \\ \sum_{m_1+m_2} m_1 m_2 &= -42; \sum_{m_1+m_2} m_1^2 m_2 = 0; \sum_{m_1+m_2} m_2^2 m_1 = -1/3 \cdot 2751; \\ f(-m) &= f(m+1); \sum f^2(m) = 84; \\ \sum f^2(m+1)f^2(m) &= 1008; \sum m(m-1)f^2(m) = -1. \end{aligned} \quad (30)$$

Матричные элементы от оператора \hat{L} удобно записывать как скобковое произведение

$$\langle \hat{\tau}_1 \hat{\tau}_2 \rangle = \langle \hat{\tau}_1 | \hat{L} | \hat{\tau}_2 \rangle = (\Psi_F, \hat{L} \Psi_F). \quad (31)$$

Вычислим этот матричный элемент для перехода

$$J=0, T=4, T_1=4 \rightarrow J=0, T=T_1=4, T_2=0, s=0.$$

Результат действия операторов $\hat{\tau}_1, \hat{\tau}_2$ на вектор

$$(\Psi_F(T=2, s=0), \hat{L} \Psi_F) = \frac{1}{\sqrt{4!}} (\Phi_F(12), \hat{\tau}_1 \hat{\tau}_2 \Phi_F). \quad (32)$$

Оператор $\hat{\tau}_1 \hat{\tau}_2$ действует на индивидуальные функции первого и второго нуклонов. Поэтому при вычислении матричных элементов для краткости мы будем явно выписывать лишь ту часть функций Φ_F и $\Phi_F(12)$, которая содержит 1-й и 2-й нуклоны. При этом нужно помнить, что Φ_F полностью антисимметрична и не содержит членов с одинаковыми проекциями моментов у двух нуклонов. Ясно, что при такой скобковой записи равенства должны выполняться в условиях $\tau_1 \tau_2 = 0$.

$$\langle \hat{\tau}_1 | \hat{\tau}_2 \rangle = \langle \hat{\tau}_1 | \hat{\tau}_2 \rangle - i \sigma_y \langle \hat{\tau}_1 | \hat{\tau}_2 \rangle = \langle \hat{\tau}_1 | \hat{\tau}_2 \rangle - \langle \hat{\tau}_2 | \hat{\tau}_1 \rangle + \langle \hat{\tau}_2 | \hat{\tau}_1 \rangle =$$

$$\langle \hat{\tau}_1 | \hat{\tau}_2 \rangle \pm \langle \hat{\tau}_2 | \hat{\tau}_1 \rangle = \langle \hat{\tau}_1 | \hat{\tau}_2 \rangle, \quad (33)$$

где суммирование производится по существенно различным членам, разные друг от друга с точностью до знака. Тогда значение каждого элемента от $\hat{\tau}_1 \hat{\tau}_2$ сводится к нахождению следующего

$$\begin{aligned} \langle \hat{\tau}_1 | \hat{\tau}_2 \rangle &= \langle \hat{\tau}_1 | \hat{\tau}_2 \rangle - \frac{1}{7} \sum_{m_1, m_2} m_1 m_2 \\ \langle \hat{\tau}_1 | \hat{\tau}_2 \rangle &= \sum_{m_1, m_2} m_1 m_2 \end{aligned}$$

т. д.

$$(\Phi_F(12), \hat{\tau}_1(1) \hat{\tau}_2(2) \Phi_F) = \frac{N_6}{12} \sum_{m_1, m_2} m_1 m_2 \quad (34)$$

где $N_6 = \frac{4}{\sqrt{8!}}$ — нормировочный коэффициент при $\langle \hat{\tau}_1 | \hat{\tau}_2 \rangle$, 6 — количество членов из $\langle \hat{\tau}_1 | \hat{\tau}_2 \rangle$ при данном $\tau_1(1) \tau_2(2)$ из $\langle \hat{\tau}_1 | \hat{\tau}_2 \rangle$, 4! — число членов в антисимметричной функции от (5678), 15 — множитель из-за A_4 . Вычисление матричного элемента от $\hat{\tau}_1 \hat{\tau}_2$ проводим несколько раз:

$$\langle \hat{\tau}_1 | \hat{\tau}_2 \rangle = \langle \hat{\tau}_1 | \hat{\tau}_2 \rangle - \langle \hat{\tau}_2 | \hat{\tau}_1 \rangle = \langle \hat{\tau}_1 | \hat{\tau}_2 \rangle - \langle \hat{\tau}_2 | \hat{\tau}_1 \rangle,$$

$$\langle \hat{\tau}_1 | \hat{\tau}_2 \rangle = \langle \hat{\tau}_1 | \hat{\tau}_2 \rangle - \langle \hat{\tau}_2 | \hat{\tau}_1 \rangle = \langle \hat{\tau}_1 | \hat{\tau}_2 \rangle - \langle \hat{\tau}_2 | \hat{\tau}_1 \rangle,$$

$$\langle \hat{\tau}_1 | \hat{\tau}_2 \rangle = \langle \hat{\tau}_1 | \hat{\tau}_2 \rangle - \langle \hat{\tau}_2 | \hat{\tau}_1 \rangle = \langle \hat{\tau}_1 | \hat{\tau}_2 \rangle - \langle \hat{\tau}_2 | \hat{\tau}_1 \rangle,$$

$$\langle \hat{\tau}_1 | \hat{\tau}_2 \rangle = \langle \hat{\tau}_1 | \hat{\tau}_2 \rangle - \langle \hat{\tau}_2 | \hat{\tau}_1 \rangle = \langle \hat{\tau}_1 | \hat{\tau}_2 \rangle - \langle \hat{\tau}_2 | \hat{\tau}_1 \rangle,$$

$$\langle \hat{\tau}_1 | \hat{\tau}_2 \rangle = \langle \hat{\tau}_1 | \hat{\tau}_2 \rangle - \langle \hat{\tau}_2 | \hat{\tau}_1 \rangle = \langle \hat{\tau}_1 | \hat{\tau}_2 \rangle - \langle \hat{\tau}_2 | \hat{\tau}_1 \rangle,$$

$$\langle \hat{\tau}_1 | \hat{\tau}_2 \rangle = \langle \hat{\tau}_1 | \hat{\tau}_2 \rangle - \langle \hat{\tau}_2 | \hat{\tau}_1 \rangle = \langle \hat{\tau}_1 | \hat{\tau}_2 \rangle - \langle \hat{\tau}_2 | \hat{\tau}_1 \rangle,$$

$$\langle \hat{\tau}_1 | \hat{\tau}_2 \rangle = \langle \hat{\tau}_1 | \hat{\tau}_2 \rangle - \langle \hat{\tau}_2 | \hat{\tau}_1 \rangle = \langle \hat{\tau}_1 | \hat{\tau}_2 \rangle - \langle \hat{\tau}_2 | \hat{\tau}_1 \rangle,$$

$$\langle \hat{\tau}_1 | \hat{\tau}_2 \rangle = \langle \hat{\tau}_1 | \hat{\tau}_2 \rangle - \langle \hat{\tau}_2 | \hat{\tau}_1 \rangle = \langle \hat{\tau}_1 | \hat{\tau}_2 \rangle - \langle \hat{\tau}_2 | \hat{\tau}_1 \rangle,$$

$$\langle \hat{\tau}_1 | \hat{\tau}_2 \rangle = \langle \hat{\tau}_1 | \hat{\tau}_2 \rangle - \langle \hat{\tau}_2 | \hat{\tau}_1 \rangle = \langle \hat{\tau}_1 | \hat{\tau}_2 \rangle - \langle \hat{\tau}_2 | \hat{\tau}_1 \rangle,$$

Собирая подобные члены, получим:

$$(\Phi_F(12), \sigma_+(1) \sigma_-(2) \Phi_0) = \frac{N_0}{\sqrt{8!}} \left[2 \left(-\frac{48}{49} \right) 6 + \left(\frac{48}{49} \right) \right]$$

тогда нужно иметь в виду, что в $\Phi_F(12)$ члены заданы в соответствии с линейной четностью перестановки. Окончательно имеем

$$\Phi_F(12), \sigma_+(1) \sigma_-(2) \Phi_0 = - \frac{N_0}{\sqrt{8!}} \cdot \frac{84}{49} \cdot 10 \cdot 41 \cdot 15. \quad (40)$$

$$\Phi_F(12), \sigma_-(1) \sigma_+(2) \Phi_0 = - \Phi_F(12), \sigma_-(1) \sigma_+(2) \Phi_0. \quad (41)$$

Отношение матричных элементов (40) и (41) равно:

$$\frac{\Phi_F(12), \sigma_+(1) \sigma_-(2) \Phi_0}{\Phi_F(12), \sigma_-(1) \sigma_+(2) \Phi_0} = \frac{3}{5}. \quad (42)$$

Теперь можно написать полный матричный элемент:

$$M_2 = (\Psi_F(T=2, s=0), \sum_{i,k} \tau_i^+ \tau_k^- (\bar{\sigma}_i \bar{\sigma}_k) \Psi_0) = - \frac{N_0 \sqrt{8!} \cdot 48}{7 \sqrt{7}}, \quad (43)$$

$$\therefore M_2 = \frac{36 \cdot 33}{49 \cdot 24} = 0.18. \quad (44)$$

Соответственно для матричного элемента $\Psi_F(T=4)$ получаем:

$$(\Phi_0, \sigma_+ \sigma_- \Phi_0) = \left(\frac{1}{7} \right)^2 \cdot \frac{33}{49} \cdot N_0 \cdot 6! = - \frac{1}{56} \cdot \frac{42}{49} \quad (45)$$

$$(\Phi_0, \sigma_- \sigma_+ \Phi_0) = - \left(\frac{1}{7} \right)^2 \cdot \frac{33}{49} \cdot N_0 \cdot 6! = - \frac{1}{56} \cdot \frac{84}{49}. \quad (46)$$

Минус в (46) появляется из-за того, что результат, не исходящий из-за антикоммутативности Φ_0 , отличен от нуля лишь для переходов $i \leftrightarrow j = 1$, которые меняют четность перестановки. Из (45) и (46) находим:

$$M_4 = (\Psi_F(T=4), \sum_{i,k} \tau_i^+ \tau_k^- (\bar{\sigma}_i \bar{\sigma}_k) \Phi_1) = - \frac{9}{7 \sqrt{7}}, \quad (47)$$

$$M_4^2 = 0.24 \quad (48)$$

§ 6. Переходы в состояния с $s=4$

Как легко показать, оператор $\hat{L} = \sum_i \tau_i^+ (\bar{\sigma}_i \sigma_i)$ коммутирует с оператором полного момента $J = \Sigma (I_i + \hat{s}_i)$, где I_i и \hat{s}_i — спиральные общий и спиновый моменты i -го нуклона. Это обстоятельство дает возможность косвенным путем получить некоторые сведения о возможных в два состояния с $s=4$, а именно вычислить полуожидаемые матричных элементов в эти состояния.

В самом деле, из того, что полный момент сохраняется в процессе, можно написать разложение

$$\begin{aligned} & (\Psi_F(T=4), \sigma_+(1) \sigma_-(2) \Phi_0) + \\ & (\Psi_F(T=4), \sigma_-(1) \sigma_+(2) \Phi_0) + \\ & (\Psi_F(T=2, s=0) + \\ & (\Psi_F(T=2, s=4) + \\ & (\Psi_F(T=2, s=4). \end{aligned} \quad (49)$$

Поскольку, как указывалось, других состояний Ψ_F нормированы на 1, то явно, что сумма матричных элементов переходов в соответствующие состояния равна произведение выражения (49) самого на себя

$$(\hat{L}\Psi_F, \hat{L}\Psi_F) = M_2^2 + M_4^2 + M_1^2 + M_3^2, \quad (50)$$

или

$$M_2^2 + M_4^2 = (\hat{L}\Psi_F, \hat{L}\Psi_F) - M_1^2 - M_3^2. \quad (51)$$

Формула (51) дает возможность найти полуожидаемое значение сложных функций с $s=4$.

Вычисление $(\hat{L}\Psi_F, \hat{L}\Psi_F)$ полностью аналогично вычислению § 5. Дает

$$(\hat{L}\Psi_F, \hat{L}\Psi_F) = 1.43. \quad (52)$$

Посюда

$$\frac{1}{4} (M_2^2 + M_4^2) = 0.3.$$

Правдами таблицу вычисления полуожидаемых матричных элементов для двух последних переходов ищем полуожидаемую. Выделен первое наиболее вероятное основное состояние.

Одиночное матричное значение	Начальное состояние	Конечное состояние	Коэффициент вероятности
$\frac{1}{2} \frac{1}{2} \frac{1}{2}$	$J=0, T=4, T_1=4$	$J=1, T=4, T_1=2$	0.12
$\frac{1}{2} \frac{1}{2} \frac{1}{2} \frac{1}{2}$	$J=0, T=4, T_1=4$	$J=0, T=4, T_1=2$	0.18
		$J=0, T=2, T_1=2$	0.08
		$J=0, T=2, T_1=4$	0.02
		$J=0, T=4, T_1=4$	0.01

На рисунке видно, что наиболее вероятное значение для $\hat{L}\Psi_F$ соответствует состоянию равно 0.2.

На рисунке представлена реальную таблицу матричных элементов, только в самых легких ядрах. Вычисление по формуле (51) производится и правильному значению матричного элемента, которое, впрочем, заключается в изменении формы выражения, предложенного Бором и Моттельсом, проведенный Бором и Моттельсом.

ном [6], показывает, что в области оболочки f_{11} , значение времени жизни больше теоретического приближения для Ca^{48} (в 100, для Sc^{49} — в 80). Этот же множитель надо, возможно, считать и матричным элементом двойного β -распада. Могло бы показаться, что в матричный элемент двойного β -распада этот множитель должен быть один в квадрате. Это, однако, не так. Переход в промежуточное состояние (один из пусканий одного нейтрона) будет проходить с помощью принципиально идентичного механизма, аналогичным принципу Кондона — в результате вспомогательного состояния происходит деформация ядра, а не преобразование между заданными основными состояниями.

так же как и ожидать только, что теоретическая оценка времени жизни, в свою очередь, представляет собой нижнюю предположение от схемы независимости формы. Фактор формы также не является (100). Сравнение с опытом показывает, что фактор, что, очевидно,

$$T_{\text{eff}} \approx 10^4 \quad \text{K} \quad M_{\odot} \approx 10^{11} \quad \text{M}_{\odot}$$

Установлено, что при $E = 4.3$ MeV

Подставляя значения остальных величин в уравнения в формулу, получим для периода полурастворения значение

$T_{\text{ж}} \approx 0.5 \cdot 10^4$ лет (при энергии $E = 5$ MeV).

Ошибка расчета могут привести к тому, что реальное время окажется на порядок больше.

В заключение мы выражаем благодарность И. Зельдовичу и А. Бази
а полезное обсуждение работы.

Примечание при корректуре Маккарти [1] и Боди [2] сообщал новое значение $T_{\text{th}} \approx (1,6 + 0,7) \cdot 10^7$, т.е. $2 = (1 + 0,5) \cdot 10^7$, т.е. в 1,5 раза деформационного фактора величина 500–1000.

Цитировки из литературы

* Рассуждения эти очень грубы. Они указывают только на то, что результаты мышления должны быть меньше квадрата мышления единичного решения. Но между этого говорит и то обстоятельство, что формы двух членов-членов могут различаться меньше, чем формы четверо-четвертого и четво-четвертого чисел.

В. А. КРАВЦОВ

НОВЫЕ ДАННЫЕ ПО СОПОСТАВЛЕНИЮ ЭНЕРГИИ СВЯЗИ СРЕДНИХ ЯДЕР

Большое число экспериментальных данных, **коэффициентов, энергий ядерных реакций и энергии промежуточных состояний** дает возможность непрекращающегося роста знаний о **связях и энергиях связей** их ядер. В области термодинамических исследований, где **можно контролировать экспериментальную точность** **энергий связи**. В ряде случаев расхождение в **значности энергий связи ядер, вычисленными с различными значениями**, ставит под сомнение эти результаты. Попытка установить правильную величину разности энергий связей ядер, включая в расчеты все известные экспериментальные данные, показывает, что

В работе [1] мы показали, что при установлении экспериментальных данных может быть подсчитаны и сплошные геометрические поверхности. Этот метод подходит нам в [1, 2] чтобы избежать некоторые сомнительные случаи и выбрать наиболее надежные экспериментальные данные. Как известно, зависимость энергии ядра E от порядкового номера Z и массового числа A может быть представлена в виде четырех энергетических поверхностей в пространстве (Z, A) : поверхностей для четно-четных, четно-нечетных, нечетно-четных и нечетно-нечетных ядер. Для удобства построения графиков мы будем рассматривать энергетические поверхности с уменьшенным масштабом. Например для легких и средних ядер эти поверхности могут быть описаны уравнением

$$9A - E(Z, A) \text{ MeV} = \text{const.}$$

Следует рассматривать сечения этих поверхностей плоскостями Z (гипотолическое сечение), $N = A - Z = \text{const}$ (изонейтронное сечение), $A - 2Z = \text{const}$ (сечение по ядрам с равными избытками нейтрона и протона). Как было установлено в [1], имеется ряд свойств сечений энергетических поверхностей, которые позволяют контролировать сомнительные факты или путем сопоставления их с другими экспериментальными данными.

- 1) отсутствуют пересечения между поверхностью для четно-четных и нечетно-нечетных ядер, а также их пересечения с остальными двумя поверхностями;
 - 2) поверхности разной четности не могут пересекаться в одной точке избыту друга;
 - 3) сечения одинаковой четности изменяются вдоль одной прямой Z , или T к соседнему $Z \pm 2$, $N \pm 2$ или $L \pm 2$ вправо или влево. Аддитивность в форме и взаимному расположению кривых
 - 4) кривые изотопических ($Z = \text{const}$) и изобарических ($N = \text{const}$) ядер имеют выпуклость обращенную только вправо или влево.

В результате критического сопоставления из экспериментальных данных были составлены таблицы масс средних атомов и энергии связи их ядер [1]. Несколько появились новые, более точные, мас-спектрометрические

• 130-140

вания [14-19], позволявшие уточнить
законы изменения 68 ± 104 ,
полученные на основании этих более
старых данных (см. конец статьи).
Все эти измерения свидетельствуют о сильной связи Sc^{48} ,
составляющей основу изотопного спектра.
Следует отметить, что в изучении

и земледелия, а также в сельскохозяйственных учреждениях и на фабриках, где производится химическое производство.

Из значений энергии связи ядра Sr^{88} , измеренной в [11, 12, 13] и опубликованной в [14, 15], можно установить, что в Sr^{88} , полученная из масс-спектрометрических измерений, больше, чем та же энергия, полученная из реакции $\text{Nb}^{93} + \text{Be}^{7}\xrightarrow{\gamma} \text{Sr}^{88} + \text{K}^{40}$. Среди использованных в расчетах величин наибольшие отличия от измеренных величин наблюдаются: энергия β^{-} -распада Kr^{88} , измеренная независимо тремя группами авторов [11–13], и нижняя граница энергии устойчивого захвата Sr^{88} , также измеренная в трех работах [11, 12, 13]. Масса устойчивого Sr^{88} хорошо согласуется с масс-спектрометрическими измерениями масс Kr^{88} , Rb^{87} , Sr^{87} , Sr^{88} , Y^{88} , Zr^{90} и Nb^{93} по [13] и с соответствующими значениями масс и энергий реакций и распадов. Значение массы Sr^{88} наименее точно, что объясняется тем, что в расчетах учитывались все измеренные величины, включая и те, для которых величины массы и энергии реакций и распадов неизвестны. Поэтому наличие систематических ошибок в измерении массы Sr^{88} мало вероятно. Энергия связи Kr^{88} в расчетах всех видов, описываемые далее, и что особенно важно, техническая ошибка в ее измерении меньше, чем в измерении массы ядра Sr^{88} . Никаких расхождений в значениях массы ядра Sr^{88} не может быть три величины: измеренная в работе [13] и из работы [14], а также измеренная в работе [15].

Рассмотрим рис. 1, изображение по $Z = 36$, содержащее Криван 2 и прямую, ведущую через него. Численный расчет соответствия (4) показывает, что пересечение прямой с кривой происходит при $\theta = 0^\circ$.

Новые данные по сопоставлению энергий гелей серебряных ядер

379

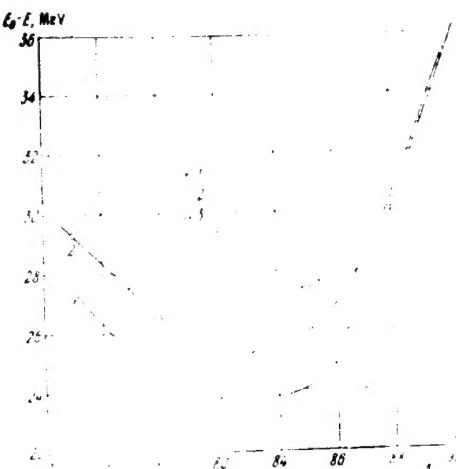


Рис. 1. Геометрическое сечение энергетических по-
ляризаций с умноженным условием для изотопов
алюминия ($Z = 13$): 1 — точки, построенные по энер-
гии связи для четно-четных ядер; 2 — точки, по-
строенные для энергии связи для четно-нечетных
ядер; 3 — точка, построенная для ядра K^{40} — по массе Rb^{87} ; 4 — точка, постро-
енная для энергии связи K^{40} , вычисленной по энерги-
(в реакции)

Изображенные на рисунке точки относятся к нечетно-четным ядрам и получены из массспектрометрических данных. Ри-

the K^{+} concentration of the medium. The effect of K^{+} on the rate of respiration was studied by varying the K^{+} concentration from 0.01 to 0.05 M. The results are shown in Figure 1. It is evident that the respiration rate increases with increasing K^{+} concentration up to 0.02 M, and then decreases. The decrease in respiration rate at higher K^{+} concentrations may be due to the fact that the K^{+} ions compete with the Na^{+} ions for the active sites on the membrane. At very low K^{+} concentrations, the respiration rate is low because the Na^{+} ions are the main cations in the medium. As the K^{+} concentration increases, the K^{+} ions begin to compete with the Na^{+} ions for the active sites on the membrane. This competition leads to an increase in the respiration rate. However, at very high K^{+} concentrations, the K^{+} ions become dominant and the Na^{+} ions are excluded from the active sites on the membrane. This results in a decrease in the respiration rate.

выделяет обе эти частиности изъятия изъ общего

Для выяснения правильности этого предположения может служить рис. 1, изображающий

B. A. Краев

380

ним энергию связи ядра Sr^{84} . Пунктирная линия из энергии (γ , n)-реакции, склоненная вправо, на нее тоже относится к четно-нечетным ядрам. Видимо, это и массы Rb^{84} . Пунктирная часть кривой E_b для ядер с $N=48$ устанавливает ошибочность измерений массы Rb^{84} .

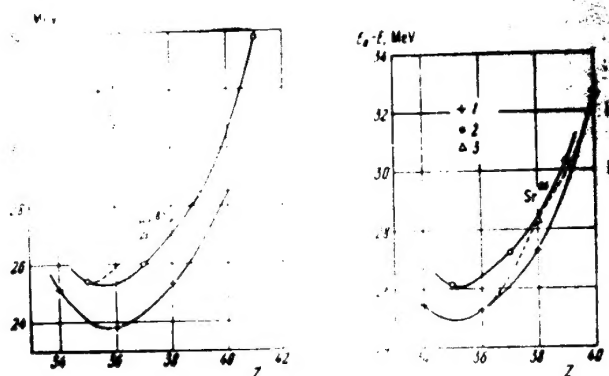


Рис. 3. Ионизационное сечение изогрavitических поверхностей с умножением радиуса для ядер с $N=48$: 1—точки, построенные для четно-четных ядер; 2—точки для нечетно-нечетных ядер; 3—точки, построенные для изогрavitических поверхностей связей ядер Rb^{84} , вычисляемой из массы Rb^{84} по энергии (γ , n)-реакции

Рис. 4. Ионизационное сечение изогрavitических поверхностей с умножением радиуса для ядер с $N=47$: 1—точки, построенные для четно-нечетных ядер, а для B^{84} — по массе Rb^{84} ; 2—точки, построенные для нечетно-нечетных ядер; 3—точки, построенные для изогрavitической поверхности связи Sr^{84} , вычисляемой из массы Sr^{84} по энергии (γ , n)-реакции

Таким образом, все рассмотренные сечения и все другие, которые не приводятся здесь, устанавливают наличие ошибок в измерениях энергий реакций $Kr^{84}(d, p)Kr^{84}$ и $Sr^{84}(\gamma, n)$ и подтверждают правильность измерений массы Rb^{84} в работе [1]. Скорость ядерных последнихнейтронов следует считать равными

$$\begin{aligned} & \alpha(Kr^{84}) = 1.0 \pm 0.05 \text{ MeV} \\ & \alpha(Sr^{84}) = 1.0 \pm 0.05 \text{ MeV} \end{aligned}$$

Эти выводы расходятся с результатами наших работ в [1] относительно энергии ядерных последнихнейтронов Kr^{84} и Sr^{84} . Это различие вызвано всеми новыми измерениями, имеющими достоверность, отказом авторов работы [1] от измерения массы Kr^{84} и использование ранее Коллинсом в [17] этих же ядерных последнихнейтронов с другими новыми данными, например, из работы Бирбера [18], приведенной в [9]. Новые данные об отрицательной ядерной язвае в таблице дают более плавные кривые построенных изогрavitических поверхностей. Это дает уверенность, что избыток ядерных язва и первая связь ядер в интервале $68 \leq A \leq 104$ является ошибкой, сделанной ранее.

Составлено в Институте ядерной физики
доктором физ.-мат. наук М. В. Краевым

литература

1. Григорьев А. А., Краев Б. А. Журнал ядерной физики, № 2 (1954).
2. Григорьев А. А., Краев В., Нир А. Phys. Rev., 94, 398 (1954).
3. Григорьев А. А., Краев В., Нир А. Ann. der Phys., 20, 1 (1954).
4. Григорьев А. А., Краев В., Нир А. Phys. Rev., 94, 1713 (1954).
5. Григорьев А. А., Краев В., Нир А. Phys. Rev., 96, 67 (1954).
6. Григорьев А. А., Краев В., Нир А., Фармер Д., Фармер Д. Bull. Am. Phys. Soc., 2, 29 (1957).
7. Краев Б. А. Журнал ядерной физики, № 2 (1954).
8. Димитров А. А., Phys. Rev., 95, 410 (1954).
9. Лебедев А. А., Вайденбек М., Phys. Rev., 95, 410 (1954).
10. Вайденбек М., Шварц Р., Уотсон У., Phys. Rev., 95, 410 (1954).
11. Бандукин М., Михелич Й., Шарфельд Г., Гольдберг М., Волл Н., Даутч М., Phys. Rev., 95, 410 (1954).
12. Зелденберг Б., Коттеле Б., Броси А., Phys. Rev., 95, 410 (1954).
13. Бергманн И., Арк. Fys., 5, 191 (1952).
14. Шер Б., Мальперн Я., Манн А., Phys. Rev., 87, 103 (1952).
15. Тор-Роджерсон М., Портер Ф., Phys. Rev., 87, 103 (1952).
16. Эммерих В., Курбахов Ю., Phys. Rev., 87, 103 (1952).
17. Коллинс Т., Mass-spectroscopy in Physics, 3, 1958.
18. Леви Г., Раренеан Г., C. R., 248, 1058 (1959).

ПРИЛОЖЕНИЯ

Массы средних ядер и энергии связи ядеров их ядер от цинка до калия, вычисленные по масс-спектрометрическим данным работ [3-8, 18]

ядерный номер Z атомный номер	ядерное число A	Число нейтронов N	вид радио- активности	Масса ядер (атомных единиц массы)		Энергия связи ядер в ядрах, MeV
				1	2	
Zn	68	36	уст.	$67,94071 \pm 11$	$595,10 \pm 0,10$ [6]	
	69	37	p^+	$68,94868 \pm 6$	$601,61 \pm 0,06$ [6]	
	70	40	уст.	$69,94750 \pm 8$	$611,01 \pm 0,08$ [6]	
	71	41	p^-	$70,9497 \pm 3$	$617,4 \pm 0,3$	
	72	42	p^-	$71,9505 \pm 3$	$625,0 \pm 0,3$	
Ga	68	37	p^+	$67,94983 \pm 11$	$591,32 \pm 0,19$ [6]	
	69	38	уст.	$68,94772 \pm 6$	$601,73 \pm 0,06$ [6]	
	70	39	p^-	$69,94827 \pm 8$	$609,59 \pm 0,08$ [6]	
	71	40	уст.	$70,94742 \pm 15$	$618,75 \pm 0,14$ [6]	
	72	41	уст.	$71,94879 \pm 7$	$625,85 \pm 0,07$	
Ge	69	37	уст.	$72,9484 \pm 2$	$631,8 \pm 0,2$	
	70	38	уст.	$73,9484 \pm 2$	$638,71 \pm 0,07$ [6]	
	71	39	уст.	$74,9484 \pm 2$	$646,71 \pm 0,09$ [6]	
	72	40	уст.	$75,9484 \pm 2$	$652,71 \pm 0,1$ [6]	
	73	41	уст.	$76,9484 \pm 2$	$658,71 \pm 0,07$ [6]	
Kr	80	40	уст.	$77,9484 \pm 2$	$664,71 \pm 0,09$ [6]	
	81	41	уст.	$78,9484 \pm 2$	$670,71 \pm 0,1$ [6]	
	82	42	уст.	$79,9484 \pm 2$	$676,71 \pm 0,1$ [6]	
	83	43	уст.	$80,9484 \pm 2$	$682,71 \pm 0,1$ [6]	
	84	44	уст.	$81,9484 \pm 2$	$688,71 \pm 0,1$ [6]	
	85	45	уст.	$82,9484 \pm 2$	$694,71 \pm 0,1$ [6]	
	86	46	уст.	$83,9484 \pm 2$	$700,71 \pm 0,1$ [6]	
	87	47	уст.	$84,9484 \pm 2$	$706,71 \pm 0,1$ [6]	

Примечание: 1) в.а.—электронный способ; 2) получены проверкой по ядрам, имеющим одинаковую массу, привнесшую уравновешивание экспериментальных параметров.

1. A Lipidase

(Продолжение)

			M, MeV	Избыток спинов нуклонов в ядре, MeV
				6
				614,88 ± 0,15
				623,93 ± 0,05
				631,5 ± 0,2 ■
				642,33 ± 0,09
				652,40 ± 0,05
				661,71 ± 0,07
				670,44 ± 0,05
				676,5 ± 0,2
				685,5 ± 0,2
				691,0 ± 0,2 ■
				692,84 ± 0,08
				699,75 ± 0,05
				701,04 ± 0,05
				701,36 ± 0,05
				709,94 ± 0,05
				710,94 ± 0,05
				718,943,67 ± 0
				729,941,92 ± 0
				730,943,68 ± 0,8
				731,942,68 ± 0,5
				732,944,1 ± 2
				739,9 ± 0,2
	Br			
				74,949,40 ± 5
	75	40	β^+	647,25 ± 0,05
	76	41	β^+	656,57 ± 0,08
	77	42	β^+	667,22 ± 0,05
	78	43	β^+	673,63 ± 0,09
	79	44	устр.	680,21 ± 0,06
	80	45	β^+, β^-	691,46 ± 0,05
	81	46	устр.	699,18 ± 0,06
	82	47	β^-	701,86 ± 0,08
	83	48	β^-	704,44 ± 0,05
	84	49	β^-	708,58 ± 0,06
	85	50	β^-	717,4 ± 0,2
	87	52	β^-	717,3 ± 0,5
36 — Kr				
				771,7 ± 0,2
	78	42	устр.	775,18 ± 0,05
	79	43	β^+	783,55 ± 0,06
	80	44	устр.	795,44 ± 0,06
	81	45	β^+	798,3 ± 0,2
	82	46	устр.	811,939,52 ± 7
	83	47	устр.	821,936,44 ± 6
	84	48	устр.	831,938,21 ± 6
	85	49	β^-	841,938,67 ± 7
	86	50	β^-	851,937,00 ± 13
	87	51	β^-	861,938,83 ± 13
	88	52	β^-	871,936,11 ± 17
	89	53	β^-	881,937,11 ± 14
	90	54	β^-	891,937,11 ± 13
				749,42 ± 0,12 ■■
				754,70 ± 0,13 ■■■
				761,82 ± 0,17 ■■
				768,0 ± 0,4
				774,6 ± 0,3 ■■
				780,5 ± 0,3 ■■■
				799,4 ± 0,3 ■■■
				720,0 ± 0,2 ■■■

Несколько данных по относительных энергий слоев средних ядер

343

Периодический номер Z и элемент	Массовое число A	Число нейтронов N	Вид радио- активности	Масса атома (атомные единицы массы)		Средняя ошибка в расчете, Мэв
				1	2	
Sr	84	47	β^+	83,941 0	83,941 0	0.000 0
	85	48	уст.	84,936 0	84,936 0	0.000 0
	86	49	β	85,931 8	85,931 8	0.000 0
	87	50	β^+ , β	86,927 7	86,927 7	0.000 0
	88	51	β	87,924 5	87,924 5	0.000 0
	89	52	β	88,921 3	88,921 3	0.000 0
	90	53	β	89,918 1	89,918 1	0.000 0
	82	44	β^+	82,912 8	82,912 8	0.000 0
	83	45	β^+	82,913 0	82,913 0	0.000 0
	84	46	уст.	83,913 0	83,913 0	0.000 0
Y	85	47	β^+	85,913 0	85,913 0	0.000 0
	86	48	β^+	86,913 0	86,913 0	0.000 0
	87	49	уст.	87,913 7	87,913 7	0.000 0
	88	50	уст.	87,933 7	87,933 7	0.000 0
	89	51	β	88,935 67 \pm 16	88,935 67 \pm 16	0.000 0
	90	52	β	89,935 91 \pm 24	89,935 91 \pm 24	0.000 0
	91	53	β^+	90,938 63 \pm 25	90,938 63 \pm 25	0.000 0
	86	47	β^+	85,941 3 \pm 4	85,941 3 \pm 4	0.000 0
	87	48	β^+	86,938 6 \pm 3	86,938 6 \pm 3	0.000 0
	88	49	β^+	87,936 67 \pm 16	87,936 67 \pm 16	0.000 0
Zr	89	50	уст.	88,934 09 \pm 17	88,934 09 \pm 17	0.000 0
	90	51	β^-	89,935 27 \pm 24	89,935 27 \pm 24	0.000 0
	91	52	β^-	90,935 77 \pm 25	90,935 77 \pm 25	0.000 0
	92	53	β^-	91,938 7 \pm 4	91,938 7 \pm 4	0.000 0
	93	54	β^-	92,938 8 \pm 5	92,938 8 \pm 5	0.000 0
	94	55	β^-	93,943 0 \pm 6	93,943 0 \pm 6	0.000 0
	87	47	β^+	86,942 4 \pm 3	86,942 4 \pm 3	0.000 0
	88	48	β^+	87,937 2 \pm 3	87,937 2 \pm 3	0.000 0
	89	49	β^+	88,937 00 \pm 18	88,937 00 \pm 18	0.000 0
	90	50	уст.	89,932 88 \pm 20	89,932 88 \pm 20	0.000 0
Nb	91	51	уст.	90,934 1 \pm 20	90,934 1 \pm 20	0.000 0
	92	52	уст.	91,937 7 \pm 22	91,937 7 \pm 22	0.000 0
	93	53	β	92,941 7 \pm 28	92,941 7 \pm 28	0.000 0
	94	54	уст.	93,945 0 \pm 28	93,945 0 \pm 28	0.000 0
	95	55	β	94,948 0 \pm 28	94,948 0 \pm 28	0.000 0
	96	56	уст.	95,951 0 \pm 28	95,951 0 \pm 28	0.000 0
	97	57	β	96,954 0 \pm 28	96,954 0 \pm 28	0.000 0
	89	48	β	89,954 0	89,954 0	0.000 0
	90	49	β^+	90,954 0	90,954 0	0.000 0
	91	50	β^+	91,954 0	91,954 0	0.000 0
Ta	92	51	β^+	92,954 0	92,954 0	0.000 0
	93	52	β^+	93,954 0	93,954 0	0.000 0
	94	53	β^+	94,954 0	94,954 0	0.000 0
	95	54	уст.	95,954 0	95,954 0	0.000 0
	96	55	β	96,954 0	96,954 0	0.000 0
	97	56	уст.	97,954 0	97,954 0	0.000 0
	98	57	β	98,954 0	98,954 0	0.000 0
	99	58	β	99,954 0	99,954 0	0.000 0

Порядковый номер Z и элемент	Массовое число A	Число нейтронов N	Вид радиоактивности	Энергия излучения в кэВ
	1	2	3	4
				5
42 — Мg	91	49	β^+	90,939 66 ± 29
	92	50	уст.	91,934 51 ± 27
	93	51	уст.	92,935 3 ± 5
	94	52	уст.	93,934 37 ± 20
	95	53	уст.	94,936 0 ± 4
	96	54	уст.	95,935 2 ± 4
	97	55	уст.	96,936 8 ± 5
	98	56	уст.	97,936 0 ± 4
	99	57	β^-	98,938 6 ± 5
	100	58	уст.	99,938 4 ± 3
	101	59	β^+	100,931 2 ± 5
43 — Tc	93	50	β^+	92,938 6 ± 5
	94	51	β^+	93,938 08 ± 22
	95	52	β^-	94,937 5 ± 4
	96	53	β^-	95,938 1 ± 5
	97	54	β^-	96,936 9 ± 5
	98	55	(уст.)	97,937 7 ± 6
	99	56	уст.	98,937 2 ± 5
	100	57	уст.	99,938 6 ± 6
	101	58	уст.	100,938 6 ± 6
44 — Ru	95			96,940 3 ± 6
	96			95,938 1 ± 5
	97			96,937 8 ± 6
	98			97,936 2 ± 7
	99		уст.	98,936 8 ± 7
	100	58	уст.	99,935 6 ± 8
	101	57	уст.	100,937 1 ± 6
	102	58	уст.	101,936 10 ± 9
	103	59	β^-	102,938 3 ± 2
	104	60	уст.	103,937 6
45 — Rb	95	53	β^+	97,936 1
	99	54	β^-	98,935 7
100	55			98,935 8
101	56			98,936 1
102	57			98,936 6
103	58			98,937 1
104	59			98,937 6
46 — Tl	95			98,937 7
	96			98,938 2
	97			98,938 9
	98			98,939 0
	99			98,939 1
	100			98,939 12
	101			98,939 18
	102			98,940 08
	103			98,940 14
	104			98,940 18

СОДЕРЖАНИЕ

СОДЕРЖАНИЕ ПО В-УСПЕКТРОСКОПИИ

- Артамонов А. И., Григорьев В. С., Жуковский Н. Н., Приходцева В. Е. и Чекинова Е. А.—Изучение излучения в схеме распада Ta^{160}
- Денисов А. А., Григорьев В. С., Жуковский Н. Н., Приходцева В. Е. и Хольцов Ю. В.—Излучение в схеме распада Ta^{160}
- Хроматическое изучение уровней легких ядерных изотопов
- Глазунов М. А., Григорьев В. С. и Хольцов Ю. В.—Излучение в схеме распада Ta^{160}
- Денисов А. А., Григорьев В. С., Жуковский Н. Н. и Недовесов В. Г.—Излучение в схеме распада Ta^{160}
- Григорьев А. С. и Шмидт Ф. Х.—Изследование ядерных изотопов
- Шахбазян В. А. и Рукинов Л. И.—Изучение ядерных изотопов в схеме распада Bg^{90}
- Селезнев И. Н. и Шахбазян В. А.—Излучение в схеме распада Bg^{90}
- Соловьев Г. М., Орлов В. И. и Рукинов Л. И.—Изследование ядерной плаэмы в системе Zn^{65} , Sr^{88} , Sr^{89} , Nb^{93} , Rh^{102} и Y^{88}
- Чиполин П. А., Лейпунский О. И., Ген М. И. и Тихомиров А. М.—Обнаружение короткоживущих изотопов
- Фарягин Э. Е.—Времена жизни возбужденных состояний некоторых ядер
- Барчук И. Ф., Галкин Е. М., Пасечник М. В. и Пучков Н. Н.—О радиочастотной способности спектрально-спектрометрии
- Лавин Л. А. и Пенер Л. К.—К вопросу об определении деформации ядерной поверхности
- Лавин А. И.—Структура второго возбужденного уровня Ne^8 и Li^6
- Лавин А. И.—Оболочечная модель с промежуточной связью в β -распаде Ne^8
- Лавин Л. А. и Смородинский Я. А.—К теории двойного β -распада
- Лавин Л. А.—Новые данные по совместению изотопий связи средних